

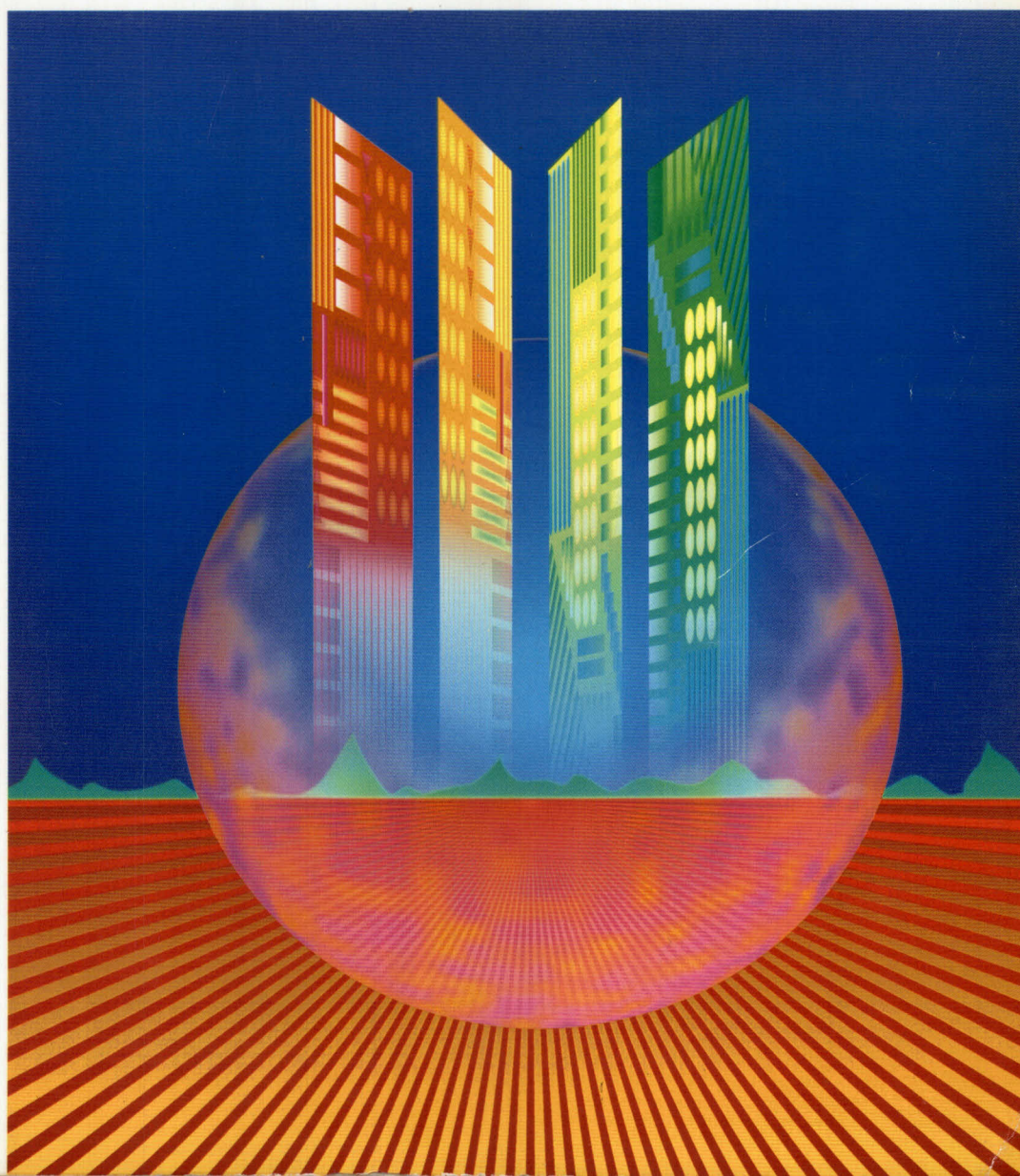
# トランジスタ技術

SPECIAL

No.32

## 特集 実用電子回路設計マニュアル

アナログ回路の設計例を中心に実用回路を詳述





エレクトロニクスの基礎と実用技術を濃縮したフィールド・ワーク・マガジン

# トランジスタ技術 *SPECIAL*

季刊●B5判●定価：①～③③定価1,540円 ③④～④⑤定価1,600円 ④⑥～④⑨定価1,690円 ⑤⑩以降定価1,800円

①個別半導体素子 活用法のすべて 基礎からマスタするダイオード、トランジスタ、FETの実用回路技術	②①デジタル・オーディオ技術の基礎と応用 最もポピュラーな最新技術を理解しよう	③⑧Z80システム設計完全マニュアル 周辺I/Oボードの設計とマイコン・システムの開発
③PC9801と拡張インターフェースのすべて 16ビット・パソコンを使いこなすためのハード&ソフト	②②デジタル回路ノイズ対策技術のすべて TTL/CMOS/ECLの活用法と誤動作/トラブルへの処方	③⑨A-Dコンバータの選び方・使い方のすべて アナログ信号をディジタル処理するための基礎技術
④C-MOS標準ロジックIC活用マニュアル 実験で学ぶ4000B/4500B/74HCファミリ	②③回路デザイナーのためのPLD最新活用法 PLDのプログラミング法からPALライタの製作まで	④⑩電子回路部品の活用ノウハウ 機器の性能と信頼性を支える受動部品の使い方
⑤画像処理回路技術のすべて カメラとビデオ回路、パソコンと隔合させる	②④Cによる組み込み機器用プログラミング 16ビットCPUによるメカトロニクス入門 〈在庫僅少〉	④①実験で学ぶOPアンプのすべて 汎用OPアンプから高性能OPアンプまで
⑥Z80ソフト&ハードのすべて 基礎からマクロ命令を使いこなすまでのノウハウを集成	②⑤最新マイコン・メモリ・システム設計法 DRAM、SRAMの動作からデュアル・ポートRAM、FIFOの活用まで	④②高速ディジタル回路の測定とトラブル解析 ハイスピード・ディジタル信号を高周波と捉えられる
⑧データ通信技術のすべて シリアル・インターフェースの基礎からモデムの設計法まで	②⑥68000ソフト&ハードのすべて 実用ライブラリの作成と便利チップ68301/68303の活用技術	④③Cによるマイコン制御プログラミング 86系ペリフェラルを中心とした
⑨パソコン周辺機器インターフェース詳解 セントロニクス/RS-232C/GPIB/SCSIを理解するために	②⑦ハードディスクとSCSI活用技術のすべて 本格活用のためのハード&ソフトのすべてを詳解	④④フィルタの設計と使い方 アナログ回路のキーポイントを探る
⑩IBM PC&80286のすべて 世界の標準パソコンとマルチタスクの基礎を理解する	②⑧最新・電源回路設計技術のすべて 3端子レギュレータから共振型スイッチング電源まで	④⑤PC98シリーズのハードとソフト 386&486マシンを使いこなす！
⑪フロッピーディスク・インターフェースのすべて 需要の急増するFDDシステムの基礎から応用まで	②⑨マイコン独習Z80完全マニュアル 手作りの原点から実用ソフトの作成まで	④⑥アナログ機能ICとその使い方 民生用AV機器からマルチメディア分野で活躍する
⑫入門ハードウェア 手作り測定器のすすめ 電子回路設計の基礎と実践へのアプローチ 〈在庫僅少〉	③⑩ニュー・メディア時代のデータ通信技術 赤外線、無線通信技術からLAN、光ファイバを用いた高速通信技術まで	④⑦高周波システム&回路設計 通信新時代の回路技術とシステム設計
⑬シミュレータによる電子回路理論入門 コンピュータを使ったアナログ回路設計の手法を理解するために	③①基礎からのビデオ信号処理技術 複合映像信号の理解からハイビジョン信号の捉え方まで	④⑧作れば解るCPU ロジックICで実現するZ80とキャスル・マシン
⑭技術者のためのCプログラミング入門 MS-C、Quick C、Turbo Cによるソフトウェア設計のすべて	③②実用電子回路設計マニュアル アナログ回路の設計例を中心に実用回路を詳述	④⑨徹底解説 Z80マイコンのすべて Z80 CPUの概要から周辺LSIの活用法、ICEのデバックまで
⑮アナログ回路技術の基礎と応用 計測回路技術のグレードアップをめざして 〈在庫僅少〉	③③オプト・デバイス応用回路の設計・製作 光素子を使いこなすための製作ドキュメント	⑤⑩フレッシュャーズのための電子工学講座 電磁気学の基礎から電子回路の設計、製作までをやさしく解説
⑯A-D/D-A変換回路技術のすべて アナログとディジタルを結ぶ最新回路設計ノウハウ	③④つくるICエレクトロニクス 機能ICを使って実用機器を作ろう 〈在庫僅少〉	⑤①データ通信技術基礎講座 RS232Cの徹底理解からローカル通信の実用技術まで
⑰OPアンプによる回路設計入門 アナログ回路の誤動作とトラブルの原因を解く	③⑤C言語による回路シミュレータの製作 Quick Cでのプログラミングとフィルタ回路の解析	⑤②ビデオ信号処理の徹底研究 映像信号の基礎から高画質化のためのディジタル信号処理の方法まで
⑰⑨PC9801計測インターフェースのすべて オリジナル拡張ボードでパソコンを実践活用しよう	③⑥基礎からの電子回路設計ノート トランジスタ回路の設計からビデオ画像の編集まで	⑤③パソコンによる計測・制御入門 研究室や実験室で必要なデータ収集のノウハウを基礎から解説
⑲⑩アナログ回路シミュレータ活用術 ゲーム感覚の回路設計を体験しよう	③⑦実用電子回路設計マニュアルII 豊富な回路設計例から最適設計を学ぼう	



# トランジスタ技術

CONTENTS

## SPECIAL No.32

### 特集 実用電子回路設計マニュアル

アナログ回路の設計例を中心に実用回路を詳述

第1章	増幅回路	6
	ロー・ノイズ・アンプ／ゼロ点補正回路／マイク・アンプ／パワー・アンプ／広帯域ライン・ドライバ／広帯域アンプ／VHF帯バッファ・アンプ／広帯域反転バッファ／微小電圧増幅回路／微小電流増幅回路／インスツルメンテーション・アンプ／可変利得増幅器／プログラマブル・ゲイン・アンプ／PWM式プログラマブル・ゲイン・アンプ／アイソレーション・バッファ／PWM式アイソレーション・バッファ／チョッパ式アイソレーション・バッファ	
第2章	フィルタ回路	30
	正帰還型2次ローパス・フィルタ／ハイパス・フィルタ／測定器用高速セトリング・ローパス・フィルタ／5次ローパス・フィルタ／ツインTノッチ・フィルタ／ノッチ・フィルタ／ステート・バリャブル型ローパス／バンドパス・フィルタ／高周波フィルタ／長時間時定数回路／ラウドネス回路／NFB型トーン・コントロール回路／CR型トーン・コントロール回路／グラフィック・イコライザ／パラメトリック・イコライザ／3Dアンプ	
第3章	変換回路	46
	電圧-電流変換回路／電流-電圧変換回路／抵抗-電圧変換回路／実効値-直流電圧変換回路／高周波電力-直流電圧変換回路／電圧-周波数変換回路／周波数-電圧変換回路／ECL→TTLレベル変換回路／20チャンネル3V→5Vロジック・レベル変換回路	
第4章	測定器回路	65
	抵抗値チェッカ／ $h_{FE}$ チェッカ／ $I_{DSS}$ チェッカ／OPアンプ・ノイズ・チェッカ／ピーク-ピーク電圧のチェッカ／バッテリー内部抵抗測定回路／温度測定回路／湿度測定回路／0~0.2 $\mu$ F/0~20 $\mu$ F容量計	
第5章	ビデオ回路	84
	ディレイ・ライン回路／輪郭補償回路／ノイズ・サプレッサー回路／クランプ回路／同期分離回路／Y-C分離回路／移相回路／ビデオ信号切り替え回路／ビデオ・ディストリビュータ回路／テレビRFコンバータ回路／RGB-コンポジット信号変換回路／スーパインポーズ回路／ビデオ・エンハンサ回路／ビデオ信号、音声信号同時切り替え回路	
第6章	送受信回路	98
	基本的な変調回路／FMワイヤレス・マイク／HF帯100Wリニア出力段回路／VHF帯80W出力段回路／UHF帯70W出力段回路／カー用FM フロント・エンド／FM IF復調回路／カー用AMチューナ／AMラジオ／FM／AMラジオ／46/49 MHzコードレス・テレホン受信回路／50 MHz狭帯域FM受信回路	
第7章	モータ制御回路	116
	ステッピング・モータ駆動回路／PLLサーボ回路／PWM方式DCサーボ・モータ・ドライブ回路／5相モータ駆動回路／ブラシレス・モータ駆動回路／帰還型速度制御回路／速度制御回路	
第8章	電源回路	127
	基準電圧回路／10V基準電圧回路／+10/-10/±2V基準電源回路／ロー・パワー・レギュレータ回路／+5V 0.5Aレギュレータ回路／+5V 1A/-5V 0.5Aレギュレータ回路／出力電圧可変型レギュレータ回路／3~15V 2Aレギュレータ回路／0~25V/0~1.5V電流リミッタ付きレギュレータ回路／LT 1005の応用／5V 1Aレギュレータ回路／高速サーキット・ブレーカ回路／電圧・電流レギュレータ回路／5V 0.5Aチョッパ型レギュレータ回路／9Vスイッチング・レギュレータ回路／9V→5Vステップ・ダウン・コンバータ／1.5V→9Vステップ・アップ・コンバータ／3V→6V 500mAステップ・アップ・コンバータ／+3V→+9Vステップ・アップ・コンバータ／+5V→+15Vステップ・アップ・コンバータ／+15V→-5V極性反転レギュレータ／+5V/±10V→5V極性反転コンバータ／+5V 1A/-5V 0.5A正負電圧スイッチング・レギュレータ／+5Vウォッチ・ドグ・タイマ／MPU用システム電源回路／AC 100V→DC+5Vレギュレータ／オートACコンセント／ACライン電流検出回路／NiCd電流充電回路／鉛蓄電池充電回路	
コラム	知っておきたいダイオードとトランジスタの型番	29
	知っておきたいOPアンプとアナログ・スイッチの型番	64
	抵抗は金属皮膜、コンデンサはフィルムというのがアナログ回路の標準	83



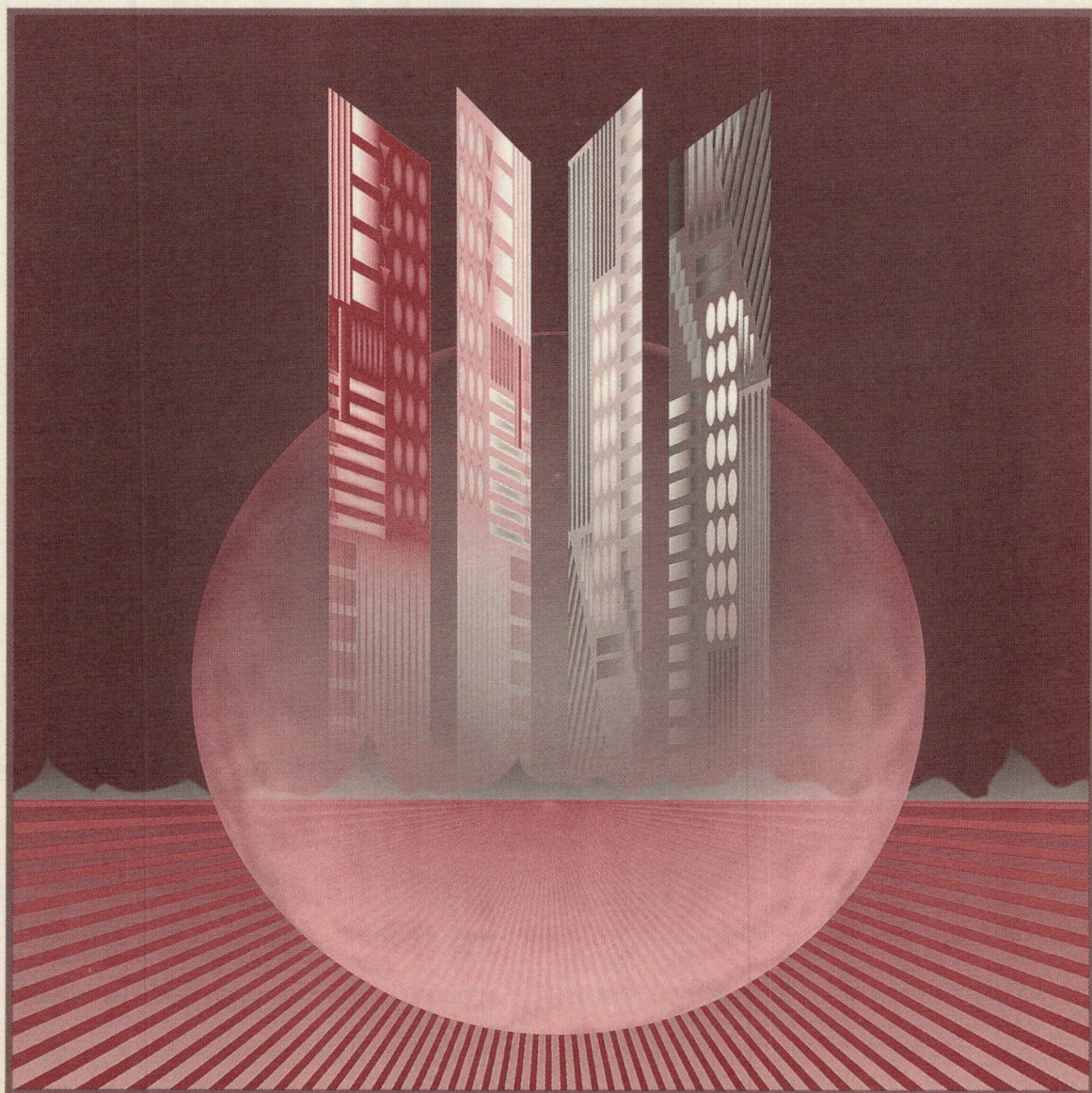




# 特集 実用電子回路設計マニュアル

アナログ回路の設計例を中心に実用回路を詳述

電子回路を設計するとき、各社のアプリケーション・ノートやいろいろな設計例を参照することが普通です。今回は、過去の「トランジスタ技術」誌に掲載された回路の中から、実用的な回路を選び出し分野別に分類して掲載しました。設計の手引き書としてご利用ください。





## 1 増幅回路

- 6.....ロー・ノイズ OP アンプ OP 37 と SEPP バッファを組み合わせたロー・ノイズ・アンプ ( $G_v=16$  dB)
- 7.....ロー・ノイズ OP アンプ NJM 2068 を用いたロー・ノイズ・アンプ ( $G_v=20$  dB)
- 7.....積分回路を応用したゼロ点補正回路
- 8.....ロー・ノイズ OP アンプ NE 5532 を使ったマイク・アンプ ( $G_v=46$  dB)
- 9.....LM 386 を用いたきわめて簡単なパワー・アンプ ( $P_O=0.3$  W)
- 10.....ディスクリート・トランジスタで構成した HiFi パワー・アンプ ( $P_O=50$  W)
- 11.....パワー・バッファ IC LT 1010 を用いた広帯域ライン・ドライバ ( $G_v=2$  倍,  $BW=20$  MHz)
- 12.....専用ハイブリッド IC LH 0032 C を用いた広帯域アンプ ( $G_v=10$  倍,  $BW=20$  MHz)
- 13.....電流帰還型 OP アンプ OP 260 を用いた広帯域アンプ ( $G_v=10$  倍,  $BW=20$  MHz)
- 13.....ロー・コスト・ビデオ・アンプ CA 3100 を用いた広帯域アンプ ( $G_v=10$  倍,  $BW=20$  MHz)  
広帯域ライン・ドライバ ( $G_v=10$  倍,  $BW=15$  MHz)
- 14.....外付けで簡単に周波数特性をもたせられる NE 592 を用いた広帯域アンプ ( $G_v=100$  倍,  $BW=90$  MHz)
- 15.....ビデオ・アンプ IC  $\mu$ PC 1663 を用いた広帯域ライン・ドライバ ( $G_v=320$  倍,  $BW=120$  MHz)
- 16.....高入力インピーダンスを実現した VHF 帯バッファ・アンプ
- 16.....高速・高精度で大電流が得られる広帯域反転バッファ ( $SR=1000$  V/ $\mu$ s,  $I_o=1$  A)
- 17.....高精度 OP アンプ OP 07/LT 1001 を用いた微小電圧増幅回路
- 18.....チョッパ・アンプ MAX 420 を用いた微小電圧増幅回路 ( $G_v=400$  倍)
- 19.....高温環境に適した微小電流増幅回路 ( $I_{in}=100$  n $\sim$ 1  $\mu$ A)
- 19.....汎用 FET 入力 OP アンプを使った微小電流増幅回路 ( $I_{in}=10$  n $\sim$ 100 nA)
- 20.....超低バイアス電流 OP アンプ OPA 128 を用いた微小電流増幅回路 ( $I_{in}=1$  n $\sim$ 10 nA)
- 20.....専用 IC AMP 01 を用いたインストルメンテーション・アンプ
- 22.....スイッチト・キャパシタ・フィルタ LTC 1043 を用いたインストルメンテーション・アンプ ( $G_v=60$  dB)
- 23.....スイッチト・キャパシタ・フィルタ LTC 1043 を使って周波数でゲイン・コントロールする可変利得増幅器 ( $G_v=-\infty\sim+60$  dB)
- 24.....抵抗ネットワークを使って精度を上げたプログラマブル・ゲイン・アンプ ( $G_v=1/25/50/100$  倍)
- 25.....D-A コンバータを使ったプログラマブル・ゲイン・アンプ
- 25.....簡単に高精度が得られる PWM 式プログラマブル・ゲイン・アンプ ( $G_v=1\sim500$  倍)
- 26.....フォト・カプラを使ったアイソレーション・バッファ
- 26.....フォト・カプラを使って高精度が得られる PWM 式アイソレーション・バッファ
- 28.....トランスを用いたチョッパ式アイソレーション・バッファ

## 2 フィルタ回路

- 30.....OP アンプを使ったもっとも広く使われている正帰還型 2 次ローパス・フィルタ/ハイパス・フィルタ ( $f_c=1$  kHz)
- 30.....ディスクリート・トランジスタにより高周波まで使える正帰還型 2 次ローパス・フィルタ/ハイパス・フィルタ ( $f_c=1$  MHz)
- 31.....高精度 OP アンプ LT 1008 とフォト MOS リレーを組み合わせた測定器用高速セトリング・ローパス・フィルタ
- 32.....スイッチト・キャパシタ・フィルタ LTC 1062 を使って簡単に構成できる 5 次ローパス・フィルタ
- 34.....100/1 k/10 kHz のノッチ周波数をもったツイン T ノッチ・フィルタ
- 35.....スイッチト・キャパシタ・フィルタ LTC 1062 を使ったノッチ・フィルタ ( $f_{notch}=50$  Hz)
- 36.....スイッチト・キャパシタ・フィルタ LTC 1060 を用いて  $f_c$  をクロックで制御できるステート・バリアブル型ローパス/バンド・パス・フィルタ
- 36.....差動出力を備え  $f_c$  とブースト量を外部でコントロールできる高周波フィルタ ( $f_c=5\sim13$  MHz)
- 38.....OP アンプを用いて等価的に時定数を大きくした長時間時定数回路



- 39.....低音と高音をブーストするラウドネス回路
- 39.....帰還経路の周波数特性調整でコントロールを行う NFB 型トーン・コントロール回路
- 41.....バッファ・アンプとパッシブ・フィルタを組み合わせた CR 型トーン・コントロール回路
- 42.....優れた特性が得られるグラフィック・イコライザ
- 43.....利得/中心周波数/ $Q$  を独立に制御できるパラメトリック・イコライザ
- 45.....スイッチト・キャパシタ・フィルタ LMF 60 を用いた 3D アンプ ( $f_c=60\sim 600\text{ Hz}$ )

## 3 変換回路

- 46.....高精度で大電流が得られる電圧-電流変換回路
- 47.....吸い込み/吐き出しの両方向に電流の流せる電圧-電流変換回路
- 48.....大電流まで扱える電流-電圧変換回路
- 48.....入力抵抗が小さく微小電流が扱える電流-電圧変換回路
- 49.....簡単で精度の高い抵抗-電圧変換回路
- 50.....抵抗ブリッジを用いた抵抗-電圧変換回路
- 50.....遠隔測定が可能で直線性も優れた抵抗-電圧変換回路
- 51.....専用 IC AD 636 を用いて  $0.2 V_{rms}$  フルスケールの実効値-直流電圧変換回路 (RMS-DC コンバータ)
- 52.....200 MHz まで実用になる高周波電力-直流電圧変換回路 (RF パワー・メータ)
- 54.....高速・高精度が得られる電圧-周波数変換回路 (V-F コンバータ) ( $f=V_{IN} [\text{kHz}]$ )
- 54.....積分器とコンパレータを組み合わせた電圧-周波数変換回路 (V-F コンバータ) ( $f=50 V_{IN} [\text{Hz}]$ )
- 55.....三角波と方形波が得られる高精度電圧-周波数変換回路 (V-F コンバータ) ( $f=7.5 V_{IN} [\text{kHz}]$ )
- 56.....タイマ IC 555 を用いた電圧-周波数変換回路 (V-F コンバータ) ( $f=800 \cdot V_{IN} [\text{kHz}]$ )
- 57..... $10^5$  の周波数レンジが得られる電圧-周波数変換回路 (V-F コンバータ) ( $f=80 \cdot V_{IN} [\text{kHz}]$ )
- 58.....スイッチト・キャパシタ・フィルタを使ってリニアリティの優れた電圧-周波数変換回路 (V-F コンバータ) ( $f=10 \cdot V_{IN} [\text{kHz}]$ )
- 59.....電圧と周波数が逆比例する電圧-周波数変換回路 (V-F コンバータ)
- 60.....スイッチト・キャパシタ・フィルタ LTC 1043 を使ってリニアリティの優れた周波数-電圧変換回路 (V-F コンバータ) ( $V=f_{IN} [\text{kHz}] / 10$ )
- 61.....高速コンパレータ ECL  $\leftrightarrow$  TTC レベル変換回路
- 61.....MB 88331 を使って簡単にできる 20 チャンネル 3V  $\leftrightarrow$  5V ロジック・レベル変換回路

## 4 測定器回路

- 65.....設定した抵抗値の範囲でブザーが鳴る低抵抗値チェッカ
- 66.....簡単な回路でできる  $h_{FE}$  チェッカ
- 67..... $V_{CE}$  と  $h_c$  を設定できる  $h_{FE}$  チェッカ
- 69.....非常に簡単な構成の  $I_{DSS}$  チェッカ
- 70..... $1/f$  ノイズの大きさを判定する OP アンプ・ノイズ・チェッカ
- 71.....任意の波形の p-p 値を直読できるピーク-ピーク電圧チェッカ
- 73.....電池に負荷をかけずに測定が行えるバッテリー内部抵抗測定器
- 75.....高精度で温度範囲の広い測温抵抗体を使った温度測定回路 (温度-電圧コンバータ)
- 76.....高精度で温度範囲の広い熱電対を使った温度測定回路 (温度-電圧コンバータ)
- 77.....IC 温度センサ LM 35 を使った温度測定回路 (温度-電圧コンバータ)
- 77.....IC 温度センサ LM 334 を用いた温度測定回路 (温度-周波数コンバータ)
- 78.....容量型湿度センサと SCF を組み合わせた湿度測定回路 (湿度-電圧コンバータ)
- 79.....容量型湿度センサと SCF を組み合わせた湿度測定回路 (湿度-周波数コンバータ)
- 81.....コンデンサの容量をデジボルで直読できる  $0\sim 0.2 \mu\text{F}$  /  $0\sim 20 \mu\text{F}$  容量計



## 5 ビデオ回路

- 84.....LC 集中定数を用いたディレイ・ライン回路
- 84.....ディレイ・ラインを2本用いた輪郭補償回路(1)
- 85.....ディレイ・ラインの反射を利用した輪郭補償回路(2)
- 86.....ノイズ成分だけを抑圧するノイズ・サプレッス回路
- 86.....ビデオ信号のDC分を再生するクランプ回路
- 87.....ディスクリート・トランジスタで構成した同期分離回路
- 87.....ディスクリート・トランジスタで構成したY-C分離回路
- 88..... $0^\circ \pm 30^\circ$ の移相コントロールが可能な移相回路
- 88.....汎用CMOSアナログ・スイッチを使ったビデオ信号切り替え回路
- 89.....ビデオ専用スイッチIC IH 5341を使ったビデオ信号切り替え回路
- 90.....高速バッファIC LH 0033 Aを用いたビデオ・ディストリビュータ回路
- 90.....RFコンバータIC SN 76874 Nを用いたテレビRFコンバータ回路
- 91.....NJM 2208を用いたRGB-コンポジット信号変換回路
- 92.....TV画面に文字を入れるスーパーインポーズ回路
- 94.....特殊部品を使わずにできるビデオ・エンハンサ回路
- 97.....ビデオ信号、音声信号同時切り替え回路

## 6 送受信回路

- 98.....ディスクリート・トランジスタ1石で行う基本的な変調回路
- 98.....発振回路にセラミック振動子を使ったFMワイヤレス・マイク
- 100.....ひずみ率が小さなHF帯100Wリニア出力段回路
- 101.....バンド分割により広帯域トランスを省略したVHF帯80W出力段回路
- 103.....パラレル接続で出力アップを図ったUHF帯70W出力段回路
- 104.....LA 1175を用いて相互変調・混変調特性の優れたカー用FMフロント・エンド
- 106.....LA 1145/2110/3430を組み合わせるノイズ・キャンセラ機能ももったFM IF復調回路
- 108.....LA 1137を用いて混変調ひずみの優れたカー用AMチューナ
- 109.....IC1個でできるAMラジオ
- 111.....IC2個でできるFM/AMラジオ
- 112.....専用IC MC 3362/MC 145160を用いた46/49MHzコードレス・テレホン受信回路
- 114.....MC 3361 Pを用いたダイレクト・コンバージョン方式50MHz狭帯域FM受信回路

## 7 モータ制御回路

- 116.....TA 7774を用いたバイポーラ駆動方式ステッピング・モータ駆動回路
- 117.....TD 62803を用いた1-2相励磁方式ステッピング・モータ駆動回路
- 118.....PLLサーボ・コントロールIC M 51728 Lを用いたPLLサーボ回路
- 119.....TC 9142 Pを用いてFGサーボも共用したPLLサーボ回路
- 121.....NE 5560を用いた効率のよいPWM方式DCサーボ・モータ・ドライブ回路
- 123.....SI 7200 Mを用いた5相モータ駆動回路
- 125.....TA 7745を使ったブラシレス・モータ駆動回路
- 125.....SCRを用いたユニバーサル・モータの帰還型速度制御回路
- 126.....TRIACとDIACを用いた電気掃除機/扇風機/速度制御回路



# 8 電源回路

- 127.....温度補償型定電圧ダイオードを用いた基準電圧回路
- 127.....高精度が得られる 10 V 基準電圧回路
- 128.....ロー・パワー基準電圧 IC LM 385 を用いた+10/-10/±2V ロー・パワー基準電圧回路
- 130.....CMOS 3 端子レギュレータを用いたロー・パワー・レギュレータ回路
- 131.....入出力間電圧が小さく損失の小さい+5V 0.5 A レギュレータ回路
- 132.....LT 1020 を用いて低消費電力を実現した+5V 1 A/-5V 0.1 A レギュレータ回路
- 132.....出力電圧可変型 3 端子レギュレータ LM 317 を用いた出力電圧可変型レギュレータ回路
- 134.....出力電圧可変型 3 端子レギュレータ LT 317 を用いた 3~15 V 2 A レギュレータ回路
- 134.....制限電流が自由に設定できる 0~25 V/0~1.5 A 電流リミッタ付きレギュレータ回路
- 135.....イネーブル端子を備えたレギュレータ IC LT 1005 の応用
- 137.....入力電圧が低下すると出力が OFF する 5V 1 A レギュレータ回路
- 138.....高速応答過電流ブレーカを備えた 5V 1 A レギュレータ回路
- 138.....遅れ時間 12 ns の高速サーキット・ブレーカ回路
- 139.....交流信号も扱える電圧・電流レギュレータ回路
- 140.....ディスクリート素子で構成した 5V 0.5 A チョッパ型レギュレータ回路
- 141.....TL 499 A を用いて自動的にバッテリー・バックアップが行える 9V スwitching・レギュレータ回路
- 142.....LT 1073 を用いて入力電圧低下出力をもった 9V → 5V ステップ・ダウン・コンバータ
- 143.....LT 1073 を用いた 1.5 V → 9V ステップ・アップ・コンバータ
- 144.....MB 3776 A を用いて電池電圧低下検出インジケータをもたせた 3V → 6V 500 mV ステップ・アップ・コンバータ
- 146.....TL 499 A を使った+3V → +9V ステップ・アップ・コンバータ
- 147.....MAX 630 を用いて入力電圧低下出力をもった+5V → +15 V ステップ・アップ・コンバータ
- 148.....MAX 634 を用いて入力電圧低下出力をもった+15 V → -5V 極性反転レギュレータ
- 149.....ICL 7660 を用いた+5V/+10 V → -5V 極性反転コンバータ
- 151.....TL 1451 1 個でできる+5V 1 A/-5V 0.5 A 正負電圧スウィッチング・レギュレータ
- 152.....TA 7900 S を用いた+5V ウォッチ・ドグ・タイマ
- 154.....MAX 690 シリーズを用いた MPU 用システム電源回路
- 156.....AC ラインから直接 DC が得られる AC 100 V → DC +5V レギュレータ
- 157.....ラムダ・ダイオード MA 522 を用いたオート AC コンセント
- 158.....CTL センサを使った AC ライン電流検出回路
- 159.....LED インジケータの付いた NiCd 電池充電回路
- 161.....専用 IC TA 8532 P/F を使った鉛蓄電池充電回路

岡部匡伸, 更科一, 飯田文夫, 山本好一, 花田恒健, 佐井行雄, 稲葉保, 谷田章, 金子洋平, 菅原康夫, 甲斐沢勝彦, 松田透, 石井哲, 赤間平也, 松本郁広, 末木豊, 宮崎仁, 松井邦彦, 中野正次, 佐藤武志, 山本達夫, 池田久嗣, 伊藤純二, 鈴木雅臣, 渡辺成治, 藤崎功, 菅原昭治, 鈴木憲次, 田代章, 上岡利雄, 針倉好男, 谷腰欣司, 山川初雄, 佐々木正宏, 吉田幸作, 中郷学, 山本博, 船住孝, 長橋芳行, 市川進, 佐藤守男, 戸川治朗, 鹿島伊知郎, 黒野広三, 田前正博, 名取茂, 池田猛志, 野田龍三, 村田悟, 藤村賢秀, 小林芳直



岡部匡伸/更科 一/飯田文夫/山本好一/花田恒健/佐井行雄/稲葉 保/谷田 章

ロー・ノイズOPアンプOP37と  
SFPPバッファを組み合わせたロー・ノイズ OP アンプ OP37 と SEPP バッファを組み合わせた ロー・ノイズ・アンプ ( $G_V = 16\text{dB}$ )

## QP37

最近の高性能 OP アンプを使えば、かつては個別部品を用いて入念な設計によってしか実現できなかった性能を簡単に得ることができます。

使用する OP アンプはアナログ・デバイス社 PMI の **OP37** です。ノイズが小さく、帯域が広いだけでなく、オフセットやドリフトのような直流特性もたいへん優れています。とくに、バイポーラ入力型でありながら、入力バイアス電流が FET 入力型なみに小さいことが特筆できます。これだけ見ると万能なようですが、この OP アンプは高速にするために **利得 5 倍以上** でないと **安定に使えない** という欠点があります。

また、もう一つの欠点としては、**高価**であることがあげられますが、複雑な個別部品による回路を設計することを考えれば、決して高くはないと思います。

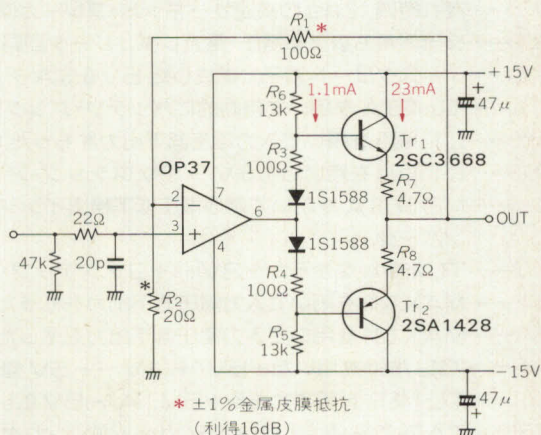
図1にOP37を使った利得16dBの非反転アンプの回路を示します。

OP アンプがロー・ノイズなので、帰還用に使用する抵抗の発生する熱雑音自体が問題になります。そこで帰還抵抗の熱雑音を避けるため、100Ωというかなり小さい値にしました。しかし、帰還抵抗はアンプの負荷と並列につながるので、直接OP アンプでドライブできないため、OP アンプの出力にエミッタ・フォロワをつけました。クロスオーバーひずみを避けるためにアイドリング電流を流して、AB 級としています。

この場合、帰還抵抗を  $100\Omega$  としたため、最大出力電圧を  $10V$  とすると  $Tr_1$ ,  $Tr_2$  に流れる電流は  $120mA$  となり、トランジスタの電力損失は  $0.6W$  程度になります。そこでトランジスタには **小型パワー・トランジスタ** 2SA1428 と 2SC3668 を使いました。

エミッタ・フォロワは電圧利得をもたないため、とくにロー・ノイズ・タイプのトランジスタを使う必要はありません。もし最大出力電圧付近で長時間使うときや、周囲温度が高いときは石の形状を変えてヒート・シンクを付ける必要があります。

〈図 1〉 高性能 OP アンプを使ったロー・ノイズ・アンプ



この回路の欠点としては小信号増幅回路でありながら、パワー・アンプなみの電力を消費する点にあります。

発熱を抑えるには、ドライブ能力は下がりますが、 $R_5$ 、 $R_6$ を調整してトランジスタに流れる電流を少なくして、そのかわりノイズが十分小さい範囲で帰還抵抗を大きくする必要があります。

OP37の性能をもってすれば、たいていの場合はバッファをつけてまで帰還インピーダンスを下げなくても、十分なS/Nが得られると思います。重い負荷を駆動してなおかつ低雑音にするには、このような**高性能OPアンプ+バッファ**という構成は有効な方法です。

〈岡部匡伸〉

## ◆参考文献◆

- (1) アナログ・デバイスズ, PMI ディビジョン・データブック  
1991/1993

(トランジスタ技術 1990年10月号)

トランジスタ技術  
SPECIAL



## NJM2068

ロー・ノイズ・アンプを構成する場合、信号源インピーダンスの大きさにより、**バイポーラ・トランジスタ入力**にするか**FET入力**にするか、使い分ける必要があります。ひとつの目安として、信号源抵抗が $1\text{k}\Omega$ 以下ではバイポーラ・トランジスタ入力、 $10\text{k}\Omega$ 以上ではFET入力とすればよいでしょう。

アンプの入力ノイズは図2に示すように、**電圧性ノイズ**  $e_n$ と**電流性ノイズ**  $i_n$ とに分けられます。

ここで入力ノイズ  $V_{NI}$ は、

$$V_{NI} = \sqrt{e_n^2 + (R_s \cdot i_n)^2}$$

と表されます。

一般的には  $e_n$  はバイポーラ・トランジスタのほうが小さく、 $i_n$  はFETのほうが格段に小さいという性質があります。このため  $R_s$  が小さく  $e_n$  が支配的な領域では、バイポーラ・トランジスタのほうがロー・ノイズなのですが、 $R_s$  が大きくなってきて  $R_s \cdot i_n$  の影響が大きくなってくると、FETのほうがロー・ノイズになるわけです。

図3(a)は信号源インピーダンスの小さい信号を増幅することを考えたもので、このため入力はバイポーラ・トランジスタ入力のロー・ノイズOPアンプ

NJM2068を使っています。同図(b)にピン接続を、図(c)に換算雑音電圧—信号源抵抗の特性を示します。

$R_s=1\text{k}\Omega$ のあたりから  $V_{NI}$  が大きくなってきますが、これは先に述べたように**電流性ノイズ**によるものです。

信号源インピーダンスが高いときにはFET入力のOPアンプに変えればよいのです。たとえばNJM2082などを使えばよいでしょう。

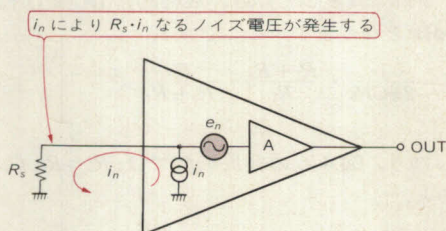
〈岡部匡伸/更科 一〉

### 参考文献

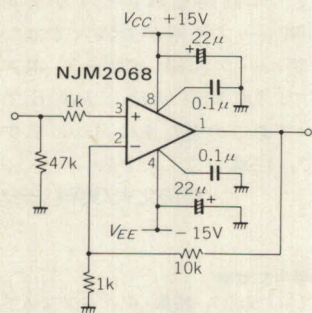
(1) 新日本無線, '91 半導体データブック, バイポーラ IC

(トランジスタ技術 1990年10月号)

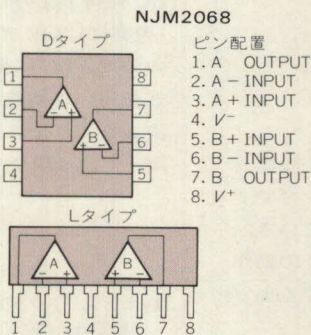
〈図2〉アンプの入力ノイズ



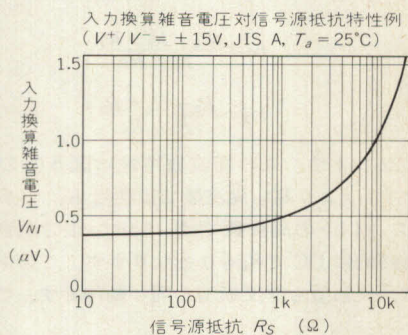
〈図3〉バイポーラOPアンプを使ったロー・ノイズ・アンプ



(a) 回路例



(b) ピン接続



(c) 雑音特性

## 積分回路を応用した ゼロ点補正回路

図4は**ゼロ点補正回路**で、**DCサーボ**とも呼ばれる回路です。出力電圧が平均的にゼロとなるように入力に打ち消し電圧を加えるのに使います。

高利得のアンプはゼロ点ドリフトが大きいので、出力を直流まで増幅する必要のないものにはよく使われます。オーディオでは直流まで再生することは無意味

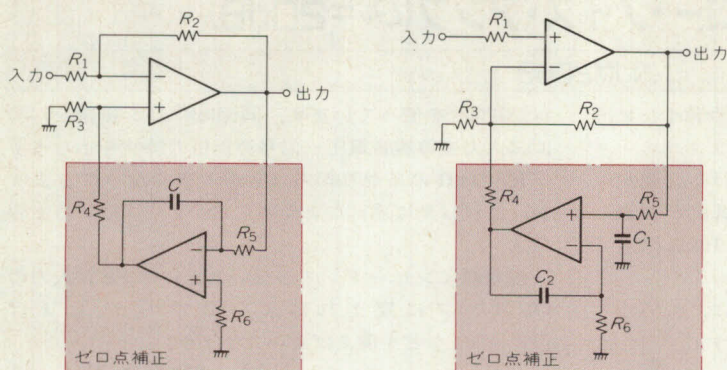
なので、一般にDCアンプといわれるものでも、積分器を利用して直流のオフセットを取り除いています。

図(a)の反転型の場合、伝達関数  $T(s) (= V_{out} / V_{in})$  は、

$$T(s) = -\frac{R_2}{R_1} \cdot \frac{s}{s + \frac{R_1 + R_2}{R_1} \cdot \frac{R_3}{R_3 + R_4} \cdot \frac{1}{CR_5}}$$



〈図4〉 積分回路を応用したゼロ点補正回路



(a) 反転型

(b) 非反転型

と表されます。この周波数特性を図示すると、図5(a)のようになります。 $f_0$ より高い周波数では利得  $R_2/R_1$  の反転アンプですが、 $f_0$ 以下の周波数では  $-6\text{dB/oct}$  の傾斜で減衰していき、最終的に DC では利得 0 ( $-\infty\text{dB}$ ) となります。ここで  $f_0$  は、

$$f_0 = \frac{1}{2\pi CR_5} \cdot \frac{R_1 + R_2}{R_1} \cdot \frac{R_3}{R_3 + R_4}$$

です。

いっぽう、図4(b)の非反転型では、 $R_5 = R_6$ 、 $C_1 = C_2$  とすると、

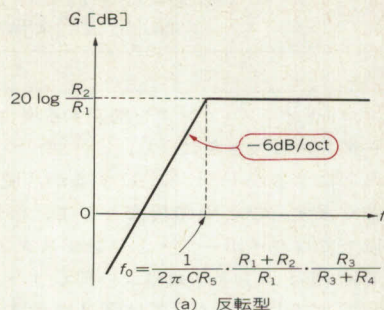
$$T(s) = K_1 \cdot \frac{1}{s + \frac{K_1}{K_2} \cdot \frac{1}{C_1 R_5}}$$

$$\left( \begin{aligned} \text{ただし、} K_1 &= \frac{R_2 + R_3 \parallel R_4}{R_3 \parallel R_4} \\ K_2 &= \frac{R_4 + R_2 \parallel R_3}{R_2 \parallel R_3} \end{aligned} \right)$$

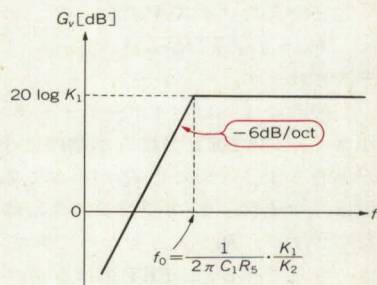
となります。この周波数特性は図5(b)のようになります。 $f_0$ より高い周波数では利得  $K_1$  の正転アンプですが、 $f_0$ 以下の周波数では  $-6\text{dB/oct}$  で減衰していき、最終的に DC で利得 0 となります。このあたりの動作は、反転型も非反転型も同じ動作です。ここで  $f_0$  は、

$$f_0 = \frac{1}{2\pi C_1 R_5} \cdot \frac{K_1}{K_2}$$

〈図5〉 ゼロ点補正回路の周波数特性



(a) 反転型



(b) 非反転型

です。

通常の NF 部にコンデンサを入れた AC アンプとの大きな違いは、**DC 利得**です。通常の AC アンプでは DC 利得 1 なのに対して、本回路では 0 となります [現実には OP アンプの開ループ利得が無限大ではないので、DC 利得は  $(1/\text{開ループ利得})$  となる]。本方式を用いた回路の説明で、DC 利得が  $R_3$  と  $R_4$  の比で決まるようなことを書いてあるのをたまに見かけますが、それは誤りですので、注意してください。

〈飯田文夫/更科 一〉

#### 参考文献

- (1) トランジスタ技術 SPECIAL No.17, 特集 OP アンプによる回路設計入門

(トランジスタ技術 1986 年 7 月号)

## ロー・ノイズ OP アンプ NE5532 を使った マイク・アンプ ( $G_v = 46\text{dB}$ )

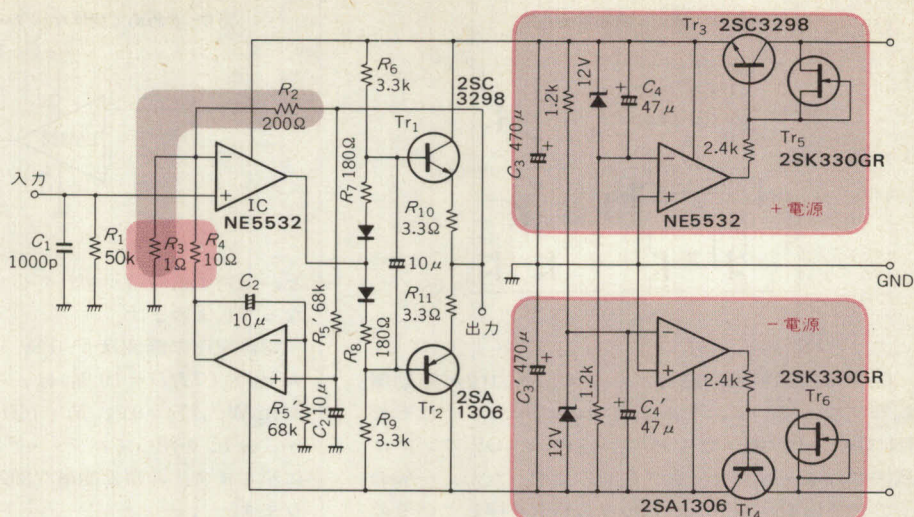
### NE5532

図6に NE5532 を用いたオーディオ用ロー・レベル・アンプの応用例を示します。このロー・レベル・アンプは、おもにマイクを対象として考えています。ゲインは  $46\text{dB}$  (200 倍) に設定しています。使用方法としては、このアンプの出力をライン入力に接続するようにします。

構成としては、いわゆる DC サーボをかけて、入力、出力からカップリング・コンデンサを削除しています。また、帰還抵抗の熱雑音を少しでも小さくするために、帰還抵抗の大きさを低くしています。そのため、出力段にはコンプリメンタリの電流バッファを付けています。



〈図6〉  
マイク・アンプ回路



通過域の利得は $R_2$ と $R_3$ の比になり、 $R_2$ を200Ω、 $R_3$ を1Ωとして約46dB稼いでいます。DCサーボの周波数特性は、

$$f = \frac{1}{2\pi C_2 R_5} \text{ (Hz)}$$

のハイパス・フィルタになり、これよりも十分低い周波数部分(DC)ではICの裸の利得で動作しています。

メイン回路、DCサーボ回路とも同一ICで増幅を行えば、低レベル動作であるための外部からのノイズに対する影響を小さくすることができるほか、内部から発生する雑音も抑えられます。

電源もロー・レベル・アンプ用としては、遠くからの供給ではなく、**局部的に配置**されていたほうが、雑音やハム、インピーダンスの上昇などを防ぐことができます。

ICを使用したレギュレータは、増幅器と同様に**雑音特性に留意**しなければ、いったん入ってしまった雑音は、デカップリング・コンデンサでは取り除くことはできません。また、**商用電源のふらつき**(100Vの包絡線を拡大すると、一見 $1/f$ ノイズに見える)を防ぐ意味から、レギュレータはかならず必要です。

この回路の注意点としては、

① ICは雑音特性の良いものを用いる。

本回路ではNE5532を使用してみました。音を聴いても決して無駄ではないと思います。

②電源のツェナ電流は、許容電力の1/3程度まで流して、低雑音領域を使用する。

などです。

ツェナ・ダイオードに並列に挿入されているコンデンサは、**交流のループ・ゲイン**を高くすると、**ダイオードのノイズをシャント**する効果があります。制御用トランジスタ $Tr_3$ のバイアスは $Tr_5$ (FET)で定電流として交流ゲインを高くして、リップルなどに対するレギュレーションを大きくしてあります。

入力換算雑音は-142dBVを得ています。ちなみに、同一回路でICだけをNJM2068に変更すると、-146dBVくらいにはなりますが、20kHzのひずみ率特性が若干変わってきます。

〈花田恒健〉

#### 参考文献

- (1) フィリップス・シグネティックス、NE5532 データシート
- (2) 実用電子回路設計ノート1、CQ出版社。

(トランジスタ技術 1985年2月号)

## LM386を用いたきわめて簡単な **パワー・アンプ( $P_o=0.3W$ )**

### LM386

通常オーディオ・パワー・アンプを作るのに、ICを用いても、IC以外に**ケミコン**(電解コンデンサ)や**抵抗**を何本か必要とするものです。それに対して、ここで紹介するものは、IC以外に必要なのは**出力のカップリング・コンデンサ1個だけ**という、きわめて簡単な回路でパワー・アンプができるものです。

ここに使うICは**LM386**(ナショナル・セミコンダク

ター社)で、以下のような特徴があります。

①**入力のカップリング・コンデンサが不要。**

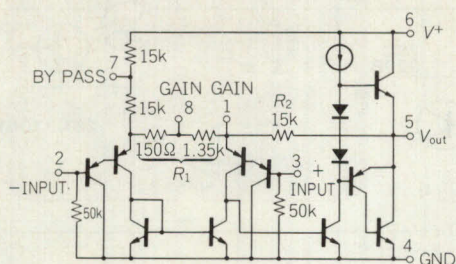
②**負帰還のケミコンが不要。**

③内部でNFがかかっているの、そのままでも利得26dBのアンプとなり、さらにケミコンを外付けすれば利得は46dBまで大きくできる。

④**インストルメンテーション・アンプの形式をとって**



〈図7〉 LM386 内部等価回路



おり、IN<sup>+</sup>端子、IN<sup>-</sup>端子がある。

図7に内部等価回路を示します。入力段が差動増幅器になっていて、そのふたつのベースがそれぞれIN<sup>+</sup>端子、IN<sup>-</sup>端子となっているのは、OPアンプに代表される一般的なアンプと同じです。ただ、一般のものがそのIN<sup>-</sup>端子へ出力から負帰還を戻しているのに対し、この回路ではエミッタに負帰還が戻っています。このため、入力を差動で用いても、高い入力インピーダンスで使うことができます。

アンプの利得  $A_v$  は、

$$A_v \approx 2R_2/R_1 \quad [\text{倍}]$$

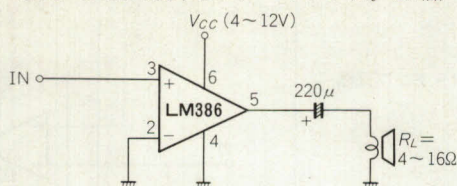
ですので、入出力関係は以下のようになります。

$$V_{OUT} \approx (2R_2/R_1) (V_{IN^+} - V_{IN^-})$$

このままだと、 $R_1 = 1.5k\Omega$ 、 $R_2 = 15k\Omega$  ですので、利得は20倍(26dB)となります。

また、①-⑧ピン間をケミコンで交流的に短絡すると、 $R_1 = 150\Omega$  になり、したがって利得は200倍(46dB)となります。ケミコンに直列抵抗を入れることによって、20~200倍の間の値に利得を設定できます。①-⑧ピン間をケミコンを使わずに直接短絡する

〈図8〉 きわめて簡単なパワー・アンプ ( $A_v = 20$  倍)



と、出力中点電位がずれてしまって正常に動作しなくなってしまう。

電源電圧の範囲は4~12Vと広いので便利です。最大出力 ( $THD = 10\%$ ) は、 $V_{cc} = 6V$ 、 $R_L = 8\Omega$  で325mW、 $V_{cc} = 9V$ 、 $R_L = 16\Omega$  で500mWです。

このICを使ってパワー・アンプを作った回路を図8に示します。非常に簡単な回路だというのがよくわかります。

先にも述べましたように、この回路では利得は20倍ですが、①-⑧ピン間にケミコン(10μF)を入れることにより、200倍まで利得を上げることができます。

また図8の中には書いてありませんが、負荷の条件によっては発振することもあります。その場合は⑤ピンとGNDの間に、コンデンサ0.047μFと抵抗10Ωをシリーズ接続したものを入れます。さらに電源にリップルが含まれる場合(電池動作させるときなど)は、⑦ピンとGNDの間にリップル・フィルタとして、10μFのケミコンを入れたらよいでしょう。

〈更科 一〉

#### ●引用文献●

(1) 新日本無線、半導体データブック、'85、pp.2-131~135。

(トランジスタ技術 1985年7月号付録)

ディスクリート・トランジスタで  
構成したHIFI

## パワー・アンプ( $P_o = 50W$ )

2SA815, 2SA1093, 2SA1142, 2SC1142, 2SC1815, 2SC2240, 2SC2563, 2K150GR

図9に標準的なオーディオ・パワー・アンプの回路を示します。

$Tr_1$ 、 $Tr_2$ は入力の差動増幅回路です。FETを用いているので入力にはコンデンサなしで直結することができます。CM<sub>1</sub>は定電流回路を作り出すためのカレント・ミラー回路で、 $Tr_3$ のコレクタ電流  $I_{C(Tr3)}$  は、

$$I_{C(Tr3)} = \frac{-45 + 0.7}{13k + 1.8k} = 3mA$$

です。

$Tr_4$ 、 $Tr_5$ は2段目の差動増幅回路で、 $Tr_5$ のC-B間のコンデンサは発振止めのコンデンサです。この段の動作電流は、

$$I_{C(Tr4)} = I_{C(Tr5)} = \frac{3.3k \times 3m / 2 - 0.7}{270} \cdot \frac{1}{2} = 7.87mA$$

となります。 $Tr_4$ 、 $Tr_5$ の負荷はCM<sub>2</sub>によるカレント・ミラー負荷になっており、ここで高利得を得ています。

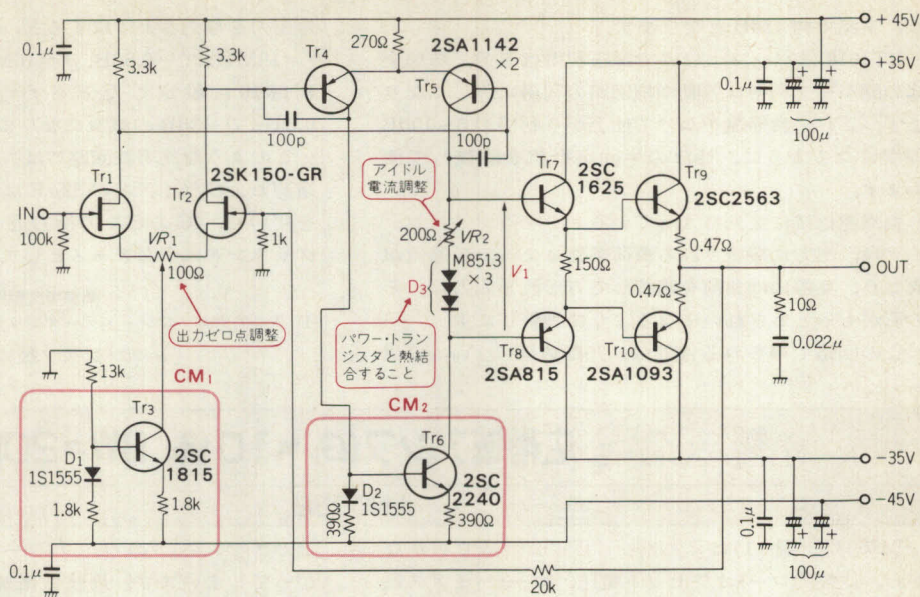
また、 $D_3$ と $VR_2$ で $Tr_7 \sim Tr_{10}$ のバイアス電圧  $V_1$  を作り出していますが、 $D_3$ はここでは出力段のアイドル電流の温度補償をしています。

さらに  $V_1$  が温度が変化しても動かないとすると、パワー・トランジスタに電流が流れて温度が上昇すると電流は増えて、さらに温度が上昇し……ということを繰り返す、ついにはパワー・トランジスタは壊れてしまいます。

ところが  $D_3$  があれば、 $D_3$  の両端の電圧は温度が上昇するにつれて小さくなるので  $V_1$  も小さくなり、結局これらが打ち消し合ってアイドル電流は温度が変化



〈図 9〉  
50W パワー・アンプ



しても動かないことになります。

出力段は、 $Tr_7$ 、 $Tr_8$ がパワー・ドライバ、 $Tr_9$ 、 $Tr_{10}$ がパワー段になっています。差動増幅段の電源は±45V なのに対して、出力段は±35V と低くなっています。

これはパワー・トランジスタの熱損失を少しでも小さくするために、同じ電源電圧で駆動させると、最大出力はさほど変わらないのに、パワー・トランジスタは1ランク大きなものを使わなければならないようになります。

最後に  $VR_1$  と  $VR_2$  の調整ですが、初期設定は  $VR_1$  をセンター、 $VR_2$  を最小にしておきます。この状態から、 $VR_1$  は出力 DC 電位が 0 となるように、 $VR_2$  は  $Tr_9$ 、 $Tr_{10}$  のアイドル電流が 50~100mA になるように調整します。

〈更科 一/山本好一〉

#### 参考文献

- (1) トランジスタ技術 SPECIAL No.1, 特集個別半導体素子活用法のすべ。

(トランジスタ技術 1985 年 1 月号)

## パワー・バッファ IC LT1010 を用いた 広帯域ライン・ドライバ ( $G_v=2$ 倍, $BW=20MHz$ )

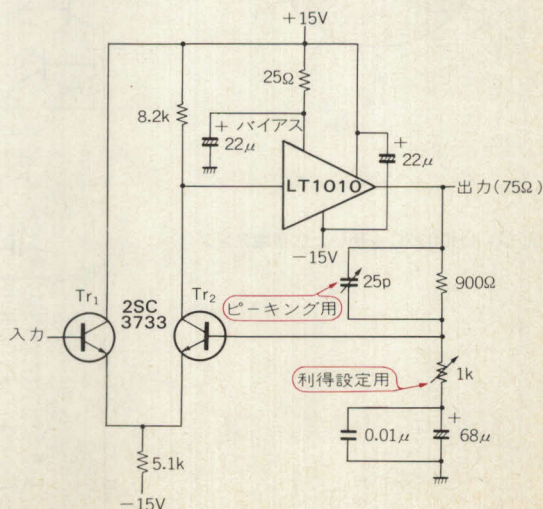
### LT1010

**LT1010** はほかの OP アンプやディスクリート素子と組み合わせて用いられる **高速パワー・バッファ** で、出力帯域幅 20MHz、スルーレート 75V/μs で、75Ω 負荷に対して ±10V の出力振幅を与えることができます。容量負荷にも強く、1μF 以上の容量をドライブでき、通常は ±15V の電源電圧で用いますが、5V 単一電源でも動作します。一般的な OP アンプに見られる **過電流保護回路** のほかに、**温度保護回路** も内蔵されています。

ここでは、この **LT1010** を出力段に用いた **ビデオ・アンプ** を紹介しましょう。

図 10 がその回路で、電圧利得を稼ぐ差動増幅段 ( $Tr_1$ 、 $Tr_2$ ) と出力電流を得る LT1010 の 2 段構成になっています。LT1010 の入力部はエミッタ・フォロワになっているので入力抵抗は十分に高く、そのため差動増幅回路の利得は 5.1kΩ と 8.2kΩ によって決ま

〈図 10〉ビデオ・アンプの回路図





り、常温で約 43dB となります。

LT1010 はバッファなので電圧利得は 1 で、結局全体の開ループ利得は差動増幅回路の利得に等しくなります。これに負帰還をかけて仕上がり利得が 6~10dB 程度になるように、1k $\Omega$  の半固定抵抗を調整して使います。

負帰還抵抗に並列に入っているピーキング・コンデンサは、出力に接続される負荷条件によって最適値が異なり、実際には負荷を接続して方形波を入力し、その形がもっともきれいになるように調整します。

この回路で得られる性能は、75 $\Omega$  負荷に 1V<sub>P-P</sub> の信

号出力を与えるようにすると、利得 2 に設定したとき  $f=10\text{MHz}$  で -0.5dB、 $f=16\text{MHz}$  で -3dB の減衰、利得 10 に設定したとき  $f=4\text{MHz}$  で -0.5dB、 $f=8\text{MHz}$  で -3dB の減衰になります。

このような高周波回路では実装上の注意も必要で、電源およびバイアスの 22 $\mu\text{F}$  はタンタル・コンデンサを用いて、IC のピンの極力近くに配置します。またグラウンドは全面アースとします。 <更科 一>

#### ●参考文献●

(1) リニアテクノロジー・データブック

(トランジスタ技術 1988 年 1 月号付録)

## 専用ハイブリッド IC LH0032C を用いた 広帯域アンプ ( $G_V=10$ 倍, $BW=20\text{MHz}$ )

### LH0032

LH0032C (図 11) は入力 FET で広帯域でありながら、比較的ロー・オフセット電圧、ロー・バイアス電流でいろいろな応用に適用できます。

内部はハイブリッド IC で位相補償用コンデンサがついていないため外付けで使います。

図 12 の回路例は 10 倍のゲインのアンプで、位相補償用コンデンサを取り付けていますが、ゲインが 100 倍以上ならばコンデンサは不要になります。

この IC を非反転増幅器として使う場合は、10 倍以

上のゲインにしないと、パワー・バンド幅が極端に下がってしまいます。周波数帯域幅  $f_c$  はゲイン 10 倍で 20MHz、ゲイン 100 倍で 10MHz 程度が目安となります。

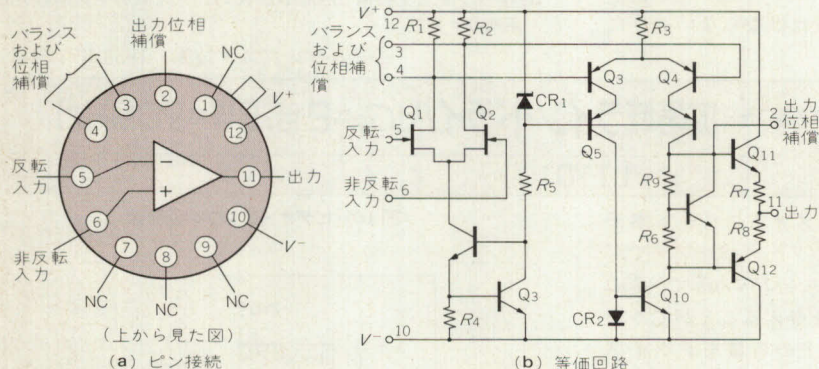
また、 $\pm 15\text{V}$  電源で使用した場合 1W 近い発熱となるため、放熱する必要があります。 <佐井行雄>

#### ●参考文献●

(1) ナショナル・セミコンダクター、LH0032 データシート

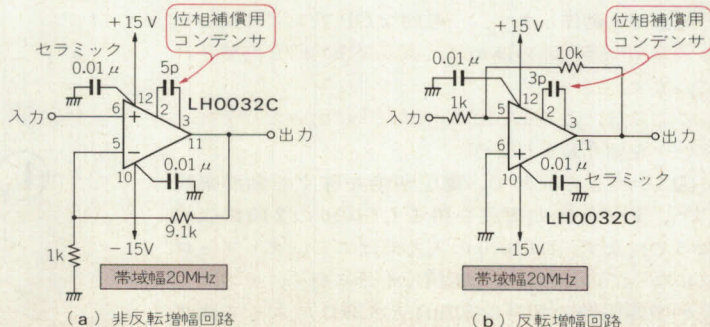
(トランジスタ技術 1990 年 10 月号)

<図 11> 広帯域アンプ LH0032C



(c) 外観

<図 12> LH0032C を用いた広帯域アンプ

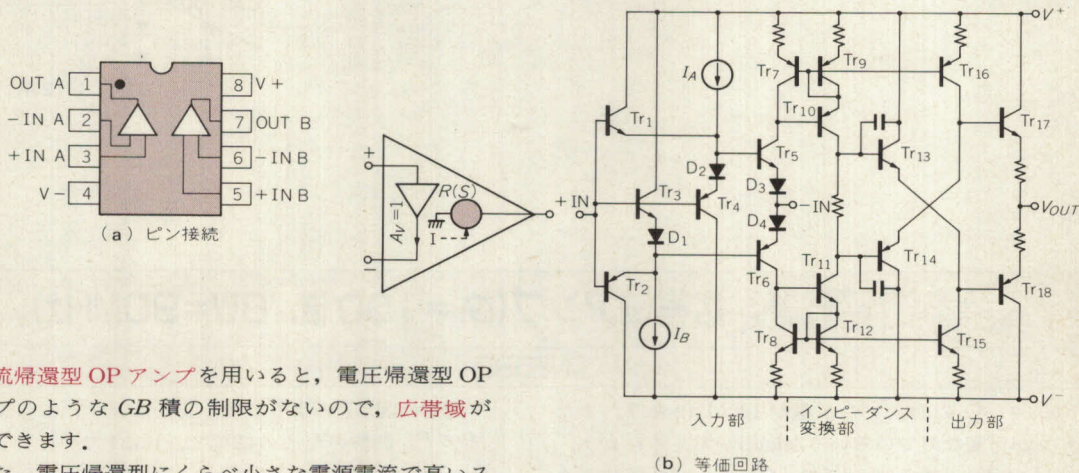




電流帰還型 OP アンプ OP260 を用いた **広帯域アンプ** ( $G_v=10$  倍,  $BW=20\text{MHz}$ )

OP260

〈図 13〉 電流帰還型 OP アンプ OP260



電流帰還型 OP アンプを用いると、電圧帰還型 OP アンプのような  $GB$  積の制限がないので、**広帯域**が実現できます。

また、電圧帰還型にくらべ小さな電源電流で高いスルーレートが得られます。例に示した **OP260** (図 13) は  $1000\text{V}/\mu\text{s}$  のスルーレートですが、消費電流は  $5\text{mA}$  にすぎません。

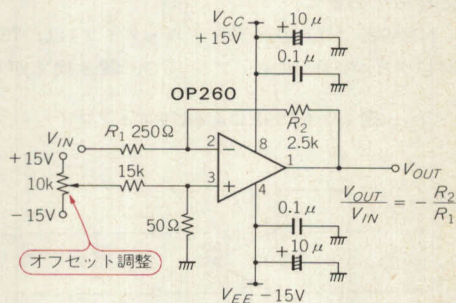
図 14 はこの電流帰還型 OP アンプを使った反転アンプです。10 倍のゲインで  $20\text{MHz}$  の帯域が得られます。  
 〈佐井行雄〉

参考文献

(1) アナログ・デバイスズ, PMI ディビジョン・データブック 1991/1993

(トランジスタ技術 1990 年 10 月号)

〈図 14〉 電流帰還型 OP アンプを使った広帯域アンプ



ローコスト・ビデオ・アンプ CA3100 を用いた **広帯域アンプ** ( $G_v=10$  倍,  $BW=20\text{MHz}$ ) / **広帯域ライン・ドライバ** ( $G_v=10$  倍,  $BW=15\text{MHz}$ )

CA3100

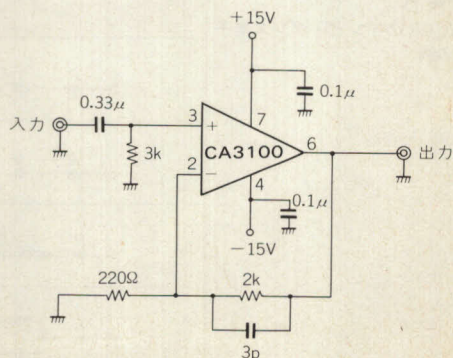
広帯域アンプは通常価格の高いものが多いのですが、なかには **CA3100** (ハリス社 RCA) のように比較的価格のものもあります。

図 15 はこの IC を使った広帯域アンプで、10 倍の利得をもち、バンド幅  $20\text{MHz}$ 、入力換算ノイズ  $35\mu\text{V}_{\text{rms}}$  となっています。

帰還抵抗に並列に入っている  $3\text{pF}$  のコンデンサは高域の安定性をよくするためのものです。これがなければ最大出力帯域幅  $1.2\text{MHz}$ 、スルーレート  $70\text{V}/\mu\text{s}$  が得られます。

また図 16 は  $75\Omega$  負荷をドライブすることができるようにしたライン・ドライバ回路です。この回路で、

〈図 15〉ビデオ増幅器





利得 10 倍，バンド幅 15MHz 程度が得られます。

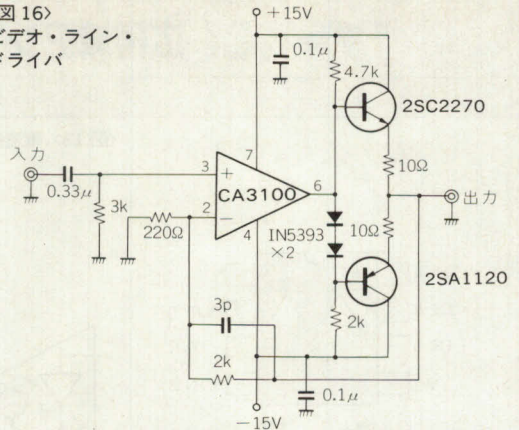
〈更科 一〉

●参考文献●

(1) RCA, データブック

(トランジスタ技術 1988 年 1 月号付録)

〈図 16〉  
ビデオ・ライン・  
ドライバ



外付けで簡単に周波数特性を  
もたせられる NE592 を用いた

## 広帯域アンプ ( $G_v=100$ 倍, $BW=90\text{MHz}$ )

### NE592

NE592/SE592 は，バンド幅が 120MHz あり，またゲインが可変なのでいろいろな応用が考えられます。このアンプは差動入力なので，OP アンプと同じような使い方ができます。また，二つの出力は互いに逆相になっています。

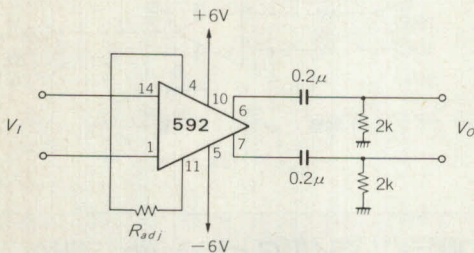
NE592, NE5592 (デュアル・タイプ) は，733 とほぼ同じタイプのビデオ・アンプで，置き換えが可能です。

通常は図 17 のような使い方をします。ここで  $R_{adj}$  はゲイン調整のための抵抗で，10kΩ でゲイン 1 倍，1kΩ で 10 倍，100Ω で 100 倍，ショートで約 400 倍になります。

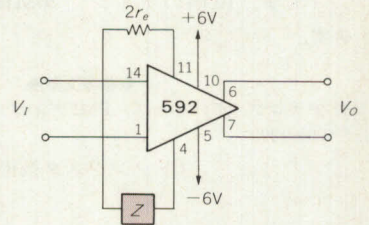
バンド幅は，ゲイン 100 倍で 90MHz，400 倍で 40MHz に低下します。

このゲイン調整用の抵抗を，図 18 のようにインピ

〈図 17〉 NE592 によるビデオ・アンプ



〈図 18〉  
NE592 の伝達特性を  
表す式



$$\frac{V_O(s)}{V_I(s)} = \frac{1.4 \times 10^4}{Z(s) + Z_{re}} = \frac{1.4 \times 10^4}{Z(s) + 32}$$

$Z(s)$  : 抵抗またはインピーダンス

〈表 1〉  
図 18 のインピーダンス素子  
の例

$Z$	フィルタ・タイプ	伝達関数 $\frac{V_O(s)}{V_I(s)}$
	ローパス	$\frac{1.4 \times 10^4}{L} \left[ \frac{1}{s + R/L} \right]$
	ハイパス	$\frac{1.4 \times 10^4}{R} \left[ \frac{s}{s + 1/RC} \right]$
	バンド・パス	$\frac{1.4 \times 10^4}{L} \left[ \frac{s}{s^2 + R/Ls + 1/LC} \right]$
	バンド・リジェクト	$\frac{1.4 \times 10^4}{s} \left[ \frac{s^2 + 1/LC}{s^2 + 1/LC + s/RC} \right]$



は、表 1 のような例が挙げられます。〈更科 一〉

## ◆参考文献◆

- (1) フィリップス・シグネティックス, NE592 データシート  
(トランジスタ技術 1988 年 1 月号付録)

ビデオ・アンプIC  
μPC1663を用いた

広帯域ライン・ドライバ( $G_V=320$  倍,  $BW=120\text{MHz}$ )

$\mu$ PC1663

ビデオ・アンプ IC とは 1MHz から 100MHz 程度のビデオ帯までの信号の増幅ができる IC の総称で、一般的には内部素子による負帰還がすでにかかけられているアンプです。

内部帰還のため広帯域が得られやすく、位相遅れが小さい、75Ω、50Ω系のラインをドライブできるなどの特徴があります。

図 19 にビデオ・アンプ IC の一例を示します。

このアンプは 10~320 倍の差動ゲインがあり、320 倍で 120MHz の帯域をもっています。反面、**入力抵**

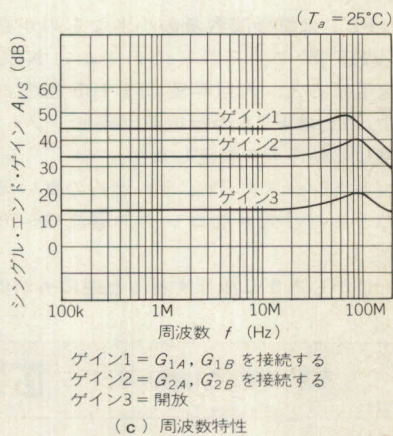
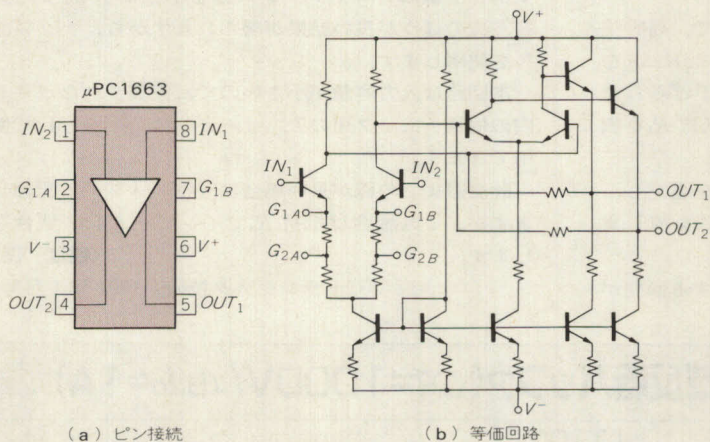
抗が小さい、出力電圧が小さいなどの欠点もあります。

図 20 に示した回路例はライン・ドライバですが、使用にあたっては、信号源抵抗は  $1k\Omega$  以下で両入力のバランスを取り、出力電流の吸い込み能力が小さいので、低インピーダンスの負荷の場合はバイパス抵抗を設けて電流が流せるようにします。 <佐井行雄>

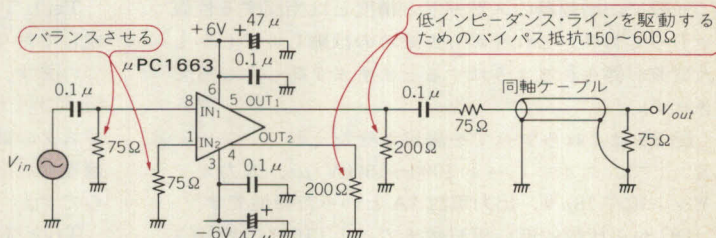
## ◆参考文献◆

- (1) 日本電気, 産業用リニア IC データブック 1990  
(トランジスタ技術 1990 年 10 月号)

〈図 19〉 ビデオ・アンプ用 IC  $\mu$ PC1663



〈図 20〉  
ビデオ・アンプ用 IC を使った  
ライン・ドライバ





高入力抵抗でしかも広帯域アンプ(バッファ)を実現するために**入力素子として FET**を使用することになります。

ソース接地回路では電極間容量  $C_{gs}$  が入力容量になってしまいますから、**ソース・フォロワで受ける回路構成**としますが、ドレイン-ゲート間容量  $C_{dg}$  が入力容量に影響を与えます。

図 21 は利得がほぼ 1(0dB)の**広帯域バッファ・アンプ**です。ソース・フォロワ  $Tr_1$  を定電流バイアスして、PNP と NPN トランジスタを組み合わせたエミッタ・フォロワで構成しています。 $Tr_3$  と  $Tr_4$  はベース・エミッタ間電圧  $V_{BE}$  の温度係数を相殺できる回路構成で、直流安定度の改善を期待できます。

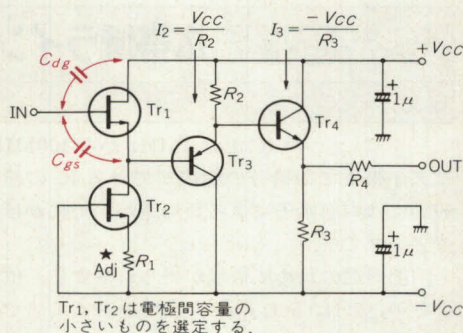
本回路は全段がフォロワ動作ですから説明の必要はないかもしれませんが、使用する FET やトランジスタの品種選定と動作点の設定が大きなポイントとなります。

FET は電極間容量の小さなものが必要で、**高周波(VHF 帯)で使えるもの**の中から NEC の **2SK238** を選定すると、入力容量  $C_i$  を 1pF 程度まで下げられます。 $Tr_2$  は FET の定電流回路で、ソース抵抗  $R_1$  を調整して動作点を設定します。

トランジスタ  $Tr_3$ 、 $Tr_4$  は  $f_T$  の高い品種を選定し、できるだけ大きなコレクタ電流(5~10mA)を流します。

しかしあまり流しすぎると逆に  $f_T$  が低下する傾向が

〈図 21〉 高入力インピーダンス・バッファ・アンプ



あるので、メーカーのデータシートを検討して決定しましょう。

#### ● 応用のヒント

広帯域、高周波回路はできるだけ**小型化**(パターンやリード線のインダクタンス分を小さくする)**した実装方法**のほうが良い結果が得られますから、**チップ部品**を使用します。

本回路は入力容量が小さいので、実装されたボード内の信号チェック用の**インピーダンス変換器**として使用できます。

計測器までの線が長い場合は**同軸ケーブル**で配線しますが、この場合は抵抗  $R_4$  でインピーダンス整合をします。

〈稲葉 保〉

(トランジスタ技術 1991 年 1 月号)

高速・高精度で大電流が得られる

## 広帯域反転バッファ( $SR=1000V/\mu s, I_o=1A$ )

### LT1001

一般に、増幅器のスピードと精度とは相反する性質をもっており、これを両立させるのは難しく、しかも大電流が得られるようにするとますます難しくなってきます。

図 22 はこれらすべてを満足させた**反転バッファ・アンプ**で、スルーレート 1000~1500V/ $\mu s$ 、入力オフセット電圧 18 $\mu V$ 、出力電流 1A といった特性です。

DC から比較的低い周波数までは LT1001 で増幅されますが、それ以上の高い周波数は  $Tr_{10}$  のソース・フォロワで後段に伝達され、LT1001 はバイパスします。いわゆる**フィード・フォワード動作**を行っているわけで、LT1001 による増幅段の高域ロール・オフ周波数と、 $Tr_{10}$  によるフィード・フォワード部の低域ロール・オフ周波数はほぼ等しく設定されています。

$Tr_1$  と  $Tr_2$  は上下対称で、エミッタ接地アンプを構成しており、一方から見ると他方は**定電流負荷**となっています。 $Tr_4 \sim Tr_7$  が出力段で、 $Tr_6$  と  $Tr_7$  は**高周波用パワー・トランジスタ**です。どちらも NPN トランジスタの疑似コンプリメンタリ構成となっているのは、適当な**高周波用 PNP パワー・トランジスタ**がないからです。

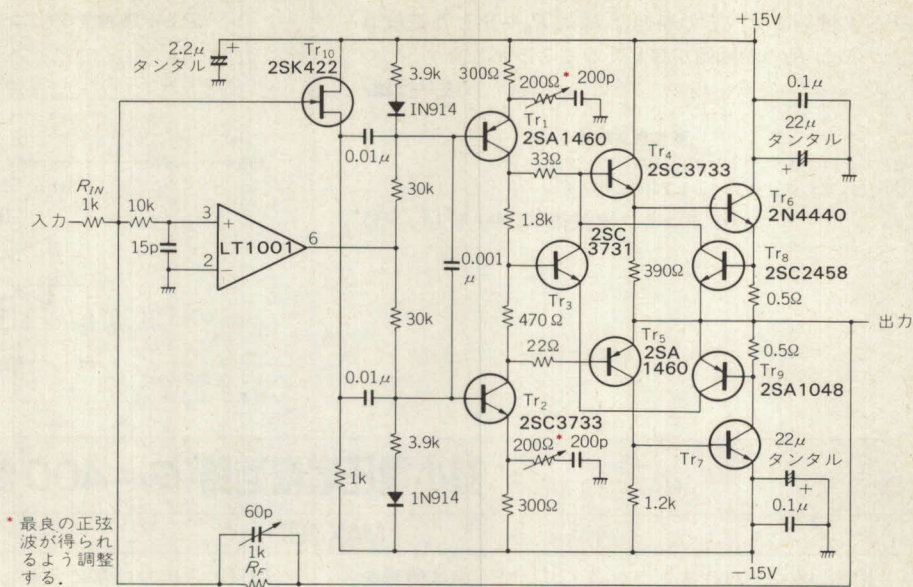
$Tr_8$  と  $Tr_9$  は**過電流防止用トランジスタ**で、出力電流が 1A を超すと 0.5 $\Omega$  に発生する電圧降下でこれらのトランジスタのうち、いずれか一方が ON して、ドライブ電流を減少させるものです。

スルーレートは 1000~1500V/ $\mu s$  になりますが、1000V/ $\mu s$  を超すと過渡特性が低下してきます。

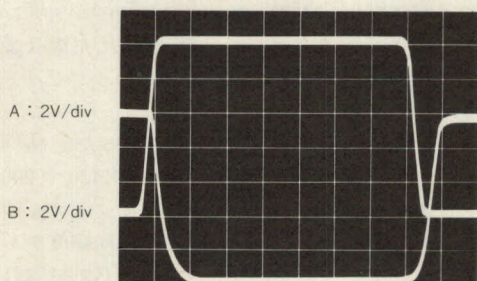
200 $\Omega$  の半固定抵抗と帰還抵抗  $R_F$  に並列に入ってい



〈図 22〉  
高速高精度で大電流の  
反転バッファ・アンプ



〈図 23〉 方形波入出力特性



水平：10ns/div

るトリマ・コンデンサの2箇所、でできるだけきれいな方形波が得られるように調整します。出力帯域幅は8MHzまで伸びています。

2N4440は高速スイッチング用パワー・トランジスタを使用する  
( $h_{FE}=10\sim200$ ,  $V_{CE0}=40V$ ,  $I_C=1.5A$ ,  $P_D=11W$ ,  $f_t=400MHz$ くらい)

直流特性はLT1001の特性がそのまま出てきます。LT1001は低オフセット、低ドリフト型のOPアンプで、直流特性に重点を置いたICです。このICの特性は、入力オフセット電圧  $18\mu V$  (typ), 入力オフセット電圧の長期間安定度  $0.3\mu V/月$  (typ), 入力オフセット電圧温度係数  $0.3\mu V/^{\circ}C$  (typ) などとなっています。また、出力電流は前述のように  $\pm 1A$  で、 $10\Omega$  の負荷を駆動することができます。

最後に本回路の方形波入力特性を図23に載せておきます。上側が入力で下側が出力です。〈更科 一〉

#### 参考文献

(1) リニアテクノロジー、データブック

(トランジスタ技術 1988年1月号付録)

高精度 OP アンプ  
OP07/LT1001 を用いた

## 微小電圧増幅回路

### OP07/LT1001

高精度 OP アンプは微小電圧測定用に設計された超低オフセット電圧、低温度ドリフト特性を特徴とするアンプで、代表的な例としてアナログ・デバイセズ PMI の OP07 やリニアテクノロジーの LT1001 などがあります。

これらの OP アンプでは数十 mV の入力信号ならばオフセット調整の必要がなく、1mV 以下の信号の場合にオフセット調整を行う程度でかまいません。

さらにバイポーラ・トランジスタ構成にもかかわらず、入力バイアス電流が 1nA 以下となっているため、オフセット電流による誤差もきわめて小さくできます。

図24は反転アンプとして使った例で、 $IN^+/IN^-$ 端子から見た抵抗値を等しくすることにより、**バイアス電流の影響をキャンセル**させています。

なお入力信号源抵抗  $R_g$  が  $R_1$  にくらべて十分小さくないと誤差が生じるので、その場合は非反転アンプ



として使います。その場合は  $R_3$  に  $R_g$  を足した抵抗値と、 $R_1$  と  $R_2$  の並列値が等しくなるようにします。

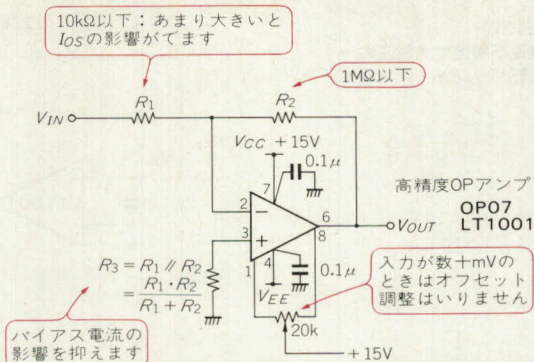
〈佐井行雄〉

●参考文献●

- (1) アナログ・デバイス, OP07 データシート
- (2) リニアテクノロジー, LT1001 データシート

(トランジスタ技術 1990 年 10 月号)

〈図 24〉 高精度 OP アンプを使った増幅回路



## チョッパ・アンプ MAX420 を用いた 微小電圧増幅回路 ( $G_V = 400$ 倍)

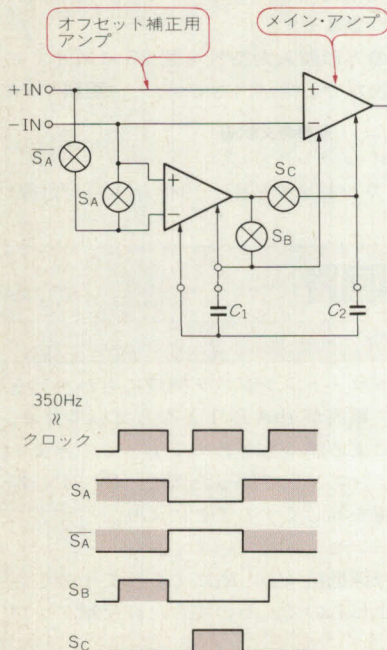
### MAX420

実際に多く使われる **チョッパ・アンプ回路** は信号をチョップして交流増幅するものではなく、オフセット補正用のアンプをもつ **チョッパ・スタビライズド・アンプ** です。

通常のチョッパ・アンプでは信号が途切れるため、周波数特性、ノイズなどの問題があるからです。

一例として **MAX420** (マキシム) の内部構成を図 25 に示します。

〈図 25〉 MAX420 の内部構成



信号の入出力は常にメイン・アンプに接続されています。まずスイッチ  $S_A$  が ON になり、補正用アンプのオフセット電圧は  $S_B$  で  $C_1$  に充電され記憶されます。つぎに  $S_A$  が OFF,  $\overline{S_A}$  が ON になると、メイン・アンプの入力オフセット電圧を拾い、 $S_C$  で  $C_2$  に充電します。この  $C_1$  と  $C_2$  の電圧でメイン・アンプのオフセットの補正を行っています。

図 26 はこの OP アンプ MAX420 を使った回路例で、**400 倍の増幅度** をもっています。MAX420 で 200 倍増幅し、次段は出力に現れるスパイク・ノイズを消すための **アクティブ・フィルタ** で、2 倍の増幅度をもっています。

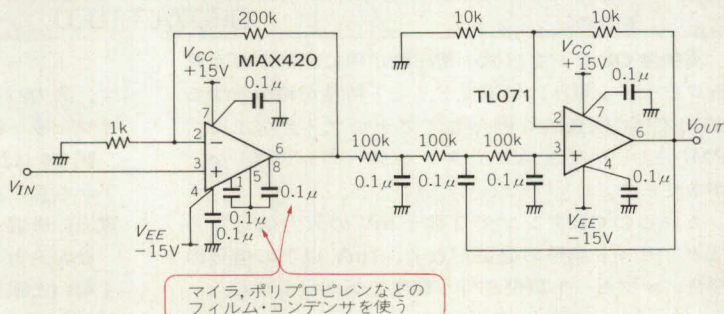
〈佐井行雄〉

●参考文献●

- (1) マキシム, 1989 Integrated Circuits Data Book

(トランジスタ技術 1990 年 10 月号)

〈図 26〉 MAX420 を使った増幅回路 (400 倍)





高温環境に適した

## 微小電流増幅回路( $I_{in}=100\text{n}\sim 1\mu\text{A}$ )

### OP08

バイポーラ・トランジスタによる OP アンプの中でも初段トランジスタに  $h_{FE}$  が数千もあるスーパー  $\beta$  トランジスタを使ったり、バイアス電流キャンセル回路をもっている OP アンプは、バイアス電流で  $1\text{nA}$ 、オフセット電流では  $100\text{pA}$  程度の性能があり、数百  $\text{nA}$  程度の電流信号を増幅するのに適しています。

また、この種のアンプは同時に高精度 OP アンプでもあり、低オフセット電圧、低ドリフトの特徴も活かせます。とくにバイアス電流のドリフトが小さく、高

温ほど小さくなるので、 $60^\circ\text{C}$  前後では汎用の FET 入力 OP アンプよりも低入力バイアス電流になるため、使用環境条件のきびしい所などでは、かえってバイポーラ型のアンプを使ったほうが高安定な回路が得られます(図 27)。

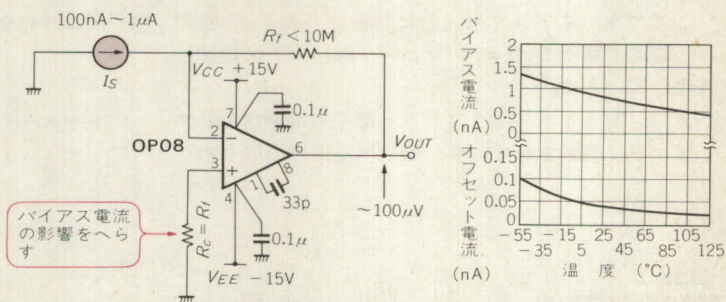
〈佐井行雄〉

#### 参考文献

(1) アナログ・デバイセス, PMI ディビジョン, データブック 1991/1993

(トランジスタ技術 1990 年 10 月号)

〈図 27〉 バイポーラ OP アンプによる回路例



汎用 FET 入力 OP アンプを使った

## 微小電流増幅回路( $I_{in}=10\text{n}\sim 100\text{nA}$ )

### TL071/LF411

FET 入力の OP アンプは、常温ではバイポーラ型よりも 2 桁程度バイアス電流が低く、 $10\text{n}\sim 100\text{nA}$  の電流信号の増幅に使用できます。ただし、バイアス電流は約  $10^\circ\text{C}$  の温度上昇で 2 倍になるため、高温では同じ条件で使用する事が難しくなります。十分注意が必要です。

$10\text{n}\sim 100\text{nA}$  程度の電流値になると、帰還抵抗は

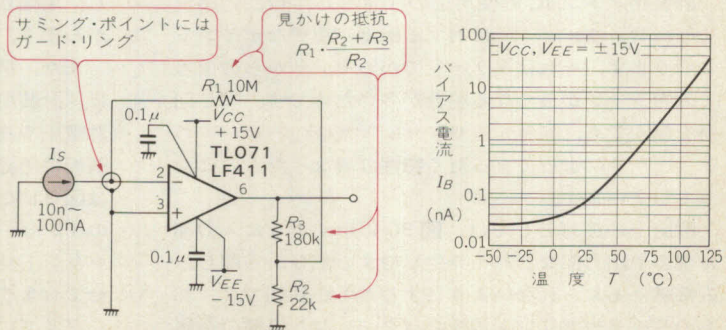
$100\text{M}\Omega$  以上が必要となりますが、ここで用いている T 字型帰還回路では、出力  $V_o$  は、

$$V_o = I_s \cdot R_1 \cdot \frac{R_2 + R_3}{R_2}$$

となり、比較的小さな抵抗で構成することができます。

ただ、ガード・リングなど OP アンプのサミング・ポイントに関するリーク対策をかならず行わなければな

〈図 28〉 汎用 FET OP アンプによる回路例





りません(図 28).

〈佐井行雄〉

(1) テキサス・インスツルメンツ, リニアデータ

(トランジスタ技術 1990 年 10 月号)

参考文献

超低バイアス電流 OP アンプ  
OPA128 を用いた

## 微小電流増幅回路( $I_{in}=1n\sim 10nA$ )

### OPA128

1nA オーダの電流レンジを増幅するためには、オフセット電流のドリフトを入力換算で数 pA 以下にする必要があります。FET 入力 OP アンプでは、バイアス電流の値は温度が 10°C 高くなると 2 倍になるという特性は変わりようがないので、常温のバイアス電流を極力小さくして、この特性を達成するしかありません。

ここで用いるアンプは入力に誘電体分離 FET を用い、常温で数十 fA ( $f=10^{-15}$ ) という低バイアス電流を実現しています。

また、トリミングでオフセット電圧も高精度 OP アンプなみに調整されており、低レベル信号の取り扱い

も可能です。

図 29 の回路例は光センサの微小電流を  $10^{10}\Omega$  の帰還抵抗で増幅したもので、1nA オーダの電流の増幅ができます。

基板からのリークをなくすために、テフロン端子を立てて IN 端子の接続点はそこで行うようにします。さらにそのテフロン端子の周囲をガード・リングすればより完全になります。

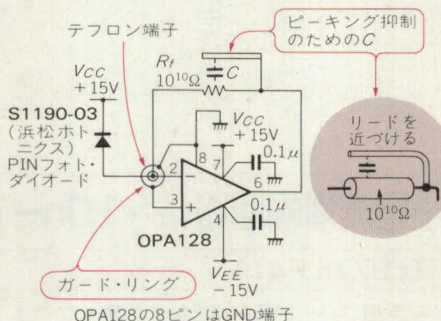
〈佐井行雄〉

参考文献

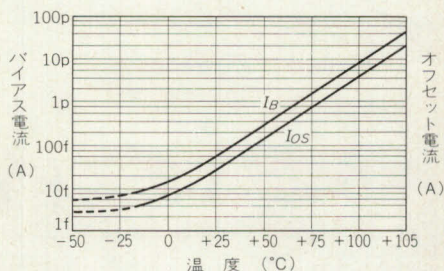
(1) 日本バー・ブラウン, プロダクト データブック'91

(トランジスタ技術 1990 年 10 月号)

〈図 29〉  
超低バイアス電流 OP  
アンプによる回路例



(a) 超低バイアス電流 OP アンプを使った回路



(b) OPA128 の温度に対するバイアス電流とオフセット電流の変化

専用 IC AMP01 を用いた

## インスツルメンテーション・アンプ

### AMP01

計装用アンプ IC の使用上の注意としては、回路実装技術や、熱、ノイズに対する配慮が重要なポイントになります。それは高ゲインでかつセンサからの信号で入力ラインが長くなる場合が多いためです。同じ回路を組んでも、部品配置やプリント基板のパターンのレイアウトによってまったく特性の異なったものになってしまう。

配置上の注意としては、図 30 に示すように入力部は電源や出力部など熱を発生しやすい部分から離し、直接熱にあおられないようにすることが鉄則です。部品のリードやプリント基板のパターンなど異種の金属同士の接合部が、熱電対と同じ原理で熱起電力を発生

し、増幅されて出力のドリフトの原因となってしまうからです。

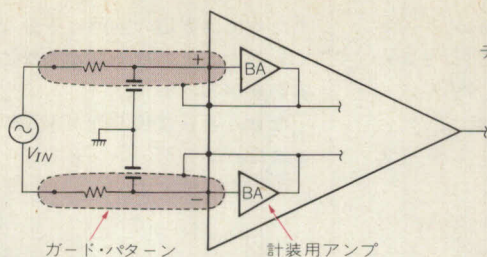
また、信号源インピーダンスが高い信号を扱う場合は、計装用アンプの入力回路の処理が重要となり、電源電圧や高レベルの信号からのリーク電流、プリント基板の絶縁などに注意する必要があります。一般的には図 31 に示すように、入力回路を入力信号と同電位のインピーダンスの低いパターンでガードする方法や、プリント基板から絶縁の高いテフロン端子などで浮かせてしまう方法があります。

ノイズに対する注意としては、最近スイッチング・レギュレータが主流となり、そのスパイク・ノイズに

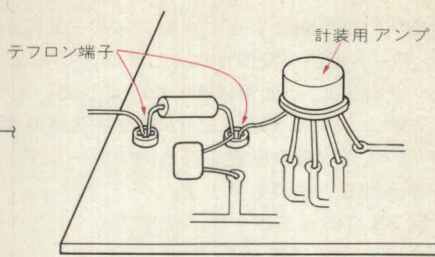
トランジスタ技術  
SPECIAL



〈図 31〉  
入力部の絶縁に  
対する注意

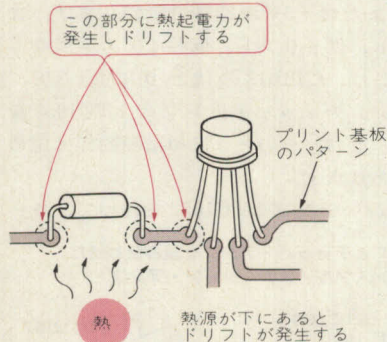
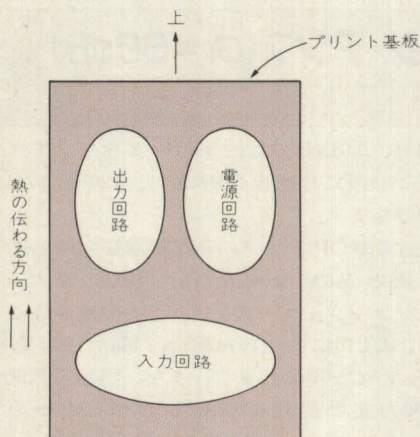


(a) プリント基板にガードを設ける

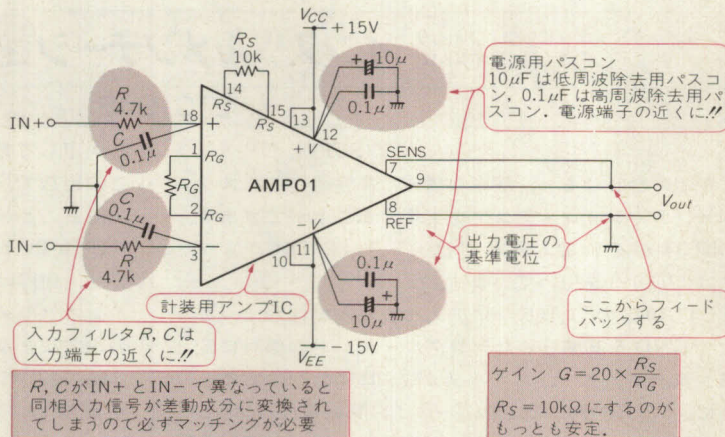


(b) テフロン端子で浮かす

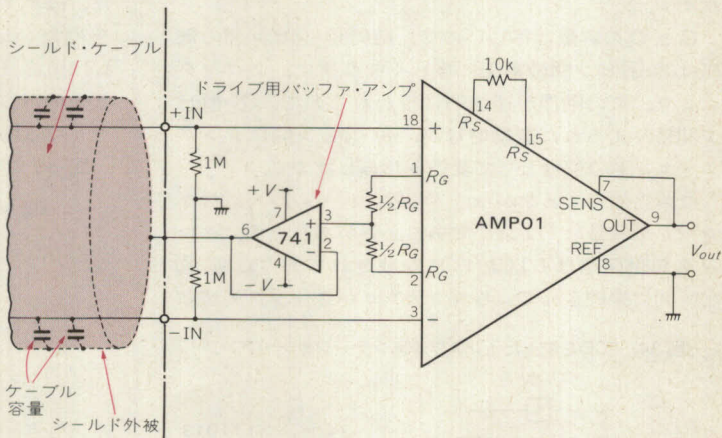
〈図 30〉実装上の注意点



〈図 32〉ノイズ対策の例



〈図 33〉シールド・ドライブの手法



悩まされることがしばしばあります。スパイク・ノイズは入力ラインから入るものと電源ラインから入るものがありますが、少なくとも入力には入力フィルタ、電源ラインにはバスコンを付ける必要があります。とくに計装用アンプに限らず、一般の OP アンプなどは PSRR (電源電圧変動除去比) が高周波領域に入ると極端に悪くなりますから注意が必要です。

図 32 にノイズ対策例をあげます。

計装用アンプはこれらの注意を払って実装しても、本当に優れた耐ノイズ特性を得るためにはまだ十分ではありません。信号源からの配線にも十分注意しなければ本当の特性は得られません。

通常、信号ケーブルにはシールド・ケーブルが使用されますが、シールド・ケーブルは外部から誘導されるノイズに関しての効果はありますが、ケーブルの入力容量 (ストレ・キャパシタンス) が大きく、差動信号



源抵抗の不均衡によってコモン・モード電圧がノーマル・モード電圧に変換されてしまい、**CMRR**(コモン・モード除去比)が非常に悪くなってしまいます。

このようなときには **CMRR** を劣化させずに、ケーブルの入力容量の影響を打ち消す **シールド・ドライブ** と呼ばれる方法があります。

図 33 に例をあげます。使用する **OP アンプ** は汎用の中速アンプ (741 タイプ) で十分です。

このように計装用アンプは、いくら特性の優れた計装用アンプ IC を使用しても、その特性を十分引き出

すためには周辺の回路に十分な配慮が必要です。少なくともここにあげた基本的なことは十分守って設計する必要があります。

なお、さらに優れた **CMRR** やノイズ特性を追求するには、**計装用アンプ** と **アイソレーション・アンプ** との併用が必要です。

〈谷田 章〉

#### 参考文献

(1) アナログ・デバイスズ, データブック '90/'91

(トランジスタ技術 1990 年 10 月号)

スイッチト・キャパシタ・フィルタ  
LT1043を用いた

## インスツルメンテーション・アンプ( $G_V=60\text{dB}$ )

### LT1043

**スイッチト・キャパシタ・フィルタ (SCF)** と **OP アンプ** を組み合わせると、簡単な構成で高性能のインスツルメンテーション・アンプを実現することができます。

図 34 がそれで、SCF には **LTC1043**, OP アンプには **LT1013** を用いています。

**LTC1043** の⑦-⑬ピンに加えられた差動信号は、ここで **GND** を基準としたシングル・エンドの信号に変換されます。まず、スイッチが⑦-⑬ピン側にあるときに、入力信号の電位差(⑦-⑬ピン間の電圧)に応じた電荷が  $C_1$  に充電されます。つぎにスイッチが⑧-⑭ピン側になると、 $C_1$  の電荷がそのまま  $C_2$  に引き渡されます。

$C_1$  と  $C_2$  の容量は等しいので、結局⑧-⑭ピン間の電圧は⑦-⑬ピン間の電圧に等しくなります。クロックにより、この動作が連続的に行われるので、⑦-⑬ピン間に与えられた差動信号が、⑧-⑭ピン間にシングル・エンドの信号として変換されるわけです。

なお当然のことながら、**入力差動信号の周波数はクロック周波数の 1/2 以下** である必要があります。クロック発生回路は **LTC1043** に内蔵されており、⑬-⑮ピン間に接続されているコンデンサがクロック周波数

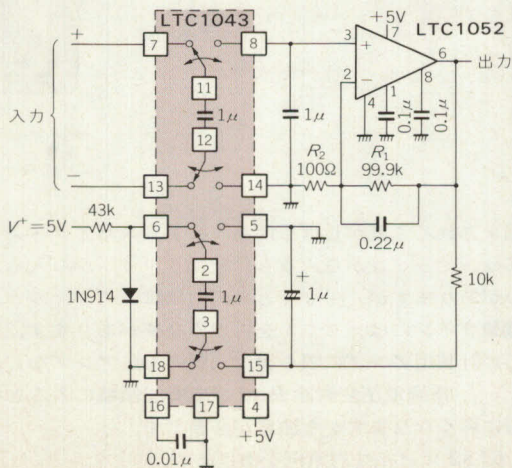
を決定しており、 $0.01\mu\text{F}$  では約  $500\text{Hz}$  となります。この定数で、この段における **CMRR** は、 $120\text{dB}$  以上を得ることができます。

**LT1013** は通常の OP アンプの非反転増幅回路と同じで、利得は  $R_2$  と  $R_1$  の比  $1 + (R_2/R_1)$  で決まります。インスツルメンテーション・アンプとしての性能はこの段で決まり、**LT1013** を用いた場合、 $V_{os} \approx 150\mu\text{V}$ ,  $\Delta V_{os}/\Delta T \approx 2\mu\text{V}/^\circ\text{C}$  が得られます。また、同相入力電圧範囲は、入力差動信号を受けるのが CMOS の **LTC1043** なので、 $+5\sim-5\text{V}$  まだいじょうぶです。

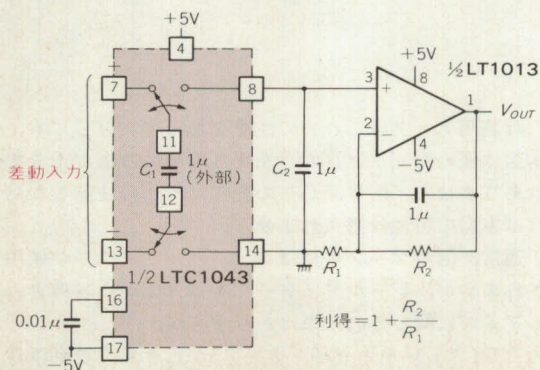
電源は  $\pm 5\text{V}$ , または  $+5\text{V}$  単電源で動作します。また、低オフセット、低ドリフト、低バイアス電流などを得たいときには、**LT1013** の代わりに **LT1001**, **LT1012**, **LT1056**, チョップ・アンプの **LTC1052** などを使用します。なお、そのときは単電源動作は望めなくなる場合もあります。

図 35 はチョップ・アンプ **LTC1052** を使って、さら

〈図 35〉 SCF とチョップ・アンプを組み合わせた  
インスツルメンテーション・アンプ



〈図 34〉 SCF を使ったインスツルメンテーション・アンプ





に高性能を得たもので、これも+5V単電源で動作します。バンド幅を犠牲にして**DC特性を向上**させており、通常の±15Vの専用のインストルメンテーション・アンプより優れたDC特性を得ています。

バンド幅は10Hzしかありませんが、 $V_{os} \approx 5\mu V$ 、 $\Delta V_{os}/\Delta T \approx 0.05\mu V/^{\circ}C$ を得ており、さらにCMRRは $f=20kHz$ においても120dBを達成しており、PSRRは120dB(min)となっています。

⑥-⑬ピンの $1\mu F$ と⑤-⑭ピンの $1\mu F$ は、1N914に発生する $V_F$ を負電圧に変換するもので、この場合⑬

ピンには約-0.5Vの電圧が発生し、これによりLTC1052の下側振幅がGNDまで振れるようになっています。

なお、利得は通常のアンプと同様に $R_1$ と $R_2$ の比で決まり、図35の定数では60dB(1000倍)となっています。  
 <更科 一>

#### ●参考文献●

(1) リニアテクノロジー, 1990 Linear Databook

(トランジスタ技術 1988年1月号付録)

スイッチ・キャパシタ・フィルタ  
LTC1043を使って周波数でゲイン・コントロールする

## 可変利得増幅器( $G_V = -\infty \sim +60dB$ )

### LTC1043

可変利得増幅器という、帰還抵抗をリレーあるいは半導体スイッチで切り替えるものを、すぐに思いつかべますが、ここで紹介するのは**スイッチ・キャパシタ・フィルタ(SCF)**を用いたものです。これは周波数で利得を可変することができるものです。すなわち、SCFのクロック周波数を変え、等価的な抵抗を制御できるということを利用しています。

図36がその回路で、この回路では反転増幅器を形成しており、帰還抵抗の部分にそれぞれSCFとして**LTC1043**を用いています。ただし、LTC1043(A)の8AピンをGNDに落として、7Aピンを入力にすれば非反転増幅器になります。さらに7Aピンと13Aピンを入力にすれば差動入力とすることもできます。

この回路で、可変利得範囲は0~1000倍( $-\infty \sim +60dB$ )まで可能で、利得の温度ドリフトは $20ppm/^{\circ}C$ ( $C_1$ と $C_2$ の温度特性が等しい場合)となっています。

スイッチ・キャパシタ・フィルタの $C$ をクロック周波数 $f_{CLK}$ で駆動すると、等価的な抵抗は $1/(f_{CLK} \cdot C)$ となります。したがって、この回路の利得 $A$ は、

$$A = -\frac{f_{IN}}{f_{CLK}} \frac{C_1}{C_2} = \frac{f_{IN}}{10}$$

となります。

利得の安定度は上式にあるように、 $f_{CLK}$ と $f_{IN}$ の比、および $C_1$ と $C_2$ の比によって決まります。したがって、**利得安定度を高く保つ**には、これらの比を安定させる必要があります。 $f_{CLK}$ と $f_{IN}$ がデジタル的に作り出される場合は、 $f_{CLK}/f_{IN}$ は一定となりますが、 $C_1/C_2$ は外付け部品で決定されるので $C_1/C_2$ が支配的となります。これより、 $C_1$ と $C_2$ には**高精度で温度特性が規定されているもの**(スチロール・コンデンサなど)が適しています。

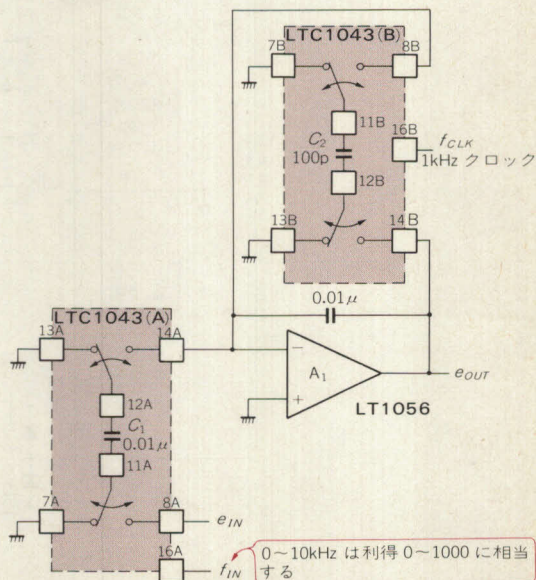
なお入力信号の最高周波数は、 $A_1$ の反転入力と出力間に接続される $0.01\mu F$ と $f_{CLK}$ とで決定されることはいふまでもありません。  
 <更科 一>

#### ●参考文献●

(1) リニアテクノロジー, 1990 Linear Databook

(トランジスタ技術 1988年1月号付録)

〈図36〉 SCFを用いた可変利得増幅器





## INA105

図 37 に CMOS アナログ・スイッチを使用した高精度のプログラマブル・ゲイン・アンプを紹介します。回路は非反転増幅で、アナログ・スイッチには電流が流れないため、スイッチのオン抵抗はゲインに影響しません。また差動入力となっているため、アナログ・スイッチのゲート漏れ電流などお互いの増幅器で打ち消し合い、影響が小さくなります。

この回路で難しいのは、フィードバック抵抗の精度を得ることで、それぞれ対となっている抵抗器の精度が一致していなければ、十分な性能は得られません。とくに高精度を得ようとすると、絶対精度が良く、温度係数が小さい、非常に高価な固定抵抗器を数多く必要とします。

したがって、このような回路には、一般的に抵抗ネットワークが使用されます。この回路ではゲインの計算式から抵抗値の絶対精度はとくに必要なく、相対精度が必要となっています。これは抵抗ネットワークを作るメーカーにとっては好都合なので、比較的安価に入

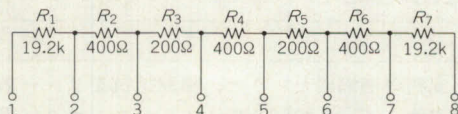
手できます。大量に生産するものであれば抵抗ネットワーク化は不可欠でしょう。

一例を図 38 に示します。

〈谷田 章〉

(トランジスタ技術 1990 年 10 月号)

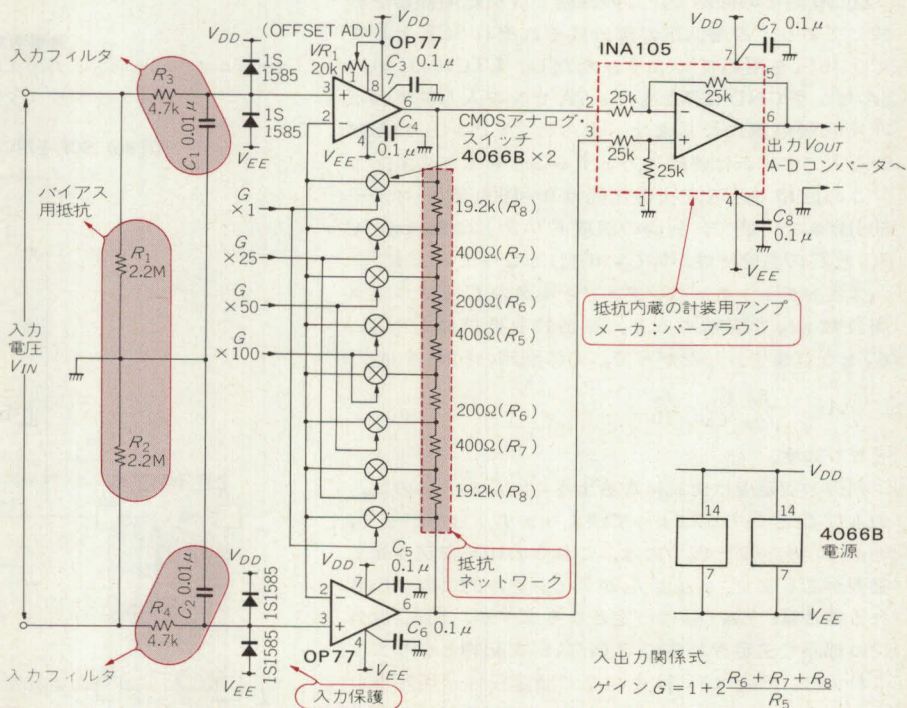
〈図 38〉 抵抗ネットワークの例



抵抗値許容差 $\pm 0.5(\%)$	
相対値 ( $R_4$ に対して $R_1 \sim R_3$ ) および $R_5 \sim R_7$ )	
許容差	$\pm 0.05(\%)$
温度係数	$\pm 10(\text{ppm}/^\circ\text{C})$

〈図 37〉

抵抗ネットワークとアナログ・スイッチを使ったプログラマブル・ゲイン・アンプ回路

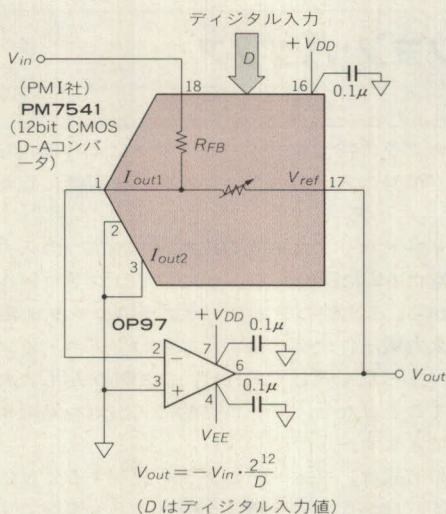




## PM7541

図 39 は  $R-2R$  抵抗ストリング方式の D-A コンバータを利用し、反転増幅器のフィードバック・ループ内に D-A コンバータを挿入し、プログラマブル・ゲイン・アンプを構成したものです。

〈図 39〉 D-A コンバータを使用したプログラマブル・ゲイン・アンプ回路



ン・アンプを構成したものです。

ゲインの可変範囲は使用する D-A コンバータの分解能で決まり、8 ビットであれば 1~256、10 ビットであれば 1~1024 まで 1 ステップごとに細かくゲイン・コントロールができます。

しかし注意しなければならないのは、D-A コンバータの抵抗ネットワークの誤差がゲインにより増長され、ゲインが高くなるにつれ、ゲイン精度が悪くなるということです。したがって高精度のプログラマブル・ゲイン・アンプとはいえません。

簡単で、省スペースで高分解能なゲイン切り替えができるメリットを活かし、通常は CPU との組み合わせにより、オート・スパン調整を行いながら使用する、あまり精度を必要としない用途に向いています。

〈谷田 章〉

## 参考文献

- (1) アナログ・デバイセズ, PMI ディビジョン, データブック 1991/1993

(トランジスタ技術 1990 年 10 月号)

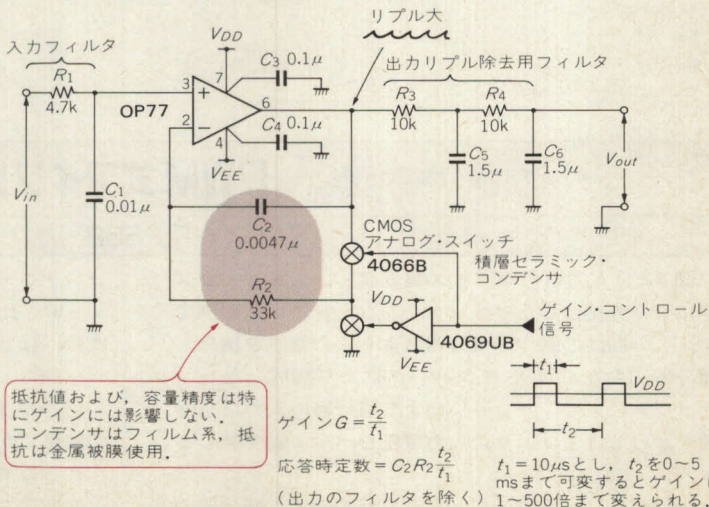
簡単に高精度が得られる PWM 式プログラマブル・ゲイン・アンプ( $G_v=1\sim500$  倍)

## OP77

図 40 はゲインをパルスのデューティ比(“H”と“L”の比)でコントロールできるようにした例です。2 個のアナログ・スイッチを交互に ON/OFF することに

より、出力信号を  $CR$  により積分、平滑し、結果的にスイッチの ON/OFF デューティ比でフィードバック量を決定します。

〈図 40〉  
パルス幅制御方式による  
プログラマブル・ゲイン・アンプ回路





CとRはゲインには関係しないので高価なものではなく、一般的なフィルム・コンデンサと金属皮膜抵抗器で十分です。非常に簡単な回路ですが、精度はかなりのものが期待できます。

ゲインはパルスのデューティ比で決定されるので、その分解能は先に説明したD-Aコンバータを使用しものに匹敵し、細かなゲイン・コントロールが可能です。ただしこの回路方式は、ゲイン切り替えや入出力

力応答速度が遅いという欠点をもっています。

したがって、多数の入力信号を高速でゲインを切り替えて読み取るといった用途には向きませんので注意が必要です。

用途としては低速で入力をサンプリングし記録するといった記録計用のアンプなどに向いています。

〈谷田 章〉

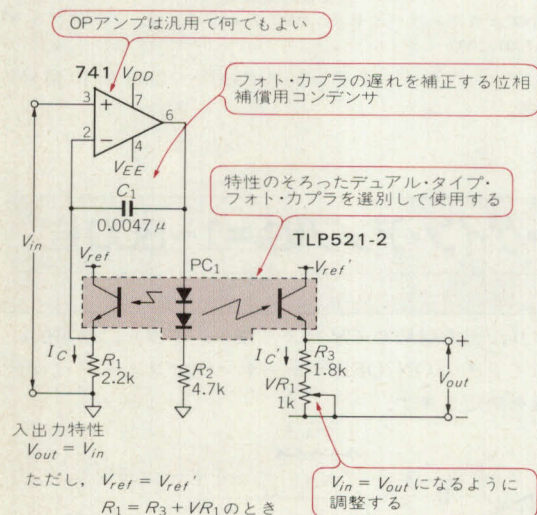
(トランジスタ技術 1990年10月号)

## フォト・カプラを使った アイソレーション・バッファ

### TLP521-2

フォト・カプラはデジタル信号のアイソレーションをする目的としてはよく使用されますが、アナログの伝送には入出力間のリニアリティや経時変化が大きく、そのままでは使用できません。図41は特性のそろった一對のフォト・カプラを使用し、入力側のフォ

〈図41〉 フォト・カプラを2組使ったアイソレーション・アンプ回路



ト・カプラの特性をフィードバックにより補正し、アナログ信号の入出力の光による絶縁を可能にした例です。

フィードバックによりOPアンプの二つの入力電圧差が常に0Vに保たれるようにしてコントロールされますから、1次側のフォト・カプラのコレクタ電流  $I_c$  は、入力電圧に比例します。二つのフォト・カプラの特性がまったく同じであれば、2次側の  $I_c'$  も入力に比例することになり、アナログ的に入出力を絶縁することができます。

この方式は、フォト・カプラを選別することにより一時的にはかなりの高精度を得ることも可能ですが、二つのフォト・カプラの特性が経時的にいつまで安定しているかわかりません。したがって、あくまでも簡易的に使用すべき回路でしょう。

〈谷田 章〉

#### 参考文献

(1) 東芝、フォトカプラ 1989 データブック

(トランジスタ技術 1990年10月号)

## フォト・カプラを使って高精度が得られる PWM 式アイソレーション・バッファ

### TLP552

図42は入力信号をパルス幅変調し、フォト・カプラにより光結合したアイソレーション・アンプの例です。この回路の動作は積分器により入力電圧を積分し、積分器出力をCMOSインバータにより構成したヒステリシス付きコンパレータにより積分器の入力に正帰還をかけることにより、入力電圧をパルス幅変調します。

回路的には二重積分型となっているので、積分器の

コンデンサ  $C_1$  の容量変化は打ち消されて、出力のデューティ比の変化としては現れません。この回路の精度は、ほとんど入出力絶縁に使うフォト・カプラのスピードにより決定されます。ここでは5Mビット/secの信号が伝送できるTLP552を使用しています。この回路で0.1%の精度が得られます。

さらに高精度を追求するならば10Mビット/sec以上の速度で使えるフォト・カプラを使用すればよいで

トランジスタ技術  
SPECIAL



しょう。

この回路の入出力特性は、1次側の基準電圧  $V_{ref}$  と2次側の基準電圧  $V_{ref}'$  が等しい値であれば、ほぼ  $R_1$  と  $R_2$  の比で決定されます；ここでは入出力の関係は1:1になっています。

パルス幅変調はパルスのデューティ比がアナログ的に変化するため、**フォト・カブラのスピードが精度を**

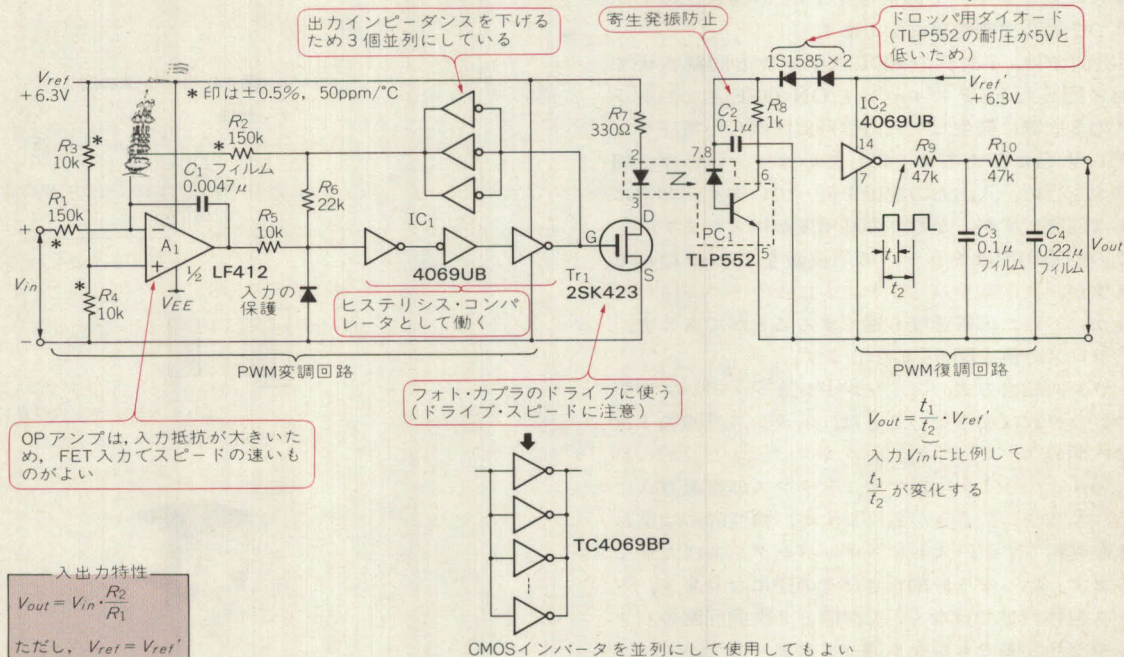
大きく左右するので、その選択には十分気をつけなければなりません。  
〈谷田 章〉

#### 参考文献

(1) 東芝、フォトカブラ 1989 データブック

(トランジスタ技術 1990年10月号)

〈図42〉パルス幅変調を使ってフォト・カブラで絶縁したアイソレーション・アンプ回路



$$V_{out} = \frac{t_1}{t_2} \cdot V_{ref}'$$

入力  $V_{in}$  に比例して  
 $\frac{t_1}{t_2}$  が変化する

## 定本 トランジスタ回路の設計

—増幅回路技術を実験を通してやさしく解析—

鈴木 雅臣 著 A5判 324頁 定価 2,200円

CQ出版社

今、ハードウェア技術者に不足していること……それは自分の手で回路をじっくりと実験して考察する時間です。本書はそんな多忙な技術者、あるいは技術者をめざす人のために用意した、とてもとてもわかりやすいトランジスタ回路の本です。  
本書は大好評であったトラ技ORIGINAL No.1とNo.5の中からトランジスタ増幅回路について精選し、さらに大幅に加筆を行った、たぶん本邦最後のトランジスタ回路の解説書です。

### 目次

- |                   |                  |                 |
|-------------------|------------------|-----------------|
| ① トランジスタ回路への誘い    | ⑤ パワー・アンプの設計・製作  | ⑨ 負帰還増幅回路の設計    |
| ② 増幅回路を動かす        | ⑥ 周波数特性をのばすには    | ⑩ 直流安定化電源の設計・製作 |
| ③ 出力を強化する回路       | ⑦ ビデオ・セレクトの設計・製作 | ⑪ 差動増幅回路の設計     |
| ④ ミニパワー・アンプの設計・製作 | ⑧ カスコード回路の設計     | ⑫ OPアンプ回路の設計・製作 |



図43はトランス結合によるアイソレーション・アンプの例です。

動作としては、入力電圧をトランスを介してFETスイッチでON/OFFし、入力信号に比例した振幅のパルスに変えます。その信号を1:1の巻数比のトランスでその2次側巻線に伝えます。

2次側では、1次側のFETスイッチと同期させて一対に配したFETスイッチをON/OFFさせ、トランスの2次側に発生した入力信号に比例した電圧をコンデンサC<sub>3</sub>に伝えるようにしています。いわゆる同期整流を行い、入出力の絶縁を行っています。非常に簡単な回路ですが、かなりの高精度が得られます。

この回路例ではチョッパの周波数を15kHzにしていますが、周波数を高くすることによりトランスの小型化がはかれ、応答速度も速くすることができます。

トランスの例を図44に示します。

トランス結合方式のアイソレーション・アンプで気をつけなければならないことは、トランス巻線の1次と2次間のストレ・キャパシタンスによる交流的な結合をいかに小さくするかです。トランスの巻線方式には重ね巻きや分割巻きがありますが、精度的には重ね巻きが有利ですが、ストレ・キャパシタンスは大きくなります。いっぽう分割巻きはその逆になります。トランス自体だけではなく、1次側と2次側回路のパターンや部品間隔でもかなり違ってきますので、プリント基板設計においても十分な注意が必要です。

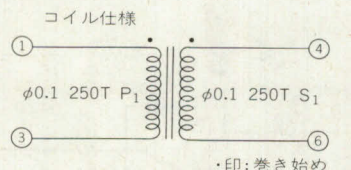
ストレ・キャパシタンスの大小はアイソレーション

・アンプの本来の使用目的であるCMRR(同相電圧除去比)の良し悪しを決定する重要な項目となります。

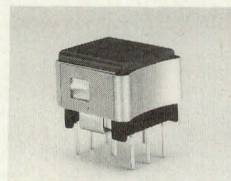
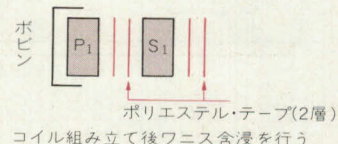
〈谷田 章〉

(トランジスタ技術 1990年10月号)

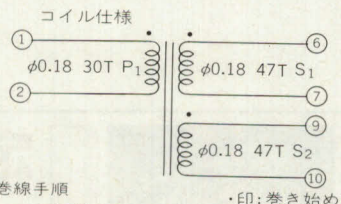
〈図44〉 トランスの例



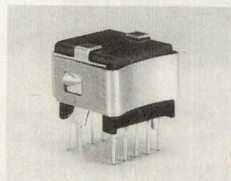
巻線手順



(a) T<sub>1</sub> の例

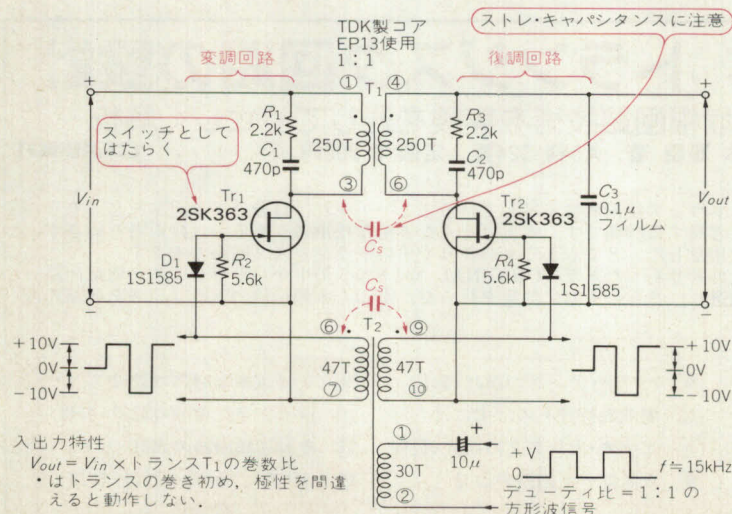


巻線手順



(b) T<sub>2</sub> の例

〈図43〉 トランスを使ったアイソレーション・アンプ回路





# 知っておきたいダイオードとトランジスタの型番

## ● 小信号用ダイオードにはいろいろな使い道がある

ダイオードの性質は、片方向には電流を流すがもう片方には電流を流さないということです。

代表的な使い方は、交流から直流を取り出す**整流回路**に使用します。

一般に使うダイオードなら、もう何を使ってもかまいませんが**1S1588**とか**1S1555**などをよく見かけるようです(表1)。

## ● 定電圧<sup>ツェナ</sup>ダイオードと定電流ダイオード

普通のダイオードに逆電圧をかけていくと、あるポイントで途端に大電流が流れるようになりますが、このポイントを管理して作っているのが**ツェナ・ダイオード**です。

つまり、ツェナ・ダイオードというのは、順方向には電流が流れますが、逆方向にもある程度以上電圧をかけると電流が流れます。この、逆方向に電圧をかけて電流が流れ始める電圧をツェナ電圧と言って、これは一定電圧になります。**ツェナ・ダイオード**は定電圧回路に使用します。

一定電圧を発生するダイオードがあれば、一定電流を流すダイオードもあって、これは**定電流ダイオード**と呼ばれます。

定電流ダイオードというのは名前こそダイオードですが、実はFETのソース・ドレイン間の定電流特性を使ったものです。定電流ダイオードは定電圧ダイオードと組み合わせて使用することが多く、ツェナ・ダイオードを定電流でドライブすることにより、より完全な定電圧を得られるようになります。

〈表3〉 定電流ダイオード〔石塚電子株〕

	定電流値 (mA)	インピーダンス $Z_r$ (M $\Omega$ )
E101L	0.01~0.06	8.00
E101	0.05~0.21	6.00
E301	0.20~0.42	4.00
E501	0.40~0.63	2.00
E701	0.60~0.92	1.00
E102	0.88~1.32	0.65
E152	1.28~1.72	0.40
E202	1.68~2.32	0.25
E272	2.28~3.10	0.15
E352	3.00~4.10	0.10
E452	3.90~5.10	0.07
E562	5.00~6.50	0.04

〈表1〉 小信号用ダイオード

	1S1555	1S1588
$V_R$ (V)	30	30
$I_F$ (mA)	100	120
$t_{rr}$ (ns)	—	4

大半は1S1555で片付きますが、高速スイッチングを行う時は1S1588にします

〈表4〉 小信号汎用トランジスタはこれくらいで十分だ

	2SA1015	2SC1815	2SA950	2SC2120
$V_{CE}$ (V)	-50	50	-30	30
$I_C$ (mA)	-150	150	-800	800
$P_C$ (mW)	400	400	600	600
$h_{FE}$	70~400	70~700	100~320	100~320
$f_T$ (MHz)	80	80	120	120

大半は2SC1815で片付いてしまいます。少し電流が大きい時に2SC2120を使うくらいです。

定電圧ダイオードには表2に示すように**2V**から**40V**くらいのものが、定電流ダイオードは表3のように**20 $\mu$ A**から**5 mA**くらいのものが一般的です。

## ● トランジスタは数品種知っておけば大丈夫です

それにしても、CQ出版社のトランジスタ規格表を見ると、山ほどの似たようなトランジスタが並んでいます。だいたいOPアンプだっとうんざりするほど似たような種類のものが出回っていて十分にユーザを混乱させるのに、トランジスタの整理の悪さはOPアンプの比ではありません。

たとえばコレクタ電流 $I_C$ が100mA流せて、電流増幅率 $h_{fe}$ は200もあればいい、周波数帯域を示す $f_T$ はあまり低いものもいやだから100MHzぐらいのPNPの石で…と規格表を見始めても、候補が多すぎてさっぱり決まりません。おまけにトランジスタをバラで使う人はどんどん減っているから、規格表の文句を言う人もいなくてほったらかしというのが現状でしょうか。

現代においては、**そんなに多くの種類のトランジスタを使うことはめったにありません**。小信号汎用としては表4に示す程度の数品種さえ知っていれば、たいいていの用は足ります。

〈小林芳直〉

(トランジスタ技術 1989年5月号)

〈表2〉 ツェナ・ダイオード (㈱東芝)

	200mW 型	400mW 型
型 名	02CZ $\times\times$	04AZ $\times\times$
	2.0~39	2.0~39
定電圧 (V)	$\times\times$ の所にE24系列に相当する2桁の電圧が表示される	

(注) E24 系列とは、  
10, 11, 12, 13, 15, 16, 18, 20,  
22, 24, 27, 30, 33, 36, 39, 43,  
47, 51, 56, 62, 68, 75, 82, 91



## 第2章 フィルタ回路

金子洋平/更科 一/菅原康夫/佐井行雄/甲斐沢勝彦/松田 透/石井 哲/赤間平也/松本郁広/末木 豊

### OP アンプを使って もっとも広く使われている 正帰還型 2 次ローパス・フィルタ/ハイパス・フィルタ( $f_c=1\text{kHz}$ )

#### TL071

図 1 に示す正帰還型のアクティブ・フィルタは、アクティブ・フィルタとしては、もっとも広く使われているものです。

図 1 (a) は 2 次 LPF で、伝達関数は

$$\frac{V_{out}}{V_{in}} = \frac{1}{C_1 C_2 R_1 R_2 s^2 + \left( \frac{1}{R_1} + \frac{1}{R_2} \right) s + \frac{1}{C_1 C_2 R_1 R_2}}$$

と表されます。これよりカットオフ周波数  $f_c$  と  $Q$  は、

$$f_c = \frac{1}{2\pi\sqrt{C_1 C_2 R_1 R_2}}, \quad Q = \sqrt{\frac{C_1}{C_2}} \cdot \frac{\sqrt{R_1 R_2}}{R_1 + R_2}$$

となります。図中の定数では、 $f_c=1\text{kHz}$ 、 $Q=\sqrt{2}$  になっています。

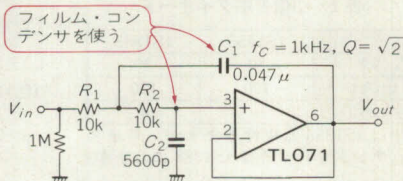
いっぽう、図 1 (b) は 2 次 HPF で、伝達関数は、

$$\frac{V_{out}}{V_{in}} = \frac{s^2}{s^2 + \frac{1}{R_2} \left( \frac{1}{C_1} + \frac{1}{C_2} \right) s + \frac{1}{C_1 C_2 R_1 R_2}}$$

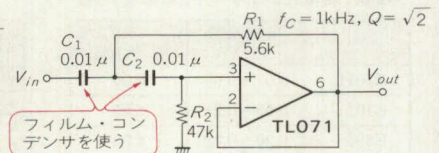
と表されます。これよりカットオフ周波数  $f_c$  と  $Q$  は、

$$f_c = \frac{1}{2\pi\sqrt{C_1 C_2 R_1 R_2}}, \quad Q = \sqrt{\frac{R_2}{R_1}} \cdot \frac{\sqrt{C_1 C_2}}{C_1 + C_2}$$

〈図 1〉  
正帰還型 2 次  
アクティブ・フィルタ



(a) ローパス・フィルタ



(b) ハイパス・フィルタ

#### ●参考文献●

(1) テキサス・インスツルメンツ, リニア IC データブック.

(トランジスタ技術 1990 年 10 月号)

### ディスクリート・トランジスタにより高周波まで使える 正帰還型 2 次ローパス・フィルタ/ハイパス・フィルタ( $f_c=1\text{MHz}$ )

#### 2SC1815

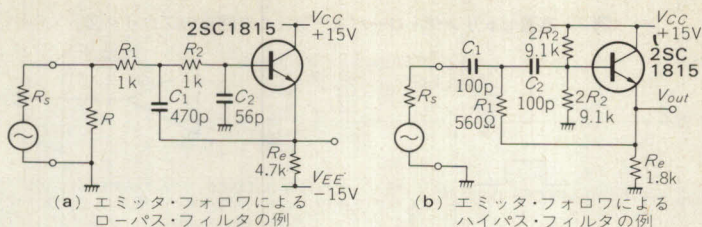
アクティブ・ローパス・フィルタでは OP アンプを使ったボルテージ・フォロワを使用していますが、OP アンプをトランジスタのエミッタ・フォロワや FET

のソース・フォロワに変更することで、高周波域での特性を改善することができます。

しかし、アクティブ・フィルタを設計するときのボ



〈図2〉  
トランジスタを使った  
正帰還2次アクティブ・フィルタ



ルテージ・フォロワは理想的な素子を仮定し、利得1で入力インピーダンスは無限大、出力インピーダンスはゼロとして考えています。したがって、これらのディスクリート素子でアクティブ・フィルタを構成すると、OPアンプを使用したときにくらべ特性が計算値からずれることになります。

図2はエミッタ・フォロワをバッファとして利用したもので、図(a)がローパス・フィルタ、図(b)がハイパス・フィルタとなっています。ともに $f_c=1\text{MHz}$ 、

$Q=\sqrt{2}$ としてありますが、OPアンプでこのような定数設定をしても、とてもまともな特性は出ません。なお周波数が高くなるにつれて、ストレなどの影響が大きくなるので、実装には十分注意する必要があります。

〈金子洋平/更科 一〉

#### 参考文献

(1) 東芝, 2SC1815 データブック。

(トランジスタ技術 1990年10月号)

高精度OPアンプLT1008と  
フォトMOSリレーを組み合わせ

## 測定器用高速セトリング・ローパス・フィルタ

LT1008, LCA110

電子計量器(重量測定などに使う)などの入力アナログ部では、センサからの入力信号として直流電圧を扱いますが、実際には希望する直流信号のほかに、商用電源周波数や高い周波数成分をもったノイズが重畳された信号が入力されるため、そのままでは正確な直流電圧ができません。

これらの希望しないノイズ成分を除去するには、一般にカットオフ周波数が十分低いローパス・フィルタを信号入力部に挿入します。ところが、カットオフ周波数を低くすると、ローパス・フィルタ回路の時定数 $\tau$ (抵抗値×コンデンサの値)が大きくなり、回路のセトリング時間(信号を入力して、回路出力が定常値に達するまでの時間)が長くなってしまいう欠点があります。

図3は、これを取り除くために、正確に測定したい定常信号レベル付近は遅い時定数 $\tau_2$ で、それ以外の信号の立ち上がり、立ち下がり部分は速い時定数 $\tau_1$ でと、二つの時定数を信号レベルに対応して切り替えることで高速化を図ったローパス・フィルタ回路です。

図4に実際の回路例を示します。

基本的にこの回路は、 $R_1$ と $R_2$ 、 $C_1$ 、OPアンプによる1次のRCローパス・フィルタです。またOPアンプは、電圧フォロワ(電圧ゲイン1)接続のバッファ・アンプです。この出力とフィルタ回路の入力の各電圧レベルは、コンパレータ#1と#2によって監視されています。

二つのコンパレータは、アナログ・スイッチ(SW)

を駆動し、 $R_2$ をON/OFFします。コンパレータ#1は、 $R_5$ と $R_6$ によって設定された定常値付近のレベル(フィルタのカット・レベル)までONになり、SWを閉じます。

この状態におけるフィルタ回路の時定数 $\tau_1$ は、約 $2\text{k}\Omega \times 1000\text{pF} = 2\mu\text{s}$ です。

そして、入力信号がフィルタのカット入力レベルを超えると、コンパレータ#1はOFFとなりSWを開きます。この状態におけるフィルタ回路の時定数 $\tau_2$ は約 $1.5\text{M}\Omega \times 1000\text{pF} = 1.5\text{ms}$ です。

コンパレータ#2は、入力信号の印加が終了したときにONとなってSWを閉じ、時定数 $\tau_1$ で速やかにリセット状態となるように働きます。写真1に実測した波形を示します。

このフィルタ回路全体のセトリング時間は、単純な $1.5\text{M}\Omega \times 1000\text{pF} = 1.5\text{ms}$ のフィルタ回路と比較して約1/3になります。

また、入力バイアス電流がFET並みという高精度バイポーラ入力OPアンプLT1008( $V_{io}=120\mu\text{V}$ (max),  $I_B=\pm 100\text{pA}$ (max),  $I_{io}=100\text{pA}$ (max))と、低リーク電流特性をもつMOS FETを用いたフォトMOSリレーを使用しているため、直流的な誤差はほとんど無視できるという、優れた特性を発揮します。

#### 参考文献

(1) Electric Design, Sept.1 '83.

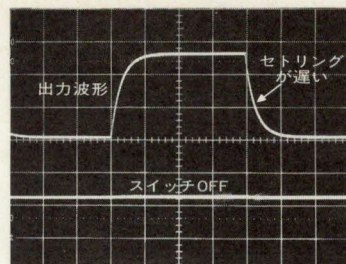
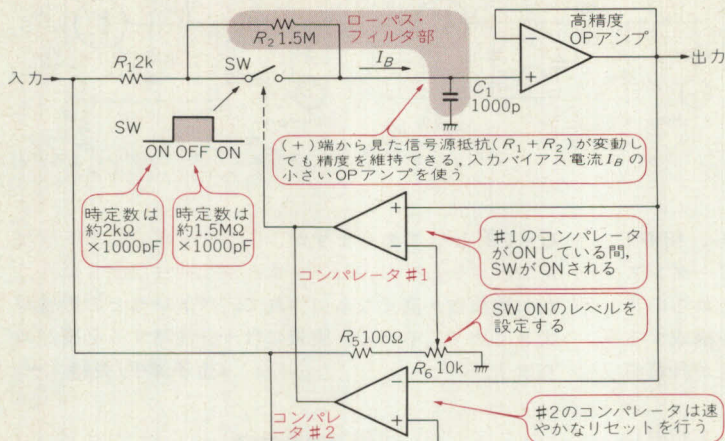
(2) アナログIC活用ハンドブック, CQ出版社

(トランジスタ技術 1985年2月号)

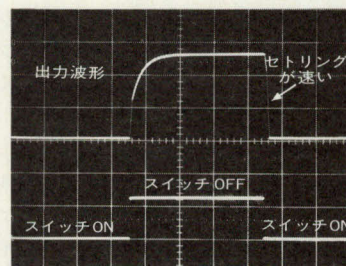
〈菅原康夫〉



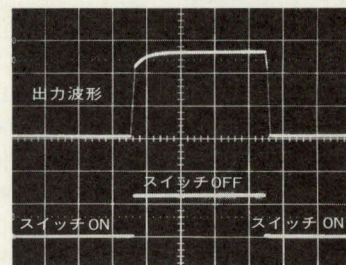
〈図3〉 高速セトリング・ローパス・フィルタ回路のブロック図



(a)通常のローパス・フィルタ出力波形

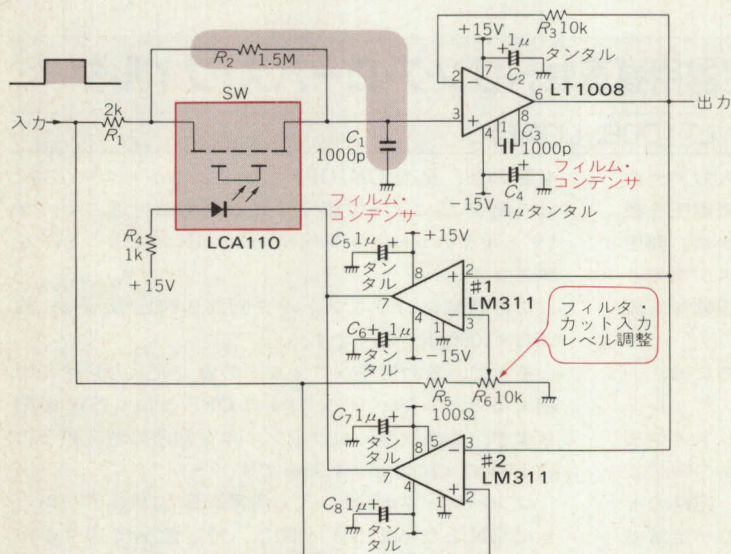


(b)高速セトリング・ローパス・フィルタの出力波形



(c)高速セトリング・ローパス・フィルタの出力波形(フィルタ・カットの入力レベルを上げた)

〈図4〉 精密、高速セトリングをもつローパス・フィルタ回路



〈写真1〉 フィルタの応答特性  
[上: 2V/div, 2.5ms/div, 下: 10V/div, 2.5ms/div][高速ローパス・フィルタ・カット入力レベルは、(b)や(c)のようにボリューム(10kΩ)で可変できる]

スイッチ・キャパシタ・フィルタ  
LTC1062を使って簡単に構成できる

## 5次ローパス・フィルタ

LTC1062

ここで紹介するのは5次ローパス・フィルタ(LPF)用として開発されたスイッチ・キャパシタ・フィルタ(SCF)で、1組のCRとクロックだけで5次LPFが構成でき、従来からは考えられないような簡単な回路で実現できます。

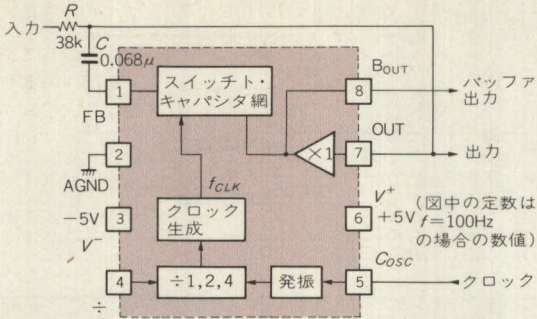
このICはLTC1062で、基本的な使い方と内部構成は図5のようになっており、従来のSCFによるフィルタとの大きな違いは入出力間にDCパスが存在し、

その利得は1であるということです。このためDC的な制約はフリーとなり、前後段のDC設計は非常に楽になります。8ピンの出力するバッファの出力オフセット電圧は全使用温度範囲内で20mVが保証されており[2mV(typ)], 温度ドリフトは1μV/°C(typ)となっています。

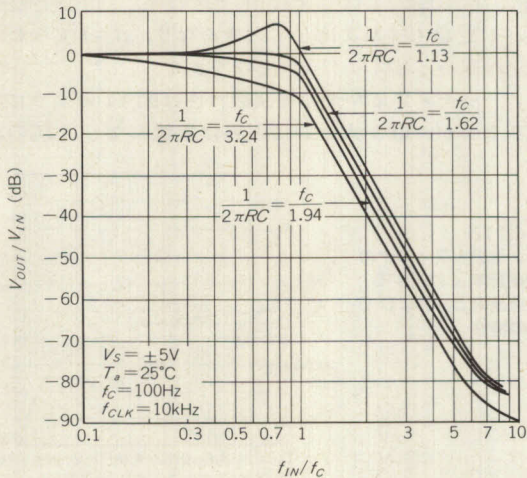
フィルタの伝達特性は、CRとクロック周波数 $f_{CLK}$ で決まります。カットオフ周波数を $f_c$ (-3dB点)と



〈図5〉 LTC1062 の内部ブロック図



〈図6〉 一定クロック周波数で RC の時定数を変化させたときの周波数特性



し、最大平坦特性を得るには、

$$f_{CLK} = 100f_C, \quad \frac{1}{2\pi CR} = \frac{f_C}{1.62}$$

を満たすようにします。また  $R$  には最小値があり、

$$R \geq \frac{v_{IN}(\max)}{1\text{mA}}$$

とする必要があります。ここで  $v_{IN}(\max)$  は入力信号の最大瞬時値です。

たとえば  $f_C = 100\text{Hz}$ ,  $v_{IN}(\max) = 1\text{V}$  とすると、

$$f_{CLK} = 100 \times 100 = 10\text{kHz}$$

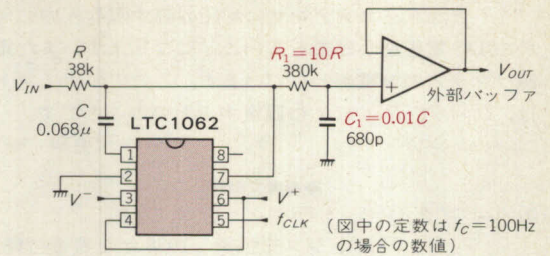
$$R \geq \frac{1\text{V}}{1\text{mA}} = 1\text{k}\Omega$$

$$CR = \frac{1.62}{2\pi \times 100} = 2.58\text{ms}$$

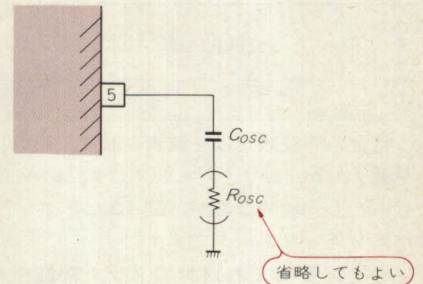
となり、 $CR$  の組み合わせの例として  $C = 0.068\mu\text{F}$ ,  $R = 38\text{k}\Omega$  などが考えられます。

$f_{CLK}$  を一定としておき、 $CR$  の時定数を変えると肩特性が変わります。図6はこのようすを示しており、前述の  $CR$  の条件式中の 1.62 という値を小さくすると  $Q$  が大きくなったように、大きくすると  $Q$  が小さ

〈図7〉 漏れクロック成分の除去方法



〈図8〉 内部クロックの使い方



くなったように動作します。

信号レベルが小さいと、クロックの出力への漏れも問題になってきます。電源電圧が  $\pm 5\text{V}$  のとき、 $420\mu\text{V}_{\text{rms}}$ ,  $\pm 7.5\text{V}$  のとき  $520\mu\text{V}_{\text{rms}}$  程度のクロックの漏れが出力に現れるので、信号レベルはこれよりも十分に大きいところで使うのが望ましいでしょう。それができないときは、出力される信号周波数とクロック周波数の違いを利用して、簡単な LPF を使ってクロックの漏れを減衰させる方法が考えられます。この例を図7に示します。7ピン出力に1次のパッシブ LPF を設け、外付けバッファを介して出力するというものです。

また、図5のブロック図にもあるように、LTC1062 は内部に発振器をもっているの、精度や温度特性をさほど気にしなければ、外部クロックがなくても内部クロックで動作させることができます。図8はこの内部クロックを用いた例で、5ピンと GND (または  $V^-$ ) の間にコンデンサあるいはコンデンサと抵抗を入れます。

これによるクロック周波数は以下のようにになります。

$$f_{CLK} \approx \frac{33\text{pF}}{33\text{pF} + C_{OSC}} \times 130\text{kHz} \quad (R_{OSC} = 0)$$

$$f_{CLK}' \approx \frac{f_{CLK}}{1 - 4C_{OSC}R_{OSC}f_{CLK}} \quad (R_{OSC} \neq 0)$$

クロック周波数は  $R_{OSC} = 0$  の場合、最高  $130\text{kHz}$ ,  $R_{OSC} \neq 0$  では最高  $4\text{MHz}$  で、負の温度係数を有しています。

先に述べた利得1の DC パスが存在するという特徴を有効に用いたのが図9です。入出力間の DC パスは



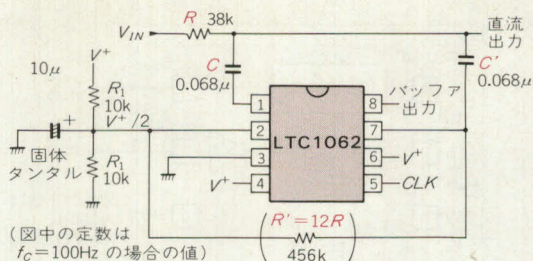
IC とコンデンサで切り離されるので、**DC 的に完全にフリー**となり、コンデンサの耐圧の許す限り入力に何 V の DC 電圧をかけてもよいことになります。また電源はプラスの単電源としています。ここでのポイントは、 $C'=C$ 、 $R'=12R$  に設定するということです。

〈更科 一〉

●参考文献●

- (1) リニアテクノロジー・アナログ・データブック。  
(トランジスタ技術 1988 年 1 月号付録)

〈図 9〉 DC バスを自由にした回路



100/1K/10kHz のノッチ周波数をもった

## ツイン T ノッチ・フィルタ

TL072

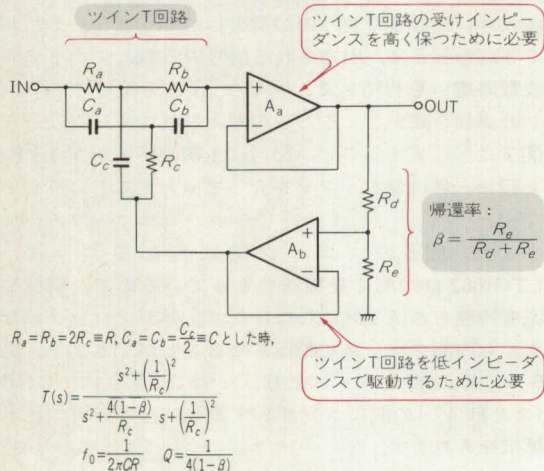
特定の周波数だけを減衰させて、それ以外の周波数を通すのが**ノッチ・フィルタ**です。ノッチ・フィルタでもっとも一般的なのが、図 10 に示す**ツイン T**を用いたノッチ・フィルタです。

ツイン T はそれ自身でノッチ特性をもっていますが、そのままでは  $Q=0.25$  と低いので、 $Q$  を高めるために  $A_b$  で帰還をかけています。こうすることにより、 $Q$  は  $1/(1-\beta)$  倍になります。 $\beta=0$ 、すなわち帰還をかけないときは  $Q=0.25$  ですが  $\beta$  を大きくして

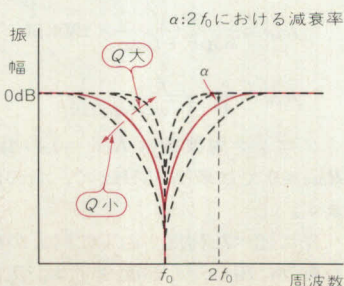
いくと  $Q$  もそれに応じて大きくなり、 $\beta=1$  すなわち**全帰還**のときには  $Q=\infty$  となります。

ノッチ・フィルタの周波数特性は図 11 のようになりますが、 $Q$  が大きいほど谷は急峻になり、 $2f_0$  の減

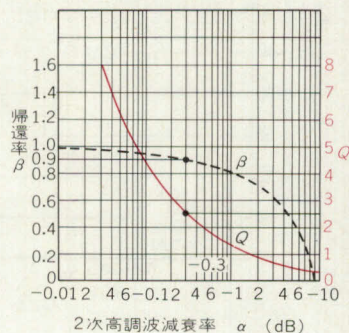
〈図 10〉 ツイン T を用いたノッチ・フィルタの基本



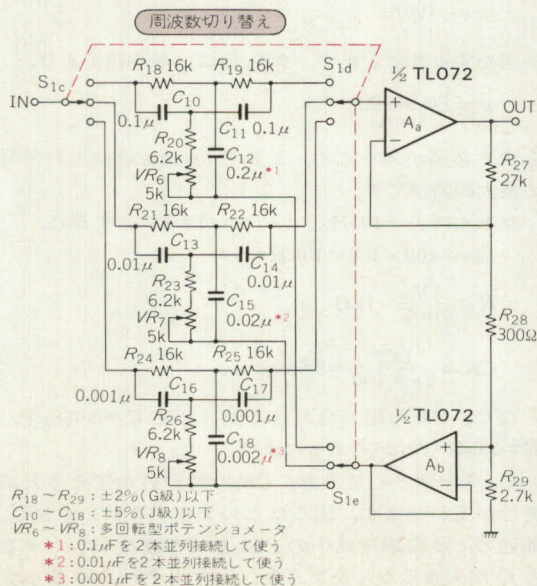
〈図 11〉 ノッチ・フィルタの周波数特性



〈図 12〉 ノッチ・フィルタの減衰率  $\alpha$  に対する帰還率  $\beta$ , および  $Q$  の特性



〈図 13〉 ノッチ・フィルタの回路図





衰率  $\alpha$  は小さくなります。したがってノッチ・フィルタとしての特性は  $Q$  が大きいほど理想に近づくのですが、 $Q$  を大きくするほど素子感度が高くなり、また調整もクリティカルになってきます。

$\alpha$  と  $Q$  および  $\beta [=R_d/(R_d+R_e)]$  の関係を示したのが図 12 です。たとえば  $\alpha=0.3\text{dB}$  にしたいとき、ノッチ・フィルタの  $Q$  は 2.5 で、 $\beta=0.9$  とします。

実際の回路は図 13 のように、ノッチ周波数を 100/1k/10kHz の 3 ポイントとし、周波数により三つのツイン T を切り替えるようにしました。また CR のばらつきを想定して  $R_c$  に相当する抵抗は調整できるようにしておきます。さらにこの段で 20dB の利得を稼ぎたいので、 $A_a$  はボルテージ・フォロワではなく、非反転増幅器にしています。

帰還率  $\beta$  は、ツイン T の出力電圧に対する帰還率

であり、この出力電圧すなわち  $A_a$  の  $IN^+$  端子電圧は  $IN^-$  端子電圧に等しいので、

$$\beta = \frac{R_{28}}{R_{28} + R_{29}} = \frac{2.7k}{300 + 2.7k} = 0.9$$

となっており、 $Q=2.5$  に設定されています。

**調整**は発振器の信号を入力に入れて、出力が最小になるように発振器の周波数を調整したうえで、さらにそのレベルが最小となるように各 VR を調整します。

本回路の**特性**(実測)は、平坦域の利得が +20dB、それに対するノッチ周波数における減衰率は -76 ~ -78dB です。さらに**減衰率**を大きくとりたい場合は、CR の精度を上げる必要があります。 **<更科 一>**

#### 参考文献

(1) 青木英彦, アナログ回路の設計・製作, CQ 出版社。

(トランジスタ技術 1987 年 12 月号)

スイッチ・キャパシタ・フィルタ LTC1062 を使った

## ノッチ・フィルタ ( $f_{\text{notch}}=50\text{Hz}$ )

### LTC1062

**LTC1062** は 5 次ローパス・フィルタ (LPF) 用のスイッチト・キャパシタ・フィルタ (SCF) IC ですが、ノッチ・フィルタを作ることでもあります。

図 14 がその回路です。ノッチ・フィルタとして代表的なツイン T では精度の高い CR が各 3 本ずつ必要ですが、この回路では抵抗の数は変わらないもののコンデンサは 1 個で済みます。

一見すると、ノッチ・フィルタに見えないかもしれませんが、LPF の出力の位相がカットオフ周波数  $f_c$  よりも低い周波数で  $180^\circ$  回るので、これで打ち消してノッチ特性を得ているのです。 $f_c$  よりも高い周波数で  $540^\circ$ ,  $900^\circ$ , …… という位相回転となる周波数も存在しますが、その領域になると LPF 出力は原信号にくらべて十分に小さくなるので、無視できます。

ノッチ周波数  $f_{\text{notch}}$  は、 $R$ ,  $C$  とクロック周波数  $f_{\text{CLK}}$  で決まり、これらの関係は以下の式ようになります。

$$f_{\text{notch}} = \frac{f_{\text{CLK}}}{118.3}, \quad \frac{1}{2\pi RC} = \frac{f_{\text{notch}}}{1.38}$$

つまり、50Hz のノッチ・フィルタを作りたいときは、

$$f_{\text{CLK}} = 118.3 \times 50 = 5.92\text{kHz}$$

$$RC = \frac{1.38}{2\pi \times 50} = 4.39\text{ms}$$

となるように  $f_{\text{CLK}}$ ,  $R$ ,  $C$  を決めます。 $R$ ,  $C$  の組み合わせの例として、たとえば  $R=20\text{k}\Omega$ ,  $C=0.22\mu\text{F}$  などが考えられます。

ノッチ周波数においては、原信号と LPF 出力の大きさが完全に等しいとは限らないので、 $R_1$  の調整により最大ノッチが得られるようにします。さらにこの二つの信号の大きさが等しければ、 $R_1=R_2+R_3$  となり

ます。

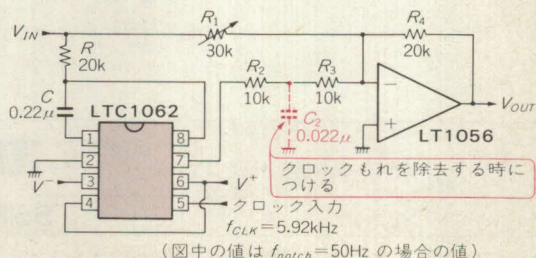
$R_2$  と  $C_2$  によるパッシブ LPF は、LPF 出力に現れるクロックの漏れを除去するもので、信号レベルがこの漏れにくらべて十分大きければなくてもかまいません。通常は  $R_2C_2$  によるポールが、 $f_{\text{notch}}$  の 12~15 倍になるように  $R_2$ ,  $C_2$  を決定します。

ところで、SCF はサンプリング定理が適用され、 $(1/2)f_{\text{CLK}}$  以上の周波数は扱えません、しかし LTC1062 の場合、内部でエリヤシングひずみが生じない構成になっているので、とくに注意する必要はありません。

たとえば前の例で、 $f_{\text{notch}}=50\text{Hz}$  の場合ですと  $f_{\text{CLK}}=5.92\text{kHz}$  で、サンプリング定理では  $2.96\text{kHz}$  以上の周波数は入力できないのですが、ここでは  $2.96\text{kHz}$  以上の周波数を入力してもなんら差し支えありません。このことは LPF として用いるときもあてはまり、本 IC の大きな特徴のひとつです。 **<更科 一>**

(トランジスタ技術 1988 年 1 月号付録)

図 14 SCF を用いたノッチ・フィルタ





## LTC1060

ステート・バリャブル・フィルタを実際に設計する場合、抵抗やコンデンサの精度およびその比をそろえる必要があり、ディスクリートで組むのは得策ではありません。

ここでは、スイッチ・キャパシタ・フィルタを利用したステート・バリャブル型によるユニバーサル・フィルタ・ビルディング・ブロック IC (図 15) を使っています。ブロック図に示したように、クロックで制御されたスイッチ・キャパシタによる積分器 2 個と加算器、

それにプログラマブルなサミング・ポイントから構成されています。

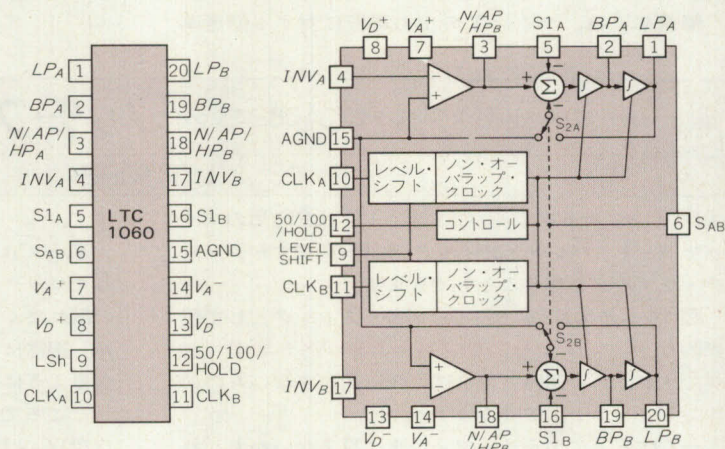
図 16 は外付け部品が抵抗のみで 2 次のバンドパス、ローパス・フィルタを構成した例です。

この IC は GB 積が高く、30kHz までの帯域で使用可能です。中心周波数  $f_0$  はクロック周波数により可変できるので、 $f_0$  のプログラムが可能な便利な回路です。

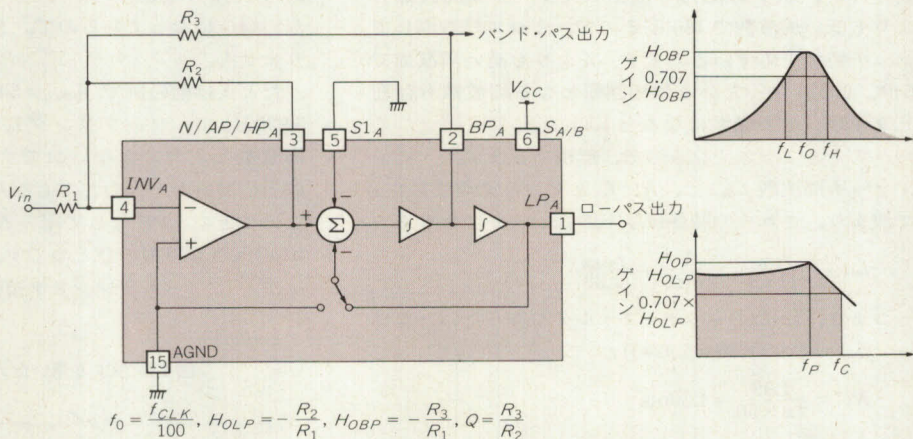
〈佐井行雄〉

(トランジスタ技術 1990 年 10 月号)

〈図 15〉  
ユニバーサル・フィルタ・ビルディング・  
ブロック IC LTC1060



〈図 16〉  
LTC1060 を使った  
ステート・バリャブル・  
フィルタ



差動入出力を備え  
 $f_0$  とブースト量を外部でコントロールできる

## 高周波フィルタ ( $f_c = 5 \sim 13 \text{ MHz}$ )

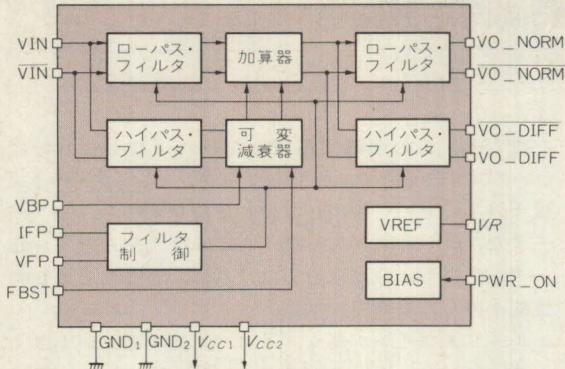
### SSI32F8011

SSI32F80 シリーズは、電気的に特性をコントロー

ルできるプログラマブル高周波フィルタです。F80 シ



〈図 17〉 32F8011 のブロック図



リーズはカットオフ周波数別に四つの IC があります。

- ・ F8011... $f_c = 5 \sim 13\text{MHz}$
- ・ F8020... $f_c = 1.5 \sim 8\text{MHz}$
- ・ F8030... $f_c = 250\text{k} \sim 2.5\text{MHz}$
- ・ F8000... $f_c = 9 \sim 27\text{MHz}$

ここではこの中から F8011 を取り上げます。基本的な取り扱い方は F80 シリーズで共通です。

#### ● F8011 の特徴

F8011 はハード・ディスク・ドライブの信号処理(波形等化)に適しており、カットオフ周波数  $f_c$  とその点でのブースト量を CPU でコントロールしやすくなっています。特徴としてつぎの 3 点が挙げられます。

- ① カットオフ周波数( $f_c$ )が可変
- ②  $f_c$  におけるブースト量を任意に設定できる
- ③ 通過帯域内での群遅延変動がきわめて小さい

SSI32F8011 のブロック図を図 17 に示します。出力(NORM, DIFF)には同じ群遅延特性をもたせており、イコライザ特性や帯域幅を変化させても影響を受けません。

フィルタの構成としては 7 次ベッセルで、通過帯域内での群遅延変動は  $\pm 0.75\text{ns}$  です。

フィルタ・カットオフ周波数(以下  $f_c$ )は、5 ~ 13MHz の間で任意に設定可能です。また、 $f_c$  において 0 ~ 9dB のブーストをすることにより、パルス・イコライゼーションが可能です。

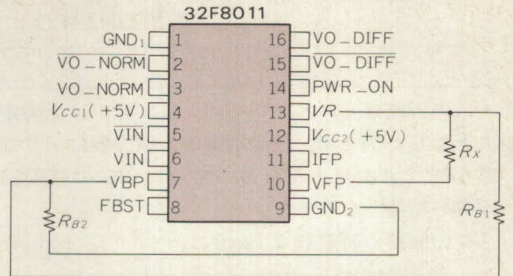
特性を固定して使用する場合には、外部抵抗器を三つ使用するだけですみます。また、イコライゼーション機能はロジック信号で ON/OFF できます。

F8011 は +5V 単一電源で、16 ピン DIP および SOP があります。

#### ● F8011 の使用方法

F8011 のもっとも基本的な応用回路を図 18 に示します。この回路はフィルタの特性を固定して使用する

〈図 18〉 32F8011 の基本応用回路



場合です。

カットオフ周波数( $f_c$ )は、端子 VFP に流れる電流  $I_{VFP}$  で決まるので、抵抗  $R_x$  を加減することにより任意に設定できます。端子 VR は基準電圧源で、標準値で 2.2V です。 $R_x$  は次式にしたがって決定します。

$$R_x \text{ [k}\Omega\text{]} = \frac{11.92}{f_c \text{ [MHz]}}$$

この場合 IFP 端子はかならずオープンにしなければなりません。

$f_c$  におけるブースト値(FB)は、端子 VBP に加わる電圧で決まるので、抵抗  $R_{B1}$ 、 $R_{B2}$  の比によって調整できます。

$$\frac{R_{B1}}{R_{B2}} = \frac{1.884}{(10^{(FB/20)} - 1)} - 1$$

ただし、VR より引き出せる電流は 2mA が限度なので、その範囲内で抵抗値を決めてください。

ブーストを行う場合の注意点として、ブーストすることによって  $R_x$  により設定したカットオフ周波数に対して、実際に -3dB になる周波数は高くなります。したがって、ブーストをしたうえでなおかつ通過帯域幅を変えたくない場合は、 $f_c$  の設定値を低くする必要があります。

入出力はともに外付けのキャパシタで AC 結合してください。入力信号の最大レベルは差動で  $1.5V_{P-P}$  で、差動入力抵抗の標準値は  $4.0\text{k}\Omega$  です。また、両出力に接続される負荷の推奨値は  $1\text{k}\Omega$  以上です。

〈甲斐沢勝彦〉

#### ●参考文献●

- (1) TDK, SSI32F8011 プログラマブル IC フィルタ, データシート, 1991 年 2 月。
- (2) SSI, SSI32F8011 Programmable Electronic Filter Application Note, July 1991.

(トランジスタ技術 1991 年 12 月号)



OP アンプを用いて  
等価的に時定数を大きくした

## 長時間時定数回路

### AD542

この回路は **OP アンプを使用**し、見かけ上時定数を大きくした例です。差動増幅器と積分器により帰還回路を構成すると、入出力の特性は  $RC$  の直列回路と同等の特性となります。

この回路の時定数  $T$  (sec) は、

$$T = \left(1 + \frac{R_2}{R_1}\right) \cdot R_t \cdot C$$

となり、見かけ上**時定数の抵抗を大きく**できます。かりに  $R_t$  を  $1\text{M}\Omega$ 、 $C$  を  $10\mu\text{F}$  とすれば、 $(1 + R_2/R_1)$  を 50 にすることにより、時定数を 500 秒にすることができます (たとえば  $R_1 = 1\text{k}\Omega$ 、 $R_2 = 49\text{k}\Omega$ )。このようにすると、コンデンサの容量を小さくできますから、漏れ電流の小さな**フィルム・コンデンサ**が使用できま

す。

ただし、この回路で注意しなければならないのは **OP アンプの選定**で、回路のオープン・ループ・ゲインは十分高いものを使用しなければなりません。

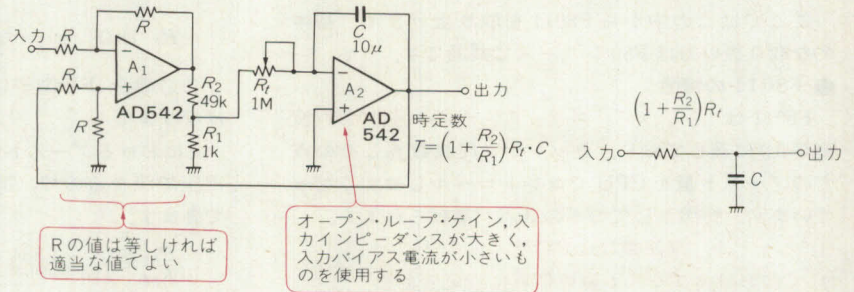
また、OP アンプの入力バイアス電流や入力インピーダンスにも十分注意をしなければ、思ったとおりの性能が得られません。

ループ・ゲインが高く、入力バイアス電流が小さく、入力インピーダンスが大きい OP アンプとして、FET 入力 of **AD542** (アナログ・デバイセス社) がありますので参考にしてください。

〈松田 透〉

(トランジスタ技術 1986 年 12 月号)

〈図 19〉 長時間時定数回路



## トランジスタ技術 SPECIAL No.20

今回はパソコン用アナログ回路シミュレータ・ソフトをうまく使いこなす特集です。アナログ回路の難しさは、有形無形の目に見えないパラメータが数多く存在することです。したがって、これまでのアナログ回路というと、まずは実験で確かめてから…というのが一般的でした。しかし、実験はよくも悪くもまたまたというケースが多いものです。そこで回路設計の確度を上げるために利用

好評発売中

B5判 約160頁  
定価1,540円(税込)

特集 アナログ回路シミュレータ活用術  
ゲーム感覚の回路設計を体験しよう

PC9801/PC/AT用ディスクを特別頒布

されているのが“シミュレーション”です。もちろん、シミュレータを使うときには、その限界や、回路設計の基礎を頭に入れておかななくてはならないのは当然のことですが、シミュレーションした回路は、増幅回路、フィルタ回路、発振回路、変換回路、電源回路、演算回路です。頒布するディスクにはこれらの回路が入っていますので、簡単にアレンジして使えます。

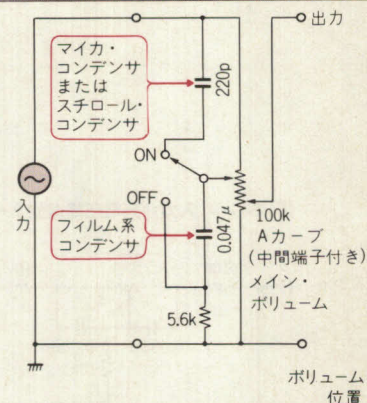


## 低音と高音をブーストする ラウドネス回路

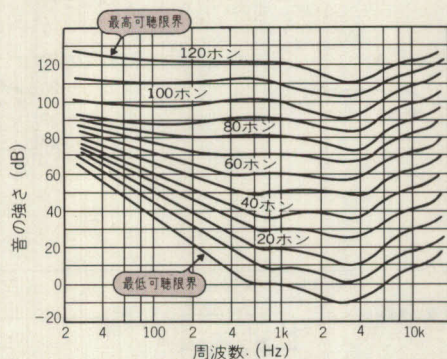
人間の耳には、音が小さくなるほど高音と低音が聴こえにくくなるという特性があります。そこで、この補正として小音量時にはあらかじめ低音と高音をブーストするようにしたのがラウドネス・コントロール回路です。図20に回路例を示します。

図中のボリュームは音量調整用のメイン・ボリュームで、これに連動した回路とすることによって、図21に示すように音量が小さいほど、低音と高音をブーストできるようになっています。〈石井 哲/赤間平也〉  
(トランジスタ技術 1985年1月号)

〈図20〉  
ラウドネス回路

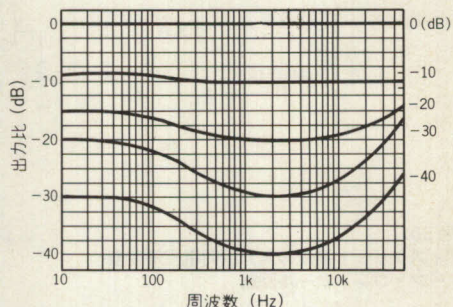


〈図21〉  
フレッチャ・マンソンの  
曲線とラウドネス回  
路の特性例



(a) フレッチャ・マンソンの曲線

(同じ強さと感じるレベルを線で結んだもの)



(b) ラウドネス回路の特性例

帰還経路の周波数特性調整で  
コントロールを行う

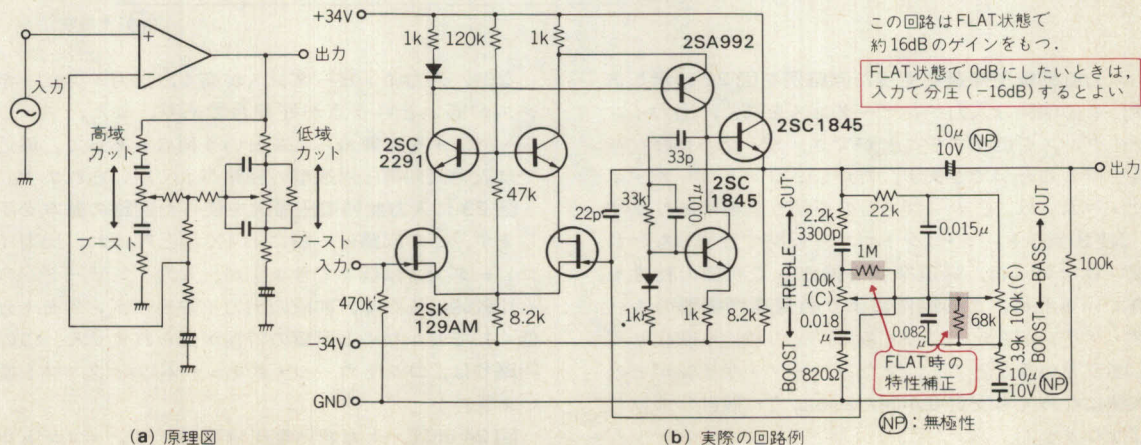
## NFB 型トーン・コントロール回路

2SA992, 2SA995, 2SC1845, 2SK129AM

NFB 型トーン・コントロールは、NFB をかけた増幅器の帰還率  $\beta$  を決定する回路に周波数特性をもた

せるように構成した回路で、入力直列電圧帰還や入力並列電圧帰還が使われます。

〈図22〉 入力直列電圧帰還型トーン・コントロール回路



(a) 原理図

(b) 実際の回路例

この回路は FLAT 状態で  
約 16dB のゲインをもつ。

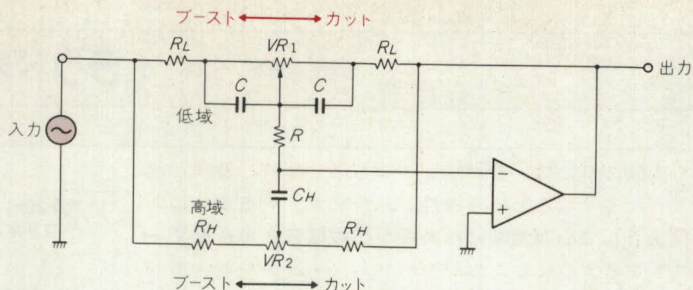
FLAT 状態で 0dB にしたいときは、  
入力分圧 (-16dB) するとよい

FLAT 時の  
特性補正

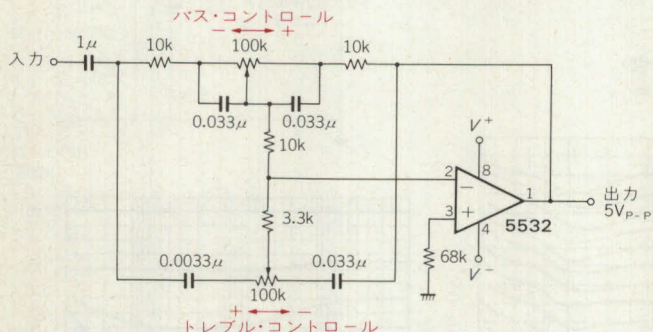
(NP: 無極性)



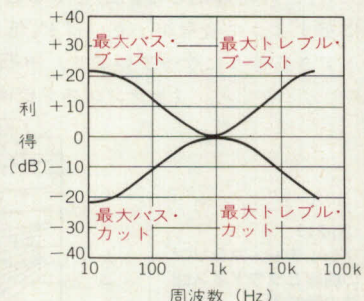
〈図 23〉  
入力並列電圧帰選型回路  
(BAX 型)の基本



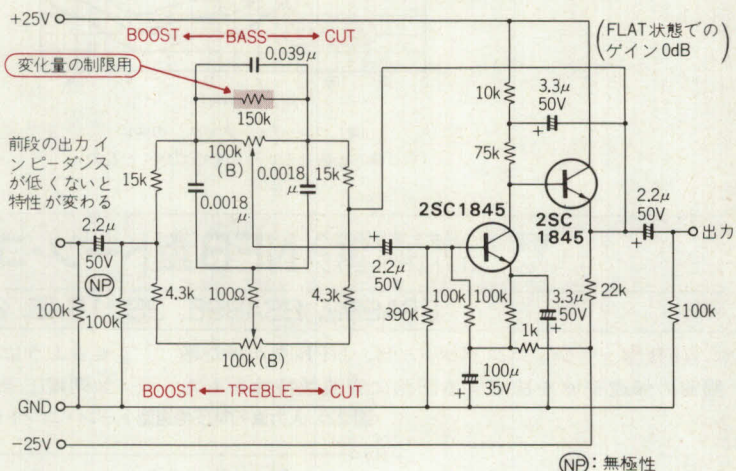
〈図 24 (a)〉 入力並列電圧帰選型トーン・コントロール回路



〈図 24 (b)〉 周波数特性



〈図 25〉  
ディスクリート構成の入力並列電圧帰選型  
トーン・コントロール回路



入力直列電圧帰選を使った回路例を図 22 に示します。この回路は入力インピーダンスを高く、出力インピーダンスを低くすることができ、**SN 比の良好な特性**を得ることができます。ただし、コントロール・ボリュームには、**C カーブ**のものを使う必要があります。

NFB 型のトーン・コントロール回路で注意しなければならない点は、帰選率  $\beta$  を操作して所望の特性を得ているため、この操作により負帰選増幅器のループ・ゲインが変化し、**ひずみ率などの特性も変化**してしまうということです。また、ループ・ゲインがどの状態になっても安定度が保たれるように設計しなければなりません。

なお、入力インピーダンスが高く、出力インピーダンスが低いという点が好都合であり、また、**フラット・アンプ**をも兼ねられるという利点もあって、最近では入力直列電圧帰選型の回路がよく用いられます。

図 23 に入力並列電圧帰選を使った回路の基本を示します。この回路は一般に **BAX 型**と呼ばれ、出力インピーダンスは低くできますが、入力インピーダンスも比較的低くなり、前段の出力インピーダンスを十分低くしておかないと所望の特性が得られません。この回路では、コントロール・ボリュームは **B タイプ**を使います。

図 24 (a)は、入力並列電圧帰選型トーン・コントロ



(トランジスタ技術1985年1月号, 1988年1月号付録)



# 優れた特性が得られる グラフィック・イコライザ

## NE5532

NE5532 タイプの OP アンプは、入力ノイズ 5nV/Hz の低ノイズ特性と 10MHz の小信号帯域幅をもっているため、オーディオ信号の処理に向いています。

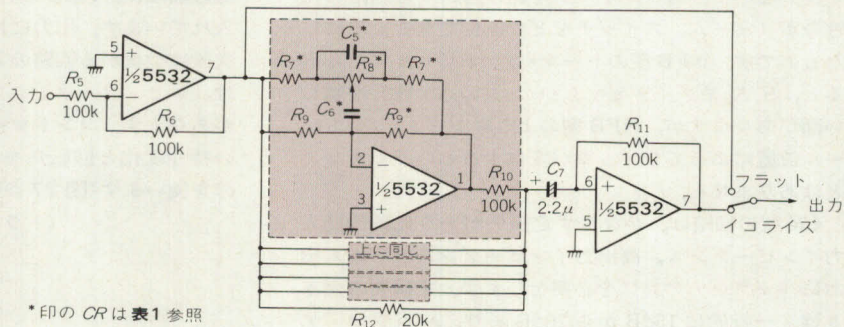
図 28 はグラフィック・イコライザ部で、 $R_9$  のセッティングによりバンドパスあるいはノッチ・フィルタとなります。グラフィック・イコライザとしては、必

要な段数分だけこの回路を用意します。そのときの定数は表 1 のようになります。回路規模は専用 IC を用いたものに比べると、かなり大規模になりますが、特性面ではこちらのほうが優れた特性が得られます。

〈更科 一〉

(トランジスタ技術 1988 年 1 月号付録)

〈図 28〉 RIAA イコライザ



\* 印の CR は表 1 参照

〈表 1〉  
図 28 の CR の値

$R_8=25\text{k}\Omega$ $R_7=2.4\text{k}\Omega$ $R_9=240\text{k}\Omega$			$R_8=50\text{k}\Omega$ $R_7=5.1\text{k}\Omega$ $R_9=510\text{k}\Omega$			$R_8=100\text{k}\Omega$ $R_7=10\text{k}\Omega$ $R_9=1\text{M}\Omega$		
$f_0$	$C_5$	$C_6$	$f_0$	$C_5$	$C_6$	$f_0$	$C_5$	$C_6$
23Hz	1 $\mu\text{F}$	0.1 $\mu\text{F}$	25Hz	0.47 $\mu\text{F}$	0.047 $\mu\text{F}$	12Hz	0.47 $\mu\text{F}$	0.047 $\mu\text{F}$
50Hz	0.47 $\mu\text{F}$	0.047 $\mu\text{F}$	36Hz	0.33 $\mu\text{F}$	0.033 $\mu\text{F}$	18Hz	0.33 $\mu\text{F}$	0.033 $\mu\text{F}$
72Hz	0.33 $\mu\text{F}$	0.033 $\mu\text{F}$	54Hz	0.22 $\mu\text{F}$	0.022 $\mu\text{F}$	27Hz	0.22 $\mu\text{F}$	0.022 $\mu\text{F}$
108Hz	0.22 $\mu\text{F}$	0.022 $\mu\text{F}$	79Hz	0.15 $\mu\text{F}$	0.015 $\mu\text{F}$	39Hz	0.15 $\mu\text{F}$	0.015 $\mu\text{F}$
158Hz	0.15 $\mu\text{F}$	0.015 $\mu\text{F}$	119Hz	0.1 $\mu\text{F}$	0.01 $\mu\text{F}$	59Hz	0.1 $\mu\text{F}$	0.01 $\mu\text{F}$
238Hz	0.1 $\mu\text{F}$	0.01 $\mu\text{F}$	145Hz	0.082 $\mu\text{F}$	0.0082 $\mu\text{F}$	72Hz	0.082 $\mu\text{F}$	0.0082 $\mu\text{F}$
290Hz	0.082 $\mu\text{F}$	0.0082 $\mu\text{F}$	175Hz	0.068 $\mu\text{F}$	0.0068 $\mu\text{F}$	87Hz	0.068 $\mu\text{F}$	0.0068 $\mu\text{F}$
350Hz	0.068 $\mu\text{F}$	0.0068 $\mu\text{F}$	212Hz	0.056 $\mu\text{F}$	0.0056 $\mu\text{F}$	106Hz	0.056 $\mu\text{F}$	0.0056 $\mu\text{F}$
425Hz	0.056 $\mu\text{F}$	0.0056 $\mu\text{F}$	253Hz	0.047 $\mu\text{F}$	0.0047 $\mu\text{F}$	126Hz	0.047 $\mu\text{F}$	0.0047 $\mu\text{F}$
506Hz	0.047 $\mu\text{F}$	0.0047 $\mu\text{F}$	360Hz	0.033 $\mu\text{F}$	0.0033 $\mu\text{F}$	180Hz	0.033 $\mu\text{F}$	0.0033 $\mu\text{F}$
721Hz	0.033 $\mu\text{F}$	0.0033 $\mu\text{F}$	541Hz	0.022 $\mu\text{F}$	0.0022 $\mu\text{F}$	270Hz	0.022 $\mu\text{F}$	0.0022 $\mu\text{F}$
1082Hz	0.022 $\mu\text{F}$	0.0022 $\mu\text{F}$	794Hz	0.015 $\mu\text{F}$	0.0015 $\mu\text{F}$	397Hz	0.015 $\mu\text{F}$	0.0015 $\mu\text{F}$
1588Hz	0.015 $\mu\text{F}$	0.0015 $\mu\text{F}$	1191Hz	0.01 $\mu\text{F}$	0.001 $\mu\text{F}$	595Hz	0.01 $\mu\text{F}$	0.001 $\mu\text{F}$
2382Hz	0.01 $\mu\text{F}$	0.001 $\mu\text{F}$	1452Hz	0.0082 $\mu\text{F}$	820pF	726Hz	0.0082 $\mu\text{F}$	820pF
2904Hz	0.0082 $\mu\text{F}$	820pF	1751Hz	0.0068 $\mu\text{F}$	680pF	875Hz	0.0068 $\mu\text{F}$	680pF
3502Hz	0.0068 $\mu\text{F}$	680pF	2126Hz	0.0056 $\mu\text{F}$	560pF	1063Hz	0.0056 $\mu\text{F}$	560pF
4253Hz	0.0056 $\mu\text{F}$	560pF	2534Hz	0.0047 $\mu\text{F}$	470pF	1267Hz	0.0047 $\mu\text{F}$	470pF
5068Hz	0.0047 $\mu\text{F}$	470pF	3609Hz	0.0033 $\mu\text{F}$	330pF	1804Hz	0.0033 $\mu\text{F}$	330pF
7218Hz	0.0033 $\mu\text{F}$	330pF	5413Hz	0.0022 $\mu\text{F}$	220pF	2706Hz	0.0022 $\mu\text{F}$	220pF
10827Hz	0.0022 $\mu\text{F}$	220pF	7940Hz	0.0015 $\mu\text{F}$	150pF	3970Hz	0.0015 $\mu\text{F}$	150pF
15880Hz	0.0015 $\mu\text{F}$	150pF	11910Hz	0.001 $\mu\text{F}$	100pF	5955Hz	0.001 $\mu\text{F}$	100pF
23820Hz	0.001 $\mu\text{F}$	100pF	14524Hz	820pF	82pF	7262Hz	820pF	82pF
			17514Hz	680pF	68pF	8757Hz	680pF	68pF
			21267Hz	560pF	56pF	10633Hz	560pF	56pF
						12670Hz	470pF	47pF
						18045Hz	330pF	33pF



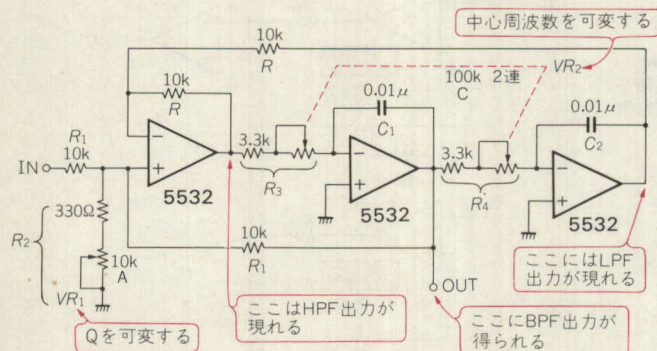
利得/中心周波数/Qを独立に制御できる

# パラメトリック・イコライザ

NE5532

グラフィック・イコライザは特定周波数帯域の利得を増加させたり、減衰させたりするものですが、**パラメトリック・イコライザ**はさらにその**Q**まで可変できるようにしたものです。このパラメトリック・イコライザは、Qを可変できるバンドパス・フィルタをOPアンプ回路の帰還ループ内に入れることで実現できます。

〈図29〉 Qと周波数を可変にしたバンドパス・フィルタ

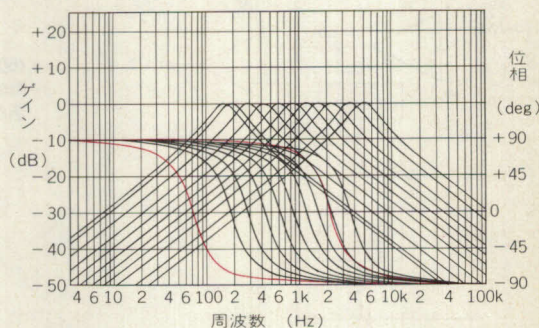


まずバンドパス・フィルタの回路図を図29に示します。この回路の伝達関数  $T(s)$  は、

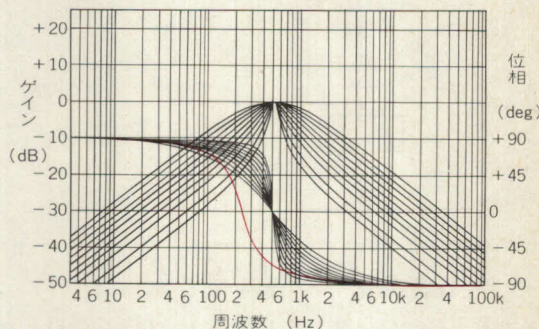
$$T(s) = -\frac{\frac{2a}{C_1 R_3} s}{s^2 + \frac{2a}{C_1 R_3} s + \frac{1}{C_1 C_2 R_3 R_4}}$$

ただし、 $a = (R_1 \parallel R_2) / \{(R_1 \parallel R_2) + R_1\}$  と表されるので、

〈図30〉 フィルタの特性

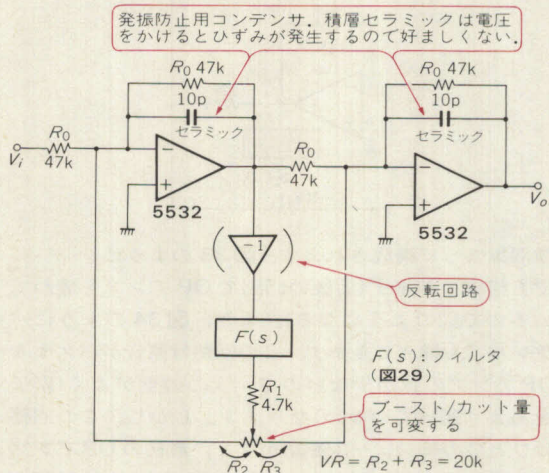


(b)  $R_3, R_4$  を変えた場合の周波数特性



(c)  $R_2$  を変えた場合の周波数特性

〈図31〉 パラメトリック・イコライザ

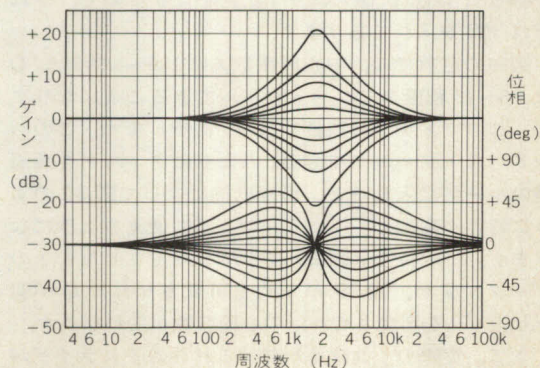


$$\frac{V_o}{V_i} = \frac{1 + \beta F(s)}{1 + \alpha F(s)} \quad \text{または} \quad \frac{1 - \beta F(s)}{1 - \alpha F(s)} \quad (\text{反転回路付き})$$

$$\alpha = \frac{R_0 R_3}{R_1 (R_2 + R_3) + R_2 R_3}$$

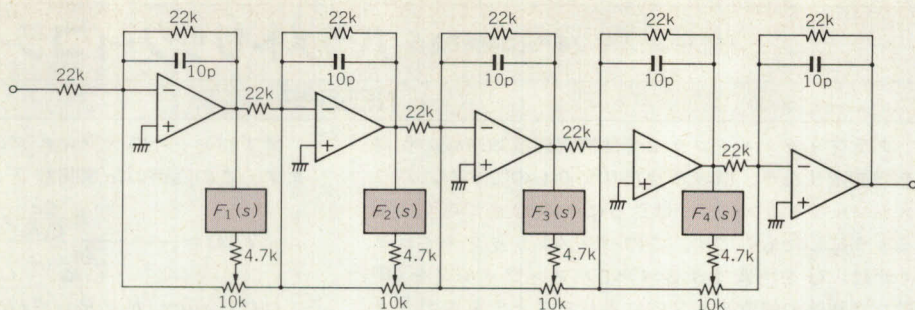
$$\beta = \frac{R_0 R_2}{R_1 (R_2 + R_3) + R_2 R_3}$$

〈図32〉 パラメトリック・イコライザの周波数特性

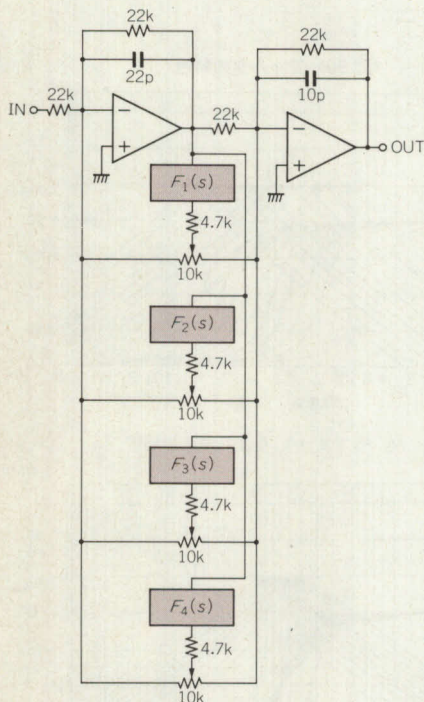




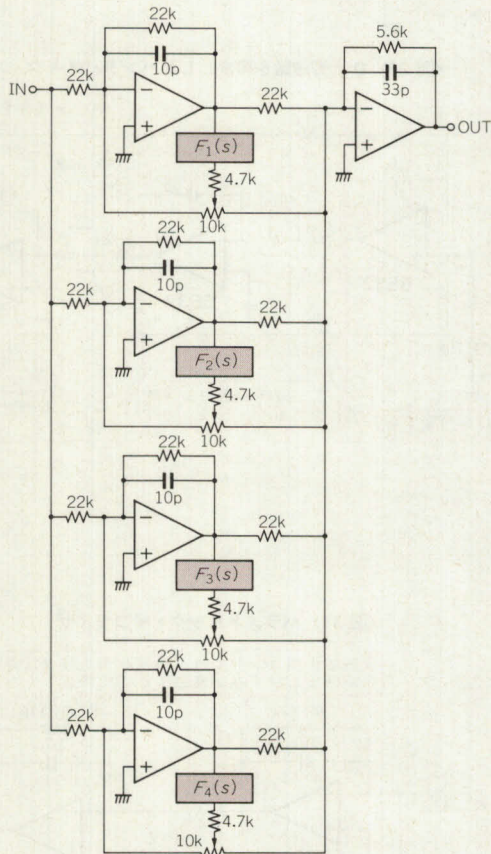
〈図 33〉  
イコライザ回路を  
直列につないだ例



〈図 34〉◀  
イコライザ回路を  
並列につないだ例



〈図 35〉▶  
両者の長所を  
活かす回路例



$$\omega_0 = \frac{1}{C_1 C_2 R_3 R_4}, \quad Q = \frac{1}{2a} \sqrt{\frac{C_1}{C_2} \cdot \frac{R_3}{R_4}}$$

となり、 $C_1=C_2$ 、 $R_3=R_4$ にすると、 $Q=1/(2a)$ となります。これからわかるように、 $R_3$ 、 $R_4$ で $Q$ を変え  
ることなく周波数(抵抗値に反比例)を、 $R_2$ で周波数に  
関係なく $Q$ (抵抗値に比例)を変化できるので、それ  
ぞれ $VR$ を入れてあります。

図中の定数では、中心周波数 $f_0$ は150~4.8kHz、 $Q$   
は1.5~16程度までコントロールできるようになり  
ます。このフィルタの特性を図30に示します。このバ  
ンドパス・フィルタを図31のようにフィルタを負帰  
還のループに入れると、可変抵抗によって図32のよ  
うに特性が変化してイコライザとして使えるように  
なります。この特性は図29の $VR$ を可変させたとき  
のデータですが、図29の $VR_1$ を可変させれば $Q$ が  
変化する、 $VR_2$ を可変させれば中心周波数が変わ  
ります。

さて、実際のイコライザ部はこれらのイコライザが

数個集まって構成されます。図33のようにシリー  
ズでも構成できます(前後の回路でOPアンプを兼ね  
ているので図のようになる)。また、図34のよう  
にパラレルでも構成できます。この回路は原音が  
パスするOPアンプの数が少ないので、音の鮮度  
がよく(素子をあまり通っていない)なります。し  
かし、この回路はひとつのモジュールを動かすと、  
最初のOPアンプの帰還量が変化するので、ほか  
のモジュールの状態も変わってしまいます。そこ  
で、図35の回路を考えました。これだと、信号  
パスも短く、ほかのモジュールにも影響を与え  
ません。

〈松本郁広〉

(トランジスタ技術 1990年2月号, 1991年3月号)



## LMF60CIN100

SCF の応用例として、**3D システム用オーディオ・アンプ**を紹介します。3D とは図 36 に示すように、本来のステレオ出力に加えて、**低域だけ L+R のモノラル出力**を出してやろうというものです。音楽信号では低域はほとんどの場合モノラルになっています。人間の耳も低域は指向性があまりないため、このような方法が可能なのです。

音質を極限まで追求したものではありませんが、ステレオ・ラジカセや音声多重テレビなどに**低音増強用のウーハ**を追加するときに使用することができます。特にカットオフ周波数を  $60\text{Hz}\sim600\text{Hz}$  まで連続で可変できますので、使用するスピーカ・システムや音楽ソースにより、そのつど**好みのカットオフ周波数**を選択できるのが特徴です。

使用する周波数帯域が低いので、**LMF60**に限らず**MF6**も使用できます。パワー・アンプの部分には 5 本足のオーディオ用パワー・アンプ IC **LM1875T** を使用して最大  $25\text{W}$  を得て( $8\Omega$  のとき)います。発熱がだいぶあるので、**大きめのヒート・シンク**を使用します。

図 37 に 3D オーディオ・アンプの回路図を示します。LMF60 の内蔵 OP アンプで、L チャンネルと R チャンネルをミックスします。つぎにフィルタ回路を通し、低域分だけを取り出します。SCF の出力には、**サンプリング・ノイズ**や**クロック成分の漏れ**(カットオフ周波数の 100 倍の周波数)が含まれていますので、次段

のバッファ・アンプにローパス・フィルタの機能をもたせします。またパワー・アンプの部分でも、3D オーディオ・アンプでは不要な  $1\text{kHz}$  以上の信号をカットするようにしています。

製作上の注意としては、9 番ピンと 11 番ピンまわりの内蔵クロック信号は、振幅が  $10\text{V}_{\text{P-P}}$  がある大きな**ノイズ源**ですので、入力信号とはできるだけ**配線を離す**ようにします。またパワー・アンプ系の電源とフィルタ系の電源とで共通インピーダンスをもたないように配線をします。

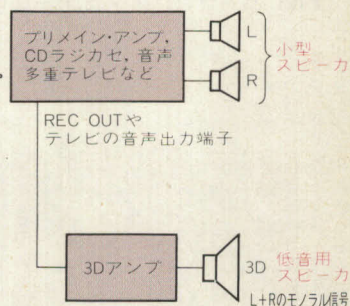
〈末木 豊〉

### 引用文献

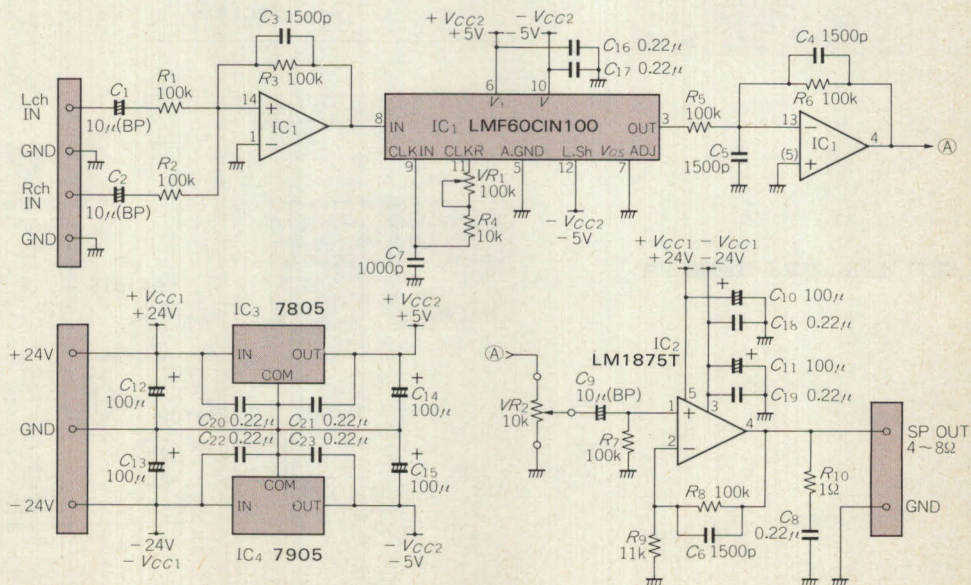
- (1) ナショナルセミコンダクター、データシート、LMF60。
- (2) 今田悟；アナログ・フィルタの基礎知識、トランジスタ技術、1988 年 2 月号、p.423、CQ 出版社

(トランジスタ技術 1990 年 9 月号)

〈図 36〉  
3D オーディオ・アンプ  
の接続例



〈図 37〉  
スイッチト・キャ  
パシタ・フィルタ  
IC LMF60 を使用  
した 3D オーディ  
オ・アンプの回路





# 第3章 変換回路

宮崎 仁/更科 一/松井邦彦/中野正次/佐藤武志

## 高精度で大電流が得られる 電圧-電流変換回路

2SC1815, 2SK30A, TL071

この回路は、出力電流  $I_{out}$  を基準抵抗  $R$  に流し、電圧降下  $I_{out} \cdot R$  が入力電圧  $V_{in}$  と常に等しくなるように負帰還をかけています(図1)。したがって、 $I_{out} = V_{in}/R$  です。

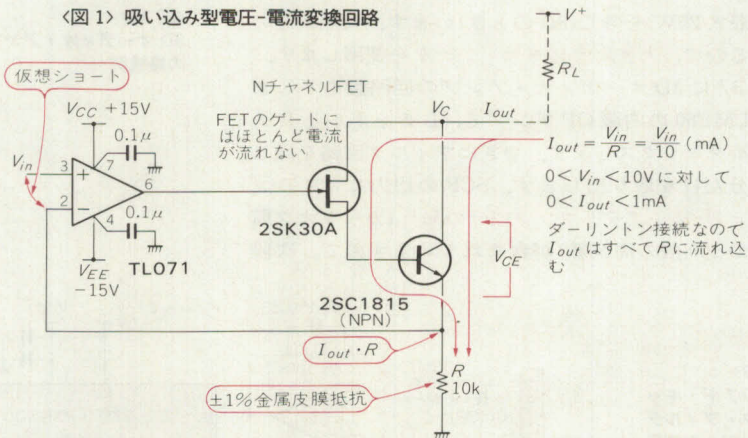
FET とトランジスタをダーリントン接続している

のは、**高精度**で大きな出力電流を得るためです。**精度**が低くてよい場合は、トランジスタ1段で十分です。また**出力電流**が小さくてよい場合には、FET1段で十分です。さらに出力電流を大きくしたい場合は、トランジスタをダーリントン接続します。

〈図1〉 吸い込み型電圧-電流変換回路

動作範囲  
 $0 < V_{in} < 10V$ において、トランジスタが飽和しない範囲すなわち  $V_C$  は  $V_{in} + V_{CE}$  より下がることはできない。抵抗負荷  $R_L$  の場合には  

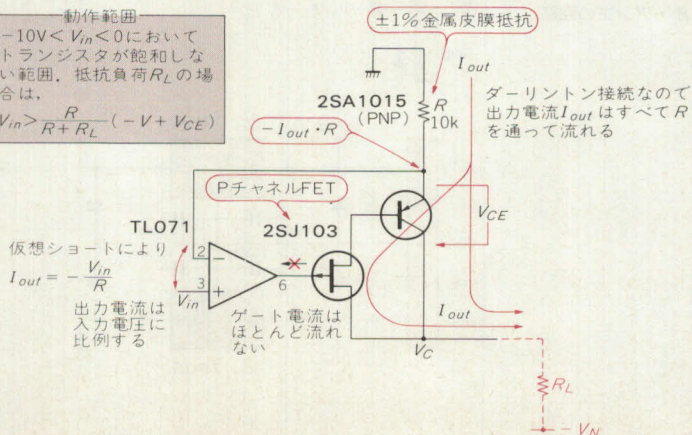
$$V_{in} < \frac{R}{R+R_L} (V_{CC} - V_{CE})$$
 $V_{in}$  の範囲を広げるには、 $R$  を大きくとって  $I_{out}$  を小さく設定する。なお  $I_{out}$  の上限は  $I_{out} < 100mA$  (2SC1815)、2SC2120 ならば  $I_{out} < 500mA$  ぐらいまで使える



〈図2〉 吐き出し型電圧-電流変換回路

動作範囲  
 $-10V < V_{in} < 0$ においてトランジスタが飽和しない範囲。抵抗負荷  $R_L$  の場合は、  

$$V_{in} > \frac{R}{R+R_L} (-V + V_{CE})$$





なお、この回路では**負荷は正電源に接続**します。負荷をグラウンドに接続する用途には、回路の基準電位をグラウンドより低い電位に移します。また**精度を高く**するには、基準となる抵抗  $R$  に誤差の少ないものを用い、OP アンプにはオフセットの小さいものを使うようにします。

図2は**吐き出し型の電圧-電流変換回路**で、動作原

理はまったく同じです。FETをPチャネルに、トランジスタをPNPに替え、回路の正負を入れ替えただけです。

〈宮崎 仁〉

#### 参考文献

(1) テキサス・インスツルメンツ, TL071 データシート。

(トランジスタ技術 1990年10月号)

吸い込み/吐き出しの両方向に電流の流せる

## 電圧-電流変換回路

### TL071

吸い込み/吐き出しの両方向に動作する電流源です。入力が正のとき出力は吸い込み、入力が負のとき出力は吐き出しになります(図3)。

回路の原理は、出力電流  $I_{out}$  を基準抵抗  $R_5$  に流し、その電圧降下が  $-V_{in}$  に等しくなるように負帰還をかけています。すなわち、 $I_{out} = -V_{in}/R_5$  です。ただし、出力は吐き出し方向を正としています。

図4のように、OPアンプの非反転入力側を回路の入力とすることもできます。この場合、出力電流の方向が逆になり、 $I_{out} = V_{in}/R_5$  となります。

$R_1 \sim R_4$  は、抵抗値そのものはあまり精度は必要ありません。ただし、抵抗バランスが悪いと定電流性が損なわれますから、相対精度のよくそろったものを用

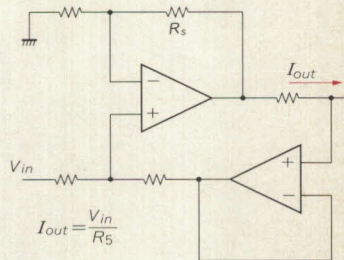
います。集合抵抗を使うとよいでしょう。〈宮崎 仁〉

#### 参考文献

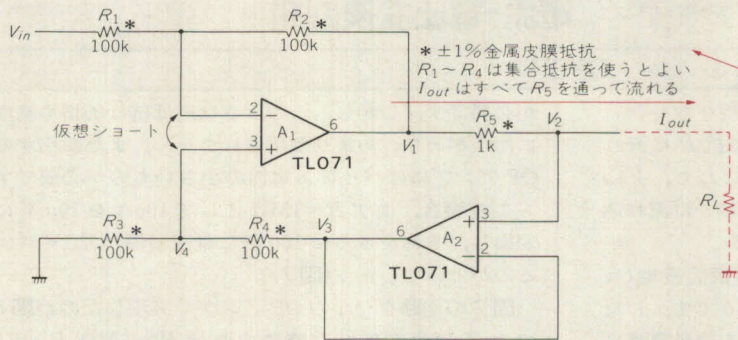
(1) テキサス・インスツルメンツ, TL071 データシート。

(トランジスタ技術 1990年10月号)

〈図4〉  
出力電流の方向を  
逆向きにする



〈図3〉 バイラテラル型電圧-電流変換回路



$$\begin{aligned} V_2 &= V_1 - I_{out} \cdot R_5 \\ V_3 &= V_2 \\ V_4 &= \frac{1}{2} V_3 \end{aligned}$$

さらにOPアンプの仮想ショートにより  
 $V_4 = \frac{1}{2} (V_{in} + V_1)$   
 したがって、 $V_1 \sim V_4$  は消去されて  
 $V_{in} = -I_{out} \cdot R_5$   
 $I_{out} = -\frac{V_{in}}{R_5}$  となり、  
 出力電流は入力電圧に比例する

$I_{out}$  が定電流となるためには出力インピーダンス  $= \infty$  が必要。 $R_1 = R_2$ ,  $R_3 = R_4$  が満たされないと出力インピーダンスは  $\infty$  にならない。ここで、 $R_2 = R_1 + \Delta$ ,  $R_4 = R_3 + \Delta'$  という誤差をもつとすると、

$$\frac{R_1}{R_1 + R_2} \approx \frac{1}{2} + \frac{\Delta}{4R_1}$$

$$\frac{R_3}{R_3 + R_4} \approx \frac{1}{2} + \frac{\Delta'}{4R_3}$$

このとき回路の出力インピーダンスは

$$R_O = \frac{2 + \frac{\Delta'}{R_3}}{\frac{\Delta}{R_1} - \frac{\Delta'}{R_3}} R_5$$

と計算される ( $\Delta = \Delta' = 0 \rightarrow R_O = \infty$ )。抵抗精度が  $x \times 10^2 (\%)$  とすると最悪時で

$$R_O \approx \frac{1+x}{2x} R_5$$

となる。  
すなわち

精度	出力インピーダンス
5%	10.5k $\Omega$
1%	50.5k $\Omega$
0.1%	501k $\Omega$

#### 動作範囲

$-10V < V_{in} < 10V$   
 ただしOPアンプが飽和しないこと  
 抵抗負荷 ( $R_L$ ) の場合は、 $I_{out} (R_5 + R_L)$  がOP  
 アンプの出力飽和電圧の範囲であることが必要、  
 すなわちおよそ、

$$|V_{in}| < \frac{R_5}{R_5 + R_L} \times 12V$$

なお、 $I_{out}$  の上限は  $I_{out} < 10mA$



# 大電流まで扱える 電流-電圧変換回路

## TL071, OP07

原理はもっとも簡単で、入力電流  $I_{in}$  を基準抵抗  $R$  に直接流し込みます [図 5 (a)]。出力は  $V_{out} = I_{in} \cdot R$  です。

$R$  が小さければかなりの電流を流せます。たとえば、 $R = 10\Omega$  で  $\pm 1A$  まで変換できます。ただし、**抵抗の最大定格**には注意が必要です。

また、 $R$  は回路の入力インピーダンスになるので、信号源のインピーダンスが十分に高くないと電流値に誤差が生じます。とくに、入力電流が小さい場合は、

図(b)のように**電圧増幅回路**を組み合わせ、 $R$  を小さくするとよいでしょう。

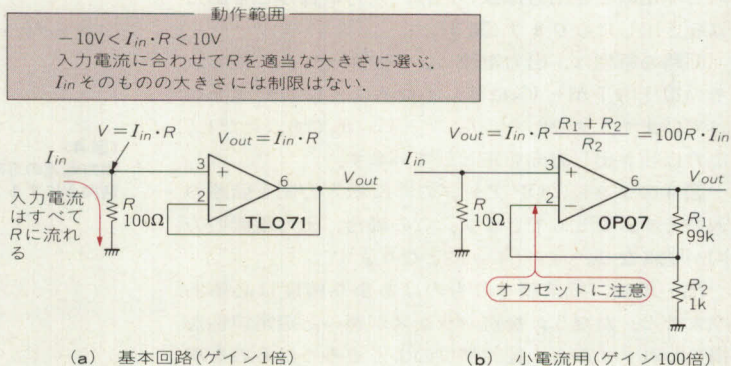
精度を上げるためには、抵抗に**高精度抵抗**を用いるほかに、入力オフセット電圧の小さいOPアンプを用い、さらに入力電流が小さいときは**FET 入力型 OP アンプ**を用います。〈宮崎 仁〉

### 参考文献

(1) アナログ・デバイセス, OP07 データシート。

(トランジスタ技術 1990 年 10 月号)

〈図 5〉 裸の抵抗による電流-電圧変換回路



# 入力抵抗が小さく微小電流が扱える 電流-電圧変換回路

## OP07

OP アンプの反転増幅回路から**入力抵抗を取り除いた回路**です。入力電流  $I_{in}$  はすべて帰還抵抗  $R$  に流れ込み、**電圧降下  $I_{in} \cdot R$**  を生じます。すなわち、 $V_{out} = -I_{in} \cdot R$  です。 $I_{in}$  は OP アンプの出力端子に流れ込むので、大電流の変換はできません(図 6)。

この回路は、OP アンプの反転入力が**仮想接地**( $\approx 0V$ )なので、**入力インピーダンスはほぼ 0** です。したがって、信号源インピーダンスが低くても信号電流には誤差は生じません。

微小電流の変換には、大きな帰還抵抗が必要です。たとえば、 $10nA$  を  $1V$  に変換するには、 $R = 100M\Omega$

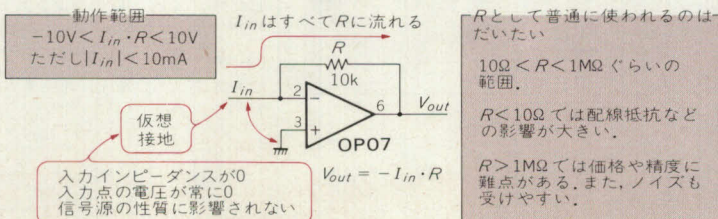
が必要です。しかし、このような高抵抗は価格や精度に難点があり、あまり使用されません。また使用する OP アンプにはバイアス電流の小さいものが必要です。

この場合、まず  $R = 1M\Omega$  にして  $10nA$  を  $10mV$  に変換し、それをさらに 100 倍に電圧増幅して  $1V$  にするのがよいでしょう(図 7)。

図 7 の回路を一つの OP アンプで実現したのが図 8 です。T 型帰還抵抗回路にすれば  $R_1 = 1M\Omega$ ,  $R_2 = 9.9k\Omega$ ,  $R_3 = 100\Omega$  という組み合わせで  $10nA$  を  $1V$  に変換できます。

この回路は  $R_1$  の電圧降下を  $(1 + R_3/R_2)$  倍に増幅し

〈図 6〉 帰還抵抗による電流-電圧変換回路





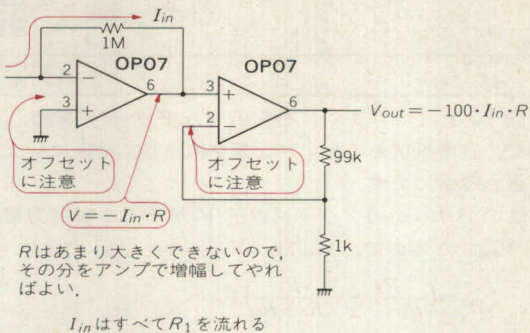
ています。しかし、**開ループ・ゲインの大きいOPアンプ**を使わないと、ゲイン誤差が大きくなってしまいます。またオフセット電圧も $(1+R_3/R_2)$ 倍されるのでこちらも注意が必要です。

〈宮崎 仁〉

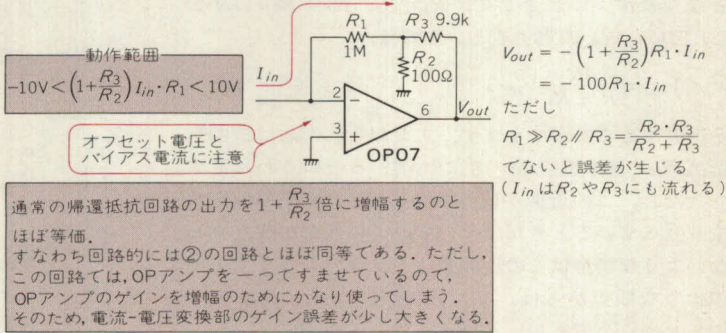
●参考文献●

- (1) アナログ・デバイセス PMI, OP07 データシート。  
(トランジスタ技術 1990 年 10 月号)

〈図 7〉 2 段構成にしてゲインをかせぐ



〈図 8〉  
T 型帰還抵抗による電流-電圧変換回路



簡単で精度の高い **抵抗-電圧変換回路**

OP07, TL071

**抵抗値測定の基本**は、抵抗に定電流を流して抵抗値に比例した電圧を発生させることです。この回路では、被測定抵抗が OP アンプの帰還ループに入っていて、入力電流値は基準電圧源と入力抵抗で決まります(図 9)。

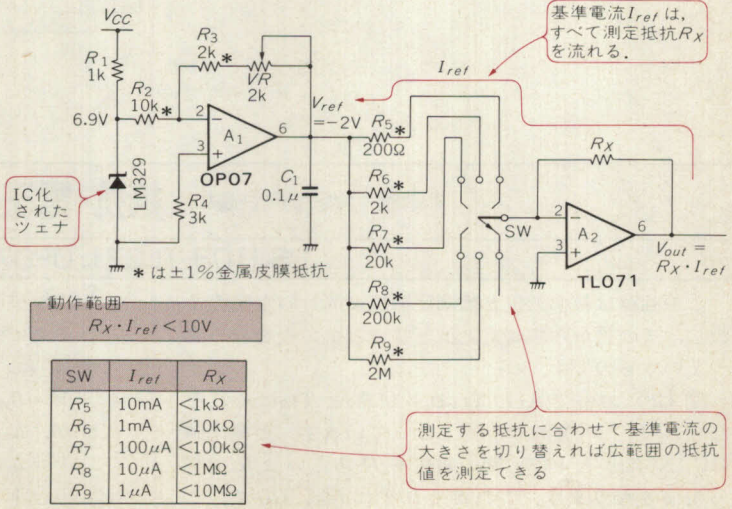
広い範囲の抵抗値を高精度で測定するには、入力電

流を適当な大きさに切り替えます。この回路では、入力抵抗の切り替えによって簡単に実現できます。

なお、 $R_3$ とシリーズに入っている VR は、 $A_1$ の出力が $-2V$  ちょうどになるように調整します。これには**温度特性の優れたサーメット型**を使います。〈宮崎 仁〉

(トランジスタ技術 1990 年 10 月号)

〈図 9〉 帰還抵抗型抵抗-電圧変換回路





## OP07, LM385

図10は抵抗ブリッジを利用した抵抗-電圧変換回路で、基準抵抗とのわずかな差を検出して電圧にしようというものです。

このブリッジのブリッジ電圧  $V$  がそのまま出力電圧  $V_{out}$  になるので、 $V_{out}$  は、

$$V_{out} = \left( \frac{R_X}{R_1 + R_X} - \frac{R_3}{R_2 + R_3} \right) V_{ref}$$

となります。いまここで、 $R_1 = R_2$ 、 $R_X = R_3 + \Delta R$  とし、 $\Delta R \ll R_1$  と仮定すると、上式は、

$$V_{out} = \frac{\Delta R}{R_1 + R_3} V_{ref}$$

と近似することができます。すなわち、 $V_{out}$  は被測定抵抗  $R_X$  と基準抵抗  $R_3$  の差に比例するというわけです。

ただし、この近似が成り立つのは  $\Delta R \ll R_1$  の仮定が成り立っているときだけなので、この仮定が成り立たないような場合はこの近似式は使えなくなります。そのような観点からは、 $V_{ref}$  を高くして  $R_1$ 、 $R_2$  を大きくしたほうが望ましいといえるでしょう。

この回路で面倒なのは、ブリッジの電源/GNDをほかの部分と独立に用意しなければならないという点です。これを避けるには図11のようにブリッジ電圧

〈図10〉 抵抗ブリッジ型抵抗-電圧変換回路

$R_X$  と  $R_3$  の差によりブリッジ電圧  $V$  が発生する。

$$V_{out} = V = \left( \frac{R_X}{R_1 + R_X} - \frac{R_3}{R_2 + R_3} \right) V_{ref}$$

ここで  $R_1 = R_2$ 、 $R_X = R_3 + \Delta R$  とすれば

$$V_{out} = \frac{R_X - R_3}{(R_1 + R_3)} V_{ref}$$

$V$  を差動入力アンプで受けるようにします。

以上のように述べてくると、あまりメリットのない回路のように思われるかもしれませんが、 $R_X$  が離れていても大丈夫で、遠隔測定が可能というメリットがあります。

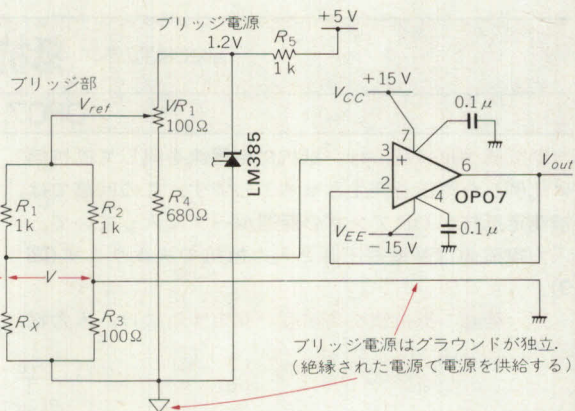
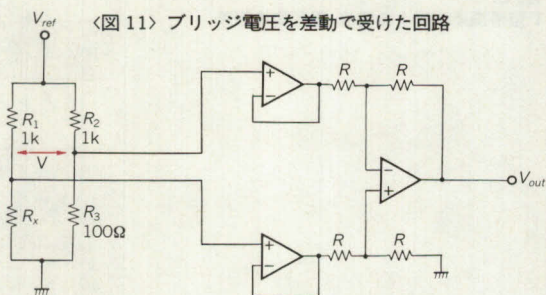
〈宮崎 仁/更科 一〉

## 参考文献

(1) ナショナル・セミコンダクタ、LM385 データシート。

(トランジスタ技術 1990年10月号)

〈図11〉ブリッジ電圧を差動で受けた回路



ブリッジ電源はグラウンドが独立。  
(絶縁された電源で電源を供給する)

$R_X$  の変動が大きいと近似が成り立たなくなる

遠隔測定が可能で直線性も優れた

## 抵抗-電圧変換回路

## 2SJ103, TL071, OP07

この回路は基準抵抗と被測定抵抗に等しい定電流を流し、その差から被測定抵抗と基準抵抗の差を求めようというものです。

図12において  $A_1$  と  $Tr_1$  および  $A_2$  と  $Tr_2$  はそれぞれ吐き出し型の定電流回路となっています。定電流値は、 $IN^+$  端子と  $+15V$  間の電圧を  $R_3$  あるいは  $R_4$  が割った値となります。これがそれぞれ  $I_{ref}$ 、 $I_{ref}'$  で、こ

の電流が被測定抵抗  $R_X$  と、基準抵抗  $R_3$  に流れることで、そこに電圧降下が生じます。この抵抗の電圧降下の差  $V$  は、

$$V = I_{ref} \cdot R_X - I_{ref}' \cdot R_3$$

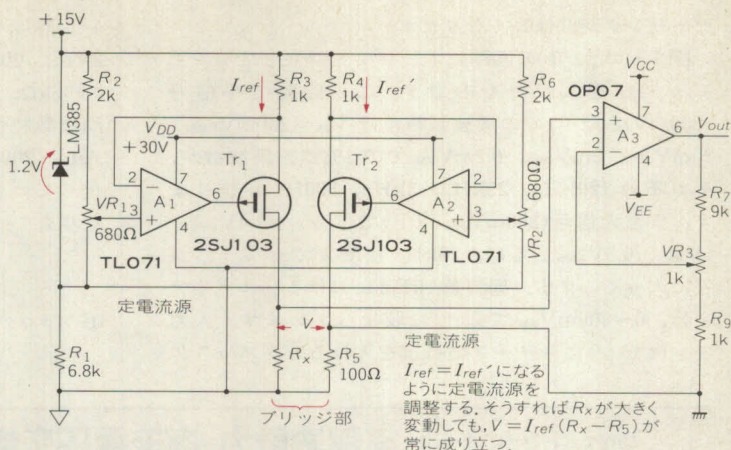
ですが、 $I_{ref} = I_{ref}'$ 、 $R_X = R_3 + \Delta R$  とすると、

$$V = I_{ref} \cdot \Delta R$$

となり、 $V$  は被測定抵抗と基準抵抗の差に比例する



〈図 12〉 定電流型抵抗-電圧変換回路



ことになります。

$VR_1$ ,  $VR_2$ で  $I_{ref}$ ,  $I_{ref}'$ が 1mA になるように調節し、 $VR_3$ で  $A_3$ の利得が 10 倍になるように設定すると、出力  $V_{out}$ は、

$$V_{out} = \frac{\Delta R}{100}$$

となります。

なおこのままでは  $A_1$ ,  $A_2$ 側と  $A_3$ 側で電源/GNDが独立に必要なってくるので、それを避けるためには  $A_3$ を差動で受けるようにします。また  $R_x$ は遠くに置いて、遠隔測定が可能です。〈宮崎 仁/更科 一〉

(トランジスタ技術 1990 年 10 月号)

専用 IC AD636 を用いて  
0.2V<sub>rms</sub>フルスケールの

## 実効値-直流電圧変換回路(RMS-DC コンバータ)

### AD636

AD636 を用いると、0.2V<sub>rms</sub>フルスケールの RMS-DC コンバータが簡単に実現できます。

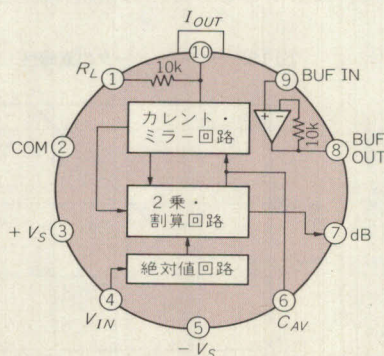
図 13 (a)がピン配置図です。4 ピンに加えられた入力信号は、絶対値回路で負側が折り返され、さらに 2 乗・割算回路で実効値に変換されます。出力は 10 ピンから電流出力(ソース方向)されますが、1 ピンを GND に落とすことにより電圧出力で取り出すことも可能です。

ただそのままでは出力インピーダンスが 10kΩ と高

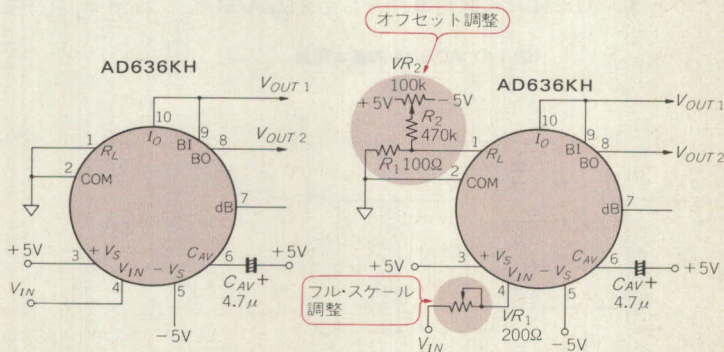
いので、10 ピンと 9 ピンを結んで内部のバッファを用いて、8 ピンより低インピーダンスで取り出すようにします。なお 4 ピンの入力インピーダンスは 6.7kΩ となっているので、入力信号は十分低インピーダンスである必要があります。

図 13 (b)が電圧出力として取り出すときの基本回路で、通常は低インピーダンス出力の  $V_{OUT2}$ を使います。 $C_{AV}$ は低周波域特性を決めるもので、 $C_{AV}$ が大きければ低周波域(100Hz 以下)の誤差が小さくなりますが、

〈図 13〉 AD636 による RMS-DC コンバータ



(a) ピン接続図 (キャンタイプ)



(b) 基本回路

(c) フルスケール調整とオフセット調整を付け加える



セトリング時間は長くなります。

図13(c)は、(b)の回路に**オフセット調整とフルスケール調整**を入れたものです。この回路で小信号( $200\text{mV}_{\text{RMS}}$ 以下)での周波数特性は  $V_{\text{IN}}=200\text{mV}_{\text{RMS}}$ ,  $20\text{mV}_{\text{RMS}}$ ,  $2\text{mV}_{\text{RMS}}$ ,  $0.2\text{mV}_{\text{RMS}}$ での1%誤差周波数が、それぞれ120kHz, 25kHz, 3kHz, 300Hzとなります。また大信号( $200\text{mV}_{\text{RMS}}$ 以上)では  $V_{\text{IN}}=1.4\text{V}_{\text{RMS}}$ ,  $1\text{V}_{\text{RMS}}$ ,  $0.5\text{V}_{\text{RMS}}$ ともに、70kHz程度まで **$\pm 0.2\%$ の誤差**に入っています。周波数1kHzにおけるリニアリティは、0~ $200\text{mV}_{\text{RMS}}$ で**0.1%**に収まっています。入力ピン(4ピン)にシリーズに抵抗を入れると、フルスケール感度を落とすことができます。フルスケールが  $2\text{V}_{\text{RMS}}$ ,  $20\text{V}_{\text{RMS}}$ ,  $200\text{V}_{\text{RMS}}$ になるときの抵抗値はそれぞれ  $58\text{k}\Omega$ ,  $630\text{k}\Omega$ ,  $6.5\text{M}\Omega$ となりました。このときの周波数特性は  $20\text{V}_{\text{RMS}}$ レンジまでほとんど変わりませんが、 $200\text{V}_{\text{RMS}}$ レンジでは、入力抵抗が大きいため悪化していき、10kHzを超えると急激に誤差が大きくなります。

〈松井邦彦/更科 一〉

#### ●参考文献●

(1) アナログ・デバイス・データブック。

(トランジスタ技術 1991年4月号)

## 200MHzまで実用になる 高周波電力-直流電圧変換回路(RF パワー・メータ)

### AD834

AD834はDC~500MHzで使用できる**高周波用乗算器IC**です。高周波での使用を考えて設計されているため、入力のフル・スケール・レンジが $\pm 1\text{V}$  ( $\pm 1.3\text{V}(\text{max})$ )と小さいので、低周波での応用ではかえって使いにくいようです。クリッピング・レベルが1.3Vなので、 **$1\text{V}_{\text{RMS}}$ までの入力電圧に対応**できます(ただしクリッピング・レベル以上は、特性は悪くなる)。

また、入力バイアス電流が $45\mu\text{A}$ 、出力が電流であることを考えても、AD834は**1MHz以上の高周波で活躍するIC**といえます。

#### ● AD834の基本的な使い方

図14に基本回路を示します。AD834の出力電流  $I_{\text{OUT}}$ は、

$$I_{\text{OUT}} = 4\text{mA} \cdot XY / (1\text{V})^2 \dots\dots\dots(1)$$

で示されます。

したがって、XとY入力に1Vを入力すると、出力には(1)式から4mAの電流が得られます。もちろん、電流を電圧に変換するには、図14のように抵抗をつなぎます。

このとき、AD834には同相電流として8.5mAが流

れていますから、 $R_1=R_2$ にしてこれをキャンセルします。

さて、抵抗  $R_1$ ,  $R_2$ を $50\Omega$ にすると、 $X=Y=1\text{V}$ のときの出力電圧  $V_{\text{OUT}}$ は、

$$V_{\text{OUT}} = 4\text{mA} (2 \cdot 50\Omega) = 0.4\text{V} \dots\dots\dots(2)$$

となります。

AD834のひずみ率は100MHz時に-50dB(Y入力)/-44dB(X入力)と小さい値です。またフィードスルーも小さくて、**100MHzでも-50dB程度**に収まっています。

#### ● RF パワー・メータ

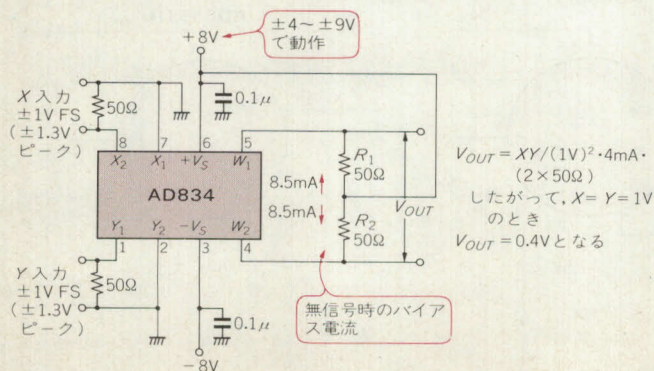
AD834を用いた**RF パワー・メータ**を図15に紹介します。AD834の位相誤差は5MHz時に $0.08^\circ$ 、50MHz時に $0.8^\circ$ ときわめて小さいので、高性能が期待できます。

**高周波でのパワーはターミネーション抵抗での電力値**で示します。ここでは $R_1=50\Omega$ にしています。したがって、 $V_{\text{IN}}=1\text{V}_{\text{RMS}}$ 入力時のパワー  $P$ は、

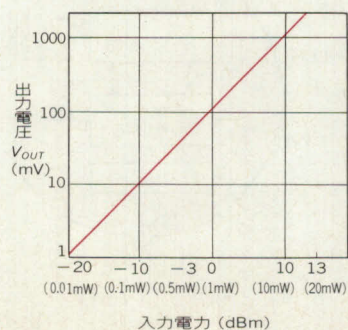
$$P = V_{\text{IN}}^2 / 50\Omega = 20\text{mW}$$

です。したがって、20mWのときに出力電圧  $V_{\text{OUT}}$ を

〈図14〉 AD834の基本回路

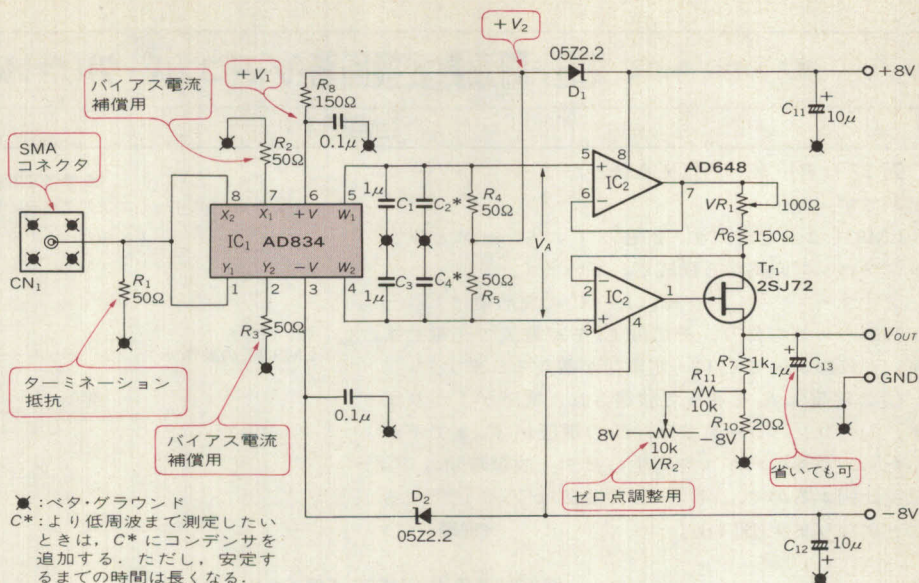


〈図16〉 パワー・メータの直線性 ( $f=50\text{MHz}$ )





〈図 15〉  
RF パワー・メータ  
回路



$2V_{DC}$ になるように  $IC_2$  のゲインを決めます。

AD834 の負荷抵抗  $R_4$  と  $R_5$  は  $50\Omega$  ですから, (2)式より  $1V_{RMS}$  入力時の AD834 の出力電圧  $V_A$  は  $0.4V$  です。

$C_1 \sim C_4$ はローパス・フィルタを形成しています。 $C_1 = C_2 = 1\mu\text{F}$ で100kHzくらいまで測定できますが、もっと低周波(たとえば10kHz)で使用するときは、 $10\mu\text{F}$ のタンタル・コンデンサを付けるとよいでしょう。

$V_A=0.4V$  のとき  $V_{out}=2V$  にしますから, IC<sub>2</sub>でのゲイン  $G$  は,  $G=5$  にします.

$$G = R_7 / (R_6 + VR_1) \dots\dots\dots (3)$$

ですから、 $VR_1$ によって  $G=4\sim 7$  まで調整ができます。

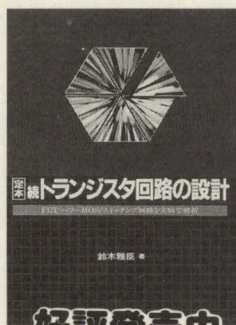
$VR_2$ はオフセット電圧調整用で、 $\pm V_s(R_{10}/R_{11})$ の調整範囲をもたせています。図の定数では $\pm 16\text{mV}$ です。

〈松井邦彦〉

〈松井邦彦〉

(トランジスタ技術 1991 年 4 月号)

回路技術のベースを固めたい人へ ..... 定本シリーズ



好評発売中

鈴木雅臣 著  
A5判 360頁  
定価 2,700円

## 定本 続トランジスタ回路の設計

## ●FET/パワーMOS/スイッチング回路を実験で解析

第1章：トランジスタとFETとICと 第2章：FET増幅回路を動かす 第3章：ソース接地増幅回路の設計 第4章：ソース・フォロワ回路の設計 第5章：FETオーディオ・パワー・アンプの設計・製作 第6章：ゲート接地増幅回路の設計 第7章：電流帰還型OPアンプの設計・製作 第8章：トランジスタ・スイッチング回路の設計 第9章：FETスイッチング回路の設計 第10章：パワーMOSを使ったモータ駆動回路 第11章：パワーMOSによるスイッチング電源の設計 第12章：トランジスタ・スイッチング電源の設計 第13章：アナログ・スイッチ回路の設計 第14章：発振回路の設計 第15章：FETワイヤレス・マイクをつくる

増幅回路以外にも広く使われているトランジスタ。さらにパワーMOS FETの台頭により応用分野が広がってきたFET。FET増幅回路の基礎実験からはじまり、スイッチング回路から発振回路までをやさしく実験で解説しています。

CQ出版社



# 高速・高精度が得られる 電圧-周波数変換回路(V-Fコンバータ) ( $f = V_{IN}$ (kHz))

## LM331

図 17 は専用 IC LM331 を使った V-F コンバータ回路です。

LM331 は、定電流源、2 組のコンパレータとフリップフロップ回路から構成されています。

タイマ・コンパレータは、 $R_T \cdot C_T$  の充放電により一定幅のパルスを作り、その間  $C_L$  を定電流で充電します。これによって  $C_L$  に一定電荷が蓄えられます。

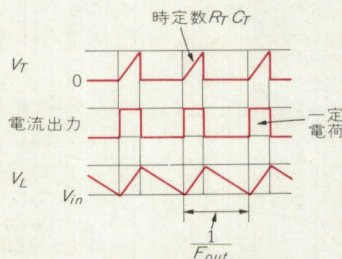
$C_L$  の電荷は  $R_L$  を通って放電され、電圧が下がります。入力コンパレータでは、 $C_L$  の電圧が  $V_{in}$  まで下がったら、つぎのパルスを発生します。放電時間は  $V_{in}$  に反比例するので、パルスの周波数は  $V_{in}$  に比例することになります(図 18)。

〈宮崎 仁〉

### 参考文献

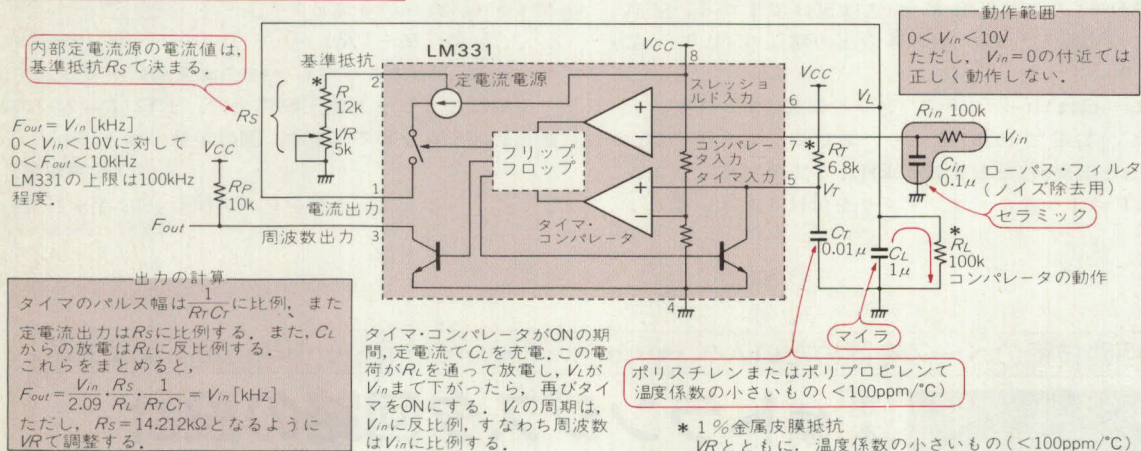
- (1) ナショナル・セミコンダクター、LM331 データシート  
(トランジスタ技術 1990 年 10 月号)

〈図 18〉  
LM331 の動作



〈図 17〉専用 IC LM331 を使った V-F コンバータ

この回路は  $C_L$  の放電が定電流でないため、 $V_L$  に非直線性がある。 $C_L$  の部分を OP アンプを用いて積分回路にすれば、さらに精度を上げることができる。



# 積分器とコンパレータを組み合わせた 電圧-周波数変換回路 V-Fコンバータ) ( $f = 50 \cdot V_{IN}$ (Hz))

## LM331

図 19 が積分器とコンパレータによる V-F コンバータ回路です。A<sub>1</sub> は積分器です。トランジスタが OFF のとき一定電流  $V_{in}/2R_1$  で充電され、トランジスタが ON になると同じ電流で放電されます(図 20)。

コンパレータ A<sub>2</sub> は、正帰還によって  $V^+$  と  $V^-$  の二つのスレッシュホールドをもちます。4050B は  $V^+$  と  $V^-$  の値を正確に設定するために必要なものです。積分電

圧が上昇して  $V^+$  に達したらトランジスタが ON になり、下降して  $V^-$  に達したらトランジスタは OFF になります。

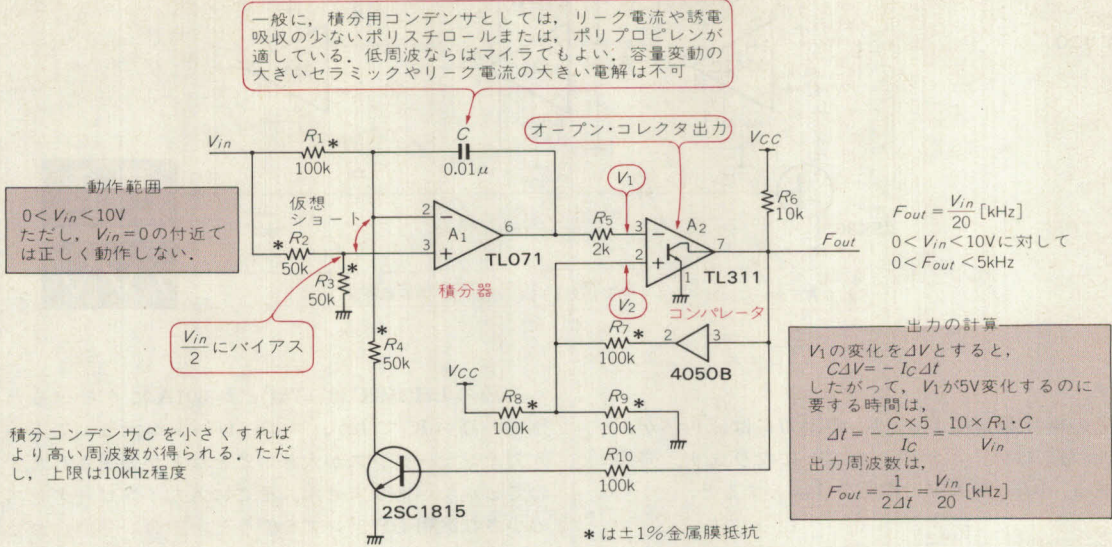
これによって、コンパレータ出力は、 $V_{in}$  に比例する周波数の方形波となります(図 21)。

〈宮崎 仁〉

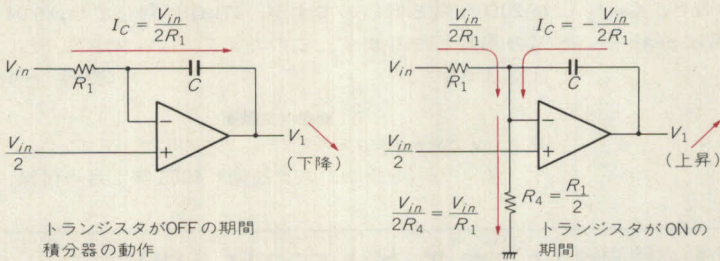
(トランジスタ技術 1990 年 10 月号)



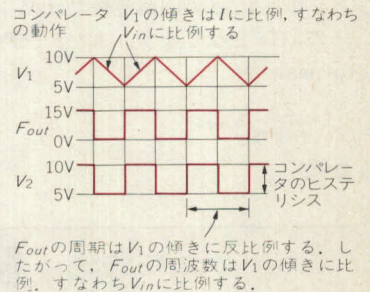
〈図 19〉 積分器とコンパレータによる V-F コンバータ回路



〈図 20〉 トランジスタ ON/OFF による積分器の動作の違い



〈図 21〉 各部の動作波形



三角波と方形波が得られる高精度

## 電圧-周波数変換回路 (V-F コンバータ) ( $f=7.5 \cdot V_{in}$ (kHz))

LH0042C, LM311

FET 入力 of OP アンプと、高速コンパレータの組み合わせで、精密な VCO が作れます (図 22)。入力の LH0042 は、ボルテージ・フォロワとインバータの切り替え器になっていて、次段の積分器に供給する絶対値が等しく、符号が反対で対の電圧を作ります。

2 段目は普通の積分器で、311 は正帰還をかけてコンパレータとフリップフロップを兼用しています。この回路では、3 桁程度の広範囲なコントロールが可能です。

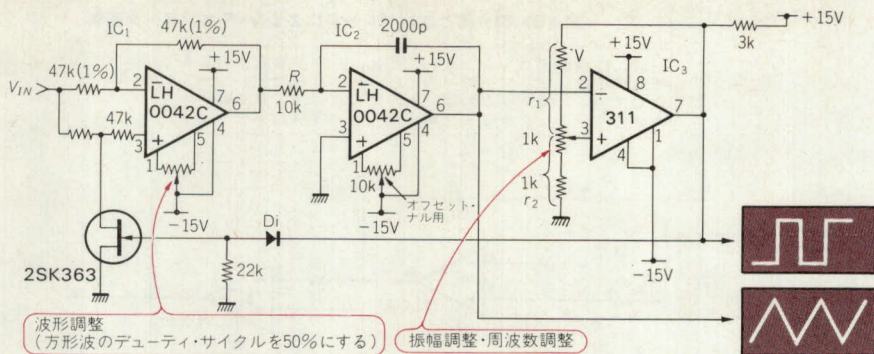
いま  $IC_3$  の出力が “H” レベルだとします。そうすると  $D_i$  は逆バイアスされるので、FET のゲートは GND レベルになり、FET は ON します。これによって  $IC_1$  の  $IN^+$  端子は GND に落ちるので、 $IC_1$  は利得 -1 の反転増幅器として働きます。入力に  $V_{in}$  が加えられているとすると、 $IC_1$  の出力は  $-V_{in}$  になり、 $IC_2$

でこれが積分されて、 $IC_2$  の出力は  $(V_{in}/CR)t$  となります。  $V_{in} > 0$  とすると、 $IC_2$  の出力は時間とともに直線的に上昇していくことになるわけです。そして  $IC_2$  の出力、すなわち  $IC_3$  の  $IN^-$  端子電圧が  $IN^+$  端子電圧よりも高くなると  $IC_3$  の出力は “L” レベルになります。

$IC_3$  の出力が “L” レベルになると、FET のゲートを負側にバイアスして、FET は OFF になります。そうすると  $IC_1$  の  $IN^+$  端子は  $V_{in}$  に等しくなるので、帰還抵抗に電流は流れなくなり、 $IC_1$  は利得 1 の非反転増幅器として働くようになります。そうすると  $IC_1$  の出力には  $V_{in}$  がそのまま現れ、 $IC_2$  の出力は  $-(V_{in}/CR)t$  となり、時間とともに直線的に下降していくことになります。そして  $IC_2$  の出力が  $IC_3$  の  $IN^-$  端子電圧よりも低くなると、 $IC_3$  の出力は “H” レベルにな



〈図 22〉  
精密な VCO



ります。

以上の繰り返しにより、IC<sub>2</sub>の出力には**三角波**が、IC<sub>3</sub>の出力には**方形波**が現れることになります。発振周波数は、IC<sub>3</sub>の最大出力電圧を  $V_{OM}$  とすると、

$$f_{osc} = \frac{V_{IN}}{4CR \cdot \frac{r_2}{r_1 + r_2} \cdot V_{OM}}$$

となります。この回路定数では  $V_{IN}=10V$  のとき、 $f_{osc}=75kHz$  となります。また、三角波の振幅は peak-to-peak で、

$$\frac{2r_2}{r_1 + r_2} V_{OM}$$

です。

初段の LH0042C は、741 とか 301A にくらべると価格の高い IC ですが、スルーレートが大きいこと、入力インピーダンスが大きいことなどが要求されますのでしかたがありません。そこに入力インピーダンスの小さな汎用 OP アンプを使うと、**正負の利得合わせがめんどろ**になります。

アナログ・スイッチに使用している 2SK363 は、 $R_{ON}$  が  $20\Omega$  程度と低いのですが、 $47k\Omega$  に対しては、0.04 % の誤差となります。このため、 **$R_{ON}$  の大きな FET は使えません。**

〈更科 一〉

●参考文献●

- (1) ナショナル・セミコンダクター、リニア IC データブック。  
(トランジスタ技術 1985 年 1 月号付録)

## タイマ IC 555 を用いた 電圧-周波数変換回路(V-Fコンバータ)( $f=800 \cdot V_{IN}(kHz)$ )

### NE555

タイマ IC 555 を用いると簡単に **V-F コンバータ** を作ることができますが、そのままではリニアリティがよくありません。そこで**電圧-電流変換回路**を組み合わせます。

回路図を図 23 に示します。回路の動作は、 $Tr_1$  が常に  $C$  の電荷を放電させる方向に一定電流を流し続けます。放電の結果、トリガの電位が  $V_{CC}/3$  以下になると出力が“H”になって、 $C$  が  $V_{CC}-0.6V$  までチャージされます。

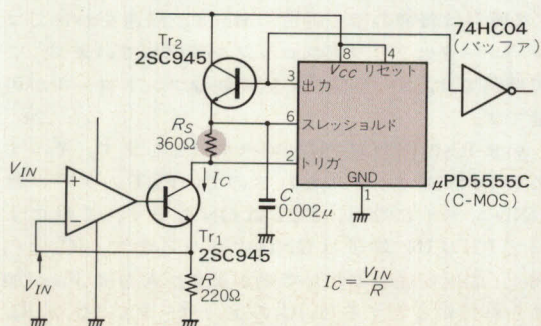
通常の動作ではスレッシュホールドの電位が  $(2/3)V_{CC}$  以上になると出力は“L”にもどりますが、 $C$  のチャージが短時間で行われるので、出力が“L”にもどる遅れ時間のうちに  $C$  はフルにチャージされます。ちなみに、この**遅れ時間**は内部のコンパレータとフリップフロップの遅れです。

出力が“L”にもどると、 $Tr_2$  のエミッター-ベース間は逆バイアスとなり、 $C$  は  $Tr_1$  のコレクタ電流  $I_C$  のみによって放電されます。 $Tr_2$  のエミッター-ベース間の耐

圧から、 $V_{CC}$  は 5.5V までに制限されます。

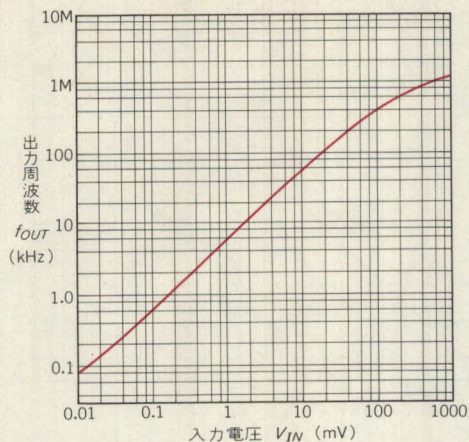
結局、 $C$  がチャージされてから  $V_{CC}/3$  まで放電されるまでの時間が  $Tr_1$  の  $I_C$  に逆比例するので、低電流域では  $I_C$  と周波数が比例するのです。式で表すと、

〈図 23〉 CMOS 555 の V-F 変換回路





〈図 24〉  $\mu$ PD5555C の特性  
[図 23 の回路  $R_s=0$ ,  $C=250\text{pF}$ ]



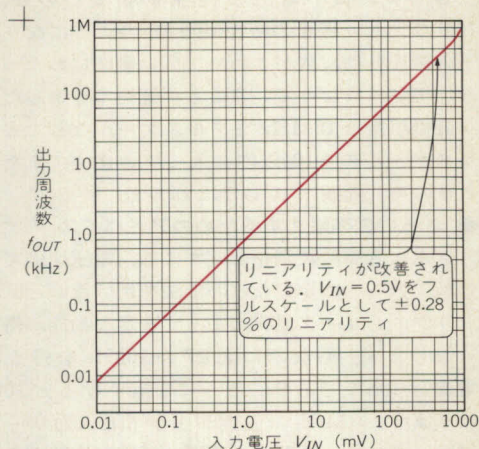
$$f = \frac{V_{IN}}{CR \left( \frac{2}{3} V_{CC} - V_{BE} \right)}$$

となり、図中の定数では  $f \approx 860 \times 10^3 \cdot V_{IN}$  となります。電流が大きくなって充放電の時間が近くなると、比例関係がくずれ、周波数はのび悩みます。

図 24 は図 23 の  $R_s=0$ ,  $C=250\text{pF}$  としたときの特性です。低電流側でも直線性が悪くなっているのは、 $\text{Tr}_1$  のコレクタシャ断電流  $I_{CBO}$  や  $h_{FE}$  の低下による誤差と、 $\text{Tr}_2$  のエミッターベース間逆バイアスのリーク電流、それにコンデンサ  $C$  自身のリーク電流などが合計されたものです。

図 23 の回路では、周波数ののび悩みを補正するために  $R_s$  を加え、 $C$  の値を 8 倍にして少し最高周波数

〈図 25〉  $\mu$ PD5555 の特性  
[図 23 の回路,  $R_s=360\Omega$ ,  $C=2000\text{pF}$ ]



を下げました。この結果、図 25 のようにリニアリティが改善されました。

これによれば、 $0.5\text{V}$  ( $340\text{kHz}$ ) をフルスケールとしたときに、フルスケールに対して  $\pm 0.28\%$  の直線誤差となっています。 $R_s$  を入れることによって、放電時間を  $R_s \cdot C$  (図の値では  $720\text{ns}$ ) だけ短縮して補正作用を行っていますが、この値は  $C=0$  としたときの発振周期に近いものになります。

また、この回路は  $V_{CC}$  の変動によって直接影響されます。電源電圧は基準電圧としての安定度が重要です。

〈中野正次〉

#### 参考文献

- (1) 中野正次, アナログ回路のグレードアップ技法, CQ 出版社.  
(トランジスタ技術 1988 年 3 月号)

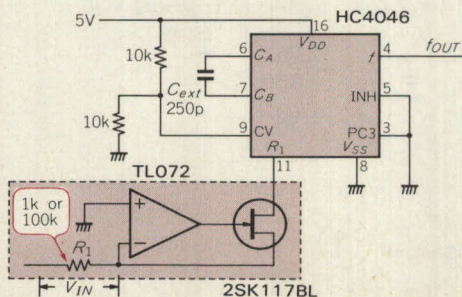
## 10<sup>5</sup>の周波数レンジが得られる 電圧-周波数変換回路(V-Fコンバータ)( $f=10 \cdot V_{IN}(\text{kHz})$ )

### 2SK117BL

74HC4046 を用いると、高周波の V-F コンバータが簡単に作れますが、そのままでは周波数レンジが狭く、直線性もよくありません。そこで OP アンプを使った電圧-電流変換回路を作って、この電流で発振周

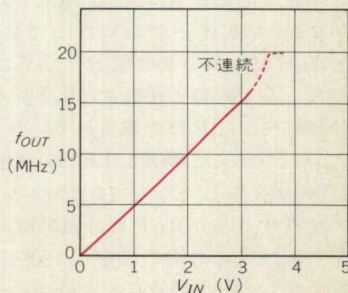
波数を制御するようにするとこの欠点をなくすることができます。

回路図を図 26 に示します。 $R_1$  の端子から流出する電流を FET と OP アンプを使って強制的に  $V_{IN}$  に比



〈図 26〉 ◀  
電流制御化した  
V-F コンバータ

〈図 27〉▶  
図 26 の特性  
(74HC4046 使用)





例させます。この回路の実測特性を図 27 に示します。

さらに、微小電流の特性を取るために、 $R_1$  を  $100\text{k}\Omega$  とした場合の特性が図 28 のようになり、 $R_1$  端子の電流と周波数がきわめて広い範囲にわたって、ほぼ**比例関係**になっていることが確認できました。

直線誤差は  $12\text{MHz}$  をフルスケールとしたとき、フルスケールの  $\pm 1\%$  以内に入っています。また、このときの**可変範囲は  $10^5$  以上**とれます。

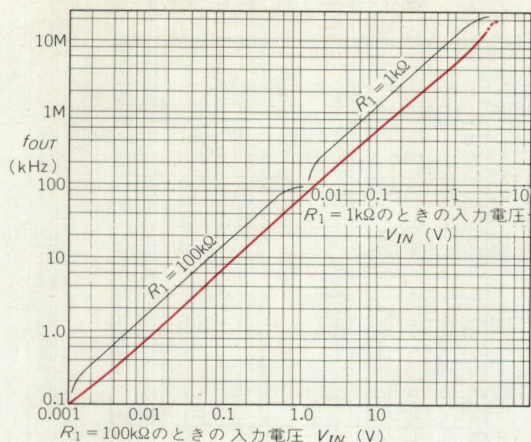
#### ● さらに広帯域化するためのアドバイス

さらに低周波数側をのばすには、電圧比例でなく、**対数入力→指数変換**などの手法を用いないとノイズやドリフト、リーク電流によって安定な動作が得られなくなります。ちなみに図 27 の  $100\text{Hz}$  を得るための電流は  $10\text{nA}$  であり、さらに 2 桁下げると  $100\text{pA}$  になります。**CMOS は温度が上がると入力リーク電流が増える**ので、高温での使用は低周波の特性を悪化させます。

全体の周波数を下げるには、単純に **C の値を大きく**すればよく、発振回路の遅れの影響が減少する分リニアリティが良くなります。逆に周波数を上げるために C の値を小さくしても、最高周波数はその割には上がりません。また、リニアリティも悪くなります。

たとえば、 $C=0$  にしても**最高周波数は  $38\text{MHz}$  程度**で、図 28 の ( $C=250\text{pF}$  のとき) 2 倍強ですが、C の比率は浮遊容量を  $5\text{pF}$  とすると  $1/25$  であり、全面的にのび悩んでいることがわかります。最高周波数が上がらなくても最低側は上がりますから、可変範囲も

〈図 28〉  $R_1$  を変えたときの図 14 の特性 (74HC4046 使用)



狭くなります。

以上のことから、広帯域 **V-F コンバータ**としてはリニアリティを多少犠牲にしても、 **$20\text{MHz}$  くらいまでが 74HC4046 のカバー範囲**といえそうです。

このような電流制御方式は、標準版 4046 にも同様に適用できますから、コストと性能によって選択できることになります。

〈中野正次〉

#### ● 参考文献 ●

- (1) 中野正次, アナログ回路のグレードアップ技法, CQ 出版社  
(トランジスタ技術 1988 年 3 月号)

スイッチ・キャパシタ・フィルタを使って  
リニアリティの優れた

## 電圧-周波数変換回路(V-Fコンバータ)( $f=10 \cdot V_{IN}(\text{kHz})$ )

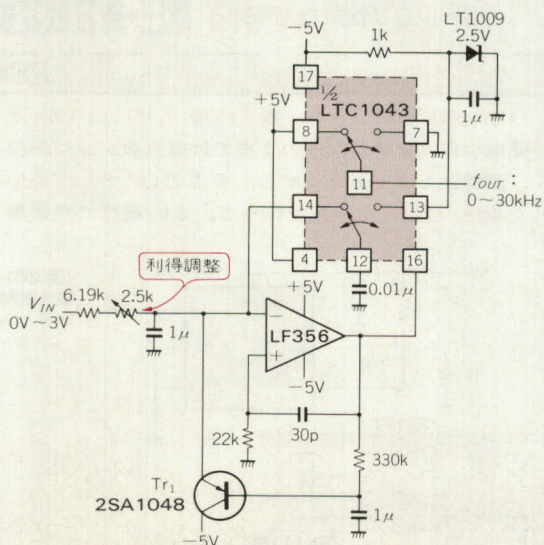
### LTC1043, LF356

OP アンプの反転回路の入力抵抗に相当するところ  
に、**スイッチト・キャパシタ・フィルタ (SCF)**を用いると **F-V コンバータ**ができますが、逆に帰還抵抗のところに SCF を用いると **V-F コンバータ**を作ることができます。

図 29 がその回路で、最初 LF356 の IN-端子が負であったとすると、その出力は正になっています。これが LTC1043 の 16 ピンに接続されていますが、16 ピンが正であると 12 ピンと 13 ピンがショートされていて 14 ピンがオープンになっています。そうすると  $0.01\mu\text{F}$  には負の基準電圧  $-2.5\text{V}$  が接続され、 $0.01\mu\text{F}$  はほとんど瞬時に充電されます。そうしているうちに IN-端子の  $1\mu\text{F}$  は充電されていき IN-端子が  $0\text{V}$  より大きくなった瞬間、LF356 の出力は負になり、LTC1043 の 12 ピンと 14 ピンがショートされます。

そうすると  $0.01\mu\text{F}$  には負の電荷が充電されているので、LF356 の IN-端子の  $1\mu\text{F}$  の電圧を負に押し下げます。以上の繰り返しで**発振が持続**されます。一方

〈図 29〉 V-F コンバータの回路





LTC1043 の 11, 7, 8 ピンのスイッチ状態は 12, 13, 14 ピンのスイッチングに同期しているので, 結局 11 ピンの出力には**入力電圧に比例した周波数**が現れることになります。

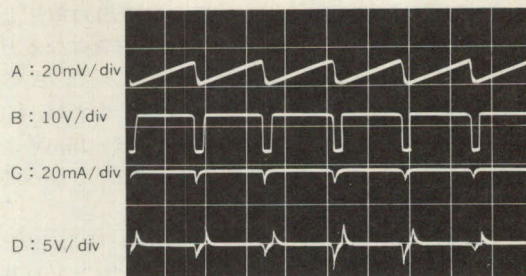
LF356 の出力から  $IN^-$  端子への  $30pF$  と  $22k\Omega$  による正帰還は, 出力が負になって  $IN^-$  端子を負に押し下げる動作を確実にするものです。これがないと,  $IN^-$  端子が完全に負にはならないうちに出力が正に戻ってしまい, **発振が持続しなくなる**可能性があります。

以上の動作を示した波形図が図 30 です。A は LF356 の  $IN^-$  端子電圧, B は LF356 の出力電圧, C は  $0.01\mu F$  に流れる電流, D は LF356 の  $IN^+$  端子電圧です。

$Tr_1$  は定常動作時は関係ありませんが, 電源投入時に立ち上がらないという現象を防ぐものです。仮に電源投入時, LF356 の  $IN^-$  端子が正だったとすると出力は負で, LTC1043 の 12 ピンと 14 ピンがショートされていて,  $Tr_1$  が無いといつまでたっても発振がスタートしません。このようなとき  $Tr_1$  があると, LF356 の  $IN^-$  端子を強制的に負にして, **発振スタート可能な状態とすることが**できます。

入力のゲイン調整用固定抵抗  $2.5k\Omega$  は,  $V_{IN}=3V$  を入力して  $f_{OUT}=30kHz$  になるようにします。これ

〈図 30〉 各部の波形



水平:  $20\mu s/div$

により,  $V_{IN}=0\sim 3V$  に対して  $f_{OUT}=30kHz$  が得られ, **リニアリティは  $0.005\%$  程度**となります。温度ドリフトは入力抵抗 ( $6.19k\Omega + 2.5k\Omega VR$ ) と  $0.01\mu F$ , および基準電圧に依存します。このため  $0.01\mu F$  には温度係数  $-120ppm/^{\circ}C$  のスチコンを使い,  $6.19k\Omega$  にはこれと反対の  $+120ppm/^{\circ}C$  の抵抗を用いるようにし, また基準電圧には温度係数  $15ppm/^{\circ}C$  の **LT1009** を用いています。

〈更科 一〉

#### 参考文献

(1) リニアテクノロジー, LTC1043 データシート。

(トランジスタ技術 1988 年 1 月号付録)

## 電圧と周波数が逆比例する 電圧-周波数変換回路(V-F コンバータ)

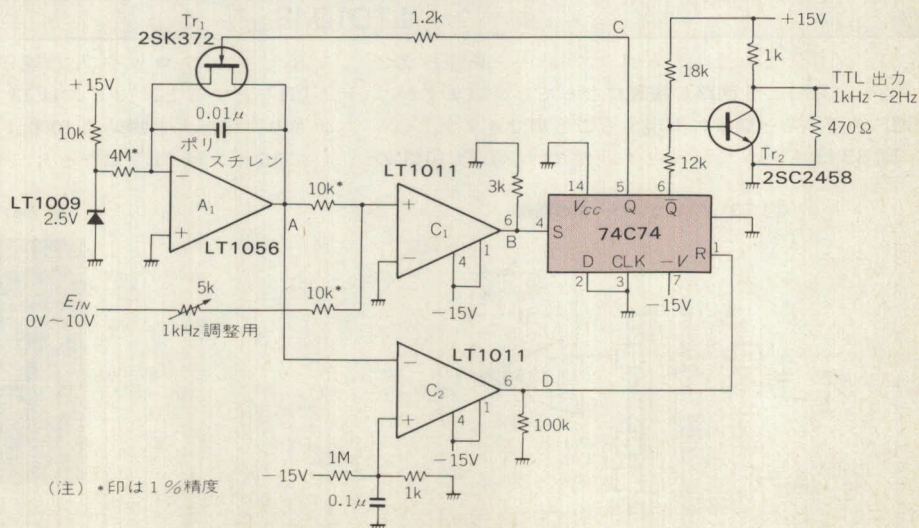
### LT1056, LT1011

通常 V-F コンバータというと, 電圧に対して周波数がリニアに変化するものですが, たとえばガス・センサや流量計など**電圧の逆数に対して周波数がリニアに変化**してほしいようなときもあります。本回路は,

$0\sim 10V$  の入力電圧に対して, 周波数が  $1kHz\sim 2Hz$  まで変化する V-F コンバータです。

本回路を図 31 に示します。A<sub>1</sub> は積分器で, LT1009 で作られた  $2.5V$  の基準電圧を積分し, A<sub>1</sub> の

〈図 31〉  
V-F コンバータの回路図





出力は時間とともに零電位から負の方向に大きくなっていきます。C<sub>1</sub>はコンパレータで、A<sub>1</sub>の出力電圧と入力電圧  $E_{IN}$  の合成で得られる IN<sup>+</sup>端子が負になると、出力は“L”になります。C<sub>2</sub>もコンパレータで、A<sub>1</sub>の出力と IN<sup>+</sup>端子電圧(=−15mV)を比較しますが、C<sub>1</sub>の IN<sup>+</sup>端子が負になるときは A<sub>1</sub>の出力は−15mV よりも低くなっているの、C<sub>2</sub>の出力は“H” となっています。

これより、74C74(DFF)のセット端子は“L”，リセット端子は“H” となるので、Q 出力は“H” となり、Tr<sub>1</sub>を ON させて 0.01μF の電荷を放電させます。これで A<sub>1</sub>の出力が−15mV よりも高くなると、C<sub>2</sub>の出力は“L” になります。しかし、このときすでに C<sub>1</sub>の出力は“H” になっているので、Q 出力は“L” となり FET を OFF させ、ふたたび A<sub>1</sub>は積分を開始します。以上の繰り返しで、この回路は発振を持続します。出力は 74C74 の  $\overline{Q}$  出力から取り出し、Q<sub>2</sub>で TTL レベルに変換して送り出しています。

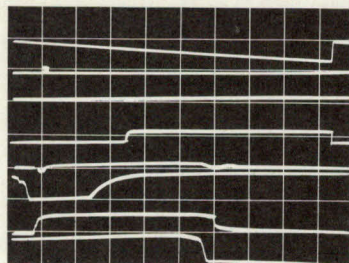
各部波形を図 32 に示します。A が A<sub>1</sub>出力、B が C<sub>1</sub>出力、C が 74C74 の Q 出力、D が C<sub>2</sub>出力で、E ~H はそれぞれ A~D の時間軸を 500 倍に拡大したものです。

ところで通常の V-F コンバータは、積分回路のスロープ(傾斜)を変えて発振周波数をコントロールするのがほとんどですが、本回路では積分回路のスロープは一定で、この積分回路出力と入力電圧の和を GND レベルと比較しており、たがいに極性が逆なので積分期間は入力電圧に比例することがわかります。

たとえば入力電圧  $E_{IN}$  のとき積分期間が  $T_1$  だった

〈図 32〉 各部の波形

A : 100mV/div  
B : 50V/div  
C : 50V/div  
D : 50V/div  
E : 100mV/div  
F : 20V/div  
G : 20V/div  
H : 20V/div



水平 A, B, C, D : 100μs/div  
水平 E, F, G, H : 200ns/div

として、入力電圧が 2 倍になると積分出力も 2 倍になる必要があるの、積分期間も 2 倍となり、周波数では 1/2 になることになります。すなわち入力電圧が 2 倍になったのに対して、出力周波数は 1/2 になったわけです。

調整は、入力電圧  $E_{IN}$  = 50mV を与え、このとき出力周波数が 1kHz になるように 5kΩ VR を回します。これで  $E_{IN}$  = 0~10V に対して、出力周波数は 1kHz ~2Hz が得られ、精度は 0.05%，温度特性は基準電圧 (LT1009)，\*印のついた抵抗の温度係数が十分に小さければ積分コンデンサ 0.01μF の温度係数が支配的になるので、ここにはスチコンを使うようにします。

〈更科 一〉

#### 参考文献

- (1) リニアテクノロジー，LT1011 データシート。  
(トランジスタ技術 1988 年 1 月号付録)

スイッチ・キャパシタ・フィルタ  
LTC1043 を使ったリニアリティの優れた

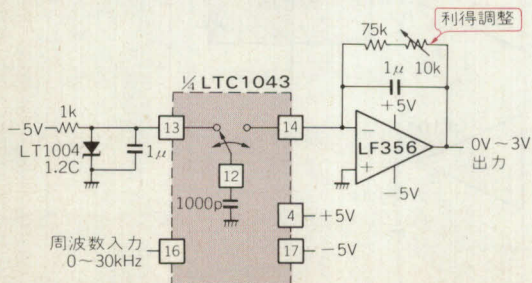
## 周波数-電圧変換回路(F-V コンバータ) ( $V = \frac{f_{IN}(\text{kHz})}{10}$ )

### LTC1043

リニアリティの優れた F-V コンバータを作ろうとすると、けっこう回路が複雑になってしまいますが、SCF を用いると簡単に実現することができます。

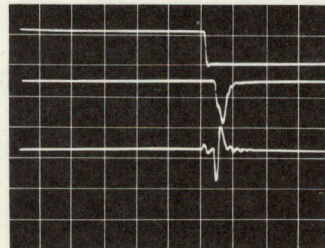
図 33 は F-V コンバータ回路です。LTC1043 の

〈図 33〉 F-V コンバータの回路



〈図 34〉 各部の波形

A : 10V/div  
B : 5mA/div  
C : 0.5V/div  
(AC 結合)



水平 : 50ns/div



で12ピンは14ピンとショートされ、1000pFの電荷は電流となって、すばやくLF356のフィードバック・ループにある1μFに流れます。その瞬間はこの電流によりLF356の出力は負になりますが、LF356の動作が追いつくと、**負帰還作用**でIN<sup>-</sup>端子が0Vになるまで出力は今度は正になります。

このようなすを表したのが図34で、Aが16ピンの電圧、Bが1000pFに流れる電流、CはLF356の出力です。ただしCのみACカップルした波形なので、DC成分は出ていません。以上の動作を繰り返すと、LF356の出力は**帰還コンデンサの1μFで平均化**され、LTC1043の16ピンに入力されるクロック周波数に比例した電圧となります。

LF356の帰還抵抗はDCゲインを決めるものです。クロックに30kHzを入力したとき、出力が正確に3Vになるように10kΩの半固定抵抗を調整すると、0

～30kHzの周波数に対して、0～3Vの出力電圧が得られることになり、**リニアリティは0.005%程度**が得られます。

温度ドリフトは1000pFのコンデンサと、LF356の帰還抵抗、および基準電圧(13ピン電圧)に依存します。そのため、1000pFには温度係数が-120ppm/°Cの**スチロール・コンデンサ**を使い、75kΩの抵抗には反対の温度係数+120ppm/°Cをもったものにします。また基準電圧を作り出すのには、**バンド・ギャップ基準電圧IC**(20ppm/°C)を用いています。

なお、入力周波数は、特にデューティ・サイクル=50%である必要はありませんが、充電の都合上、最小100nsのパルス幅が必要です。

〈更科 一〉

#### ●参考文献●

(1) リニアテクノロジー、LTC1043 データシート。

(トランジスタ技術 1988年1月号付録)

## 高速コンパレータを用いた ECL↔TTLレベル変換回路

### NE527N

**NE527**(シグネティックス)は15nsの高速コンパレータで、電源には正負の電圧を必要としますが、かならずしもバランスしている必要はありません。ただし負電源はグラウンドに対し、少なくとも**-6V以下**でなければなりません。

図35は**ECLレベル**のロジック回路と**TTLレベル**のロジック回路を結ぶためのインターフェースです。標準の**ECLロジック**の出力振幅は**-0.8Vから-1.8V**(室温)なので、ここでは電流電圧を負側にシフトしてそれに対応させています。

また逆にTTLレベルからECLレベルの変換を行

うのが図36です。

ここでは**高速スイッチング**のために、ECLロジックで要求されている値よりもわずかに出力電圧が低くなっています。そこで、 $R_2$ とダイオードによってゲート供給電圧と、出力電圧を**0.7Vシフト**させています。

また図37のような抵抗によるプル・アップの方法もありますが、この場合**スピードはやや遅く**なります。

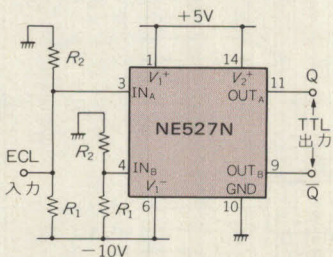
〈更科 一〉

#### ●参考文献●

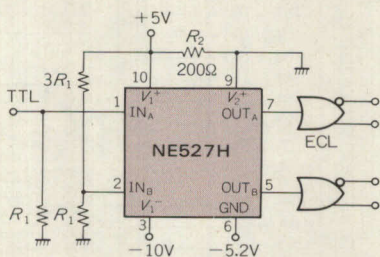
(1) フィリップス・シグネティックス、NE527H データシート

(トランジスタ技術 1988年1月号付録)

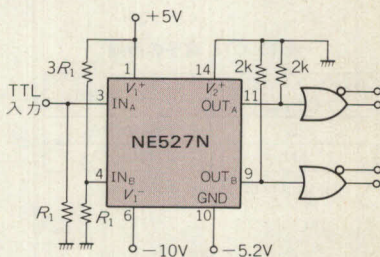
〈図35〉 ECL → TTL 変換



〈図36〉 TTL → ECL 変換



〈図37〉 TTL → ECL 変換



MB88331 を使って簡単にできる

## 20チャンネル 3V↔5V ロジック・レベル変換回路

### MB88371

電池動作の携帯用パソコンなどでは、動作時間を長くするために消費電力を少しでも減らす方向の回路設

計が要求されます。ロジック回路の電源電圧を5Vから3Vに下げると、消費電力はほぼ半減できます。



しかし、既存の周辺機器は5V電源(5V系)で動作するよう設計されており、なんらかのインターフェース回路が、3V電源(3V系)と5V系の間で必要になります。

### ● MB88371の機能

今回紹介するMB88371(富士通)は、3V系ロジックと5V系ロジックの双方向インターフェース回路を20ch内蔵した、CMOSレベル・コンバータです。

図38にブロック図を示します。

8chのブロック2系統からなり、各ブロックを独立にコントロールすることができます。このため入出力関連のコントロールは、たとえば図39のように、5V系のCPUから3V系のメモリを使用する場合は、1個目の8chブロックでメモリのアドレス信号を、2個目の8chブロックでデータ信号を、残りの4chブロックをCE/OE/CSなどの制御信号に割り振って使用できます。また、CTL端子による信号方向は、表1のようになります。

5V系の端子には保護回路が付加しており、5V系と3V系の電源をまったく別々にON/OFFしてもICが破壊しないようになっています。

5V側の出力ドライブ能力はシンク電流=6mAと大

きく、セントロニクス・インターフェースではドライバを介することなく、ラインを直接駆動できます。

### ● アプリケーション

ノート・パソコンなどで、周辺ICを含めたCPUボードを3V動作させる場合の、プリンタ・インターフェースへの応用を考えてみました。

事実上、現在のプリンタはセントロニクス・インターフェースが標準で、プリンタ側には36ピン・コネクタが用意されています。

しかし、実際に必要なのは、DATA、STROBE、BUSY、ACKの4種類で、その他の信号線はプリンタ・メーカーによってさまざまのようです。

BUSY信号とACK信号は同じタイミングでアクティブとなるため、ACK信号を使用しなくてもハンドシェイクが行えます。また、たいていのプリンタのコネクタには+5Vを出力しているピンがあるので、ここから5V側の電源を供給することができます。

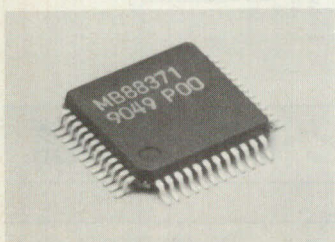
図40に回路例を示します。

5V系のシステムでは、CPUから8255Aを介して、セントロニクス・インターフェースのコネクタにつながります。しかし、3V系のCPUで同じことをする場合、8255Aは5Vでしか動作しないため、使用できま

〈表1〉CTL端子の機能

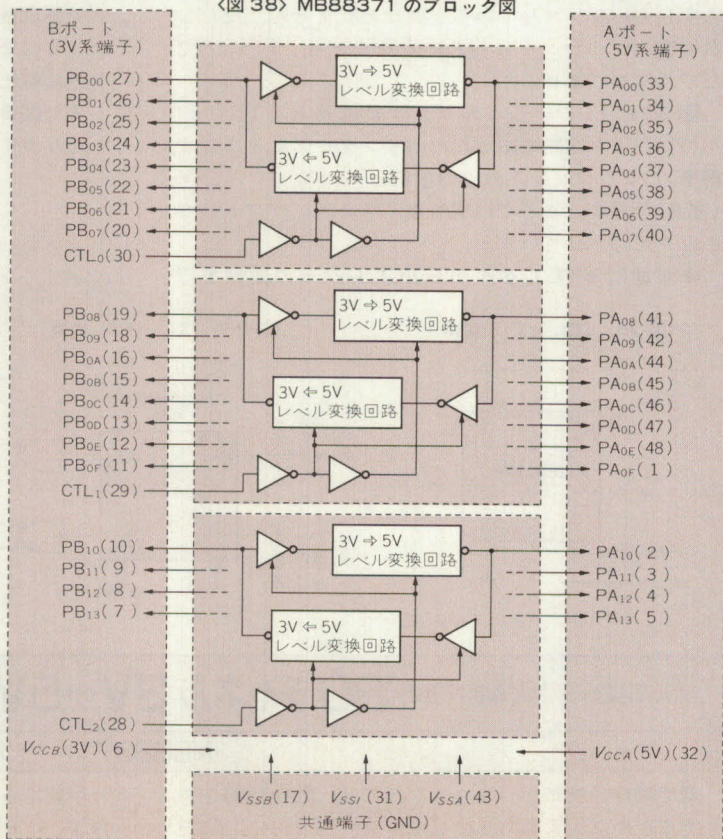
コントロール入力 CTL <sub>n</sub>	信号方向
L	PB <sub>n</sub> ⇔ PA <sub>n</sub>
H*	PB <sub>n</sub> ⇐ PA <sub>n</sub>

\* : Hレベルは  $V_{CCB} + 0.3V$  (max)



〈写真1〉MB88371の外観

〈図38〉MB88371のブロック図









# 知っておきたい OP アンプとアナログ・スイッチの型番

## ● 信号を増幅するには OP アンプ…2~3 品種知ってれば十分

デジタル IC の代表が TTL だとすれば、アナログ IC の代表は **OP アンプ** です。OP アンプの用途はというと信号を増幅すること、例えばマイクロフォンなどのセンサからの数 mV の信号を数 V オーダーに増幅したりするときに使います。

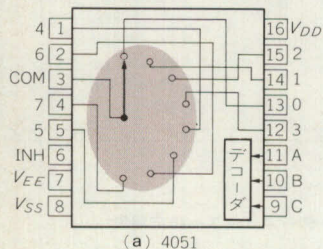
OP アンプはたんに信号を増幅するというだけでなく、多くの機能をもつデジタル IC などにくらべるとずっと少ない品種でよさそうなものですが、これまた **トランジスタ並みの多品種模様** です。何が

そんなに違うのかというと、増幅する際の忠実度の差がいろいろと多品種を生み出しているのです。でも、OP アンプもトランジスタと一緒に、特別なことをする気がなければ**代表的な何品種**さえ知ってれば困ることはありません。よく使われているものを表 1 に示しておきましょう。

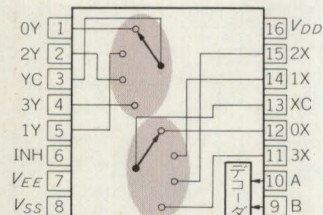
## ● よく使うアナログ・スイッチは CMOS と J-FET

アナログ・スイッチを使いやすさから選ぶと、CMOS の標準ロジック・シリーズから生まれた **4051, 4052, 4053** が代表的です。この構成を図 1 に示します。

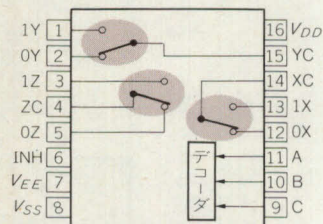
〈図 1〉 代表的なアナログ・スイッチ IC



(a) 4051



(b) 4052

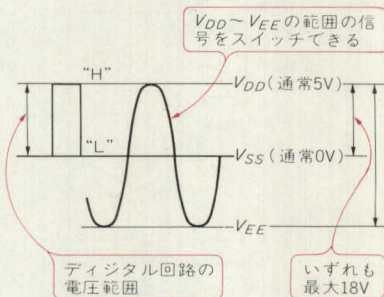


(c) 4053

制御入力				ONするチャネル		
A	B	C	INH	4051	4052	4053
L	L	L	L	0	0X, 0Y	0X, 0Y, 0Z
H	L	L	L	1	1X, 1Y	1X, 0Y, 0Z
L	H	L	L	2	2X, 2Y	0X, 1Y, 0Z
H	H	L	L	3	3X, 3Y	1X, 1Y, 0Z
L	L	H	L	4	—	0X, 0Y, 1Z
H	L	H	L	5	—	1X, 0Y, 1Z
L	H	H	L	6	—	0X, 1Y, 1Z
H	H	H	L	7	—	1X, 1Y, 1Z
* * * H				すべてOFFです		

△4052は除く  
\*H, Lに関係しない

(d) 動作真理値表



(e) 扱える信号範囲

これらのアナログ・スイッチは、ON/OFFを制御するデジタル信号を**コントロール端子**に加えれば、それによって ON/OFF (実際は数 100Ω のオン抵抗、数 MΩ のオフ抵抗)を行います。

「**CMOS のアナログ・スイッチは嫌いだ!**」という人もいます。そんな人は、悪戦苦闘しながら「これぞアナログ技術の粋」という感じで、カスタムな高性能アナログ・スイッチを作っています。これには、ごく普通の **J-FET** が使われています。国産では東芝が J-FET を頑張って作っているようです。表 2 に、**アナログ・スイッチ用 J-FET** の主なものを示します。

〈小林芳直〉

(トランジスタ技術 1989 年 5 月号)

〈表 2〉 アナログ・スイッチ用 J-FET の特性(東芝)

型名	$V_{GS}$	オン抵抗	入力容量
2SK362	-50V	80Ω	13pF
2SK363	-40V	20Ω	75pF
2SK364	-40V	50Ω	30pF

〈表 1〉 OP アンプもこのくらい知ってれば十分です

	TL081C	TL082C	TL084C	4558	OP07
特徴	FET 入力 1 回路	FET 入力 2 回路	FET 入力 4 回路	バイポーラ、低雑音 2 回路	低オフセット電圧
入力オフセット電圧	5mV	5mV	5mV	0.5mV	60μV
入力バイアス電流	30pA	30pA	30pA	40nA	2nA
ゲイン 1 になる周波数	3MHz	3MHz	3MHz	3MHz	0.6MHz
スルーレート	13V/μs	13V/μs	13V/μs	1.9V/μs	0.3V/μs

特性は typ 値を示してあります。ここに示した OP アンプは、もうかなり大量に使われているので低価格です。JFET 入力型を使っておけば、スピードも適度にあるし回路設計上の細かい注意点が、かなりクリアできます。



## 第4章 測定器回路

藤田 稔/坂本勝己/村上明久/鈴木憲次/富田豊文/恵比原信夫/宮崎 仁/更科 一/川越邦男

### 設定した抵抗値の範囲で ブザーが鳴る 抵抗値チェッカ

#### LM339

許容誤差 5 % の抵抗の中には、その抵抗値が表示値の本当に 5 % あるものから、1 % 以下しかないものまでが混じって販売されています。とくにアナログ回路では、しばしば**正確な値の抵抗**が必要になることがあります。そのような場合にはデジタル抵抗計などで測定し、選別しなくてはなりません。

ここで紹介する抵抗値チェッカは、**基準抵抗と比較**して測定抵抗が設定されている許容誤差内に入っていればブザー音がし、そうでないものはブザーが鳴らないというものです。

許容誤差範囲内は  $VR$  によって  $\pm 0 \% \sim \pm 5 \%$  まで任意に設定できますので、これにより一目ならぬ一耳で希望する抵抗の選別ができます。

#### ● 抵抗値チェッカの原理

図 1 に**抵抗値チェッカ**の全回路図を示します。電源は  $\pm 1.5V$  の単三電池で動作します。

図 1 でコンパレータ  $A_1$ 、 $A_2$  は  $V_C$  の電圧が  $V_L$ 、 $V_H$  の電圧の範囲内に入っていれば、出力が “H” レベル

となる**ウィンド・コンパレータ**です。出力が “H” レベルのとき、コンパレータ  $A_3$  は発振します。

このようすを実際に例を示して計算をしてみます。

まず、 $+1.5V$  電源  $V_C = 3V$ 、基準抵抗  $R_{REF} = 1000\Omega$  とします。そして、許容誤差可変  $VR$  を 5 % 側へ回し切った状態で  $V_L$ 、 $V_H$  の電圧はつぎのとおりです。

$$V_L = 1.462V \text{ (小数点 4 桁以下切り捨て)}$$

$$V_H = 1.537V$$

つぎに、 $R_x$  間に基準抵抗より **-5 % の誤差**をもつ  $950\Omega$  の抵抗を接続するとそのときに  $V_C$  の電圧は、

$$V_C = 1.461V$$

となり、同様に **+5 % の誤差**をもつ  $1050\Omega$  の抵抗を接続すると、

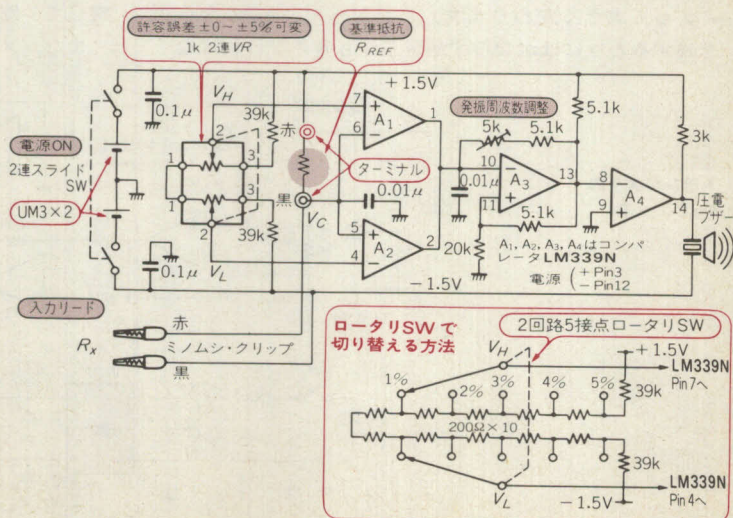
$$V_C = 1.536V$$

となります。いずれもわずかな差はありますが、十分な範囲内に入っていることがわかるといえます。

#### ● 製作のポイント

今回は試作ということもあり、許容誤差設定用に

〈図 1〉 抵抗値チェッカ全回路





1k $\Omega$ 2 連 VR を使用しましたが、多連の VR にはギャンギング・エラーといって相互間に抵抗値のばらつきがありますので、図 1 に示すように、200 $\Omega$  抵抗と 2 回路 5 接点ロータリ SW を使用した回路を用いたほうが、より実用的だと思います。2 連 VR を使用する場合は、たがいの抵抗値がそろったものを使用してください。また、許容誤差の目盛りは実際に測定して印を付けてください。

基準抵抗ターミナルはジョンソン・ターミナルなどよいと思います。R<sub>x</sub>入力リードには、ミノムシ・ク

リップを使用しましたが、大量の抵抗を選別する場合、もう少し速く接続のできるものがよいと思います。

アナログ回路では正確な値の抵抗が必要になると述べましたが、ここで使用している 39k $\Omega$  の抵抗 2 本も、抵抗値がそろっていないと困ります。 <藤田 稔>

#### 参考文献

(1) トランジスタ技術 SPECIAL No.12, 特集 入門ハードウェア手作り測定器のすすめ

(トランジスタ技術 1985 年 9 月号)

## 簡単な回路でできる $h_{FE}$ チェッカ

### TL084CN

小信号トランジスタで増幅回路を組む場合、 $h_{FE}$  を測定することにより最適のコンプリメンタリ・ペアを見つけることができると便利です。

そこで、 $h_{FE}$  のリニアリティのチェック ( $I_C$  の違いによる  $h_{FE}$  の変化) も可能なように、ベース電流の切り替え機能のある  $h_{FE}$  チェッカを紹介します。

#### ● $h_{FE}$ チェッカの原理

直流で測ったトランジスタのエミッタ接地電流増幅率、つまりコレクタ電流  $I_C$  をベース電流  $I_B$  で割った値 ( $I_C/I_B$ ) が  $h_{FE}$  です。

一般に、スイッチング用あるいはパワー用トランジスタは大電流で使うために、小信号用のパラメータだけでは設計できません。しかし、大きな電圧と電流で  $h_{FE}$  を測ろうとすると、そのバイアスによる電力で発熱してしまいますので、非常に短い時間だけ電流を流してパルス的に測ることになります。これがパルス  $h_{FE}$  です。

$h_{FE}$ 、パルス  $h_{FE}$  のいずれもバイアス、とくに電流によって大きく変わります。したがって、 $h_{FE}$  の大きさを論ずるときにはかならず測定条件も考えなければな

りません。

小電流で使うトランジスタの  $h_{FE}$  は、少ない電流で速く立ち上がり、大電流のところで低下してしまう傾向があるのに対し、大電流用のトランジスタは立ち上がりが遅い代わりに、大電流のところまで  $h_{FE}$  が低下しないように、リニアリティをよくするように設計されています。

#### ● $h_{FE}$ チェッカの回路

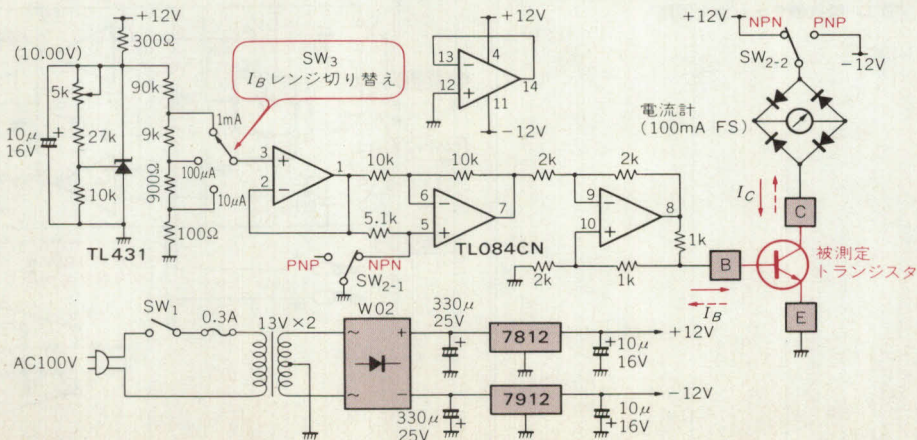
図 2 は本器の回路で、ベース電流として一定電流 (1mA, 100 $\mu$ A, 10 $\mu$ A) を流した状態でコレクタ電流を測定し、ベース電流で割って  $h_{FE}$  を求める方法のものです。

PNP と NPN の切り替えは、コレクタ電圧の極性を切り替えると同時に基準電圧の極性を反転させ、ベース電流の極性を反転させています。

コレクタ損失が大きくなるような測定の場合は、できるだけ短時間で済ませるようにしないと、最悪の場合、トランジスタを破壊する可能性もありますので注意してください。

また、メータ式の電流計のかわりに、デジタル・

図 2  
トランジスタの  
 $h_{FE}$  チェッカ





マルチメータの電流レンジを使用すれば、さらに便利  
なものとなるでしょう。

〈坂本勝己〉

#### ●参考文献●

(1) テキサス・インスツルメンツ、リニア・サーキット・データブ  
ック'90

(トランジスタ技術 1985年9月号)

## $V_{CE}$ と $I_C$ を測定できる $h_{FE}$ チェッカ

TL072, TL074, MC1494

最近のテストの中には、 $h_{FE}$ が測れるものもあるよ  
うですが、コレクタ電流などの測定条件を変えること  
はできません。 $h_{FE}$ はコレクタ-エミッタ間電圧(以下  
 $V_{CE}$ )やコレクタ電流(以下 $I_C$ )の関数であり、実際使  
用する条件で測定する必要があります。

そこで  $V_{CE}$ および  $I_C$ を単独で設定し、 $h_{FE}$ の値を直  
流電圧で出力する  $h_{FE}$ 測定ツールを考えてみました。  
 $I_C$ は1mA単位で1m~39mAまで、 $V_{CE}$ は1V単位で  
1m~19Vまでデジタル・スイッチで設定することが  
でき、 $h_{FE}$ の測定範囲は10~1000です。

### ● 本器の動作原理

トランジスタの  $h_{FE}$ を測るには、コレクタ電流  $I_C$ と  
ベース電流  $I_B$ をそれぞれ測定し、その比  $I_C/I_B$ を求め  
ればよいわけです。ある設定された  $I_C$ に対する  $h_{FE}$ を  
求める場合、必要な  $I_C$ が流れるようにベースに電流  
を流し、その電流  $I_B$ を設定した  $I_C$ で正規化します。  
そして、その逆数を求めれば  $h_{FE}$ が得られます。これ  
が本器の動作原理です。

図3がベース電流測定部の回路図です。 $I_C$ および  
 $V_{CE}$ を設定された値に一定に保ち、そのときの  $I_B$ を  $I_C$   
で正規化して電圧  $V_B$ として出力します。IC1-aは  $I_C$ を  
一定に保つための  $I_B$ コントロール回路で、IC1-bは  $V_{CE}$   
を一定に保つための回路です。

$R_1 \sim R_6$ は  $I_C$ 検出抵抗で、この端子電圧が一定にな  
るように、 $I_B$ 検出抵抗( $R_7 \sim R_{12}$ )を通してIC1-aより被

測定トランジスタに  $I_B$ を供給しています。 $S_{1-a} \sim S_{1-d}$   
は1mAの桁の電流を設定するデジタル・スイッチ  
で  $S_{2-a} \sim S_{2-d}$ で10mAの桁を設定します。表1に  
1mAの桁を設定する  $S_1$ の動作のようすを示します。  
4本の抵抗を適当に並列接続することにより、1m  
~9mAまで任意の電流を得ています。

$I_B$ はベースに直列に抵抗を入れ、その端子間電圧を  
測定すれば求められます。そして、この  $I_B$ 検出抵抗を、  
 $I_C$ に反比例して変えればその端子間電圧は  $I_C$ により正  
規化され、 $h_{FE}$ が変化しなければ  $I_C$ を変化させてもこ  
の端子間電圧は変化せず、 $h_{FE}$ に対応した値となりま  
す。このようすを図4に示します。

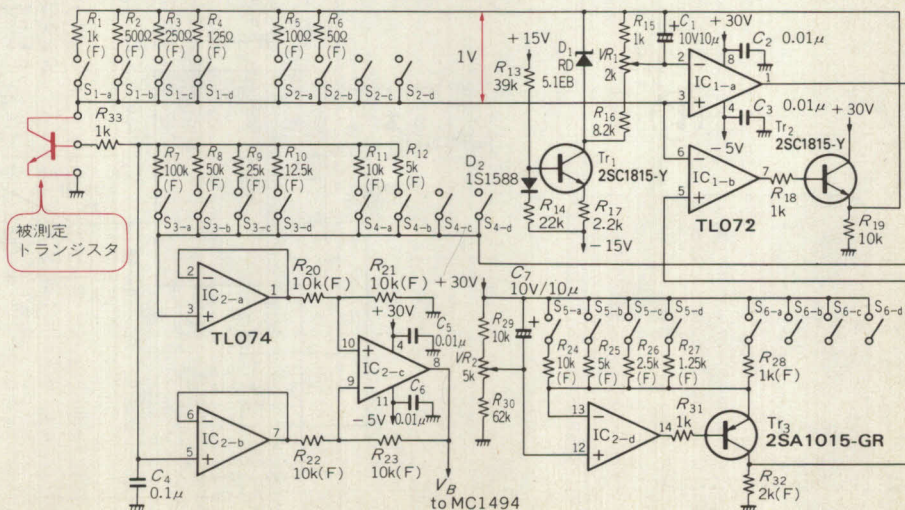
$R_7 \sim R_{12}$ が  $I_B$ 検出抵抗です。 $S_{3-a} \sim S_{3-d}$ および  $S_{4-a}$   
 $\sim S_{4-d}$ を  $I_C$ の設定に合わせて切り替えることにより、  
合成抵抗を変化させ、その端子間電圧を  $I_C$ で正規化  
しています。

$D_1$ は  $I_C$ を一定にするための基準電圧を作ります。 $D_1$   
のカソード電圧が  $V_{CE}$ の設定値により変化するので、  
 $Tr_1$ により定電流動作をさせています。

IC1-bは、被測定トランジスタのコレクタ電圧が、  
あらかじめ設定した  $V_{CE}$ と常に等しくなるように、前  
記  $I_C$ 設定回路の電源電圧をコントロールしています。

IC2-dは、この  $V_{CE}$ を設定するための回路です。定  
電流回路を構成し、 $R_{32}$ へ流す電流を変えることによ  
り所定の  $V_{CE}$ を得ています。

〈図3〉  
 $h_{FE}$ 測定ツールの  
測定部回路





$S_{5-a} \sim S_{5-d}$ が1Vの桁を、 $S_{6-a} \sim S_{6-d}$ が10Vの桁を設定するためのデジタル・スイッチです。この組み合わせにより  $R_{24} \sim R_{28}$ を適当に合成し、必要な電流を得ています。

$IC_{2-a} \sim IC_{2-c}$ は、 $I_B$ 検出抵抗の端子間電圧を、GNDからの電圧に変換するための差動増幅回路です。

この出力  $V_B$ は、 $I_C$ により正規化された  $I_B$ に対応した電圧で、この値の逆数が  $h_{FE}$ に対応します。本器では  $h_{FE}=100$  のとき、 $V_B=1V$  になるように設定しています。

図5は、 $V_B$ の逆数を得るための割算回路部の回路図です。 $IC_3$ は電流出力型のアナログ乗算器ですが、これを使って除算回路を構成しています。

入力電圧  $V_B$ と出力電圧  $V_{hFE}$ の関係を、 $V_{hFE}=1/V_B$  になるように定数を定めたので、 $V_B=1V$ 、つまり  $h_{FE}=100$  のとき出力電圧  $V_{hFE}$ は1Vになります。 $h_{FE}$ が10のときは  $V_{hFE}$ は0.1Vに、また  $h_{FE}$ が1000のときは10Vになります。

$IC_3$ の最大入力電圧は±11Vなので、過大入力が印加されないように  $D_3$ および  $D_4$ により保護しています。10ピン端子つまり  $V_B$ の最大値が11V、9ピン端子つまり  $-V_{hFE}$ が-11Vなので、本器の  $h_{FE}$ の測定範囲は約10～1000までとなります。

### ● 調整および使用部品

まず、 $I_C$ 定電流回路の調整です。 $VR_1$ により  $IC_{1-a}$ の反転入力端子2ピンと  $Tr_2$ のエミッタ間の電圧を1Vに合わせます。これにより、 $I_C=1/R_C$  ( $R_C$ ： $I_C$ 検出抵抗の合成値)となります。

つぎに、 $V_{CE}$ 設定回路です。 $VR_2$ により、 $IC_{2-d}$ の非反転入力端子12ピンと+30Vの間が5Vになるように調整します。これにより、 $V_{CE}=10/R_{VCE}$  ( $R_{VCE}$ ： $V_{CE}$

設定抵抗の合成値)となります。

割算器の調整は以下の手順で行います。

- ①  $R_{46}$ の  $VR_6$ 側をGNDに接続し、 $IC_3$ の10ピンに外部から直流分5.5V、振幅9V<sub>P-P</sub>の正弦波(1～10V)を入力する。出力に正弦波成分がなくなるように  $VR_5$ を調整する。
- ②  $R_{46}$ の  $VR_6$ 側をGNDにしたままで、10ピンに直流10Vを加える。出力が0Vになるように  $VR_3$ を調整する。
- ③  $R_{46}$ の  $VR_6$ 側と10ピンとを接続し、上記①と同様に正弦波を入力する。出力に正弦波成分がなくなるように  $VR_4$ を調整する。
- ④ 10ピンに直流0.1Vを加え、出力電圧が10Vになるように  $VR_6$ を調整する。

以上で調整は終了です。

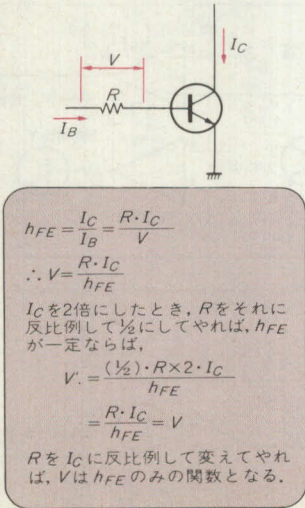
なお、 $S_1 \sim S_6$ はデジタル・スイッチで、0～9までの設定値に対して、4ビットの2進化された出力が得られるものです。

最後に測定範囲の拡大について考えます。本器は小

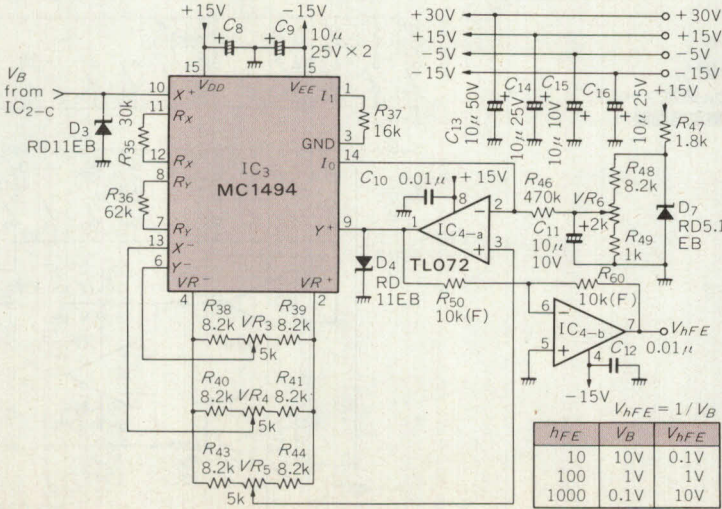
〈表1〉 デジタル・スイッチで抵抗を合成する

設定値	$S_{1-a} \sim S_{1-d}$ のON/OFF				合成抵抗 $R$	定電流出力 $I = \frac{1V}{R}$
	a	b	c	d		
	1kΩ	500Ω	250Ω	125Ω		
0	0	0	0	0	∞ [Ω]	0 [mA]
1	1	0	0	0	1000	1
2	0	1	0	0	500	2
3	1	1	0	0	333	3
4	0	0	1	0	250	4
5	1	0	1	0	200	5
6	0	1	1	0	167	6
7	1	1	1	0	143	7
8	0	0	0	1	125	8
9	1	0	0	1	111	9

〈図4〉 ベース抵抗をコレクタ電流で正規化する



〈図5〉 ベース電圧の逆数を得るための割算回路





$V_{CE}$ は19Vまでにしてありますが、これはOPアン

＜村上明久＞

(1) テキサス・インスツルメンツ, リニア・サーキット・データブック'90

非常に簡単な構成の **LDSS** チェツカ

〈鈴木憲次〉



# 1/fノイズの大きさを判定する OP アンプ・ノイズ・チェッカ

AD580, LF353

センサなどの微小信号を増幅する増幅器の初段に OP アンプを用いる場合は、低ドリフト、低ノイズのものが必要となります。

また、信号源が高インピーダンスですと、電流性のノイズ分が増加し、使用できる OP アンプはさらに制限を受けます。

オフセット・ドリフトは、ゼロ点補正回路など回路上の工夫により補正することもできますが、OP アンプの素子ノイズの低減は不可能です。

増幅器の出力に現れるノイズのうち、増幅器の一次遅れ時定数により高周波成分は除去されますが、低周波成分はそのままふらつきとして出力に現れます。そして、OP アンプのノイズは1/fノイズといって超低周波成分ほど大きいのでさらにやっかいです。

ノイズ量を保証した OP アンプも市販<sup>(2)</sup>されていますが高価です。バイポーラの高精度 OP アンプ(OP07 など)は電圧性ノイズは少なく個々のばらつきも小さいのですが、電流性ノイズは FET 入力に比較して 100~1000 倍と大きくなります。

信号源が高インピーダンスの場合は、FET 入力 OP アンプのほうが有利となりますし、高抵抗によるノイズも増大しますので、安価で標準的に使われてい

る Bi-FET (ナショナル・セミコンダクターの登録商標)の利用が考えられます(OP アンプによるノイズだけを抑えても全体のノイズ量は低下しない)。

Bi-FET のノイズ量はバイポーラに比較して、製造プロセス上のためか個々のばらつきが非常に目立ちますので、ノイズ選別がどうしても必要となります。

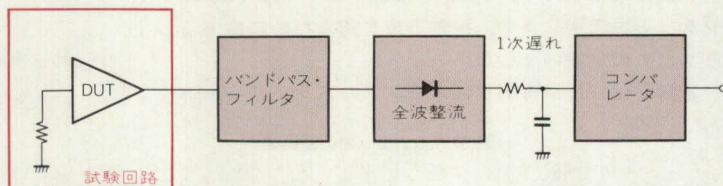
ノイズ選別で不良になった OP アンプは、素子のノイズ量が影響しない後段に使用します。購入した OP アンプはむだなく使用できますが、これも標準品をノイズ選別するメリットです。

## ● 本器の動作原理

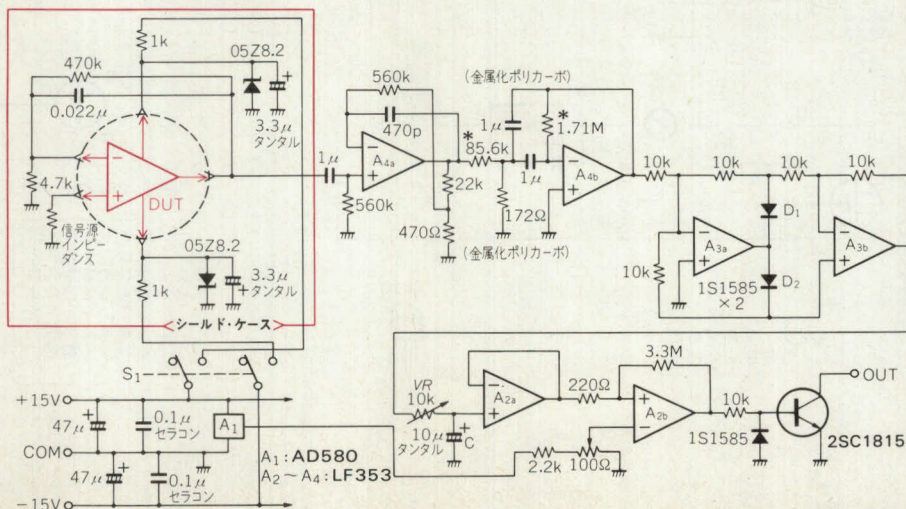
原理は簡単です。図 8 に原理図を示しますが、実際に試験回路で OP アンプを動作させ、注目している低周波成分だけバンドパス・フィルタで抽出し、全波整流して直流に変換します。これをコンパレータに入力し、設定電圧と比較することにより、ノイズ量を判定します。バンドパス・フィルタは増幅器の帯域と同一にしてもよいし、1~10Hz 範囲の周波数で Q を非常に高くしたものでも可能です。ノイズのスペクトラムで特定周波数が不連続になっているとは考えられないからです。

## ● 本器の回路構成と注意事項

〈図 8〉 ノイズ選別器のブロック図



〈図 9〉 OP アンプのノイズ選別回路





具体的なノイズ選別器の回路図を図9に示します。

OPアンプはできるだけ使用状態に近づけます。入力端子は信号源のインピーダンスに相当する抵抗器でグラウンドに落とします。また、外来ノイズの影響を受けないよう電源回路にフィルタを入れ、試験回路をシールド・ケースに入れます。

A<sub>4a</sub>, A<sub>4b</sub>のバンドパス・フィルタは中心周波数10Hzで、Qが50という特性となっています。\*印の付いた抵抗は精度を必要とするので、数個の抵抗器を組み合わせています。

A<sub>3a</sub>, A<sub>3b</sub>が全波整流回路です。A<sub>4b</sub>の出力が正のときは、D<sub>1</sub>=ON, D<sub>2</sub>=OFFとなり、負のときは逆にD<sub>1</sub>=OFF, D<sub>2</sub>=ONとなることにより、A<sub>3b</sub>が反転アンプあるいは非反転アンプとして働き、全波整流を行います。

A<sub>3b</sub>の出力に続くVRとCで平滑し、それをバッファA<sub>2a</sub>で受けて、コンパレータへと続きます。ここでA<sub>2a</sub>の出力はノイズに比例したDC電圧が現れるので、この電圧でノイズ・レベルの判定をすることもできま

す。

A<sub>2b</sub>はヒステリシス・コンパレータです。IN<sup>-</sup>端子で判定レベルを設定していますが、この電圧はフィルタの特性にも影響されますので、限度見本などを作って決定します。

また、判定するまでの時間は、OPアンプに通電投入後の過渡影響がなくなってから判定しなければなりません。S<sub>1</sub>に連動するタイマ回路を図9に加えて自動化を図ると、人間のミスによる誤判定もなくなると思われます。

OPアンプのなかには、通電後5分くらい経過してチップ温度が上昇するとノイズが増加するものがありますのでそれも考慮して判定時間を決定する必要があります。

〔富田豊文/更科 一〕

#### 参考文献

- (1) Donn Soderquist: Minimization of Noise in Operational Amplifier Applications, PMI, AN15.
- (2) パープラウン, OPA111 データ・シート, PDSJ-526B.

(トランジスタ技術 1985年9月号)

任意の波形のp-p値を直読できる

## ピーク-ピーク電圧チェッカ

TL071CP, LF356H, TL080CP, TL061CP

信号の振幅を図る場合、正弦波ならばミリバルや最近ではデジボルなどを使って行いますが、その他の波形に対しては一般的にオシロスコープが用いられています。

しかし、オシロスコープ上ではCRTの直線ひずみや輝線幅による読み取り誤差などがあり、測定精度は2%程度で、再現性もその程度です。

ここで紹介するのは、信号の波形に関係なくp-p振幅を直流に変換するツールです。これならばディジタル電圧計で読めますから、人によって測定値が違

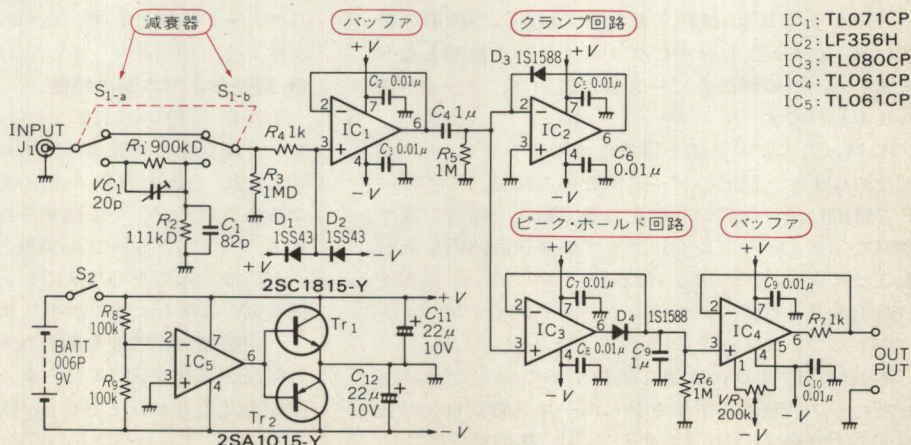
うということもなく、再現性は十分でしょう。

#### ● 本器の回路動作

図10が本器の回路図です。S<sub>1-a</sub>～S<sub>1-b</sub>は減衰器で、1/1と1/10の減衰比を切り替えます。1/1, 1/10ともに入力インピーダンスは1MΩにしています。IC<sub>1</sub>はゲインが1のバッファ・アンプです。D<sub>1</sub>, D<sub>2</sub>は過大入力時の入力保護用です。

IC<sub>2</sub>はクランプ動作をします。C<sub>4</sub>により直流分をカットします。IC<sub>2</sub>において、反転入力レベルが非反転入力よりも低く(GNDレベルよりもマイナスに)な

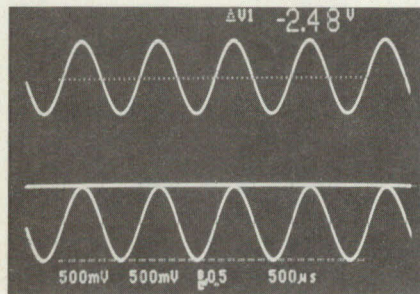
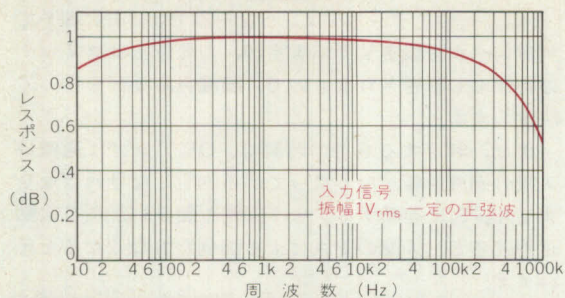
〔図10〕  
p-p値測定ツール  
回路



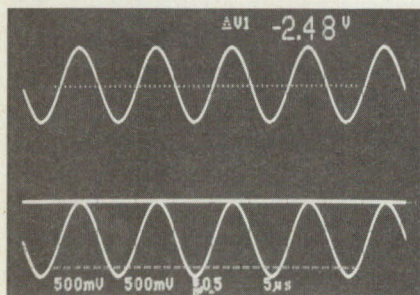
IC<sub>1</sub>: TL071CP  
IC<sub>2</sub>: LF356H  
IC<sub>3</sub>: TL080CP  
IC<sub>4</sub>: TL061CP  
IC<sub>5</sub>: TL061CP



〈図 11〉 周波数レスポンス



〈写真 1〉◀  
1kHzの正弦波入力に対する  
各部の波形



〈写真 2〉▶  
30Hzの正弦波入力に対する  
各部の波形

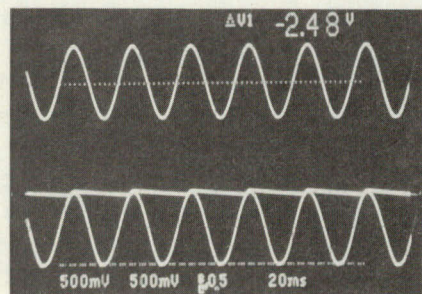
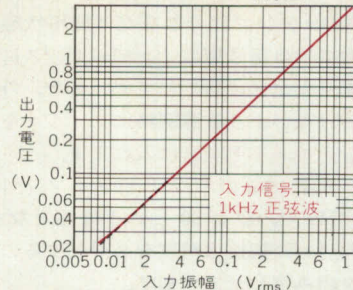
ろうとすると、出力より  $D_3$  を通して帰還がかかり、プラス側へ持ち上げようとします。その結果、入力波形の最低レベルが GND レベルよりも低くならないように動作します。つまり、入力波形の最低レベルが GND にクランプされるわけです。

このように  $IC_2$  の反転入力端子では、入力波形の最低レベルが GND レベルにクランプされた波形となりますから、この波形のピーク値を読めば、**p-p 値** が得られるわけです。

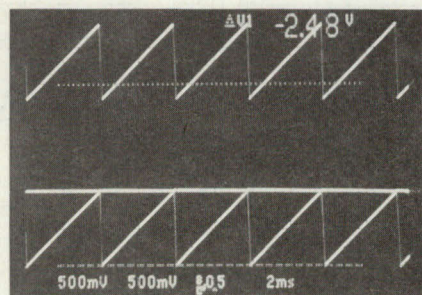
$IC_3$  は、このピーク値を得るための**ピーク・ホールド動作**をします。波形のピーク値を得るには、ダイオードで整流し、コンデンサでその最大電圧を保持します。本器ではダイオードを OP アンプの帰還回路内に入れることにより、**ダイオードの順方向電圧降下の影響を改善するとともに、コンデンサへの充電インピーダンスを下げています。**

本器は、信号の p-p 値を調整するためのツールとしたため、調整のしやすさからホールド時間は 1 秒程度とあまり長くしていません。 $C_9$  と  $R_6$  の時定数によ

〈図 12〉 リニアリティ特性



〈写真 3〉◀  
100kHzの正弦波入力に対する  
各部の波形



〈写真 4〉▶  
直流分を含んだ信号に対する  
各部の波形

りホールド時間を定めています。

$IC_4$  は**バッファ・アンプ**です。 $VR_1$  は**オフセット電圧調整用**で、系全体のオフセットをここで補正しています。

電源には 9V の 006P を使い、 $IC_5$  と  $Tr_1$ 、 $Tr_2$  により 9V を 2 分割にして、 $\pm 4.5V$  を各 IC に供給しています。

### ● 調整および本器の特性

調整は 1/10 の減衰器と出力のオフセットの 2 箇所です。減衰器の調整は、入力に 1kHz 程度の方波を加え、 $IC_1$  の出力波形にオーバシュートやダレがなくするように、 **$VC_1$  を調整**するだけです。これは、オシロスコープのプロブの調整と同じです。

$VR_1$  は、入力を GND にショートしたとき、出力電圧が 0V になるように調整します。

一定振幅の正弦波を周波数を変えて加えたときの出力電圧の変化を図 11 に、また 1kHz 正弦波を加え、振幅を変化させたときの出力電圧の変化を図 12 に示します。



低域での出力電圧の低下は、**クランプ回路およびピーク・ホールド回路の時定数**によるものです。また、高域の低下の原因は、クランプ回路の応答速度が追いつかないためです。このようすを**写真1～写真4**に示します。

**写真1**は**1kHz正弦波**を入力したときの**入力波形**（上の波形、破線はGNDレベル）、**IC<sub>2</sub>の反転入力端子波形**（クランプされた波形、破線はGNDレベル）および**出力波形**です。IC<sub>2</sub>の入力波形がGNDレベルにクランプされ、そのピーク電圧が出力されているようすがよくわかります。

**写真2**は**30Hz**の正弦波を入力したときの各部の波形です。出力に**リップル**が乗っているのがわかります。

**写真3**は**100kHz**の正弦波を入力したときの各部の波形です。クランプ回路が追いつかず、波形の最低レベルがGNDより低くなっています。

本器は**1kHz**前後の信号の調整用としましたが、より高い周波数領域で使用するならばIC<sub>2</sub>には、**LF357**

など高速なものを使用します。また、低い周波数領域を伸ばすならば、C<sub>4</sub>、R<sub>5</sub>およびC<sub>9</sub>、R<sub>6</sub>の時定数を大きくします。

**写真4**は、直流分を含んだの**こぎり波**を入力した場合の各部の波形です。直流分や波形に影響されずにp-p値が得られています。

**ダイナミック・レンジ**は大きいほうはOPアンプの最大出力振幅で、小さいほうはクランプ回路のオフセットなどで決まり、**40dB程度**とあまり広くありません。小レベルの信号の測定には、IC<sub>1</sub>にて信号を増幅すればよいでしょう。

また、リップル電圧など大きな直流電圧が重畳している場合には、入力にコンデンサを入れて**ACカップリング**にすればよいでしょう。

〈村上明久〉

#### 参考文献

- (1) テキサス・インスツルメンツ、リニア・サーキット・データブック'90

（トランジスタ技術 1985年9月号）

電池に負荷をかけずに測定が行える

## バッテリー内部抵抗測定器

8038, LF356, 4214

ICのCMOS化が進んでいる現在、電子機器の小型化、省エネルギー化と相まって、最近ではパソコン本体だけでなく、モータなどを駆動するプリンタにまで**電池**を電源とする携帯型が市販されるようになりました。

さて、そのような電池を主電源として使用する機器では、**電池の性能**が機器の性能や信頼性を大きく左右することもあります。とくに複数個の電池を組み合わせる場合、同一種類の同一メーカーの電池でも、製造時のロットの違いや保管方法の違いで電池のようなケミカル製品は**特性にばらつき**が出てしまいます。

電池の電圧なら3桁ぐらいのボルト・メータでの測定で十分ですが、それでは電池間にほとんど差がでできません。ほかに性能を調べる方法としては、**電池の内部抵抗を測る**方法があります。この内部抵抗は電池の種類や容量により、**数mΩから数10Ω**まであり、電池の放電可能な電流が大きいほど内部抵抗が小さく、放電していくにつれて充電時の2～3倍以上内部抵抗が増加します。

また、メーカーにより同じ種類の同容量の電池でも内部抵抗に差があり、このことから**異種メーカーの電池を組み合わせることは問題**です。そこで、電池本体に負荷をかけることなく、内部抵抗を測定できれば電池の選別の際に何かと便利だと思います。

### ● 電池の等価回路

電気化学の実験において、電解溶液中に置かれた二つの電極間の等価回路は図13(a)のようになります。

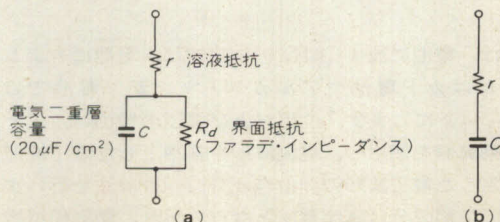
これは電池の場合も、**過渡応答時の電氣的等価回路**として一般に使われています。この図には電池の起電力を示す電圧源がありませんが、図13は**1kHz**の電圧あるいは電流を流したときの等価回路で、**溶液抵抗  $r$** が電池の内部抵抗と考えています。**電気二重層容量  $C$** は、電極と溶液との間に形成される容量で、一般に**20μF/cm<sup>2</sup>**ぐらいのオーダーです。界面抵抗  $R_d$ は周波数依存性のある**イオン抵抗**（ファラデ・インピーダンス）です。測定周波数**1kHz**においては **$R_d \gg 1/\omega C$** と考えられるので、図13(b)のようにさらに単純な等価回路と考えます。

### ● 内部抵抗の測定方法

図14に測定方法を示します。電池の両端に**1kHz**の定電流を流し、両極間の電圧を測定する**4端子法**を使い、電流波形と電圧波形の位相と電圧を測定することによって、電池の内部抵抗を計算します。

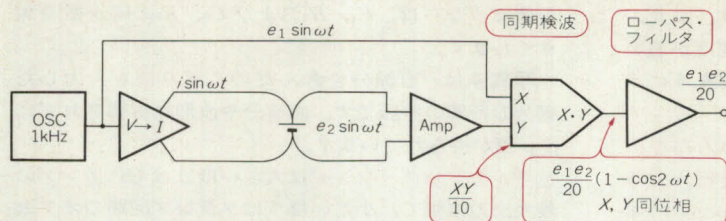
測定中に電池の特性や寿命に影響を与えずに測定す

〈図13〉電池の過渡応答時の等価回路





〈表 2〉 電池の内部抵抗の例



	単 1	単 3
アルカリ・マンガン	100～300mΩ	200～400mΩ
ニカド	≒6mΩ	≒10mΩ

は2倍の2kHzとなるのでローパス・フィルタを通します。このことによって、ローパス・フィルタの出力は、内部抵抗に比例した電圧の出力となっています。

### ● 回路の製作

図 15 が全回路です。正弦波の発振にはハリス社インターシルの 8038 を使って、1kHz で約 6V<sub>P-P</sub> の出力



を得ています。VR<sub>1</sub>で周波数、VR<sub>2</sub>でデューティ比が50%になるように調整してください。またVR<sub>3</sub>を調整することによって、波形ひずみが最小となるようにします。これは、オシロスコープによる目測でも1%以下のひずみにすることが可能です。VR<sub>4</sub>を調整してIC<sub>2</sub>の出力が2V<sub>P-P</sub>になるようにします。

交流定電流回路の精度は、電流検出用抵抗10Ωと電流-電圧変換回路IC<sub>4</sub>の周辺抵抗の精度で決まります。電圧検出部の増幅度は、S<sub>2a</sub>が短絡時にゲインが100倍になるようにVR<sub>5</sub>を調整します。また、VR<sub>6</sub>～VR<sub>10</sub>は、それぞれがS<sub>2b</sub>によってセレクトされたとき、それぞれ100、33.3、10、3.33、1倍になるように調整します。

S<sub>2</sub>を切り替えることにより、10mΩ、30mΩ、100mΩ、300mΩ、1Ω、3Ω、10Ω/Vの出力が測定出力端子に出力されます。S<sub>1</sub>とVR<sub>11</sub>は回路を組み込んだケース上に出します。S<sub>1</sub>は乗算器4214のゼロ調整用でVR<sub>11</sub>とともに、この回路を組み込むケースの前面パネル上に出します。測定する前に、そのつどゼロ調整をすることによって乗算器のオフセットの影響をなくします。このS<sub>1</sub>とVR<sub>11</sub>への配線は、シールド線を使用してください。

この内部抵抗計の精度はIC<sub>4</sub>、IC<sub>5</sub>、IC<sub>7</sub>、IC<sub>8</sub>の周辺抵抗の精度やVR<sub>1</sub>～11までの可変抵抗の調整で、2～3

%ぐらいまで上げることができます。それ以上の精度を要求する場合、それぞれのICの位相遅れを最小にしたり、乗算器や電流検出用抵抗に性能のよいものを使用すれば1%まで精度は上がるでしょう。

表2に電池の内部抵抗の代表値を示しておきました。ニカド電池がもっとも内部抵抗が低く、大電流出力用に向いていることがわかります。この電池も100%近く放電すると、内部抵抗は2～3倍上がります。

同じ種類の電池でもニカド電池ではメーカーが異なれば、50%ぐらいの差があります。電池を複数個組み合わせる場合、二次電池なら1回放電させて、放電容量のそろった電池の中から、さらに内部抵抗のそろった電池と組み合わせると信頼性が高い電源となります。乾電池のような一次電池なら放電させるわけにはいかないで、この内部抵抗計が生きてと思います。

〈恵比原信夫〉

#### ●参考文献●

- (1) 電気化学協会編、電気化学便覧、第4版、丸善。
- (2) 井上徹、相澤益男、藤嶋昭：電気化学測定法(上、下)、技報堂出版。
- (3) インターシル、アナログ・プロダクト総合カタログ、インターニックス(株)。
- (4) パーブラウン、プロダクト・データブック1985年、日本パーブラウン(株)。

(トランジスタ技術 1985年9月号)

## 高精度で温度範囲の広い 温度測定回路(温度-電圧コンバータ)

### OP07

測温抵抗体の出力は抵抗値です。

したがって、抵抗-電圧変換で電圧値に変換し、それを増幅します(図16)。

測温抵抗体の場合、導線抵抗が問題になります。測定抵抗体は一般に0°Cで100Ωと、比較的低い抵抗値です。そのため、補償抵抗を用いたり、3線式配線にするなどの導線補償が必要な場合があります。

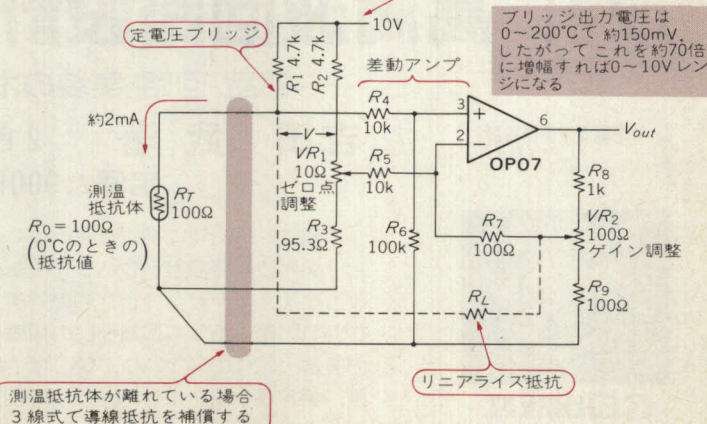
また測温抵抗体は、100°Cにつき約0.4%の非直線性があります。他の温度センサにくらべれば、直線性は良好ですが、やはりリニアライズが必要な場合もあります。

〈宮崎 仁〉

(トランジスタ技術 1990年10月号)

〈図16〉 測温抵抗体を使った温度測定回路

測温抵抗体の温度-抵抗特性は規格としては1°Cごとの抵抗値が表にまとめられている。近似的には、次の近似式で求めることができる。  
 $R_t/R_0 = a + bt + ct^2 + dt^3$   
 $R_t$ :  $t$ °Cでの抵抗値、 $R_0$ : 0°Cでの抵抗値=100Ω  
 $a=1$ ,  $b=3.97497 \times 10^{-3}$ ,  $c=5.89736 \times 10^{-7}$   
 $d=8.28362 \times 10^{-15}$   
 ただし、これは0°C～630°Cでの近似式である。  
 $t < 0$ °Cのときは違う式になる。





熱電対は2種類の金属線の一端を接続したものです。接続端を**測温接点**、開放端を**基準接点**(冷接点)と呼びます。測温接点と基準接点の温度差に比例した熱起電力を発生するので、それを増幅します(図17)。

センサ自体が電圧出力なので、たんに電圧増幅すればよいわけですが、いくつか問題があります。

まず、熱起電力は温度差に比例するので、**基準接点の温度**を知る必要があります(**冷接点補償**)。一般には、基準接点温度を別のセンサで測定します。熱起電力は、

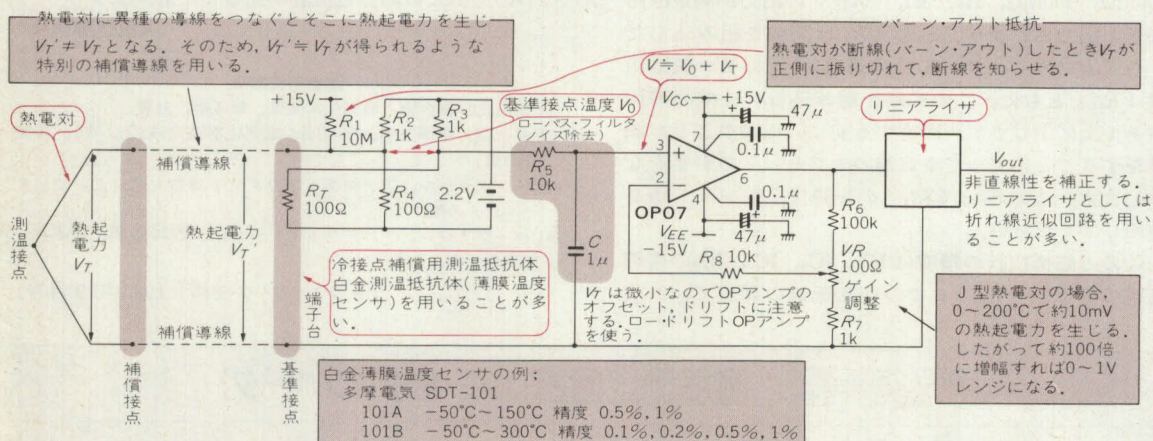
フルスケールでも **10~80mV 程度** という微小電圧です。したがって増幅には **高精度の OP アンプ** を用います。また、熱起電力は直線性が悪いので、何らかの **リニアライズ** が必要です。

離れた場所の温度を測定する場合に、熱電対に異種の導線を接続するとそこに熱起電力が発生します。そのため、熱電対と類似の温度特性をもつ補償導線を用いて接続します。

〈宮崎 仁〉

(トランジスタ技術 1990年10月号)

〈図 17〉 熱電対を使った温度測定回路



# 改訂 高周波回路設計ノウハウ

好評発売中

— 部品/回路/実装のポイント徹底説明 —

吉田 武 著 2色刷 A 5 判 304頁  
定価2,900円(税込)

本書は、1985年に初版を発行して以来、今日までロングセラーを博してきた「高周波回路設計ノウハウ」をもとに、最新の技術動向を考慮し、大幅に改訂を加え再デビューしたものです。

【内容】 第1章：高周波部品の知識と実装のノウハウ、第2章：高周波回路の実験・試作のノウハウ、第3章：高周波増幅回路、第4章：高周波発振回路、第5章：フィルタ／トラップ回路、第6章：各種高周波回路



CQ出版社

CQ出版社

トランジスタ技術  
SPECIAL



## IC 温度センサ LM35 を使った 温度測定回路(温度-電圧コンバータ)

### LM35

半導体の **PN 接合** は温度特性をもつことが知られています。たとえばトランジスタの  $V_{BE}$  と  $I_C$  の間には、

$$V_{BE} = \frac{kT}{q} \ln\left(\frac{I_C}{I_{CBO}}\right)$$

ただし、

$k$ : ボルツマン定数

$q$ : 電子の電荷の絶対値

$T$ : 絶対温度

なる関係があります。

この式に含まれる  $\ln$  の項を利用すれば**対数変換回**

路になり、逆に  $T$  のほうを利用すれば、**温度センサ** になります。

図 18 に示すのが **IC 化温度センサ** の一例である **LM35** (ナショナル・セミコンダクター) です。

図 19 は LM35 を使った温度測定回路の一例です。

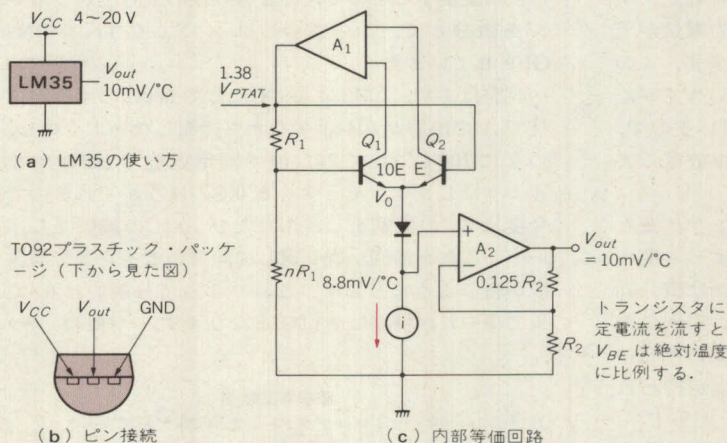
〈宮崎 仁〉

#### 参考文献

(1) ナショナル・セミコンダクター、LM35 データシート

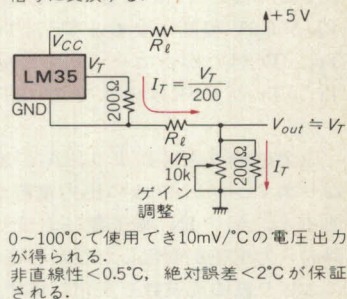
(トランジスタ技術 1990 年 10 月号)

〈図 18〉 IC 化温度センサ LM35



〈図 19〉 LM35 を使った温度測定回路

遠隔測定の場合電圧信号のままだと導線抵抗で誤差を生じるので、いったん電流信号に変換する。



## IC 温度センサ LM334 を用いた 温度測定回路(温度-周波数コンバータ)

### LT1056, LM329

**LM334** は 3 端子型の電流出力型の温度センサで、周囲温度 (実際はジャンクション温度) に対して出力電流がリニアに変化するものです。

外部抵抗により初期設定電流を  $2\mu\sim 5\text{mA}$  の範囲で自由に選ぶことができますが、精度を考慮すると  **$10\mu\sim 1\text{mA}$  程度**が無難です。この外部抵抗を  $R_{SET}$  とすると、 $25^\circ\text{C}$  における設定電流は、

$$I_{SET} = \frac{67.7\text{mV}}{R_{SET}}$$

で表されます。また、動作電圧範囲は  **$0.8\sim 40\text{V}$**  と広範囲ですが、動作電圧が高くなると自己発熱が増加するので、低めの電圧で使うようにします。

この LM334 を用いて **温度-周波数変換回路** を構成したのが図 20 です。LM334 に接続される  $137\Omega$  の抵抗が  $R_{SET}$  で、これにより  $25^\circ\text{C}$  における出力電流は

$494\mu\text{A}$  となっています。この  $137\Omega$  は基準となるので、極力温度係数の小さいものにする必要があります。

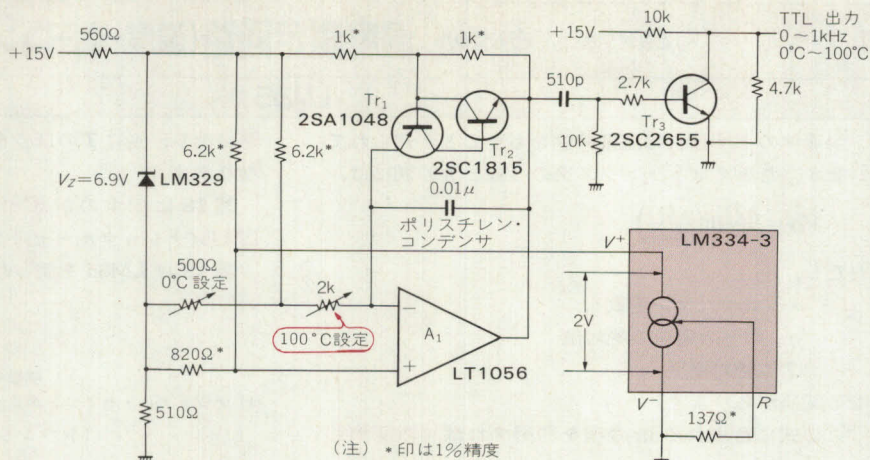
$A_1$  の  $\text{IN}^+$  端子電圧は LM329 を分圧して、その点に LM334 の温度依存性のある電流を接続して、下に引っ張っている電圧となります。具体的には約  $2\text{V}$  となっており、LM329 のアノードの電位よりも低くなっています。

これに対して  $\text{IN}^-$  端子側の  $6.2\text{k}\Omega$  と  $500\Omega$  半固定抵抗の接続点はこれよりも高い電位になっており、また  $\text{IN}^-$  端子に接続された  $2\text{k}\Omega$  半固定抵抗と  $0.01\mu\text{F}$  のコンデンサで**積分回路**が構成されています。このため  $0.01\mu\text{F}$  は負の方向に充電されていき、結局  $A_1$  の出力は時間とともに電位が低くなっていきます。

ここで、 $\text{Tr}_1$  のベースは  $A_1$  の出力と一定電位 (LM329 のカソード) を抵抗分割された点に接続され



〈図 20〉  
LM334 を用いた  
温度-周波数変換回路



(注) \*印は1%精度

ているため、エミッタは一定電位(A<sub>1</sub>のIN<sup>-</sup>端子、すなわちIN<sup>+</sup>端子に等しい)なので、A<sub>1</sub>の出力電位が下がってくるとTr<sub>1</sub>のV<sub>BE</sub>は大きくなってきます。このV<sub>BE</sub>が0.6V程度になるとTr<sub>1</sub>、Tr<sub>2</sub>はONしますが、Tr<sub>1</sub>、Tr<sub>2</sub>はたがいにサイリスタ接続されているので、Tr<sub>1</sub>、Tr<sub>2</sub>がOFFするまで0.01μFの電荷を放電します。

以上の繰り返しにより、A<sub>1</sub>の出力はのこぎり波となりますが、LM334の出力電流が温度によって変化すると、A<sub>1</sub>のIN<sup>+</sup>端子電圧も変化し、これは積分回路の入力電圧が変化したことと等しいので、結局こののこぎり波の周波数も変化します。この変動の割合は1:1で、これによって温度→周波数の変換が行われたこととなります。

さらに、Tr<sub>3</sub>はこののこぎり波をTTLレベルの方

形波に変換するもので、このぎり波の立ち上がりエッジを微分して、この微分パルスによりTr<sub>3</sub>をON/OFFしています。

調整はまず、LM334を0°Cにして500Ωの半固定抵抗でA<sub>1</sub>の出力が0Hz、すなわち発振しないようにし、つぎに100°Cにして2kΩの半固定抵抗で1kHzになるようにします。そうすると0°Cのほうはずれるので、今度は0°Cの調整をし、ふたたび100°Cの調整をし、……とこれを何回か繰り返して両方のポイントで周波数が合うようにします。これによって分解能は0.1°Cまで得られ、精度は±1.0°Cとなります。〈更科 一〉

#### 参考文献

- (1) ナショナル・セミコンダクター、LM329 データシート  
(トランジスタ技術 1988年1月号付録)

容量型温度センサと  
SCFを組み合わせた

## 湿度測定回路(湿度-電圧コンバータ)

LTC1043, LT1056

湿度を測定するには湿度センサを用いますが、湿度センサは通常湿度と容量がリニアな関係にあるため、これを扱いやすい電圧に変換するのはけっこう面倒です。ところが、SCF(スイッチト・キャパシタ・フィルタ)を用いると比較的簡単な構成でこれを実現することができます。ここで用いた湿度センサは、湿度76%のときの容量が500pFで、傾きが1.7pF/%のものです。これだと、湿度0%で容量は381pF、湿度100%で541pFになります。

本回路の原理図を図21に示します。これを見るとたんなる反転加算器になっていますが、抵抗R<sub>1</sub>~R<sub>3</sub>の部分にスイッチト・キャパシタを用いているのがポイントです。スイッチト・キャパシタの場合、等価抵抗はクロック周波数fとその容量Cの積の逆数、す

なわち1/fCとなります。したがって、各クロック周波数が等しくC<sub>1</sub>=C<sub>3</sub>とすると、出力電圧V<sub>0</sub>は、

$$V_0 = -V_1 + \frac{C_2}{C_3} V_2$$

となり、この式よりC<sub>2</sub>に湿度センサを用いるとV<sub>0</sub>はC<sub>2</sub>に対して単調増加関数となり、またV<sub>1</sub>を適当な値に設定することにより、湿度0%でC<sub>2</sub>がある値であっても、V<sub>0</sub>=0とすることができることがわかります。

実際の回路は図22のようになります。基準電圧はLT1009で作っており、これを分圧することによりV<sub>1</sub>に相当する電圧を作り出しています。また負電圧V<sub>2</sub>に相当する電圧を作り出しているのが、LTC1043Aです。これは7A-11A、12A-13Aの各ピンが接続状態のときに11A-12Aピン間の0.1μFが充電され、そ



れが8A-11A, 12A-14Aの各ピンが接続状態のときにこの電荷を8A-14Aピン間の0.1μFのコンデンサに移動させ、これによって負電圧を得ています。

$R_1 \sim R_3$ に相当するのが、それぞれLTC1043Bの7B, 8B, 11Bピンの部分, 12B, 13B, 14Bピンの部分, 2B, 5B, 6Bピンの部分で、 $C_1 \sim C_3$ は $C_1 = C_3 = 100\text{pF}$ ,  $C_2$ が湿度センサです。またクロックは同一パッケージなのですべて同じで、16ピンをオープンにした場合クロック周波数はおよそ150kHzとなります。

LTC1043Bの12Bピンと湿度センサの間に入っている1μFは、DCカット用です。また湿度センサと並列に入っている22MΩは電荷の蓄積をなくすものです。LT1056のIN-端子と出力の間に入っている0.1μFは積分効果をもたせるためのものです、これにより出力には安定した直流電圧が得られます。

調整は、湿度5%で出力が0.05Vになるように10kΩの半固定抵抗を、90%で0.9Vになるように500Ωの半固定抵抗を繰り返し合わせ込みます。これにより、湿度0~100%で出力電圧は0~1Vとなり、

精度は2% (湿度5~90%)以内のものが得られます。

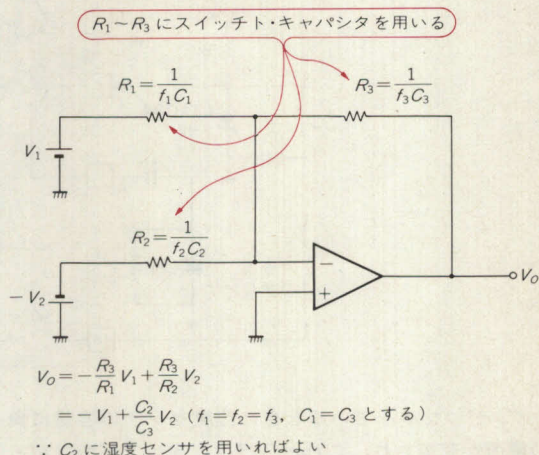
〈更科 一〉

#### 参考文献

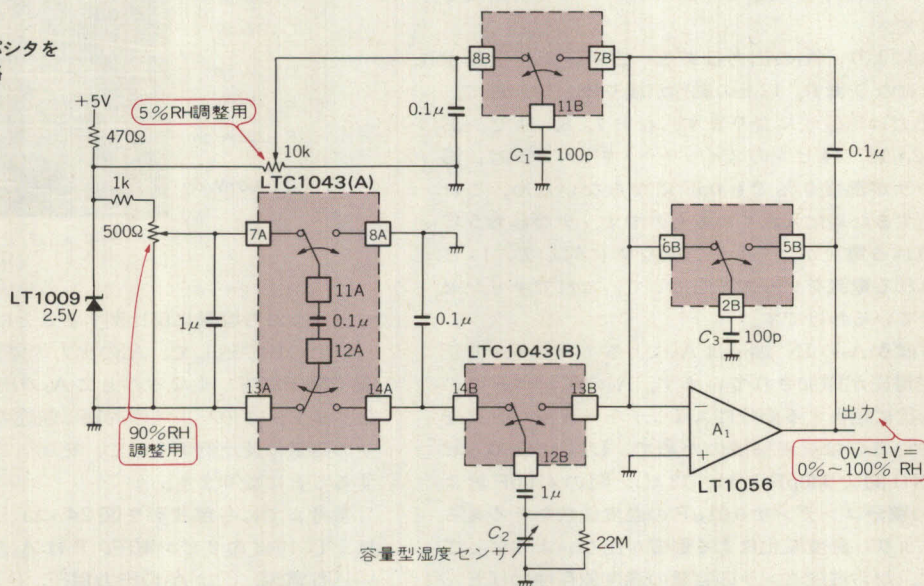
(1) リニアテクノロジー, リニアデータブック 1990

(トランジスタ技術 1988年1月号付録)

〈図21〉 湿度-電圧変換器の原理



〈図22〉  
スイッチ・キャパシタを用いた湿度測定回路



容量型湿度センサと  
SCFを組み合わせた

## 湿度測定回路(湿度-周波数コンバータ)

LTC1043, LT1004

ここでは湿度を電圧ではなく周波数に変換する回路を紹介します。湿度センサはここでも同じものを用い、湿度76%のときに容量が500pFで、湿度に対する容量変化率は+1.7pF/%です。

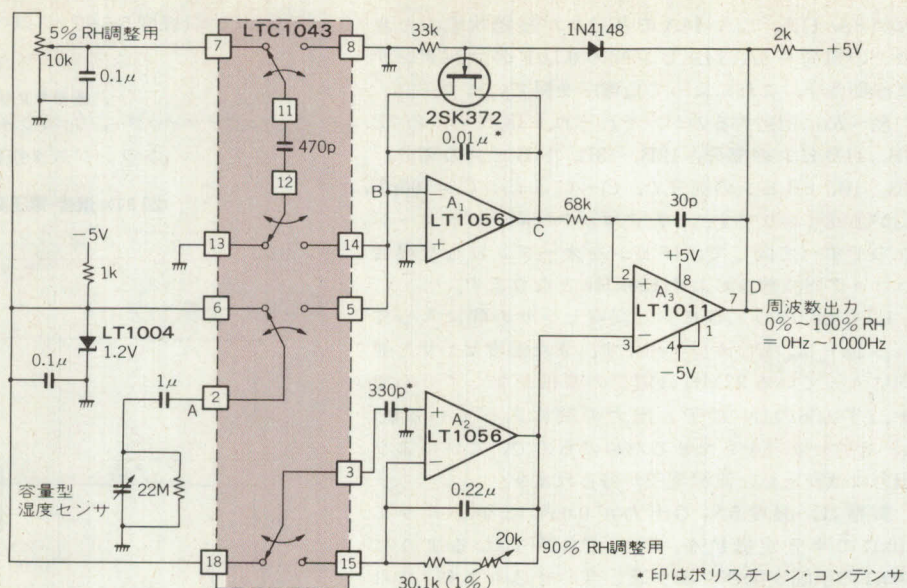
図23がその回路図で、基本的にはリセット型発振

回路になっています。A<sub>1</sub>は積分回路で、この積分電流が湿度に比例した電流になっています。A<sub>2</sub>は基準電圧発生回路、A<sub>3</sub>はコンパレータです。

LTC1043は16ピンをオープンにしておくと、約150kHzで内部クロック回路が発振します。2ピンと



〈図 23〉  
スイッチト・キャパシタを用いた湿度測定回路



6 ピンがつながっているときに湿度センサの容量に負の電荷が充電され、これが2 ピンと5 ピンがつながると A<sub>1</sub> の IN<sup>-</sup> 端子の仮想ゼロ点にシンク方向に電流を流します。

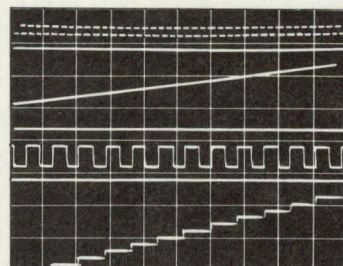
これにより、A<sub>1</sub> の出力はある一定電圧だけ上昇することになります。以上の動作が繰り返し行われて、A<sub>1</sub> の出力は階段波になります。なお7, 8, 11 ピンおよび12, 13, 14 ピンのスイッチト・キャパシタは、湿度センサが湿度0%でも0pFにならないため、これを補正するために入れているものです。すなわち5ピンに流れる電流が、シンク方向なのに対して、14ピンに流れる電流をソース方向にして、これでキャンセルさせているわけです。

いっぽう A<sub>3</sub> の IN<sup>-</sup> 端子は A<sub>2</sub> によるインバータで正の一定電圧が印加されています。A<sub>2</sub> のインバータの入力抵抗に相当する部分にスイッチト・キャパシタを用いているのは温度補償のためで、LTC1043 の3ピン-GND 間の330pF と11, 12 ピン間の470pF および A<sub>1</sub> の積分コンデンサ 0.01μF の温度係数をそろえることにより、温度変化による影響が出ないようにしています。なお湿度センサの容量の温度依存性はほとんどありません。

A<sub>3</sub> の IN<sup>-</sup> 端子は一定なので、A<sub>1</sub> の出力の階段波が IN<sup>-</sup> 端子の電圧以下では A<sub>3</sub> の出力は“L”です。それを超すと“H”になり、A<sub>1</sub> の積分のコンデンサに並列に入っている FET を ON させ、0.01μF の電荷を放電させます。初期状態から 0.01μF がリセットされるまでの時間は、階段波の1ステップ当たりの電圧増加の大きさに反比例します。このことは、1クロックで湿度センサに蓄えられる電荷に反比例することに等し

〈図 24〉 各部の波形

A : 5/div  
B : 20mA/div  
C : 2V/div  
D : 5V/div  
E : 2V/div  
F : 20mA/div  
G : 100mV/div



水平 A, B, C, D : 100μs/div  
水平 E, F, G : 10μs/div

く、すなわち容量に反比例することになります。

以上の繰り返しで、A<sub>1</sub> の出力の階段波が A<sub>3</sub> の IN<sup>-</sup> 端子電圧に等しくなるごとに A<sub>3</sub> の出力にパルスが発生します。このパルスの周期は前述のように湿度センサの容量に反比例するので、結局周波数は容量に比例することになります。

参考までに各部波形を図 24 に示しておきます。A は LTC1043 の2ピン電圧、B は A<sub>1</sub> の IN<sup>-</sup> 端子から吸い込む電流、C は A<sub>1</sub> の出力電圧、D は A<sub>3</sub> の出力電圧です。また E, F, G はそれぞれ A, B, C の時間軸を10倍に拡大したものです。

調整は、まず湿度を5%にして出力が50Hzになるように10kΩの半固定抵抗を調整します。つぎに湿度を90%にして出力が900Hzになるように20kΩの半固定抵抗を調整します。これを何回か繰り返して、両方の点で周波数が合うようにすれば調整は終了です。これにより、湿度0~100%に対して0~1000Hzの周波数が得られ、精度は2%程度となります。



もしも恒湿槽がない場合は、温度5%のときを379pF、90%のときを524pFの固定コンデンサで湿度センサを置き換えて調整してもかまいませんが、センサのばらつきが10%程度はあるので、これによる

誤差が生じてきます。

〈更科 一〉

●参考文献●

(1) リニア・テクノロジー、データブック 1990

(トランジスタ技術 1988年1月号付録)

## コンデンサの容量をデジタルで直読できる 0~0.2μF/0~20μF 容量計

4066, TL084

GICを用いて容量を抵抗に変換するアダプタを紹介しましょう。本アダプタは無調整で、簡易型の容量計としては十分な性能をもっているのです。作ってみる価値は十分あると思います。

図25にGICの原理図を示します。これからわかるように、合成抵抗 $R$ は、被測定容量 $C_x$ に比例するので、 $R$ をデジタルなどで読んでやれば、 $C_x$ の値がわかるわけです。

図25の合成インピーダンス $Z$ は

$$Z = R_1 \cdot \frac{(1/j\omega C_R)}{R_2} \cdot \frac{R_5}{(1/j\omega C_x)} \\ = R_1 \cdot \frac{R_5}{R_2} \cdot \frac{C_x}{C_R} = R \dots\dots\dots(1)$$

となり、抵抗値 $[R_1 \cdot (R_5/R_2) \cdot (C_x/C_R)]$ の抵抗 $R$ と等価になります。

### ● 0~0.22μF を測定する容量計

図26に0.2μFフル・スケール(分解能100pF)の容量計の回路図を示します。 $R_1=100k\Omega$ 、 $R_2=R_5=10k\Omega$ 、 $C_R=0.1\mu F$ としていますので、(1)式より合成抵抗 $R$ は、

$$R = 100 \cdot (C_x/0.1 \times 10^{-6}) [k\Omega] \dots\dots\dots(2)$$

となります。

ここでマルチメータの抵抗レンジを200kΩとすると、 $C_x=0.1\mu F$ のとき、表示は100.0となり、nFの単位でコンデンサの容量を直読することができます。もちろん、マルチメータの表示は、 $C_x=0.01\mu F$ のと

きは10.0(nF)、 $C_x=0$ (オープン)のときは0.0(nF)となります。

### ● 被測定コンデンサに交流を加える工夫

説明があともなりましたが、ここで重要なことを述べておきます。それは(2)式は交流で成立し、直流では成立しないということです。その理由は、コンデンサは直流では絶縁物と同じだからです。

したがって、図26に示すように、ディジタル・マルチメータからの電圧をアナログ・スイッチ4066Bで切り替えて、交流電圧に変換する必要があります。

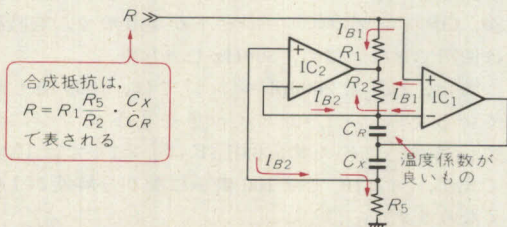
クロック周波数は120Hzにしていますが、クロック周波数の変動による影響はありませんので、シュミット・インバータ4584Bによる発振回路としています。

### ● アナログ・スイッチのオン抵抗の影響

ところで、アナログ・スイッチがGIC回路の間に入ったため、この回路ではアナログ・スイッチのオン抵抗も一緒に測定してしまいます。そのため、マルチメータの抵抗レンジは、200kΩと高めに設定しています(20kΩレンジ以下ではオン抵抗の影響を受けてしまう)。

アナログ・スイッチに4066Bを使用すると、オン抵抗は約100Ω程度(2個分)ですので、200kΩレンジでは最小桁の1digitに相当します。筆者の場合は、 $C_x=0$ の状態では最小桁の1digitが1になったり、0になったりした程度なので、別にゼロ調整は行いませんでした。運悪くオン抵抗が高いときは、アナログ・スイッチを交換するか、図27のゼロ調整回路を付加してください。

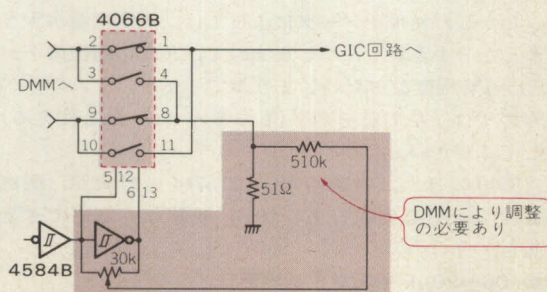
〈図25〉  $Z_3$ と $Z_4$ をコンデンサにしたGIC回路



### コンデンサの場所が重要

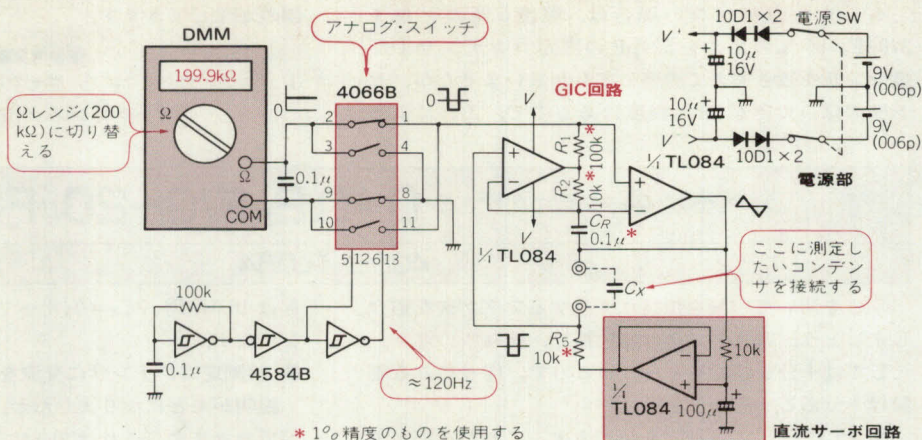
安定に動作するためには、OPアンプの入カバイアス電流が流れないといけない。例えば $R_5$ をコンデンサにすると、 $IC_2$ の入カバイアス電流の行くところがなくなってしまう。そのため、 $R_5$ は必ず抵抗とする。同じ理由で $R_1$ も抵抗となる。また、 $R_2$ と $C_R$ をコンデンサにすると、今度は $IC_1$ の入カバイアス電流の行くところがなくなってしまう。したがってこの図の位置にコンデンサが接続される

〈図27〉 ゼロ調整回路





〈図 26〉  
0.2 $\mu$ F フル・スケールの  
容量計



\* 1% 精度のものを使用する

〈図 28〉 0~20 $\mu$ F が測定できる容量計

### ● OP アンプへの特性的な条件

この容量計は、前述したように、120Hz の交流で測定していますので、OP アンプの直流的なオフセット電圧は誤差になりません。その代わりに、できるだけスルーレートの高いものが必要です。FET 入力型の TL084 を使っています。

また、図 26 の回路では、交流的にはフィードバックがかかっていますが、直流的には何のフィードバックもかかっていません。そのため、直流サーボ回路を付加しています。この回路によって、交流電圧は常に GND を中心にしますので、電源電圧を有効に使用することができます。

直流サーボ回路は CR フィルタの簡単なものです。

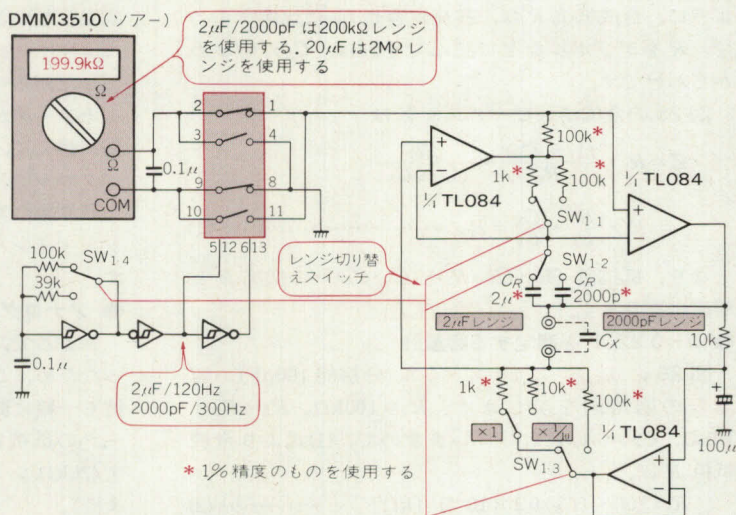
### ● 使用できるマルチメータ

筆者はソアーの 3 1/2 桁表示の 3510 を使用しました。200k $\Omega$  レンジでの最大測定電流が 4 $\mu$ A となっていますので、 $R_1$ での電圧降下が  $100(k\Omega) \times 4(\mu A) = 0.4V_{max}$  です。

しかし、マルチメータによっては、測定電流が大きかったり小さかったりしますので、 $R_1$ での電圧降下が 0.1~1V 程度ならだいじょうぶでしょう。それ以外のものでは、 $R_1$ の値を調整(もちろん  $R_2$ と  $R_5$ も変える)してください。

3510 のほか、岩通の VOAC757(4 1/2 桁表示、測定電流 10 $\mu$ A)も実験しましたが、問題なく使用できました。

### ● 0p~20 $\mu$ F を測定する容量計



最後に、測定範囲が 0pF~20 $\mu$ F の容量計を図 28 に示します。表示は 200.0 ですから、小数点は無視してください。レンジは 2 $\mu$ F/2000pF で、測定周波数は 2 $\mu$ F レンジが 120Hz、2000pF が 300Hz になっています。

実は 2000pF レンジは、1kHz にしたかったのですが、OP アンプのスルーレートが足りなく、無調整では使用できないため、300Hz しました。

また、2 $\mu$ F と 2000pF レンジでは、1000 倍も離れているため、 $\times 1/10$  スイッチを 2 $\mu$ F レンジに付けています。このため、0.01 $\mu$ F は  $\times 1$  では 10 表示ですが、 $\times 1/10$  では 100 表示になり分解能が 1 桁良くなります。

2 $\mu$ F 以上の容量は、200k $\Omega$  レンジを 2M $\Omega$  レンジに切り替えることにより測定できます。 〈川越邦男〉

### ● 参考文献

- (1) テキサス・インスツルメンツ、リニア IC データブック  
(トランジスタ技術 1987 年 12 月号)



## 抵抗は金属皮膜、コンデンサはフィルムというのがアナログ回路の標準

アナログ回路ことに OP アンプを使う場合には、回路によって使用する抵抗に**精度が必要な場合とそうでない場合**がありますが、精度が必要な場合…つまり抵抗の値が直接にアンプのゲインやフィルタのカットオフ周波数に効いてくるときには、それに似合った精度の抵抗が必要になります。

世の中にあふれている**炭素皮膜抵抗**（カーボン）という、普通は $\pm 5\%$ 、温度係数  $350\text{ppm}/^\circ\text{C}$  ( $10^\circ\text{C}$  変化すると値が  $0.35\%$  変化する) くらいの精度ですが、高精度を求めるとそれこそ、**1% (F 級)**、**0.5% (D 級)**、**0.1% (B 級)**、**0.05%**、**0.01%** などというものが IC をはるかに凌駕するような値段でそろえてあります。

これらはたいがい**金属皮膜**あるいは**金属箔抵抗**と呼ばれるものです(写真 1)。

高精度抵抗は発熱しないように**低消費電力**で使うことも礼儀です。ふつうは  $1/4 \sim 1/8\text{W}$  クラスのものを使用します。

アナログ回路でも精度に影響しない部分の抵抗はあります。こんなときカーボンでも十分ですが、気持ちが悪いうことで OP アンプまわりはすべて金属皮膜にするという方針をもっている人もあります。

金属皮膜抵抗はカーボン抵抗よりも**ノイズが小さい**ということも、アナログ回路に使われている理由です。

アナログ回路のコンデンサとなると選択が少しややこしくなりますが、ちょっとしたフィルタとか積分回路用では**ポリエステル・フィルム**を使うのが相場であり、ちょっと凝ったデザインなら値段表をゴ

ミ箱に捨てて見ないようにして、**ポリプロピレン・コンデンサ**を発注します(写真 2)。

これらは  $1000\text{pF} \sim 1\mu\text{F}$  までの範囲ですから積層セラミック・コンデンサを使いたくなるころですが、アナログ屋さんは絶対にセラミック・コンデンサを**信号系**には使いません。

なぜアナログ回路にセラミック系のコンデンサが使えないかということ、セラミック・コンデンサは**ひずむ!**からです。

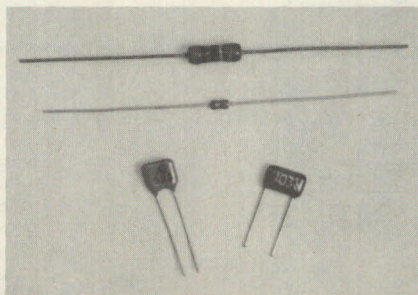
強誘電体には強磁性体と同じように、**ヒステリシス特性**というものがあって、**CR** を直列にしたらでこのひずみが出てきます。

コンデンサ 1 個のおかげで、せっかくの**アナログ**回路をだいなしにされるのはかないませんから、アナログ回路屋さんは**強誘電体**を絶対に回路素子として使用しないのです。

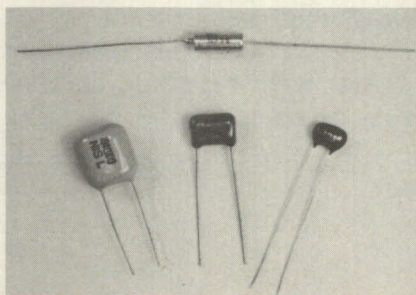
大容量となるとアルミ電解コンデンサに目がいきますが、これも信号系に使うと**スパイク状の電流**がときどき流れて“ビシッビシッ”というノイズを出します。漏れ電流も少なく周波数特性のよい**タンタル・コンデンサ**を使うのが常識です。

〈小林芳直〉

(トランジスタ技術 1989 年 5 月号)



〈写真 1〉 アナログ回路に使う抵抗



〈写真 2〉 アナログ回路に使うコンデンサ



# 第5章 ビデオ回路

山本達夫/池田久嗣/伊藤純二/山本好一/鈴木雅臣/更科一/渡辺成治/藤崎 功

## LC 集中定数を用いた デイレイ・ライン回路

### デイレイ・ライン

同軸ケーブルは理想的なデイレイ・ラインですが、信号の伝播速度は  $5\text{ns/m}$  ですから、実用的に限界があります。さらに長い遅延時間が必要な場合は、 $L$ 、 $C$  を集中定数で置き換えたデイレイ・ラインが多く使われます。

デイレイ・ラインは多種市販されていて、形状もデュアル・インライン型など豊富です。図 1 は、遅延時間の誤差や温度特性の面が比較的楽なので、個別部品

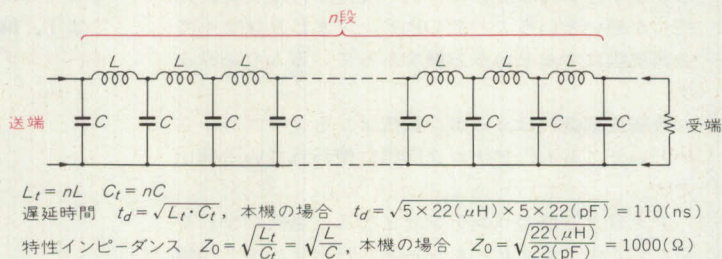
で構成したものです。

原理はまず、入力信号が  $L$  のインダクタンスに打ち勝ち、 $C$  を充電しながら進行します。受端が正しく  $Z_0$  でマッチングされていれば、伝送されてきた電力は速やかに吸収されますが、開放されている場合は、 $L$  の電流保持力で反射が発生し送端に戻ってきます。

〈池田久嗣〉

(トランジスタ技術 1985 年 3 月号)

〈図 1〉 デイレイ・ラインの構成



## デイレイ・ラインを2本用いた 輪郭補償回路(1)

### デイレイ・ライン

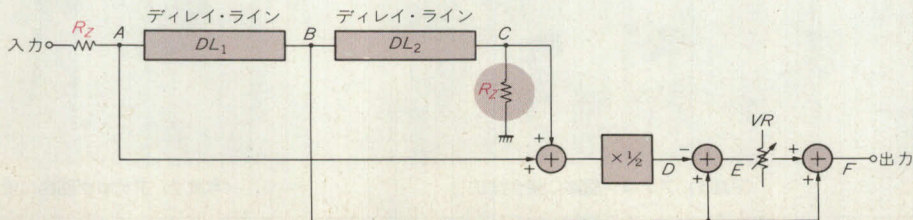
図 2 でデイレイ・ライン  $DL_1$ 、 $DL_2$  はそれぞれ  $\Delta t$  の遅延時間をもち、送端、受端とも正しく  $R_Z$  でマッチングされているとします。このとき入力信号  $A$  に対して  $B$  と  $C$  は同じ波形でそれぞれ  $\Delta t$ 、 $2\Delta t$  遅れた信号になります。これらを使って、

$$B - \frac{1}{2}(A + C)$$

のアナログ演算を行うと、 $E$  として輪郭信号が得られます [図 2 (b)]。

これを  $VR$  で希望値にレベル・セットしたのち、 $B$

〈図 2(a)〉  
輪郭補償回路(1)





に加えると  $F$  として輪郭補償された出力が得られます。

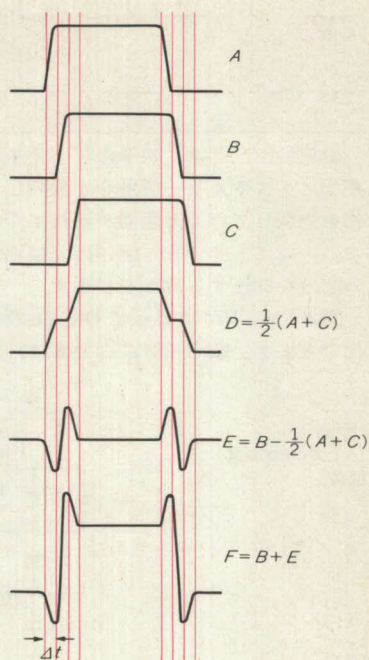
ここで気をつけたいのは、演算によって得られた  $E$  はすでに元の信号  $A$  に対して  $\Delta t$  遅れているということです。ですからレベル・セット後そのまま  $A$  に加えたのでは、入力波形の両側にうまくツノが出てくれません。

エンハンサのように、映像を扱う機器では、信号を分解し別々の回路で処理し、ふたたび合成という手法を採ることが多いので、時間合わせのため本来の動作に直接関係のないディレイ・ラインを別に用いることがよくあります。実際の  $\Delta t$  は  $100 \sim 200 \text{ ns}$  に設定されますが、これくらいは  $Y-C$  分離(映像信号を輝度成分と色信号成分に分けること)のため  $3.58 \text{ MHz}$  のトラップ回路を通過するだけでも遅れてしまうのです。

〈池田久嗣〉

(トランジスタ技術 1985 年 3 月号)

〈図2(b)〉  
各部の波形



## ディレイ・ラインの反射を利用した 輪郭補償回路(2)

### ディレイ・ライン

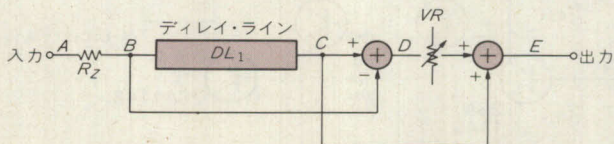
図3(a), (b)はディレイ・ラインの反射を利用して1個で済ませる方法です。ディレイ・ラインの受端  $C$  は開放とし、信号はここで反射してふたたび  $B$  に戻ります。輪郭信号  $D = C - B$  を求め、 $VR$  でレベル・セット後、先例と同じ理由から元の信号としてディレイ・ライン  $DL_1$  を通過し  $\Delta t$  遅れた  $C$  を加えることによって、輪郭補償された出力  $E$  を得ています。

図2, 図3 両方式では、反射を利用するほうがバッファの入力容量の影響を受けやすいからか、帯域外のリンギングが少し多いようですが、効果の点では大差ありません。回路上の都合やコストを考えて決めるとよいと思われます。

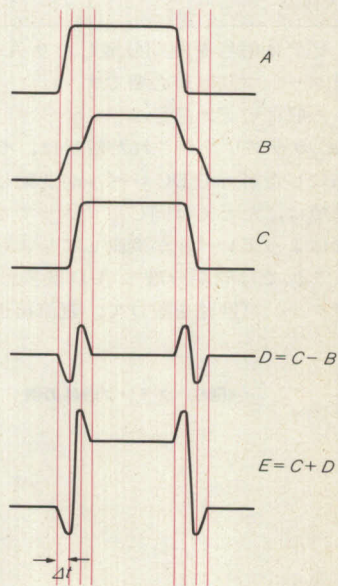
〈池田久嗣〉

(トランジスタ技術 1985 年 3 月号)

〈図3(a)〉輪郭補償回路(2)



〈図3(b)〉各部の波形





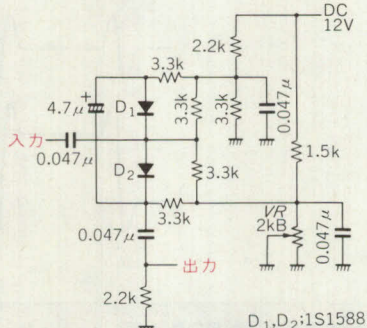
## ノイズ成分だけを抑圧する ノイズ・サブレス回路

1S1588

輪郭検出回路は、映像のディテイル成分以外に、不要なノイズやカラー信号をも強調してしまいます。輪郭を強調していくと画面が荒れてくるのはこのためです。ノイズ・サブレス回路は、輪郭信号のレベルの低い部分を抑圧する働きをします。

図4ではVRによってD<sub>1</sub>、D<sub>2</sub>のDCバイアスを変化できます。順バイアスのときは、入出力は**交流的に**

〈図4〉  
ノイズ・サブレス  
回路

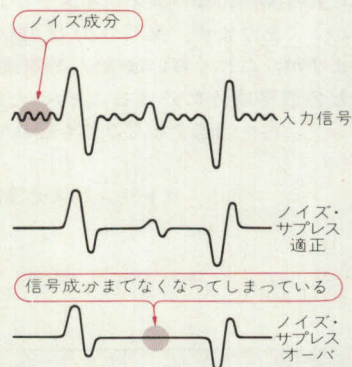


導通状態で信号は素通りします。バイアス電流を減らしていくと、小レベルでの動作抵抗が上昇し、ノイズ成分の抑圧が行われます(図5)。さらに絞ると輪郭信号も減衰してしまいますので、**ちょうどよい点にセツト**します。

〈池田久嗣〉

(トランジスタ技術 1985年3月号)

〈図5〉  
ノイズ・サブレス動作



## ビデオ信号のDC分を再生する クランプ回路

2SA1145, 2SC2705

ビデオ信号を同期分離したりA-D変換するためには**クランプ回路**が必要です。

一般にビデオ信号は**ACカップリング**されています。ACカップリングされた信号は、その電圧レベルの分布にしたがってDCレベルが変動しますから、そのままでは、たとえば同じ**黒レベル**でもそのときの信号の形によってレベルが変動してしまいます。

これでは同期分離やA-D変換はできません。そこでクランプ回路を設けて、直流再生をします。

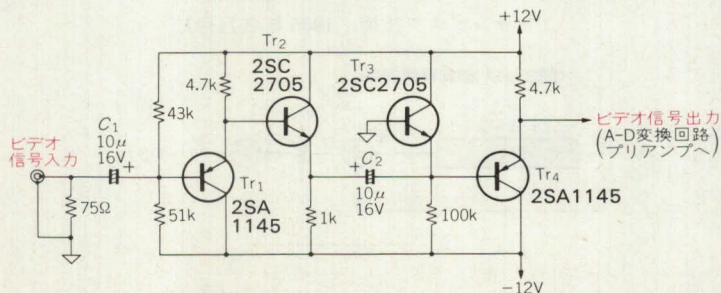
図6のC<sub>2</sub>とTr<sub>3</sub>でクランプ回路を構成しています。映像信号の部分ではTr<sub>3</sub>はOFFしています。同期信号の部分では電圧が下がりますからTr<sub>3</sub>はONし、C<sub>2</sub>はチャージされます。つまり、このとき**シンク・トップ**が-0.6Vに固定されるわけです。

前段と後段のトランジスタTr<sub>1</sub>、Tr<sub>2</sub>、Tr<sub>4</sub>は単なるバッファです。

〈伊藤純二〉

(トランジスタ技術 1989年12月号)

〈図6〉 クランプ回路の例





## ディスクリート・トランジスタで構成した 同期分離回路

2SA1115, 2SC2320

図7はトランジスタを使用した同期分離回路です。

Tr<sub>1</sub>は、16.5dBの反転アンプ、Tr<sub>2</sub>はバッファで、Tr<sub>2</sub>のエミッタには、 $20 - 0.6(V_{BE})$  [V] をシンク・チップとした6.7V<sub>p-p</sub>の反転されたビデオ信号が現れます。

Tr<sub>3</sub>のベースは、ダイオードとTr<sub>3</sub>のベース・エミッタ間電圧でクランプされますので、同期信号以外の部分ではGNDレベル以下になり、したがってTr<sub>3</sub>のコ

レクタには複合同期信号(下向き)が現れます。

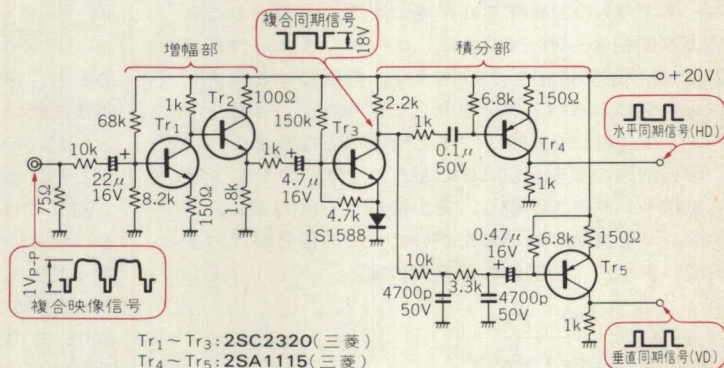
Tr<sub>5</sub>のベースの前には2段の積分回路があり、垂直同期期間のTr<sub>3</sub>のコレクタが“L”レベルになる時間が長いとき、Tr<sub>5</sub>がONし、Tr<sub>5</sub>のコレクタに垂直同期信号が現れます。

Tr<sub>4</sub>のコレクタには、上向きの複合同期信号が現れます。

〈山本達夫/山本好一〉

(トランジスタ技術 1985年3月号)

〈図7〉 同期分離回路



## ディスクリート・トランジスタで構成した Y-C 分離回路

2SC945

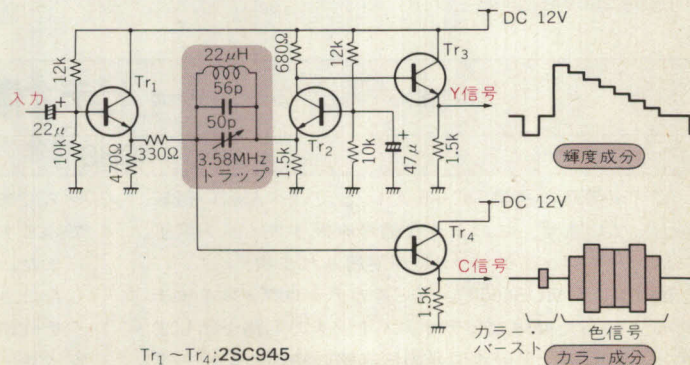
カラー・コントロールを行う場合には、かならず複合同期信号を、**カラー成分**(色信号とカラー・バースト)と、**輝度成分**(輝度信号と同期信号)に分離しなければなりません。この操作を**Y-C 分離**といいます。一般には3.58MHz中心の帯域フィルタで行います。実用的で簡単な例を図8に示します。

330Ωの抵抗と3.58MHzトラップで**フィルタ**を構成しています。

3.58MHzトラップはC信号に対し高インピーダンスですから、ベース接地動作のTr<sub>2</sub>のエミッタには、C信号を除いたY信号成分電流だけ入力され、680Ωの抵抗で**I-V 変換**され、Tr<sub>3</sub>(バッファ)を通してY信号が出力されます。

いっぽう、Tr<sub>4</sub>のベースに現れる電圧信号は、Y信号成分のないC信号成分なので、Tr<sub>4</sub>のエミッタにはこの信号がそのまま現れます。これにより、Tr<sub>3</sub>のエ

〈図8〉 Y-C 分離回路





ミッタには**Y信号**、 $Tr_4$ のエミッタには**C信号**が現れ、  
Y-C分離が行われたことになります。

〈池田久嗣/山本好一〉  
(トランジスタ技術 1985年3月号)

## 0°±30°の移相コントロールが可能な 移相回路

### 2SC945

ビデオ信号の色信号をコントロールする際、色信号の振幅だけを変化させると、**クロマ**(色濃度)**コントロール**となり、**フェイズ**(色相)**コントロール**を行いたいときはカラー・バーストだけを可変位相の移相器に通せば可能です。

図9は、移相回路の例で、**遅相部**と**進相部**からなり、まず $Tr_1$ の遅相部でVRをコントロールすることにより位相を $-90^\circ \pm 30^\circ$ コントロールします。つぎに $Tr_2$ の進相部で位相を $+90^\circ$ 進ませ、最後にエミッタ・フォロワによるバッファを介して信号を出力させ、トータルで位相は $0 \pm 30^\circ$ シフトしたものとなります。

移相回路の原理は図10のとおりです。コンデンサと抵抗をシリーズ接続し、その接続点を出力とし、コンデンサと抵抗の両端にたがいに**逆相**の信号が入力されています。この回路の伝達関数は、

$$T(j\omega) = \frac{j\omega - \frac{1}{CR}}{j\omega + \frac{1}{CR}}$$

なので、利得 $|T(j\omega)|$ は周波数によらず**1**で一定

であり、位相角 $\angle T(j\omega)$ は、  
 $\angle T(j\omega) = 2 \tan^{-1} \omega CR$   
となります。このため、

$$\omega = \omega_0 = \frac{1}{CR},$$

すなわち

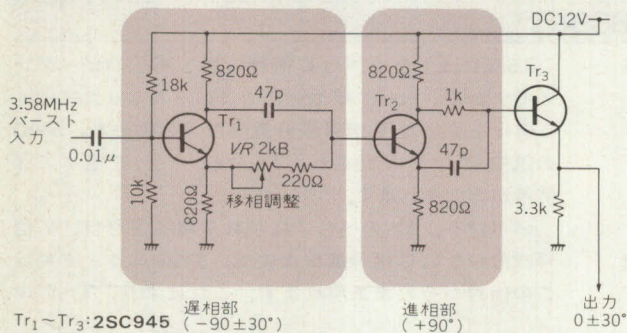
$$f = \frac{1}{2\pi CR}$$

のとき、 $+90^\circ$ 位相が進むことになります。以上の説明は**進相動作**ですが、遅相動作は図10における $V_{in}$ と $-V_{in}$ が入れ替わった状態なので、位相は $-90^\circ$ ずれることになります。

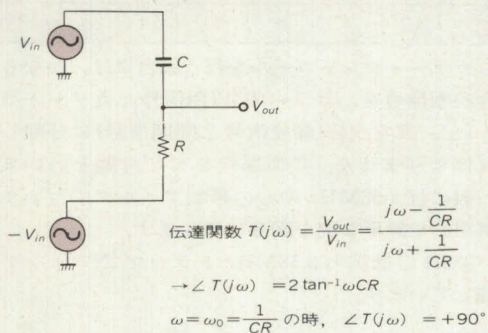
図9では遅相部で、図10のRを可変していることになるので、同じ周波数に対しては位相のずれ方が違ってきます。なお、図10では**信号源抵抗を0**としていますが、図9の回路では信号源抵抗が $820\Omega$ ほどあり、その分が誤差となるので、それを見込んだ定数設定になっています。

〈池田久嗣/山本好一〉  
(トランジスタ技術 1985年3月号)

〈図9〉 移相回路



〈図10〉 移相回路の原理



汎用 CMOS アナログ・スイッチを使った

## ビデオ信号切り替え回路

### 4066

ビデオ信号は通常**DC~6MHz**とたいへん広い帯域をもっています。このような信号を扱うスイッチ素子には**アナログ・スイッチ IC**が使用されます。

図11にCMOS4000シリーズのアナログ・スイッチ**4066**を使った簡単なビデオ・スイッチの回路を示します。この回路はビデオ信号の伝送路の特性インピーダ

ンスである**75Ω**で入力信号をターミネイト(終端)しています。

また、4066の**オン抵抗**(アナログ・スイッチがONしたときの残留抵抗)が数百Ωと高いため、このスイッチ回路の次段に接続する回路の入力インピーダンスを大きくする必要があります。



このような安価なアナログ・スイッチでも、使い方によっては実用上十分な性能を得ることができます。実際のビデオ機器にも 4000 シリーズのアナログ・スイッチ **4066**、**4051**、**4052**、**4053** などがよく使用されています。

しかし、より帯域の広いビデオ信号や高周波信号をスイッチする場合には、スイッチ OFF 時の入力から出力への**信号の漏れ**が問題になります。この漏れの量は**オフ・アイソレーション**として次式で定義されます。

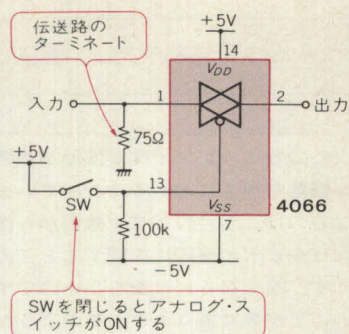
オフ・アイソレーション＝

$$20\log \left( \frac{\text{入力信号電圧}}{\text{出力(漏れ)信号電圧}} \right) \text{ (dB)} \dots\dots\dots(1)$$

FET をスイッチ素子に用いたアナログ・スイッチは、ドレイン-ソース間の**浮遊容量**を通して入力信号が出力に漏れます。したがって、信号の周波数が高くなるほどオフ・アイソレーションは低下します。

4000 シリーズ CMOS アナログ・スイッチのオフ・ア

〈図11〉  
4066 を使った  
ビデオ・スイッチ



イソレーションは、信号周波数が 10MHz のとき 45dB 程度です。

〈鈴木雅臣〉

●参考文献●

- (1) ハリス RCA, CMOS データブック
- (2) 鈴木雅臣 新・低周波／高周波回路設計マニュアル, CQ 出版社  
(トランジスタ技術 1986 年 12 月号)

ビデオ専用スイッチ IC IH5341 を使った

## ビデオ信号切り替え回路

### IH5341

アナログ・スイッチには**ビデオ・スイッチ**と称して、高周波領域でのオフ・アイソレーションを良くしたものがあ

ります。  
図 12 はビデオ・スイッチ用 IC を用いたビデオ信号切り替え回路です。

**IH5341**(ハリス社インターシル)は CMOS モノリシック・ビデオ・スイッチで、オフ・アイソレーションは 10MHz で 60dB 以上です。

IH5341 の内部構造は図 13 のような **T 型スイッチ**で、スイッチ OFF 時(SW<sub>1</sub>と SW<sub>2</sub>を開いたとき)に SW<sub>3</sub>を閉じて、入出力の容量的な結合を小さくしてオフ・アイソレーションを改善しています。

図 12 の回路は **DC～30MHz** の信号を扱うことができます。コントロール信号を 0V または +5V にすることにより、入力 1 または入力 2 を選択して出力します。

ビデオ・スイッチの後に、高速 OP アンプ **HA2542** (ハリス社)を用いた電圧利得 6dB のアンプを接続しているの

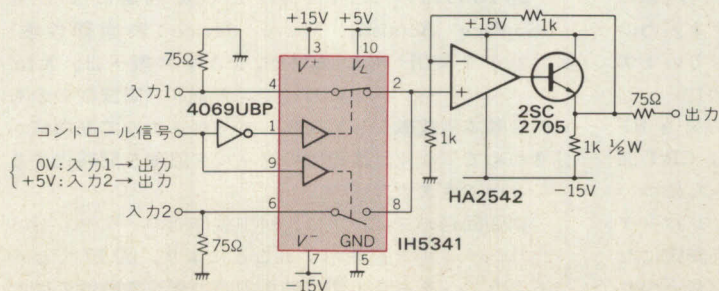
で、入力信号をターミネートする際に生じる -6dB の減衰量を補正し、**出力インピーダンス 75Ω**で同軸ケーブルをドライブすることができます。

〈鈴木雅臣〉

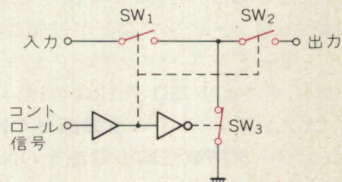
●参考文献●

- (1) ハリス・インターシル, アナログ・データブック
- (2) 鈴木雅臣:新・低周波／高周波回路設計マニュアル, CQ 出版社  
(トランジスタ技術 1986 年 12 月号)

〈図12〉 ビデオ信号切り替え回路



〈図13〉 T 型スイッチ構造





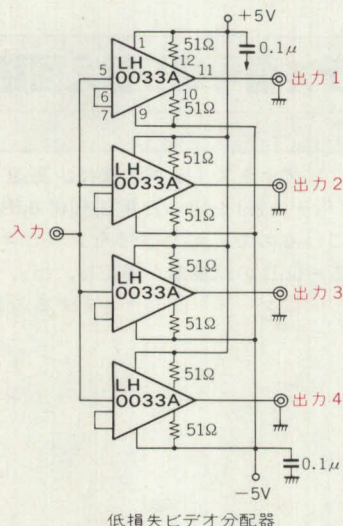
## LH0033A

このところビデオ関連機器が数多く市販され、ビデオ機器を扱うことが多くなっています。そこで問題になるのは、1台のビデオ機器から複数台のモニタ・テレビやビデオ機器に接続するときの**信号レベルの低下**です。暗くなるだけならよいのですが、**同期**がとれないことが多々あります。そのような場合、バッファ・アンプを通して分配すると、上記のような問題は解決されます。

ここで紹介するのは、高速バッファ・アンプ(利得1倍)の**LH0033A**を使った**ビデオ・ディストリビュータ回路**です。

LH0033Aはナショナル・セミコンダクター (NS) 社のハイブリッド IC で、電力帯域幅 100MHz、スル

〈図14〉  
低損失ビデオ分配器



ーレート 1500V/μs で、50Ω の負荷をそのままドライブすることができます。入力は**FETのソース・フォロワ**となっているので、入力インピーダンスが  $10^{10}\Omega$  と非常に大きく、また出力はバイポーラ・トランジスタの**AB級動作**となっているので、ピーク電流は±250mA まで流すことができます。また外付け抵抗により、出力電流を制限することもできます。

図14は一つの入力に四つのバッファ・アンプを設けて、4出力とした回路です。V<sub>cc</sub> (12ピン) および V<sub>EE</sub> (10ピン) の51Ωは**電流制限抵抗**です。

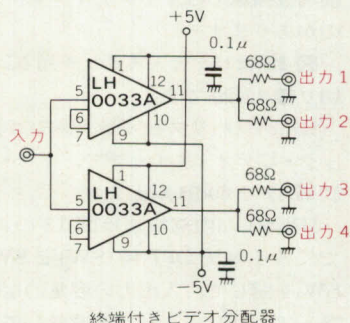
いっぽう、図15は同じ4出力ですが、バッファ・アンプの数を2個にしたものです。LH0033Aの出力抵抗は6Ωなので、出力にシリーズに68Ωを入れることにより、出力抵抗を75Ωとして、**75Ω終端**を想定したものです。

〈更級 一〉

## 参考文献

- (1) ナショナル・セミコンダクター、リニア IC データブック 1991  
(トランジスタ技術 1988年1月号付録)

〈図15〉  
終端付きビデオ分配器



## SN76874

図16にSN76874Nを使った**テレビ RF コンバータ**の例を示します。ここで使う**SN76874N**は、内部にはバッファ・アンプなどが付加されて、ビデオ入力のインピーダンス・マッチングをやりやすくしています(ユーザにより75Ωや1kΩの違いがあるため)。

また、モニタ TV の電源が ON の状態のとき RF コンバータ搭載機器の電源を ON にすると、CRT 面上では画面が**あばれたり**しますので、このへんについても改善が図られています。これは、RF コンバータの電源立ち上がり時の一瞬に信号レベルが不安定になるため、これらを解消するために、電源立ち上がり

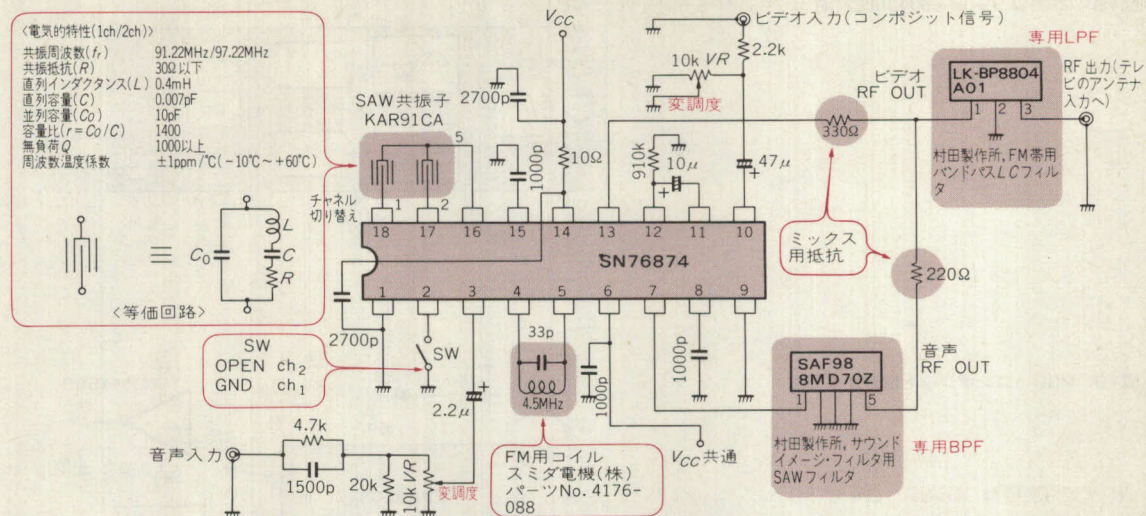
時の**時定数コントロール回路**も内蔵されています。

図16において、キャリア用 OSC 回路には**SAW** (Surface Acoustic Wave device; 表面弾性波) **共振子**を使用していますが、SAW 共振子は、X'tal の**オーバートーン共振**に対して、キャリア周波数そのものを基本周波数として発振してくれますので高調波がきわめて少なく、後段でのフィルタ処理を簡略化することができます。

周辺回路のフィルタは、村田製作所の**ハイブリッド化したフィルタ**を使用することにより、図17でわかるように、チャンネル切り替えの際の周波数特性の切り

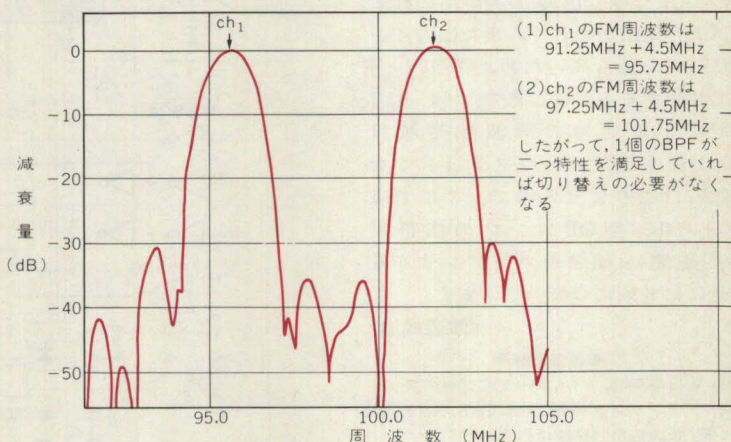


〈図16〉 SN76874Nを用いたテレビRFコンバータ



〈図17〉

FM用バンドパス・フィルタの周波数特性



替えが必要なくなりました。

図16の回路で220Ωと330Ωは、SN76874NのRF出力レベルに合わせて設定しています。回路図からわかるように、調整箇所は変調度と4.5MHzのコイルのみです。そのほかはすべて固定となります。

調整方法は、TVのチャンネルを1chまたは2chにして、画像の色調が良好のポイントになるようにビデオ変調度を設定します。また、4.5MHzコイルの設定は、

TVのスピーカを聞きながら最適のところへ調整します。

〈渡辺成治〉

#### 参考文献

- (1) テキサス・インスツルメンツ、リニアICデータブック
- (2) トランジスタ技術 SPECIAL No.5、特集 画像処理回路技術のすべて

(トランジスタ技術 1985年2月号)

## NJM2208を用いた RGB-コンポジット信号変換回路

### NJM2208

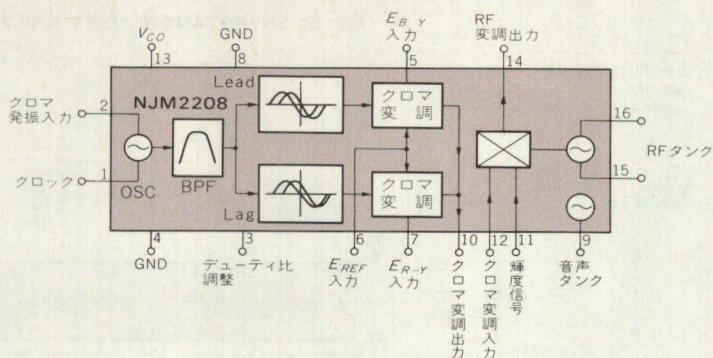
NJM2208はNTSCカラーTV用として設計された変調器用ICで、図18がそのブロック・ダイアグラムです。

図19に、このICを使用したRGB-コンポジット

変換回路を示します。パソコンのRGB出力を、色差信号および輝度信号にするためにマトリクス回路で変換し、NJM2208の色入力端子に接続すると、カラー・エンコーダとして動作します。



〈図18〉 RFモジュレータNJM2208



〈図19〉 RGB→コンポジット信号変換回路

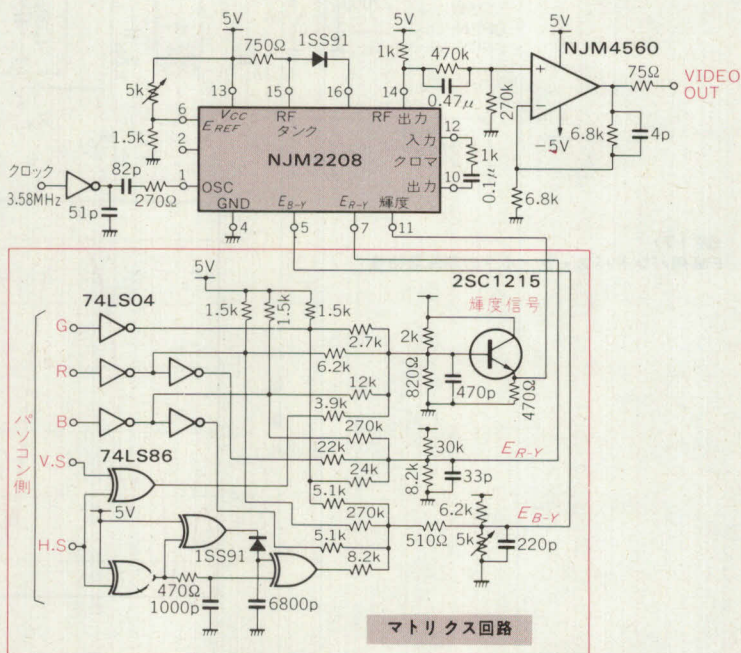
ビデオ信号は**RF出力**(14ピン)の1k $\Omega$ で取り出しますが、これでは出力電圧が小さく、また出力インピーダンスも高いため、**OPアンプ**で増幅するようにします。

ビデオ信号の周波数帯域は**4MHz**と広く、かつフラットでなければなりませんので、ここでは**4560**(4558型OPアンプの広帯域版)を使い、補償用コンデンサを6.8k $\Omega$ に並列につないでいます。

〈渡辺成治〉

図参考文献

- (1) 新日本無線, バイポーラICデータブック
- (2) トランジスタ技術 SPECIAL No.5, 特集 画像処理回路技術のすべて (トランジスタ技術 1985年2月号)



## TV画面に文字を入れる スーパインポーズ回路

NJM2207, MSM6207RS

### ● 文字スーパーインポーズの原理

ここでは、TV画面に文字を入れる**文字スーパーインポーズ**を実現する方法を紹介しましょう。図20が基本原理を示したものです。

最近のTVには、たいていビデオ・テープレコーダなどと接続するために**ビデオ**(コンポジット)出力端子と**入力端子**がついていますが、このビデオ信号というのは、映像にかかわるすべての信号を複合的にもち合わせています(複合映像信号; コンポジット・ビデオ信号。図21)。したがって、この信号の中から画像表示に必要な**タイミング信号**(水平同期と垂直同期信号)

を抽出すれば、今この信号はTV画面のどの位置を光らせようとしているものかということを知ることができます。

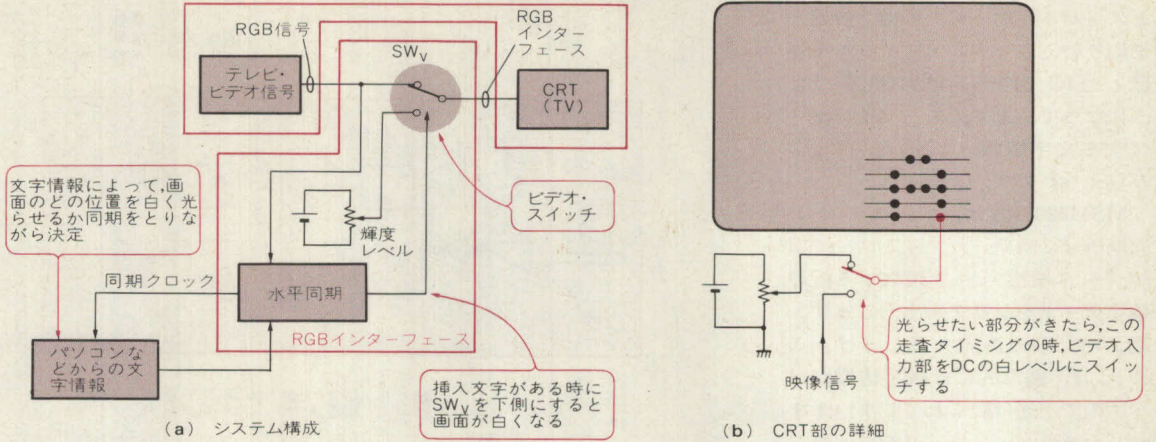
そして、映像信号に関係なく画面を光らせたい場合には、その走査時だけビデオ入力信号を**DC成分**(白の輝度レベル)に切り替えるようにすれば、映像を**バックにした形で文字記号などをTVに表示**できることになります[図20(b)]。

### ● 実際の回路構成

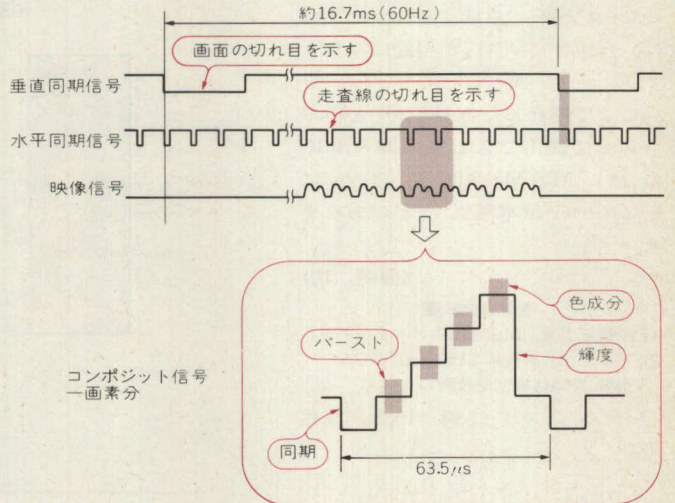
図22は、TVの画面に**日付け文字**を挿入するようにした時の構成です。**NJM2207**は、映像信号から水



〈図20〉 文字スーパーインポーズの原理



〈図21〉 複合映像信号



〈図22〉  
日付け文字をスーパー  
インポーズする回路

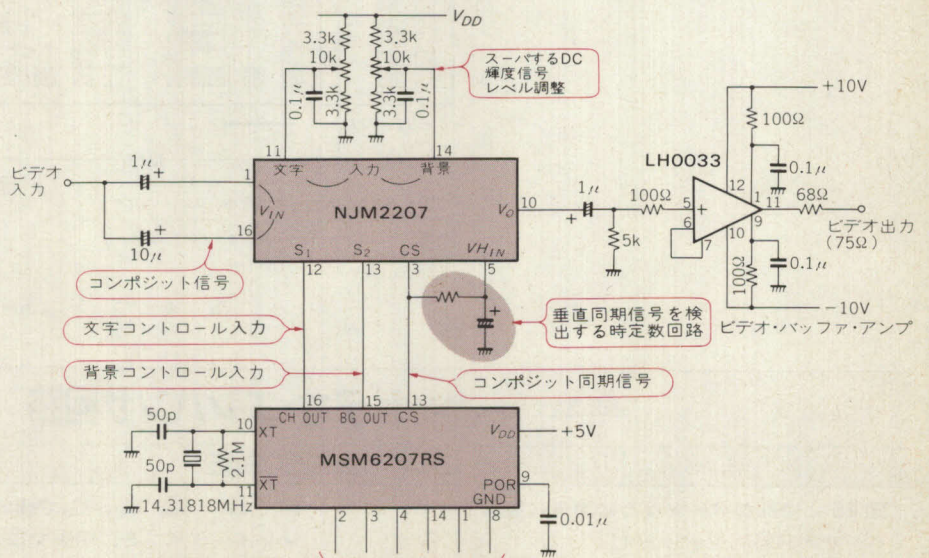


図24参照



平、垂直の同期信号、ならびに映像とスーパーインポーズする文字情報とを切り替えるビデオ・スイッチを内蔵したICで内部回路は図23のようになっています。スーパーインポーズする文字情報はMSM6207RSより与えられます。

MSM6207RSは、コンポジット同期信号に同期したタイミングで数値データを出力するICで、6桁の数字データをシリアル出力します。図24にICの機能を示します。このICは、基本的には数字情報だけでするので用途は限られてしまいますが、キャラクタ・コードをマイコン(パソコン側)で生成するようにすれば、自由な文字挿入が可能になります。

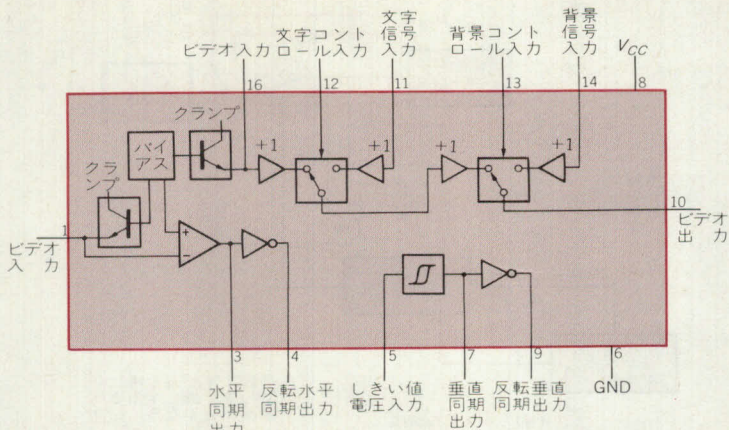
ここで紹介したNJM2207と組み合わせて使用できる文字挿入用ICには、MSM6207のほかにμPD6104C(日本電気)などがあります。

〈藤崎 功〉

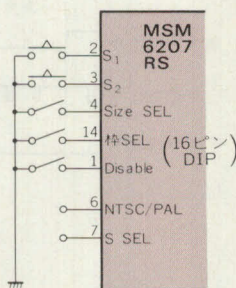
#### 参考文献

- (1) 沖電気工業、MSM6207 データシート
- (2) トランジスタ技術 SPECIAL NO.5, 特集 画像処理回路技術のすべて (トランジスタ技術 1985年2月号)

〈図23〉 NJM2207の内部回路

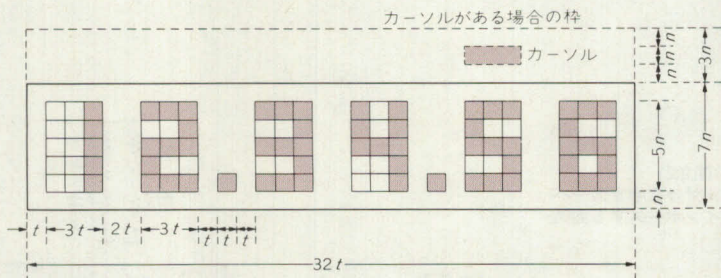


〈図24〉 文字挿入用IC MSM6207RS



入力端子名	意味
S <sub>1</sub>	表示データ設定用の入力信号
S <sub>2</sub>	表示データ設定用の入力信号
Size SEL	"L".....大文字 "H" or Open...小文字
14ピンSEL	"L".....枠なし "H" or Open...枠あり
Disable	"L".....Enable "H" or Open...BG OUT, CH OUT="L"
NTSC/PAL	"L".....PAL "H" or Open...NTSC
S SEL	"L".....マイコン用 "H" or Open...Manual用

(a) 動作モード設定



- ①文字Size 大..... $n = 8$ 本/フレーム,  $t = \frac{3}{f_s}$
  - ②文字Size 小..... $n = 6$ 本/フレーム,  $t = \frac{2}{f_s}$
- ただし,  $f_s = \frac{14.31818\text{MHz}}{4}$

(注) ■部分が"H"信号

(b) 表示フォーマットの例

## 特殊部品を使わずにできる ビデオ・エンハンサ回路

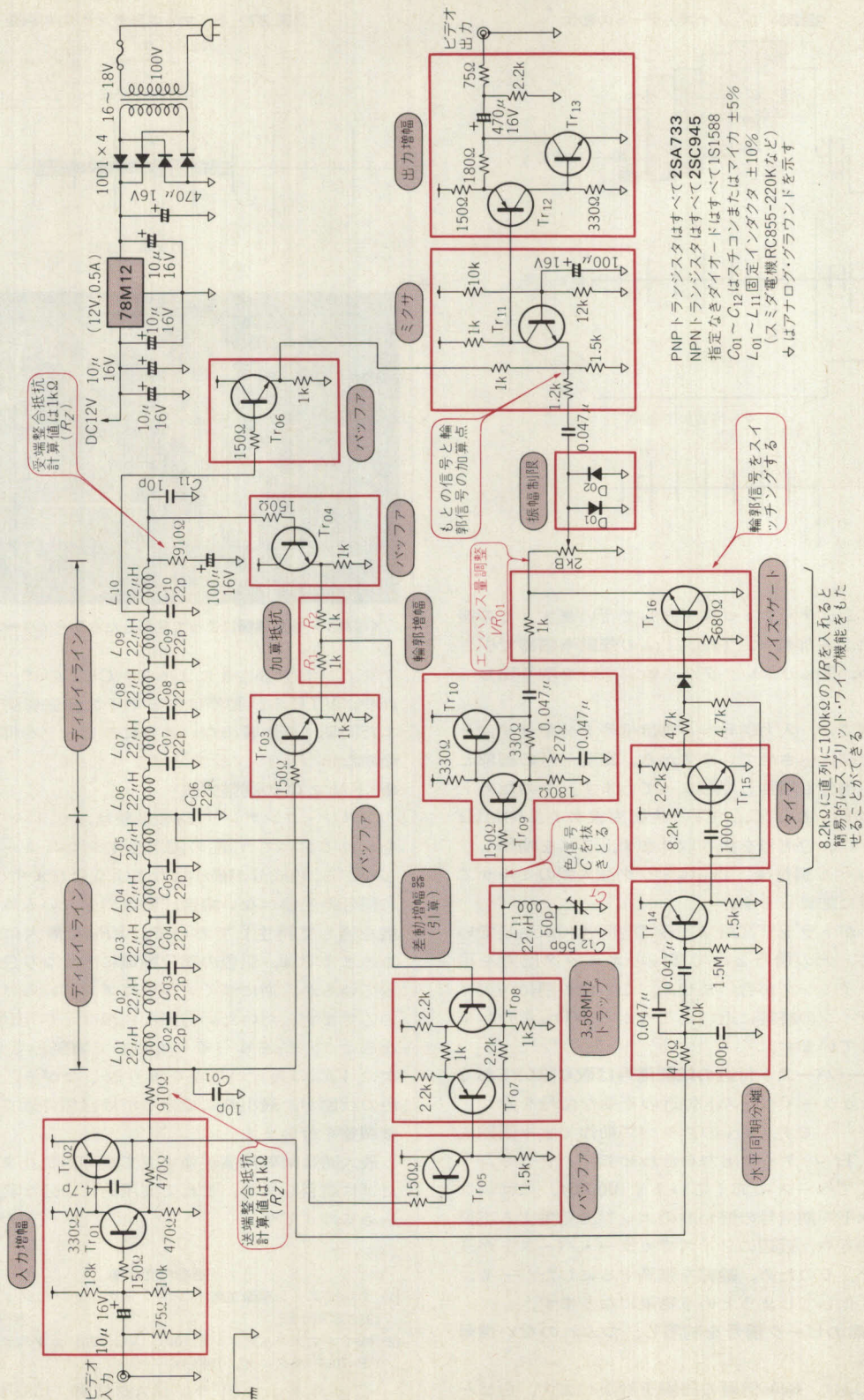
2SA733, 2SC945

図25に特殊なパーツなしに簡単に実験できる、エンハンサの回路例を示します。  
ディレイ・ラインを2本使う方式を採ってみました。

図でL<sub>01</sub>~L<sub>10</sub>, C<sub>01</sub>~C<sub>11</sub>で構成した集中定数によるディレイ・ラインを、中央で二分して使用しています。  
ディレイ・ラインからの信号の引き出しは、Tr<sub>03</sub>, Tr<sub>04</sub>,

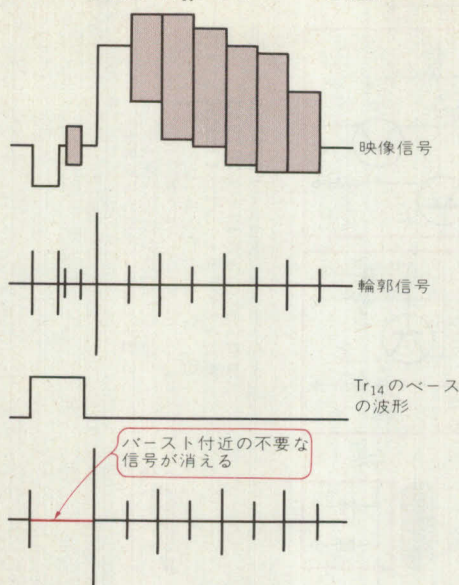


＜図25＞ 簡単なエンハンサの回路例





〈図26〉  $Tr_{14}$  ノイズ・ゲートの動作



$Tr_{05}$  のエミッタ・フォロウを介して行います。その後  $R_1$ ,  $R_2$  による加算と,  $Tr_{07}$ ,  $Tr_{08}$  の差動増幅器で引き算を行い,  $Tr_{08}$  のコレクタから輪郭信号を取り出しています。

この例では, 入力信号から輝度信号を分離せず, そのまま輪郭検出させていますから, 輝度信号の細部と同時に色信号も増強してしまっています。そのためトラップ回路,  $L_{11}$ ,  $C_{12}$ ,  $C_7$  の共振周波数を 3.58MHz にセットし, 色信号を抜き取ります。これを増幅し,  $VR_{01}$  でレベル調整後,  $Tr_{11}$  エミッタ注入型のミキサで元の信号に加算します。

ところがトラップ回路によって時間遅れが生じていますから, 元の信号として  $Tr_{05}$  のエミッタ出力を用いるとタイミングが合いません。このため別に, デレイ・ラインの終端に近いところから,  $Tr_{06}$  を介して取り出しています。

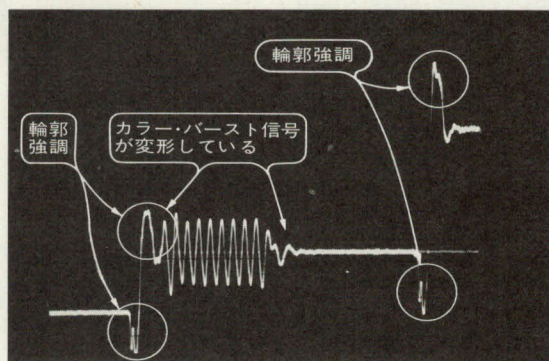
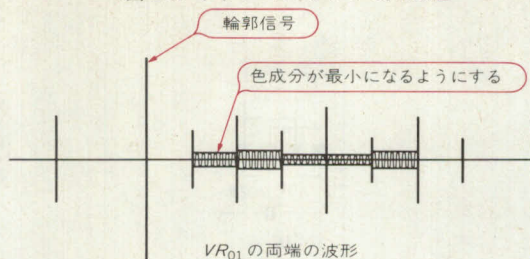
#### ● カラー・バースト付近の輪郭信号は取り除いておく

$Tr_{16}$  はカラー・バースト付近の不要な信号を除くノイズ・ゲートです。 $Tr_{14}$  のクランプ動作で水平同期を分離し,  $Tr_{15}$  のタイマ出力を合わせて, プランキング信号としてベースに加えています(図26)。これがないと, 水平同期信号の終わりのエッジで発生する不要な輪郭信号や, 近辺のノイズでカラー・バーストが変形します。そのため, 輪郭を強調するにしたがって, 色相も変化してしまうという結果になります。

#### ● 白と黒のピーク信号を制限し, つぶれない信号を得る

$D_{01}$ ,  $D_{02}$  は, 輪郭信号の振幅を制限します。白ピー

〈図27〉 トリマ・コンデンサ  $C_7$  の調整



〈写真1〉 輪郭強調によって変形したカラー・バーストの例

クをカットすることによって, CRT のビームのつぶれや, VTR の誤動作によるノイズ発生を防止します。また同期に悪影響のないように黒ピークを抑えます。簡単なホワイト・アンド・ブラック・クリップ回路です。

#### ● トリマ $C_7$ の調整方法

トリマ・コンデンサ  $C_7$  の調整は, カラー・バー信号を入れておいて  $VR_{01}$  の両端をオシロスコープで観測しながら, 色成分が最小になるようにします(図27)。

信号発生器がない場合, 動きの少ない人物などを本機を通して再生しておいて,  $VR_{01}$  を最大にします。このままでは, 肌色の部分極端に赤くなり色も濃くなっているか, 逆に淡く青緑色にズレているはずです。ここでまず, だいたい自然な色濃度と色相(色あい)になるよう,  $C_7$  をゆっくりまわして調整してください。次に  $VR_{01}$  の最大⇄最小を繰り返しながら, 最大時の色の状態が, 最小時にできるだけ自然に近くなるよう微調整を行います。

最大時は輪郭補償が強すぎて画面が荒れますが, 色だけに着目します。これで実用的に十分な範囲に追いつめるはずです。

〈池田久嗣〉

#### ●参考文献●

- (1) テレビジョン画像工学ハンドブック, テレビジョン学会編, 1982年第1版。
- (2) ㈱インフラノイズ, VE-1001, VC-2001 カタログ 1982年, VP-7007 カタログ, 1984年

(トランジスタ技術 1985年3月号)



# ビデオ信号，音声信号同時切り替え回路

## M51321P

図28にバイポーラ・トランジスタを使った差動型アナログ・スイッチを示します。

コントロール端子の電圧を  $V_{C1}$  と  $V_{C2}$  を制御して， $Q_2$  を OFF， $Q_5$  を ON することにより， $Q_1$  と  $Q_3$  が ON， $Q_4$  と  $Q_5$  が OFF して，入力1を選択し出力します。

逆に  $V_{C1}$  と  $V_{C2}$  を制御して， $Q_2$  を ON， $Q_5$  を OFF することにより， $Q_1$  と  $Q_3$  が OFF， $Q_4$  と  $Q_5$  が ON して入力2を選択し出力します。選択された入力信号はエミッタ・フォロワ2段を介して出力されるので，広い周波数帯域が確保できます。

このような回路を採用したアナログ・スイッチ IC に M51321P [三菱電機(株)] があります。図29に M51321P を使用したビデオ信号，音声信号同時切り替え回路を示します。この回路は VTR などにも使用されるもので，3入力のビデオ信号とステレオ音声(L，R)を同時に切り替えて出力することができます。

M51321P は，スイッチ・コントロール信号を +12V，OPEN，GND とすることにより，入力1，入力2，入力3を選択することができます。

さらに，ビデオ信号のスイッチの後段には電圧利得  $G_v = 6.7\text{dB}$  のアンプが内蔵されているので，入力信号をターミネートする際に生じる減衰分を補正して，入力信号と同一レベルでビデオ信号を出力することがで

きます。

また，ビデオ出力にはエミッタ・フォロワを付加しているのので，同軸ケーブルをそのまま駆動することができます(電源電圧を下げることにより，エミッタ・フォロワを追加しなくても，同軸ケーブルをドライブすることができる)。

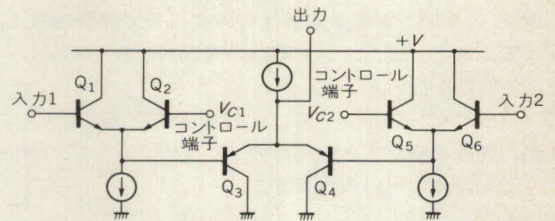
M51321P のシリーズにはビデオ信号のアンプの電圧利得を 0dB としたもの(M51327P など)や，ビデオ入力と音声入力をそれぞれ独立に選択できるもの(M51329P など)などのバリエーションがあります。

〈鈴木雅臣〉

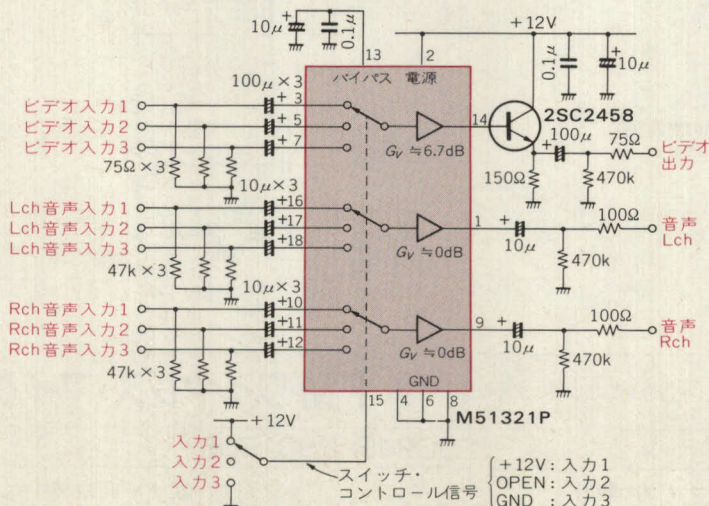
### 参考文献

- (1)三菱電機，M51321P データシート
- (2)鈴木雅臣，新・低周波/高周波回路設計マニュアル，CQ 出版社 (トランジスタ技術 1986 年 12 月号)

〈図28〉 差動型アナログ・スイッチ



〈図29〉 ビデオ信号，音声信号同時切り替え回路







# 第6章 送受信回路

菅原昭治/鈴木憲次/田代一章/上岡利雄/更科 一/針倉好男

## ディスクリート・トランジスタ1石で行う 基本的な変調回路

2SC2407, 2SK193

実際の変調回路例を図1に示します。これは、**コルピッツ型の変形でクラップ発振回路**ともいわれます。この回路自体、安定性が高いという性質があります。タンク回路にバック・ツー・バック(背中合わせ)の**バラクタ**をおき、逆バイアス電圧に変調信号を乗せて制御電圧  $V_s$  を加えます。変調信号の変化分で等価容量  $C_d$  を変えることで、タンク回路の同調周波数を動かし、**FM 変調**を行います。

バック・ツー・バックでは合成容量が半分になりますが、発振振幅が大きい場合の**ダイオードとしての導通を防ぐ**ために用いられます。

図2は同様な構成の**ハートレ回路**の例です。FETを用いてバイアス抵抗はソース抵抗  $R_s$  だけです。  $R_1$  はバラクタの**逆リーク電流パス**用です。この電流は非常に小さい値なので、  $R_1$ 、  $R_d$  ともに  $100\text{k}\Omega$  くらいのオーダーになります。どちらの回路も発振周波数帯域、変化範囲、制御電圧範囲、最大周波数偏移により発振定数やバラクタの種類を選びます。

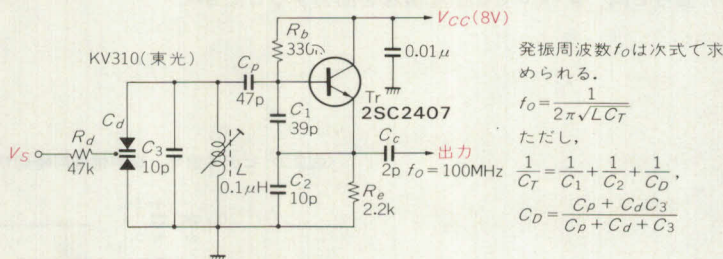
〈菅原昭治〉

### 参考文献

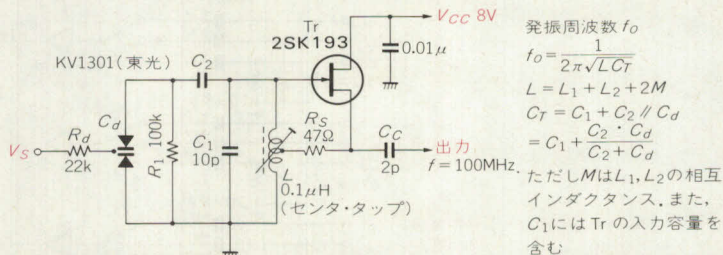
(1) トランジスタ技術 SPECIAL No.30, 特集 ニュー・メディア時代のデータ通信技術

(トランジスタ技術 1987年10月号)

〈図1〉 クラップ発振回路の変調回路



〈図2〉 ハートレ発振回路の変調回路



## 発振回路にセラミック振動子を使った FM ワイヤレス・マイク

2SC945, 2SC1906

### ● FM ワイヤレス・マイク的设计

図3がこれから製作する**ワイヤレス・マイク**のプロ

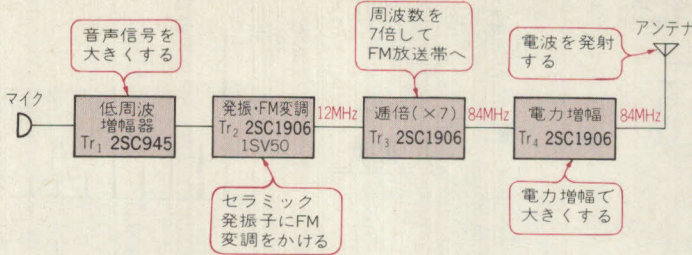
ック図で、図4が回路図です。

表1は**FM ワイヤレス・マイク**の設計仕様です。受

トランジスタ技術  
SPECIAL



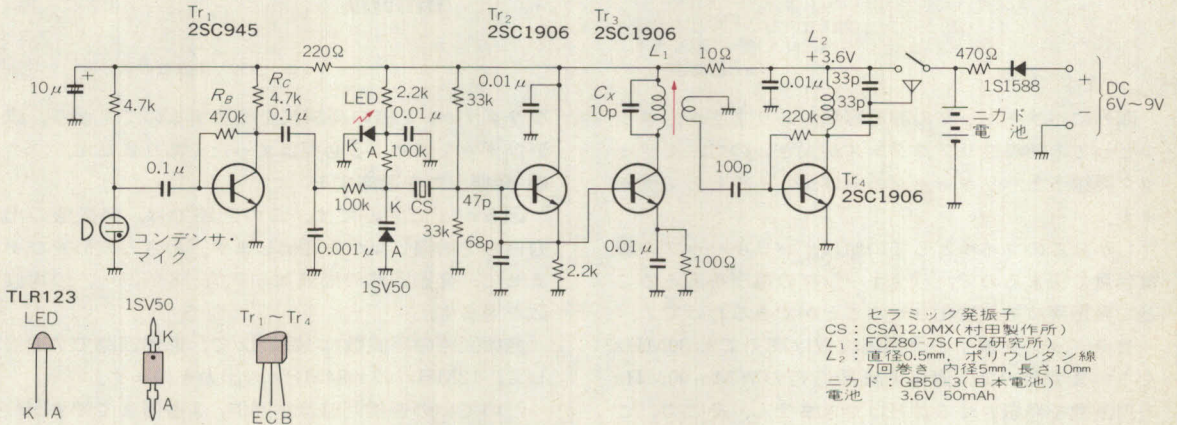
〈図3〉 FM ワイヤレス・マイクのブロック図



〈表1〉 FM ワイヤレス・マイクの設計仕様

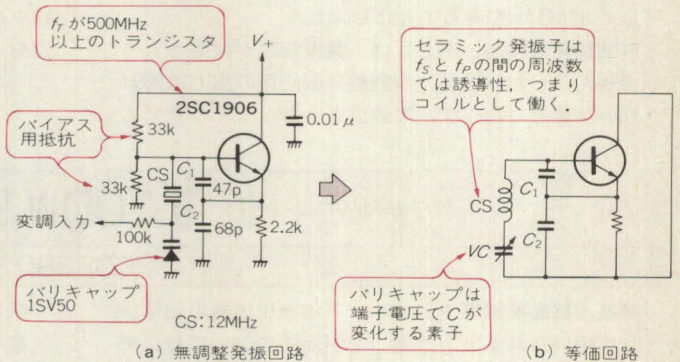
送信周波数	FM 放送帯 76MHz~90MHz
電波型式	FM
通話可能距離	20m
周波数偏位	±75kHz
電源電圧	DC3.6V~6V 電池内蔵
周波数変動	±20kHz 以内

〈図4〉 FM ワイヤレス・マイクの回路図



セラミック発振子  
CS: CSA12.0MX (村田製作所)  
L1: FCZ80-7S (FCZ研究所)  
L2: 直径0.5mm, ポリウレタン線  
7回巻き 内径5mm, 長さ10mm  
ニカド: GB50-3 (日本電池)  
電池: 3.6V 50mAh

〈図5〉 周波数変調回路



信機は FM チューナなどの FM 放送帯が受信できるものを使います。したがって、送信周波数は **76M~90MHz** の間にします。

通話可能距離は電波法に違反しないように **20m 程度** にし、**周波数偏位** (周波数変調により変化する周波数の変化幅) は FM 放送局と同じ **±75kHz** にします。

電源はニカド電池または普通の乾電池 3 本か 4 本を使うことにして、電圧が **3.6~6V** の範囲で動作するようにします。

問題なのは **周波数変動** です。使用中に周波数が変動するようでは、実用になりません。FM チューナの選択度から考えると、周波数変動が **±20kHz** 以内なら

ば実用になるでしょう。

### ● 発振回路で周波数変調をする

図 5 が周波数変調できる **発振回路** です。この発振回路の基本は図(a)のような**無調整発振回路**です。

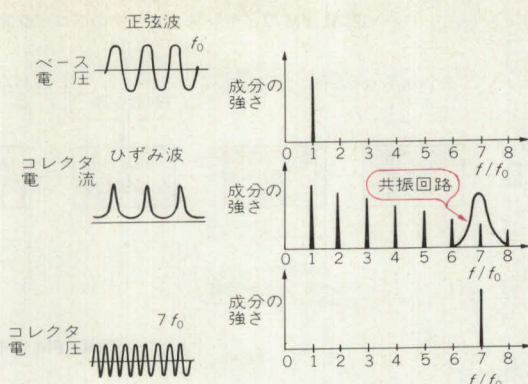
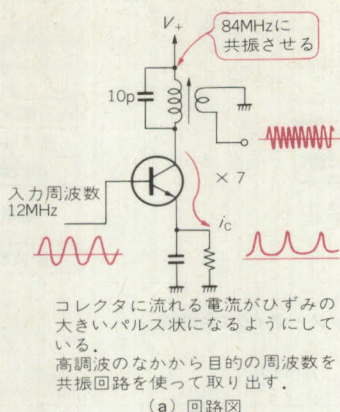
ここで、セラミック発振子 **CSA12.0MX** (村田製作所) に直列接続したバリキャップ **1SV50** に変調信号を加えると、バリキャップの静電容量が変化するので、周波数変調が行われます。

この動作をわかりやすくするために、**無調整発振回路**を図 5 (b)のような**等価回路**にしてみました。

**セラミック発振子**は誘導性の領域で動作し、発振回路ではコイルの役目をします。



〈図6〉  
周波数通倍回路と  
その原理



(b) 波形と周波数の成分

直列にバリキャップの静電容量がありますが、コイルとしての誘導性リアクタンスが大きいため、セラミック発振子とバリキャップの全体がコイルとして働きます。

しかしこのコイルとしての値は、バリキャップの静電容量で決まるので、バリキャップの電圧を変えてことで発振周波数を変化させることができるわけです。

セラミック発振子の発振周波数は高くても 30MHz くらいまでなので、直接 FM 放送帯の 76M~90MHz の周波数を発振させることはできません。そこで、ここではその  $1/7$  である 12MHz で発振させ、それを 7 倍して 84MHz を得ることにしました。

無調整発振回路の出力には、共振回路が接続されていません。したがって、無調整発振回路の出力波形はきれいな波形にならず、高調波を含むひずんだ波形と

なりますが、7 倍の高調波を使用するので、波形ひずみを気にする必要はまったくありません。

### ● 発振出力を<sup>ていびい</sup>通倍する

図6が通倍回路です。この回路では、発振器の出力信号を増幅しながら通倍します。わざと波形をひずませて、発振回路の周波数の 2 倍、3 倍、…、の周波数を得ます。

発振回路の周波数は 12MHz で、通倍回路で 7 通倍して、 $12\text{MHz} \times 7 = 84\text{MHz}$  の出力を得ます。

たいていの通倍回路は 2 通倍、3 通倍までですが、無調整発振回路では高調波がかなり発生しているので、いきなり 7 通倍してしまいました。7 倍の周波数の出力を LC 共振回路で取り出します。

〈鈴木憲次〉

(トランジスタ技術 1990 年 8 月号)

## ひずみ率が小さな HF 帯 100W リニア出力段回路

### 2SC2290

業務用移動無線機やアマチュア無線用機器の送信段として用いられる高周波電力増幅回路においては、モジュールと呼ばれるハイブリッド IC (HIC) が多く用いられるようになってきています。しかし、HF 帯 (3M~30MHz) では、LC 定数が大きく HIC に内蔵しにくいので、ディスクリット回路がよく使われます。

図7は HF 広帯域 100W アマチュア無線機などに一般的に用いられている回路です。

### ● トランジスタ・プッシュプル構成

ここで使用されるトランジスタにはつぎのような特性が要求されます。

- ① 入出力特性の直線性が良く、ひずみが少ないこと
- ② 広帯域増幅のため、トランジション周波数 ( $f_T$ ) が高いこと
- ③ オープン、ショートなどの苛酷な負荷条件でも破

壊しないような、十分な耐量をもっていること

専用に設計されたトランジスタとしては、2SC2290 や 2SC2879 などがあります。

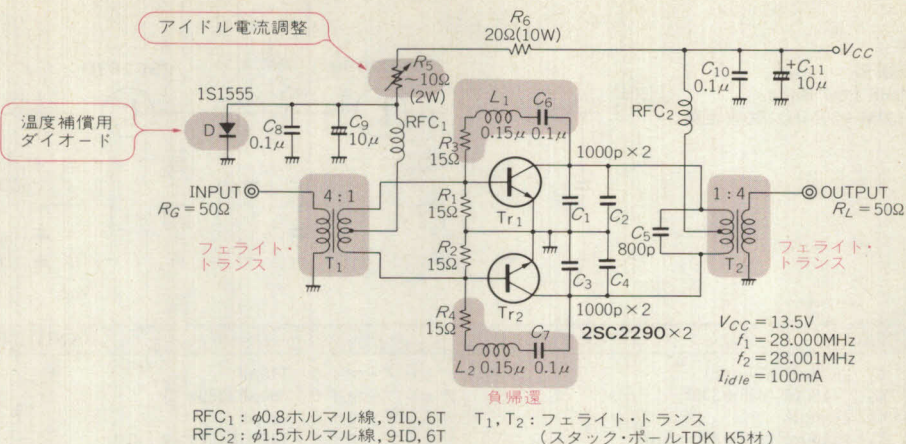
回路構成としては偶数次の高調波を低減させるためと、電源効率の向上のためにプッシュプル動作をさせています。またリニア・アンプであるため、AB 級動作とすることによって、クロスオーバーひずみが生じないようにしてあります。トランジスタ 1 本当たりのアイドル電流は可変抵抗  $R_o$  を調整することにより、50~100mA に設定します。

### ● 回路構成上のポイント

2M~30MHz の約 4 オクターブもの周波数帯域をカバーするため、入出力の広帯域インピーダンス整合にはフェライト・トランスが用いられます。このフェライト材は低損失であって、透磁率 ( $\mu$ ) が 100 以上で



〈図7〉  
HF 帯 100W プッシュ  
プル回路



かつ 100MHz 程度まで一定であることが必要です。

また、周波数特性をフラットにするために負帰還をかけています。図7の  $R_3$ 、 $L_1$  および  $R_4$ 、 $L_2$  がその役目を果たします。

さらに熱暴走を防ぐために、温度補償用としてダイオードをトランジスタの近傍に取り付けます。ダイオードの立ち上がり特性が、トランジスタのベース-エミッタの順方向特性と等しいものが最適です。

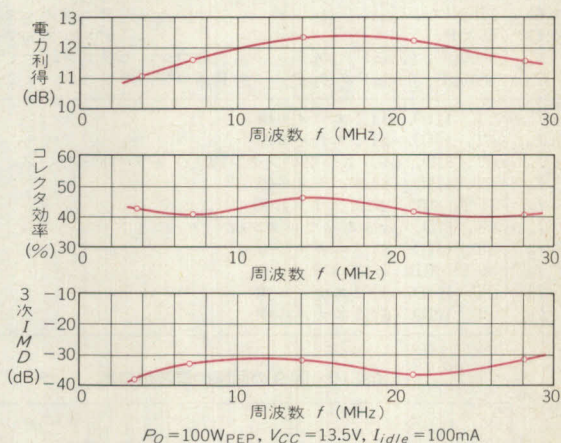
#### ● 得られる特性

図8に電力利得、コレクタ効率、3次IMD(相互変調ひずみ)の周波数に対する特性を示します。

〈田代 章〉

(トランジスタ技術 1988年11月号)

〈図8〉 HF 帯 100W プッシュプル回路の特性



バンド分割により広帯域トランスを省略した

## VHF 帯 80W 出力段回路

2SC2099, 2SC2879

30M~300MHz を VHF と呼びますが、海外においてはその下限近くの周波数帯の 30M~50MHz が移動無線用として割り当てられています。

これは VHF 帯の中でも低い周波数帯であるため、一般に VHF 「Low Band」と呼ばれています。

この周波数帯における FM80W 回路の例を以下に説明します。

図9に回路図を示します。

#### ● バンド分割とライン・アップ

このバンドは中心周波数に対して比較的広い帯域をカバーしなければなりません。しかし、この例では設計方針の一つにロー・コスト指向もあるために HF 帯パワー・アンプで紹介した広帯域トランス整合を用いていないので、1種類の回路定数ではバンド全部をカバーすることが困難です。

ここではバンドをさらに LOW と HIGH の二つに分割しており、回路定数が若干異なります。

ライン・アップはトランジスタ2段構成です。このバンド専用として発表されているトランジスタは少ないので、ここでは HF 帯用のものを用いています。

175MHz 帯用のトランジスタを用いることもできますが、ゲインが高すぎて不安定になったりして、かえって使いにくいこともあります。

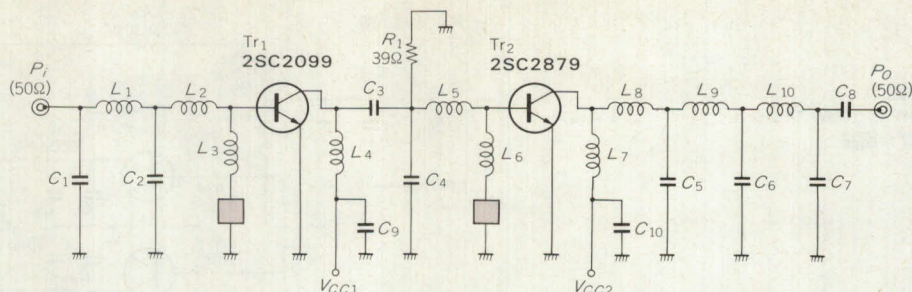
#### ● 回路構成上のポイント

この回路は FM 用であるため、リニア・アンプである必要はありません。そこで電流効率を上げるためにも、ドライバ段、ファイナル段とも C 級動作となっています。

入力および出力回路はローパス・フィルタ形のマッチング・セクションを採用しており、中心周波数にお

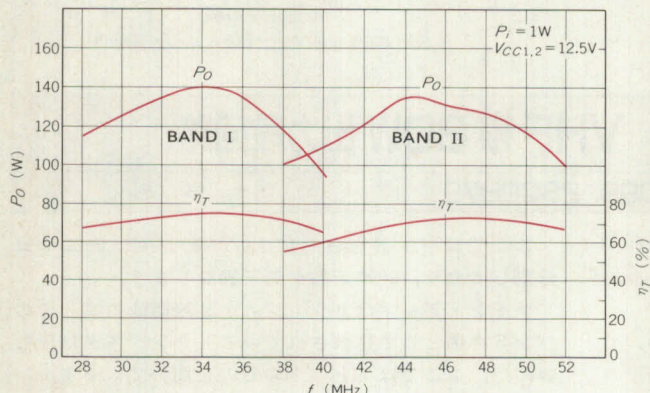


〈図 9〉  
VHF Low Band  
(30M~50MHz) 80W 回路



部品	BAND I (Low)		BAND II (High)	
C <sub>1</sub>	178pF (110+68)	ディップ・マイカ	110pF	ディップ・マイカ
C <sub>2</sub>	1150pF (820+330)	ディップ・マイカ	660pF (330×2)	ディップ・マイカ
C <sub>3</sub>	680pF	ディップ・マイカ	680pF	ディップ・マイカ
C <sub>4</sub>	1160pF (430+220+510)	ディップ・マイカ	1450pF (510×2+430)	ディップ・マイカ
C <sub>5</sub>	1990pF (820+510+330×2)	ディップ・マイカ	1020pF (510×2)	ディップ・マイカ
C <sub>6</sub>	377pF (220+110+47)	ディップ・マイカ	220pF (110×2)	ディップ・マイカ
C <sub>7</sub>	110pF	ディップ・マイカ	47pF	ディップ・マイカ
C <sub>8</sub>	680pF	ディップ・マイカ	680pF	ディップ・マイカ
C <sub>9</sub>	6800pF // 0.05μF // 10μF	貫通コン, セラコン, ケミコン	6800pF // 0.05μF // 10μF	貫通コン, セラコン, ケミコン
C <sub>10</sub>	6800pF // 0.05μF // 10μF	貫通コン, セラコン, ケミコン	6800pF // 0.05μF // 10μF	貫通コン, セラコン, ケミコン
L <sub>1</sub>	3T, 11ID, φ1.2 エナメル線		3T, 11ID, φ1.2 エナメル線	
L <sub>2</sub>	1T, 10ID, φ1.2 エナメル線		1T, 10ID, φ1.2 エナメル線	
L <sub>3</sub>	6T, 6ID, φ0.8 ポリウレタン線+フェライト・ビーズ		6T, 6ID, φ0.8 ポリウレタン線+フェライト・ビーズ	
L <sub>4</sub>	4T, 11ID, φ1.2 エナメル線		4T, 11ID, φ1.2 エナメル線	
L <sub>5</sub>	½ T, 9ID, φ1.2 エナメル線		Cu (2×6×0.3t)	
L <sub>6</sub>	6T, 6ID, φ0.8 ポリウレタン線+フェライト・ビーズ		6T, 6ID, φ0.8 ポリウレタン線+フェライト・ビーズ	
L <sub>7</sub>	3T, 11ID, φ1.2 エナメル線		3T, 11ID, φ1.2 エナメル線	
L <sub>8</sub>	½ T, 9ID, φ1.2 エナメル線		Cu (2×15×0.3t)	
L <sub>9</sub>	2T, 10ID, φ1.2 エナメル線		2T, 10ID, φ1.2 エナメル線	
L <sub>10</sub>	4T, 10ID, φ1.2 エナメル線		4T, 10ID, φ1.2 エナメル線	

〈図 10〉 図 9 の回路の周波数特性

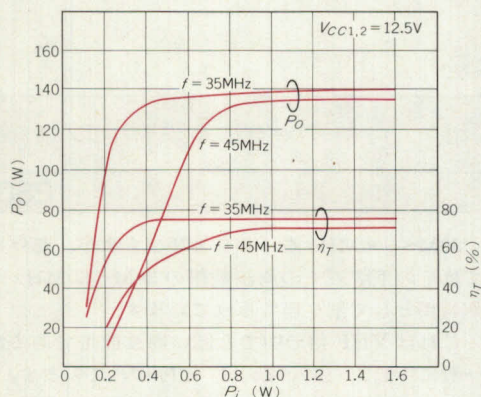


いて置換法にて求めたインピーダンスをもとに**整合回路の基本設計**を行ったものです。

なお、100W もの高周波電力を取り扱うので、使用する回路部品には配慮が必要です。特に出力回路のコンデンサには、耐圧が十分でロスが少なく、かつ温度特性の優れたものを用いないと、トランジスタの能力を十分に引き出すことができません。

ここでは**ディップ・マイカ・コンデンサ**を使用しました。また、この回路例のように複数のコンデンサを並

〈図 11〉 図 9 の回路の入出力特性



列に使用することも、電力容量に余裕をもたせるためには効果的です。

### ● 回路の調整と特性

回路調整の始めの段階では、主要部分には**バリコン**を使用し、総合特性を確認しながら、最適値を求めていくことも有効な手段です。図 9 の回路の定数は最終的に決定された値です。

図 10 に**周波数特性**を、図 11 に**入出力特性**を示します。ドライブ入力 1W で出力 80W を余裕をもって



満足しています。出力側に付くフィルタのロスも考慮しても十分なパワーといえます。また総合効率も約

70 %が実現されています。  
(トランジスタ技術 1988 年 11 月号)

〈田代 章〉

パラレル接続で出力アップを図った **UHF 帯 70W 出力段回路**  
2SC2643, 2SC2783

単体の素子のみでは所要の高周波電力を得られない場合、**プッシュプル回路**で実現する方法があります。あるいは単純に 2 個のトランジスタを並列(パラレル)接続して約 2 倍の出力を得ることもできます。

ここでは、**UHF 帯の業務用無線**に用いられている周波数帯域におけるパラレル回路の例を紹介します。

図 12 に回路図を示します。

● **ライン・アップとトランジスタの選択**

入力 10W にて 80W 出力を目標としたので、出力段には 1 本当たり 40W の出力保証値をもつ 2SC2783 を 2 本、またそのドライバには 25W 出力の 2SC2643 を使用しました。FM 用のため、いずれも **C 級動作**となっています。

ここで使う 2SC2783 の外囲器は図 13 のようになっており、一般のトランジスタの外形とは異なった特殊な形状をしています。

- すなわち、
- (1) 回路基板上のストリップ・ラインと接続しやすいよう、コレクタとベースのリードが板状になっている

(2) ゲインを低下させるインダクタンス分を減らすため、エミッタ・リードが複数枚あるが特徴です。

また取り付ける際は、図 14 のようにすることによって、良好なアースが得られ、ゲイン不足や発振などの不安定現象を防ぐことができます。

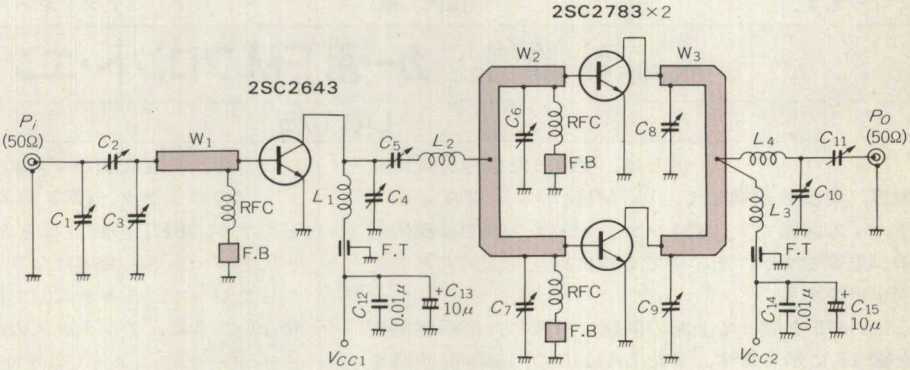
なお、最近の高周波高出力トランジスタは、**負荷変動**(極端な場合はアンテナのオープンやショート)を想定して、破壊に対する強度については設計時において十分考慮されています。また、製造工程においても十分に管理されているため、調整中に壊れるということはほとんどなくなっています。

しかし、この回路の場合はいわば簡略的な**パワー合成法**であるため、2 本のファイナル・トランジスタについては、たとえば片側だけパワーを出していくとかのアンバランスな動作は避けるほうがベターです。

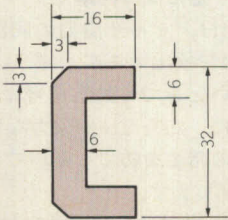
● **放熱設計に注意する**

この回路では入力 8W のとき、約 80W が熱損失となります。放熱フィンでの自然空冷だけで、長期信頼

〈図 12 (a)〉  
UHF 70W  
パラレル回路



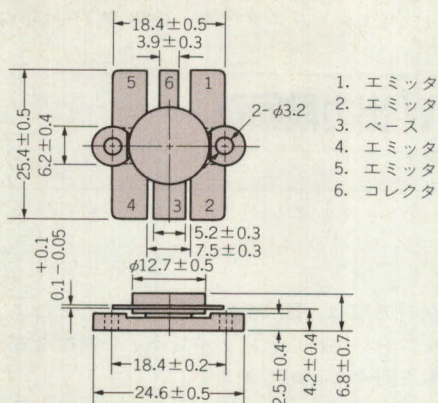
〈図 12 (b)〉 UHF パラレル回路定数表



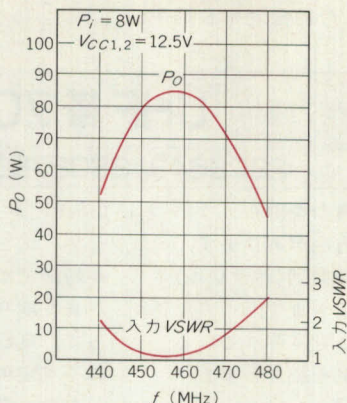
$C_1, C_2, C_3, C_6, C_7$	~20pF セラミック・トリマ
$C_4, C_5, C_8, C_9, C_{10}, C_{11}$	~20pF エア・バリコン
FT	4700pF 貫通コンデンサ
FB	フェライト・ビーズ
$L_1, L_3$	1 mmφ銀メッキ銅線 2 T, 6 ID
$L_2, L_4$	0.5mmt Cu板 幅 5, 1/2 T, 10 ID
RFC	0.8mmエナメル銅線, 10T, 3 ID
$W_1$	マイクロ・ストリップ・ライン 4×12mm
$W_2, W_3$	右図参照
基板	ガラス・エポキシ両面基板 1.6mmt



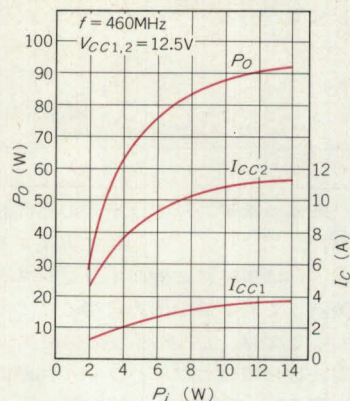
〈図 13〉 2SC2783 の外形図



〈図 15〉 周波数特性



〈図 16〉 入出力特性



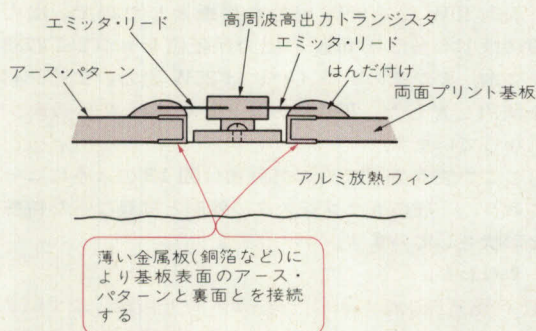
性を満足させるに必要なケース温度以下にするためには、**大きな体積が必要**となりますので、ファンによる強制空冷の手段も必要になります。

ドライバ段の出力は 25～30W 程度です。このパワー・レベルだとモジュールも入手できますので、ドライバだけをモジュール化することによって、はるかに設計が楽になりますし、もっと小さな入力(200mW 程度)でドライブすることが可能となります。

図 15 に周波数特性を、図 16 には入出力特性を示します。20MHz の帯域にて 70W の出力が得られています。また 430M～440MHz にて調整し直すことにより、HAM バンドでのブースタとしての応用も可能となります。

〈田代 章〉

〈図 14〉 2SC2783 の実装法



(トランジスタ技術 1988 年 11 月号)

LA1175と用いて  
相互変調・混変調特性の優れた

## カー用FMフロント・エンド

### LA1175

**FM フロント・エンド**とは、受信した信号を高周波増幅、周波数変換して、10.7MHz の**中間周波にして出力**する回路です。FM フロント・エンドでは混信対策が重要ですが、その中でも特に**相互変調妨害と混変調**が重要です。

LA1175 を使って上記の問題に対策した応用回路例を図 17 に示します。また LA1175 の内部等価回路を図 18 に示します。

RF アンプは、混変調対策および高感度受信ができることと、効果的に AGC をかけられることなどの理由で、**デュアル・ゲート MOS FET** が一般に使用されています。ここでは**3SK181** を使用しています。

RF アンプの出力は **LA1175** のミキサ入力の 5 ピンに入ります。そして、**ダブル・バランスト・ミキサ**において IC 内で発生させた発振周波数とミキシングし、8, 9 ピンに接続させる同調回路から IF 周波数が取り出され、IF アンプを通して 15 ピンからセラミック・フィルタを通して、つぎの IF 復調ブロックへ行きます。

ここで、相互変調ひずみの発生する可能性は、RF アンプのパラクタ、FET の入力およびミキサ入力などですが、FET の特性などが向上してきたため**ミキサ入力がいちばん問題**になります。

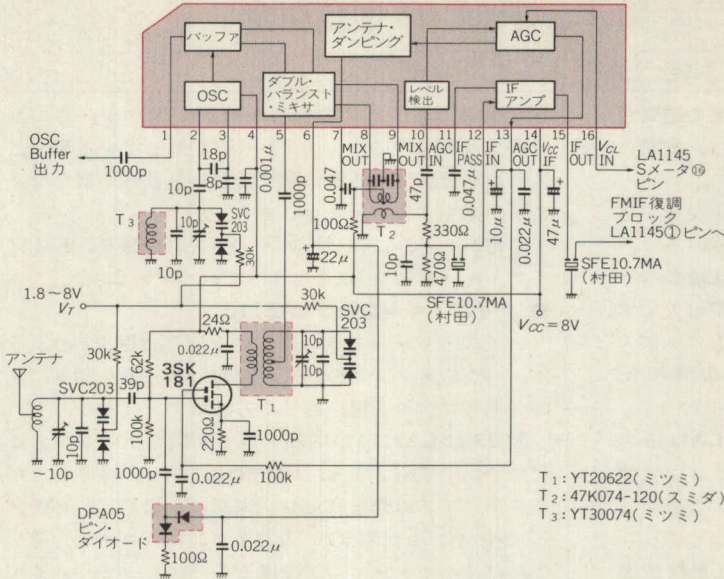
したがって、ミキサ入力で相互変調ひずみを発生させないように、アンテナ入力のパラクタに**ピン(PIN)ダイオードによる AGC**をかけ、さらに MOS FET のゲートに AGC をかけています。**AGC**(Automatic Gain Control)は、入力信号に応じて回路の利得を制御して出力を一定に保つ回路です。

AGC の検出は、ミキサ出力の同調回路の 2 次側より 10 ピン入力で検出する**広帯域 AGC 方式**ですから、希望信号の弱いときでも妨害信号により AGC がかけられます。特に、**妨害電波**が強力な場合は効果的に相互変調ひずみの発生を防ぐことができます。このようすを図 19 に示します。

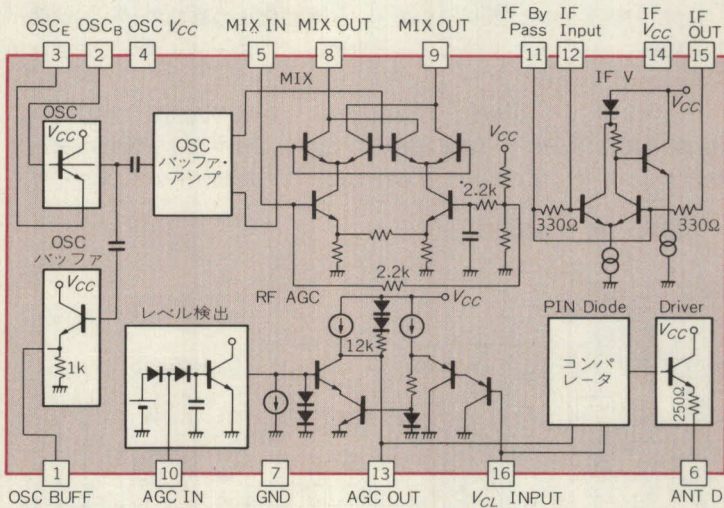
ところで、広帯域 AGC の場合は、AGC のかけ過ぎで極端な場合、希望信号が消滅してしまうことがあ



〈図 17〉 LA1175 を用いた FM フロント・エンド



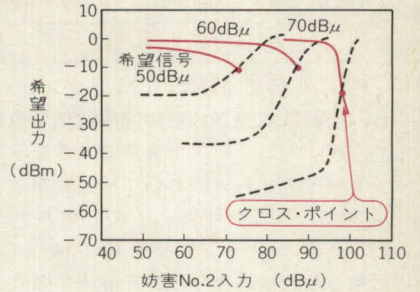
〈図 18〉 LA1175 の内部等価回路



りますが、LA1175 の場合は FM IF 検波 IC からの狭帯域信号を 16 ピンに入れることにより、AGC 量をこの狭帯域信号に比例させることができますので(キード AGC)、このような妨害信号による感度低下も防ぐことが可能になります。この効果を図 20 に示します。この図は、縦軸に希望局の S/N、横軸に希望局と妨害局との周波数差を示し、妨害局のアンテナ入力、120dBμ 一定とし、希望局が 40dBμ、50dBμ、60dBμ 時の S/N を示したグラフであり、キード AGC の効果がよく出ています。

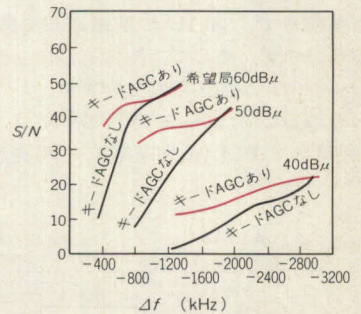
〈上岡利雄〉

〈図 19〉 妨害波の変化による希望信号出力の変化



赤線  
希望  $f_D = 99.1\text{MHz}$   
 $f_m$ (変調周波数) = 400Hz 100% 変調  
妨 1  $f_{u1} = 97.9\text{MHz}$  無変調 132dBμ (SG open)  
妨 2  $f_{u2} = 96.7\text{MHz}$  無変調 132dBμ (SG open)  
破線  
希望  $f_D = 99.1\text{MHz}$  無変調  
妨 1  $f_{u1} = 97.9\text{MHz}$  無変調 132dBμ (SG open)  
妨 2  $f_{u2} = 96.7\text{MHz}$  1kHz 100% 変調

〈図 20〉 キード AGC の効果(強電界妨害局下における感度抑圧)



希望局  $f_D = 99.1\text{MHz}$   
400Hz 100% 変調  
妨害局  $f_u$ : 120dBμ ANT 入力一定  
 $\Delta f = f_D - f_u$

#### 参考文献

- 石黒和久, 碓氷旭, 田中寛次; セラミック共振子のリアクタンスを正負方向に自動調整し FM ステレオ復調 IC を無調整に, 日経エレクトロニクス, 1984 年 1 月 30 日号.
- 黒川晃; FM チューナ・マニュアル, p.43, ラジオ技術社, 昭和 53 年.
- 田中寛次, 小川隆一; SANYO TECHNICAL REVIEW VOL.13 No.1, 車載 FM チューナ用 IC.
- 管山栄; 三洋半導体技術資料 No.79, 混変調特性向上の AM チューナ用 IC LA1135.
- 鈴木五郎他; トランジスタ高周波回路, 日刊工業新聞社, 昭和 43 年.
- トランジスタ技術 SPECIAL No.19, 特集 ポー・エレクトロニクス入門

(トランジスタ技術 1987 年 11 月号)



## LA1145, LA2110, LA3430

FM IF 復調回路は、FM フロント・エンドで選局され、周波数変換された中間周波信号を増幅し、復調して、FM ステレオ信号を得る働きを示します。

カー・チューナにおいては自動車エンジンなどのパルス性ノイズや外来ノイズを除去する必要があるため、FM ノイズ・キャンセラ用 IC を使って、FM 復調信号に乗ったパルス・ノイズを除去することが不可欠です。

図 21 に FM IF 検波用 IC LA1145、FM ノイズ・キャンセラ用 IC LA2110、FM ステレオ復調用 IC LA3430 を使った応用回路例を示します。

FM フロント・エンドからの IF 信号は、LA1145 の入力 1 ピンに入ります。そして、9 ピン、10 ピンに位相用 L と共振回路を含んだ中間周波トランスを使って、90°位相をずらした信号とでかけ算をして 7 ピンから FM 検波出力を得ます。ここで得られた検波出力は、FM コンポジット信号で、

$$S = L + R + (L - R) \sin \omega_c t + P \sin(\omega_s/2) t$$

なる信号で、L+R は左(L)と右(R)の和信号、L-R は差信号で、38kHz の副搬送波を搬送波抑圧変調したものです。そして、副搬送波の 1/2 の周波数のパイロット信号が加えられています。

このコンポジット信号を FM ステレオ復調用 IC LA3430 で PLL(位相同期ループ)を利用したスイッチ

ング復調で、L と R の信号を復調しますが、このコンポジット信号にパルス・ノイズが乗っている場合、ステレオ復調される前に除去しないとさらに新たなノイズが発生することになります。

したがって、このパルス・ノイズの除去を、FM ノイズ・キャンセラ IC LA2110 で行っています。

### ● ノイズ・キャンセラ LA2110

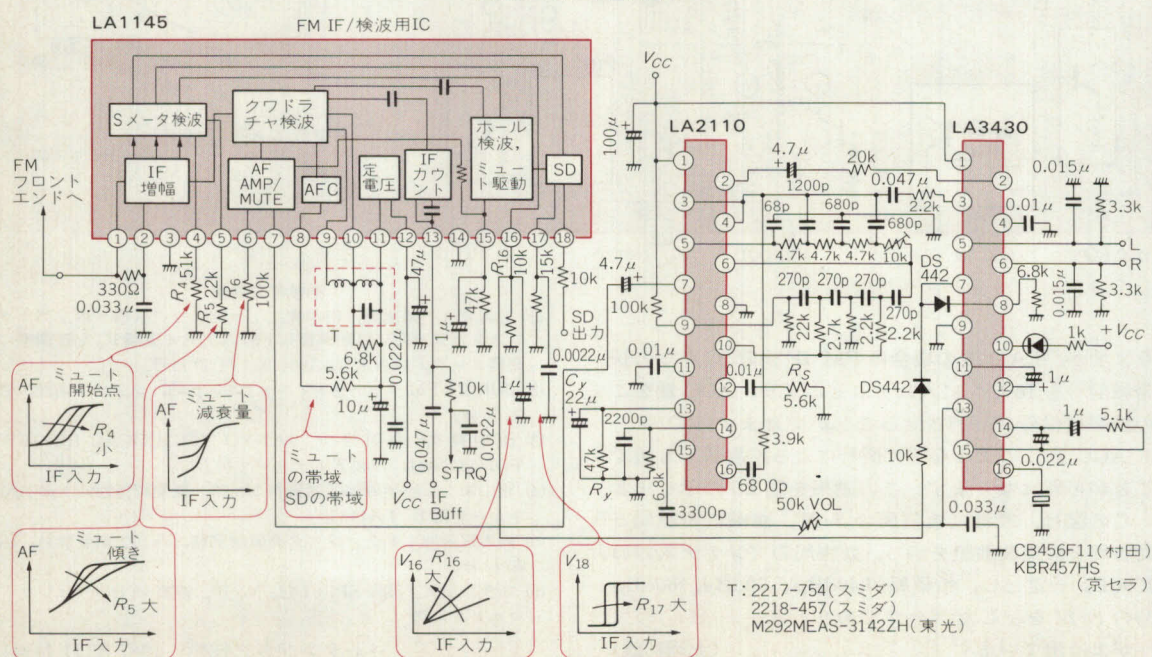
ノイズ・キャンセラの基本的な原理は図 22 のように、パルス・ノイズの到来の直前にゲートを開き、直前の信号レベルを保持させる方法です。

図 23 に LA2110 の内部ブロック図を示します。これについて説明すると、FM 検波によって得られたパルス・ノイズの含まれたコンポジット信号は、FM ノイズ・キャンセラ用 IC の入力 7 ピンに入ります。そして、ハイパス・フィルタを通ることによって、ノイズ検出され、ゲートを開きます。

一方、遅延回路を通ったコンポジット信号は、5 ピンに入りパルス・ノイズの発生の直前でゲートが開かれて前値ホールドされ、パルス・ノイズが除去されます。

しかし、音声信号のような低周波成分に対しては、ゲート時間は短いのですが、パイロット信号にとってはやや長くなるために、この前値ホールドはパイロツ

〈図 21〉 FM IF 復調回路





ト信号の欠落となります。これは、**ステレオ・コンボジット信号のひずみ**となり、耳ざわりな新たなノイズを発生することになります。

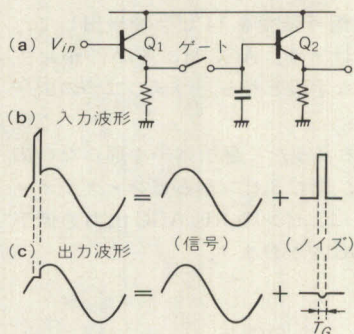
したがって、パイロット信号については、遅延回路を通った後で、ゲート回路を通さないで、**FM ステレオ復調用 IC**の3ピン(パイロット入力)へ入れて、位相同期した38kHzの**再生副搬送波**を作ります。

そして、(L+R)和信号と(L-R)差信号については、上記の位相同期した38kHzの再生副搬送波を1/2分周した信号を、LA3430の13ピンより取り出し、パイロット・キャンセル用の信号として利用し、LA2110の15ピンに入れて、パイロット信号をキャンセルしたコンボジット信号として2ピンより取り出し、LA3430のFMステレオ・コンボジット入力2ピンの入力とします。

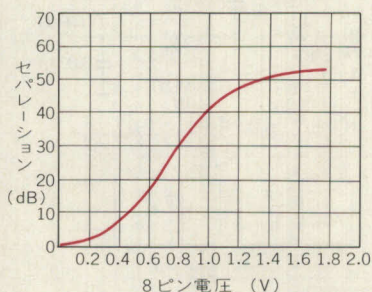
### ● ステレオ復調用 IC LA3430

つぎに、ステレオ復調用 IC LA3430 について説明

〈図22〉 ノイズ・キャンセラの基本原理



〈図25〉 LA3430のSNC特性



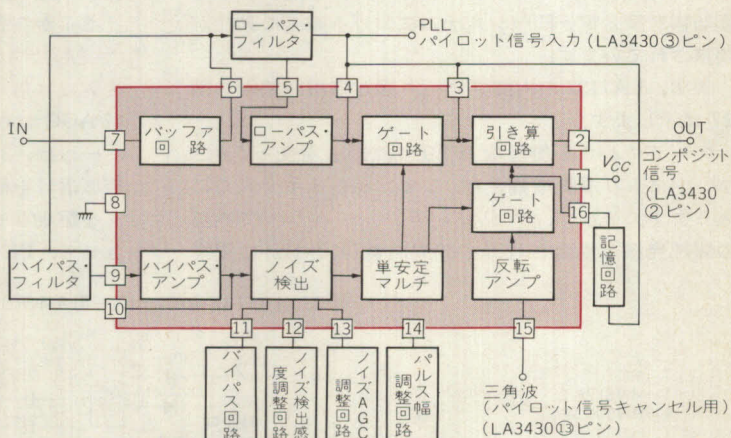
します。図24にLA3430の内部ブロック図を示します。

3ピンのPLL入力によって、コンボジット信号中のパイロット信号を抽出し、これに位相同期した38kHzの**再生副搬送波**を作ります。この再生38kHzとコンボジット信号とのかけ算により、(L-R)の差信号を再生し、これと(L+R)信号とをマトリクス回路に通して、左信号Lと右信号Rを得ることになります。

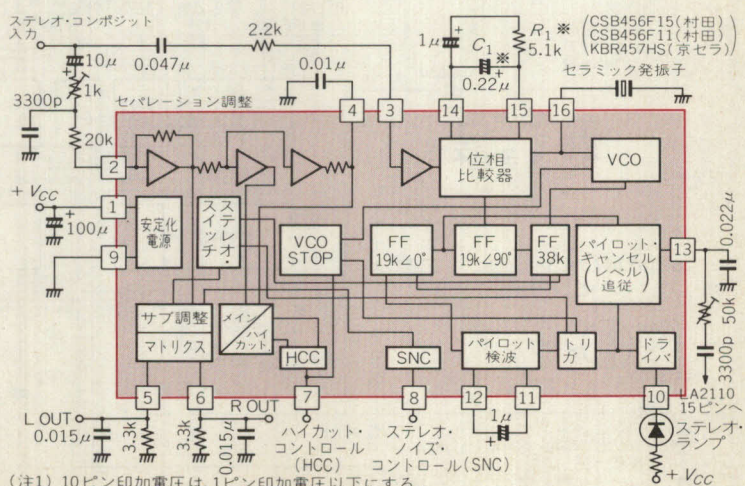
LA3430のPLL方式では、**VCO**(電圧制御発振器)の発振周波数の初期設定を、**CR**発振器を使わずに、**シンメトリカル・リアクタンス回路**を導入することによって、セラミック共振器が使用可能となり、無調整化を実現したものです。

LA3430は、そのほかにカー用FMチューナとして、つぎに述べるスキップ・ノイズの対策に有効な手段である、**ステレオ・ノイズ・コントロール(SNC)**と、ハ

〈図23〉 LA2110の内部ブロック図



〈図24〉 LA3430の内部ブロック図



(注1) 10ピン印加電圧は、1ピン印加電圧以下にする。



HCCは耳につきやすい高域ノイズを落とすために、高域の周波数特性を落とすものです。7ピンの電圧をコントロールすることで、図26のようなハイカット特性を出しています。

〈上岡利雄〉

ローカット率 (V)	ハイカット率 (%)
0.0	100
0.2	95
0.4	80
0.6	55
0.8	25
1.0	10
1.2	5
1.4	0

(トランジスタ技術 1987年11月号)

一つは、3ピンからまったく選択素子を通らない広帯域信号を検出して、同じ3ピンからピン・ダイオードを駆動させ、さらに1ピンのRF AGC出力を低下させて、FETにAGCをかけます。

The diagram illustrates the internal circuitry of a portable radio receiver, centered around a multi-pin integrated circuit (IC). The IC is shown with a red background and various functional blocks labeled within it, including RF AGC, ANT DUM, MIX, RF AGC SW, IF, IF AGC SW, DET, IF COUNT Buff, IF AGC, SD, SIGNAL METER, TWEET PRO, and OSC Buff. The IC has 20 pins, with connections for Vcc, Vtr, and various control signals.

Key components and connections include:

- Power Supply:** Vcc (9V) and Vtr (1.2V-8V) are connected to the IC. A 100k resistor and a 20pF capacitor are connected to Vtr. A 430pF capacitor is connected to the OSC Buff pin.
- Antenna and Tuning:** An antenna is connected to the RF AGC pin. A 100μH inductor and a 2SK715 transistor are connected to the RF AGC pin. A 3.3mH inductor and a DPA05 pin diode are connected to the RF AGC pin. A 510Ω resistor and a 51k resistor are connected to the RF AGC pin.
- Control and Signal Processing:** The IC includes various control and signal processing blocks, such as the TWEET PRO, SIGNAL METER, and DET. The TWEET PRO block is connected to the TWEET PRO pin. The SIGNAL METER block is connected to the SIGNAL METER pin. The DET block is connected to the DET pin.
- Output and Muting:** The IC has an OUTPUT pin connected to a 0.033μF capacitor. A MUTE IN pin is connected to a 2.4k resistor. A STOP RQ pin is connected to a 51k resistor. An IF BUFF pin is connected to a 0.022μF capacitor. A MUTE pin is connected to a 0.022μF capacitor.



もう一つは、5ピンのミキサ入力から検出して、同様に3ピンと1ピンのAGC出力を動作させるものです。ここで、LA1137を使用した図27の回路で得られる基本特性を図28に示します。

つぎに、LA1137の電子同調システムの確実な動作に対する対応について述べてみます。

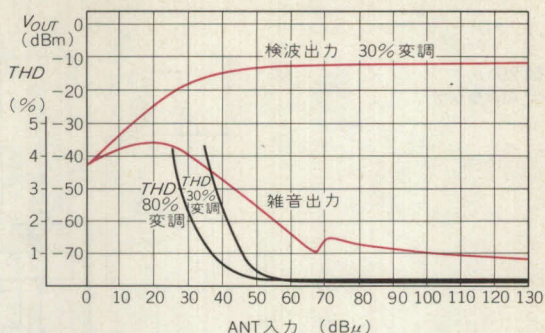
LA1137は、オート・サーチ停止信号が18ピンより出力されますが、この感度調整が9ピンの外付け抵抗により独立に変えられます。

13ピンはIFカウンタ用のパッファ出力で、入出力ピンを兼ねており、DC5Vの印加によって、13ピンにIF周波数(450kHz)が出てきます。 <上岡利雄>

#### ●参考文献●

- (1) 三洋電機, LA1137 データシート。
- (2) トランジスタ技術 SPECIAL No.19, 特集 ボビー・エレクト

〈図28〉 図27のチューナ回路の基本入出力特性



ロニクス入門。

(トランジスタ技術 1987年11月号)

## IC 1個でできる AM ラジオ

### TA7641BP

このAMラジオは、電池2本(3V)で動作するもので、高インピーダンスのイヤフォンを駆動するだけならば、電池が非常に長持ちするものです。

ここに使ったICは、AMラジオに必要な機能のすべてが1チップに収まっているTA7641BP(東芝)です。内部構成は、自励式コンバータ、IFアンプ、AM検波回路、パワー・アンプからなっています。パッケージはDIP16ピンですが、サフィックスがBFのフラット・パッケージもあるので、こちらを使うとかなり小さなラジオを作ることができます。

このICの特徴は、なんといっても消費電流が非常に少ないということです。 $I_{ccq}$ は1.6mA( $V_{cc}=3V$ )で、通常ならパワー・アンプのアイドル電流だけでもこの

値には収まりません。このような低消費電流を実現できたのは、コンバータを自励式にして、さらにそれをハイ・インピーダンス設計にしたためです。また、パワー・アンプにユニークな回路を用いて、アイドル電流を極限まで絞り込んでいるおかげです。なおパワー・アンプ出力段の動作そのものはB級動作ですので、出力が出ているときは通常のB級アンプと同様の電流を消費します。

回路は図29のとおりです。スピーカが $V_{cc}$ との間に接続されているのは、ブートストラップのケミコンを利用して、出力のカップリング・コンデンサを省略しているためです。この回路での最大出力( $THD=10\%$ )は100mWです。

## トランジスタ技術 SPECIAL No.20

今回はパソコン用アナログ回路シミュレータ・ソフトをうまく使いこなす特集です。アナログ回路の難しさは、有形無形の目に見えないパラメータが数多く存在することです。したがって、これまでのアナログ回路というと、まずは実験で確かめてから…というのが一般的でした。しかし、実験はよくも悪くもたまたまというケースが多いものです。そこで回路設計の確度を上げるために利用

好評発売中

B5判 約160頁  
定価1,540円(税込)

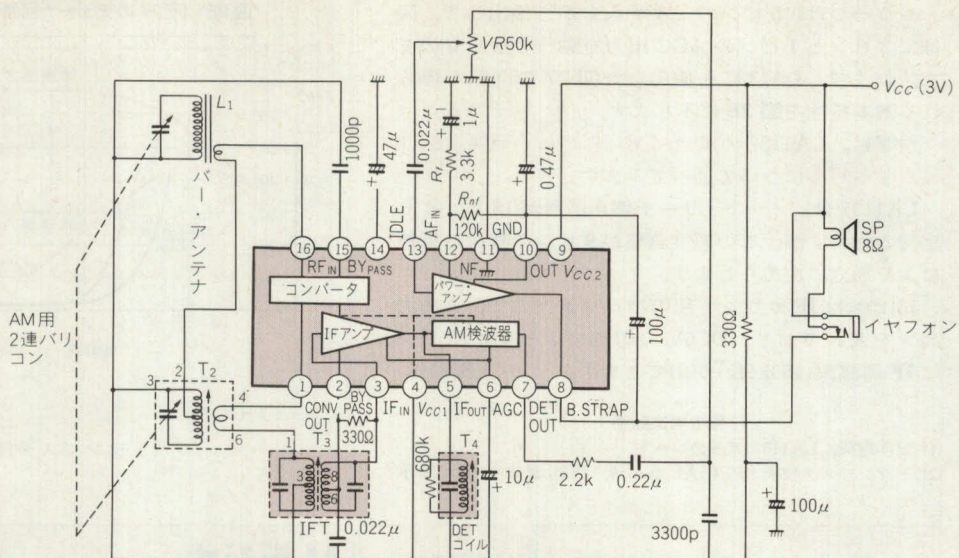
特集 アナログ回路シミュレータ活用術  
ゲーム感覚の回路設計を体験しよう

PC9801/PC/AT用ディスクを特別頒布

されているのが“シミュレーション”です。もちろん、シミュレータを使うときには、その限界や、回路設計の基礎を頭に入れておかななくてはならないのは当然のことですが、シミュレーションした回路は、増幅回路、フィルタ回路、発振回路、変換回路、電源回路、演算回路です。頒布するディスクにはこれらの回路が入っていますので、簡単にアレンジして使えます。

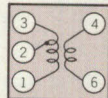


〈図 29〉  
3V AM ラジオ



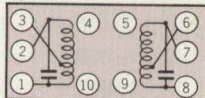
(a) 回路

T<sub>2</sub> OSC コイル



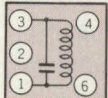
(底面)

T<sub>3</sub> AM IFT



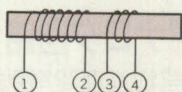
(底面)

T<sub>4</sub> 検波コイル



(底面)

L<sub>1</sub> アンテナ・コイル



バリコン V<sub>CC</sub> (16) OSCコイル  
PIN

(b) コイル・データ

f (kHz)	L(μH)	Q <sub>0</sub>	巻 数		
			1-2	2-3	4-6
796	360	125	92 1/2	8	10 1/2

スミダ電機(株)

0187-145-092または相当品

ワイヤ: 0.08mmφUEW

C <sub>0</sub> (pF)		f (kHz)	巻 数			
1-2	7-8		1-2 7-8	1-3	2-3	6-7 6-8
150	150	455	65	80	148	196 32

スミダ電機(株)

48-037-921または相当品

ワイヤ: 0.08mmφUEW

C <sub>0</sub> (pF)	f (kHz)	Q <sub>0</sub>	巻数
1-3	1-3	1-3	
180	455	65	142

スミダ電機(株)

0130-108-016または相当品

ワイヤ: 0.08mmφUEW

f (kHz)	L(μH)	Q <sub>0</sub>	巻 数	
1-2	1-2	1-2	1-2	3-4
796	625	200MIN	105	20

コ ア: 12mmφ×53mmφ

ワイヤ: USTC-0.1mmφ

先に述べたように、この IC の最大の特徴である低消費電流を活かすには、スピーカは使わずに高インピーダンス (200Ω 以上) のイヤフォン専用ラジオとすることです。負荷をこのような高インピーダンス負荷に限定することで、出力が出ているときでも電流はわずかな値になり、さらに I<sub>CCQ</sub> を小さく設定できます。

I<sub>CCQ</sub> を小さくするには、14 ピンと GND の間に数十

kΩ～数百 kΩ の抵抗を入れればよく、クロスオーバーひずみが出ない程度の値にします。こうすることにより、単 4 電池でも 200 時間以上、電池寿命がもつようになります。

〈更科 一〉

#### ◆引用文献◆

(1) 東芝音響用リニア IC, 1985 年 1 月, pp.478-486.

(トランジスタ技術 1985 年 7 月号付録)



# IC2個でできる FM/AM ラジオ

## TA7358P, TA7747P

ここでは電池2本で動作するFM/AMラジオを紹介し、FM/AMラジオというけっこう複雑な感じがしますが、できるだけ簡単な回路で実現するために、ステレオMPXは省略したので、IC2個で構成することができます。FM放送をステレオでは受信できませんが、クロック・ラジオや小型ラジオなどの用途ならばこれで十分です。

用いたICは、FMフロント・エンド用のTA7358P/APと、それ以外の部分がすべて納まっているTA7747P(東芝)です。ともに最低動作電圧は1.8V以下まで保証されているので、電池を2本(3V)使用するラジオに最適です。

TA7358P/APは、従来のフロント・エンドICにくらべて、強入力特性、スプリアス特性、不要輻射など

が改善されており、さらにロー・ノイズ設計となっています。

TA7747Pは、AM RFアンプ、AM局部発振器、AM MIXER、FM/AM IFアンプ、FM/AM検波器、AM AGC回路、オーディオ・パワー・アンプが入っており、FMフロント・エンドさえ接続すれば、FM/AMラジオになるものです。AM強入力特性に優れ、またパワー・アンプは4Ωのスピーカを直接ドライブできるものです。

本機の回路図を図30に示します。FM/AMの切り替えは2回路のスイッチを用いています。TA7358P/APは、AM時は電源を切っています。また、TA7747PはFM/AMの切り替えは3ピンで行っており、FM時はオープン、AM時はGNDに落としてい

〈図30〉 FM/AM ラジオ

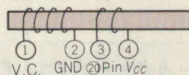
L<sub>1</sub>: FM RF コイル



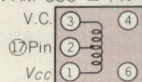
L<sub>2</sub>: FM OSC コイル



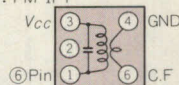
L<sub>3</sub>: AM ANT コイル



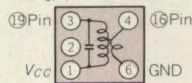
L<sub>4</sub>: AM OSC コイル



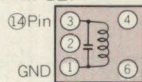
T<sub>1</sub>: FM IFT



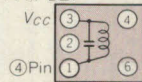
T<sub>2</sub>: AM IFT



T<sub>3</sub>: AM DET



T<sub>4</sub>: FM DET



f (MHz)	L(μH)	Q <sub>0</sub>	TURNS	WIRE (mm)
100	0.07	100	2.25	0.5UEW

f (MHz)	L(μH)	Q <sub>0</sub>	TURNS	WIRE (mm)
100	0.05	100	1.75	0.5UEW

f (kHz)	L(μH)	Q <sub>0</sub>	TURNS	WIRE (mm)
796	600	200	95	17

コア: 10mmφ×80mm

f (kHz)	L(μH)	Q <sub>0</sub>	TURNS	WIRE (mm)
796	268	90	13	75

ミツミ電機(株) YT20582 または 相当品  
スミダ電機(株) 2157-2239-213A

f (MHz)	C <sub>0</sub> (pF)	Q <sub>0</sub>	TURNS	WIRE (mm)
10.7	82	90	2	11

ミツミ電機(株) YT20580  
スミダ電機(株) 2153-414-041 (5821)

f (kHz)	C <sub>0</sub> (pF)	Q <sub>0</sub>	TURNS	WIRE (mm)
455	330	110	6	114

ミツミ電機(株) YT20583

f (kHz)	C <sub>0</sub> (pF)	Q <sub>0</sub>	TURNS	WIRE (mm)
455	330	105	127	

スミダ電機(株) 2150-2083-061 (4838)

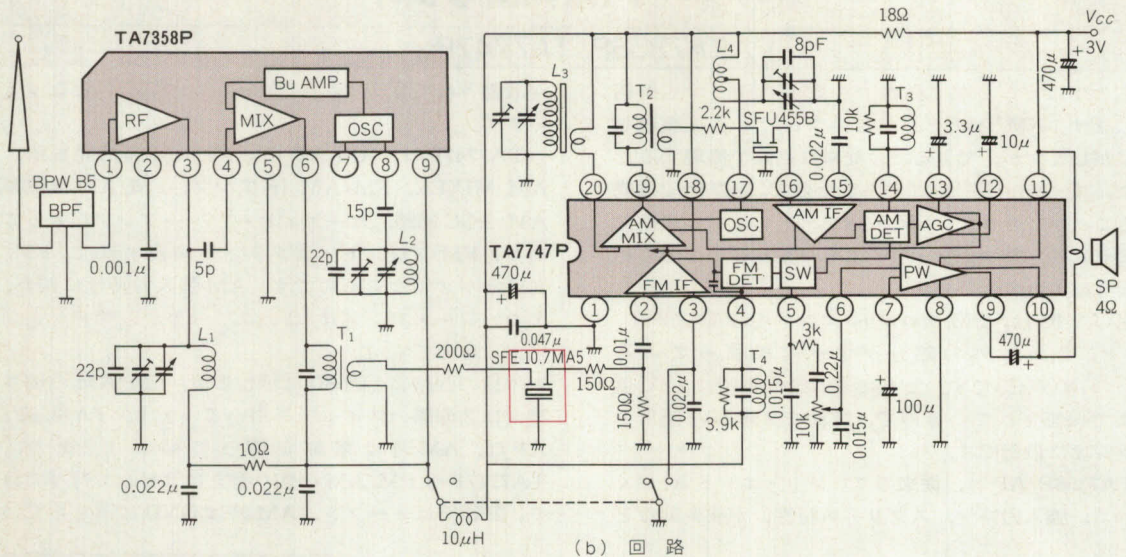
f (MHz)	C <sub>0</sub> (pF)	Q <sub>0</sub>	TURNS	WIRE (mm)
10.7	150	100	10	

スミダ電機(株) 2153-4095-331

(a) コイル・データ



〈図30〉 FM/AM ラジオ(つづき)



ます。

実装上の注意点としては、5ピン出力(検波出力)にはキャリアが混じっているので、ツイートの点から、5ピン-GND間の $0.015\mu\text{F}$ はできるだけループを小さくする(短距離でGNDに落とす)ことです。また、6ピン-GND間の $0.015\mu\text{F}$ も同様です。さらにスピーカの配線(大電流が流れる部分)は、高周波部(特にAMパー・アンテナ)から距離を離す必要があります。

なお、TA7358PとTA7358APはまったく同じように使えますが、TA7747PとTA7747Fはパッケージの違い以外にピン配置なども多少違ってしますので差し替えはできません。

〈更科 一〉

●引用文献●

(15) 東芝音響用リニアIC, 1985年1月, pp.333~350, pp.567~582, pp.646~647.

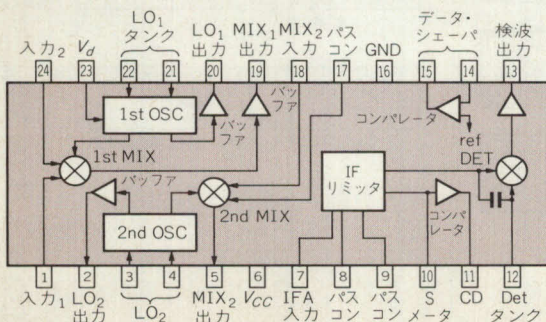
(トランジスタ技術 1985年7月号付録)

## 専用IC MC3362/MC145160を用いた 46/49MHz コードレス・テレホン受信回路

### MC3362, MC145160

図31にブロック図を示すモトローラのMC3362を用いると、46/49MHzコードレス・テレホンの受信回路が簡単にできます。またPLLを使用し、全部で10chの周波数を実現します。PLL回路には図32に示す、モトローラの46/49MHzコードレス・テレホン

〈図31〉 MC3362のブロック図



〈図32〉<sup>(1)</sup> MC145160のブロック図

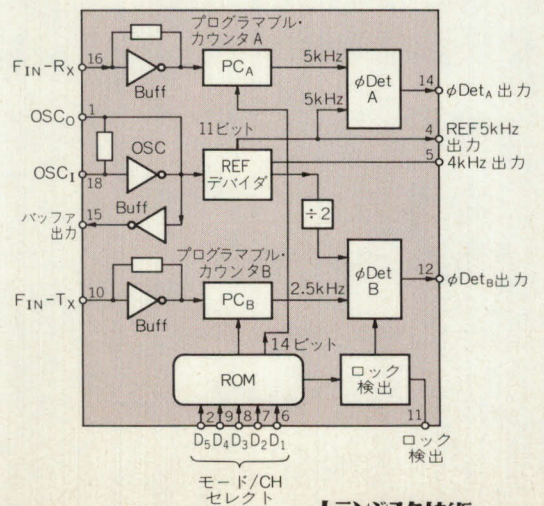
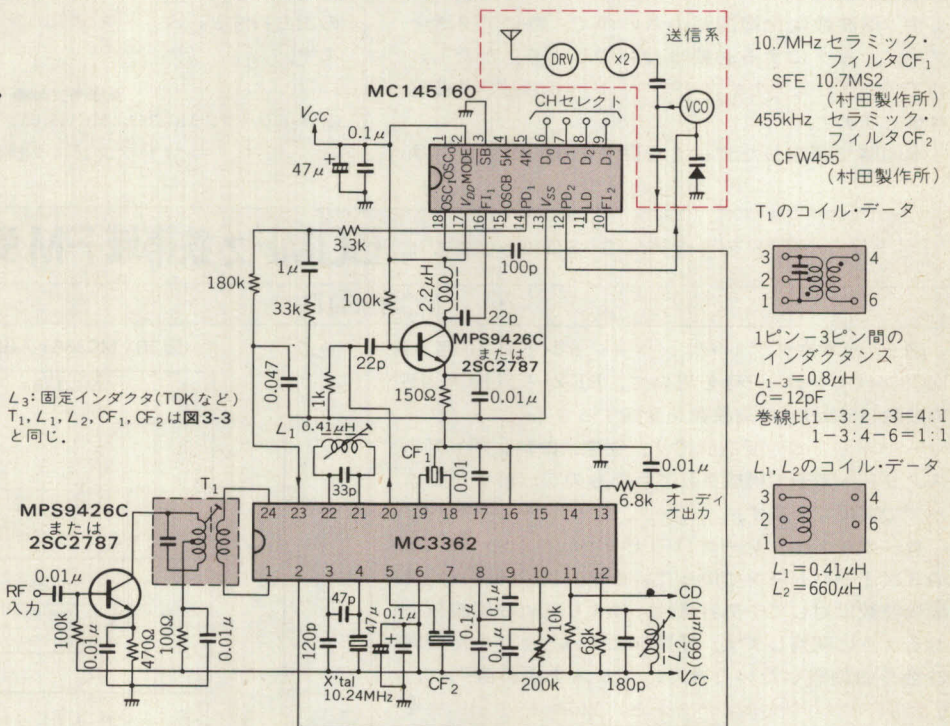


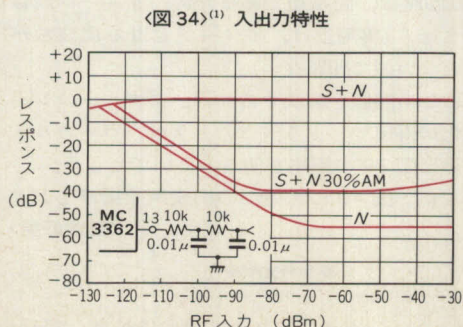


図 33 が MC3362 と組み合わせて用いた応用回路で、

〈图 33〉



〈表2〉 MC145160のCHセレクト表

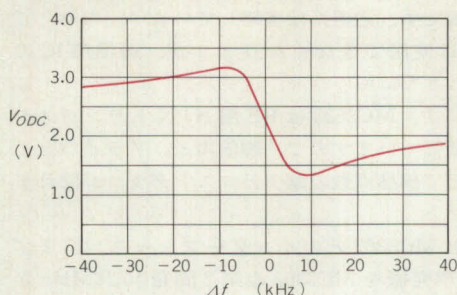


CH セレクト				CH	$T_X$ (MHz)	$R_X$ (MHz)	$R_{XVCO}$ (MHz)	$T_{XVCO}$ (MHz)
D <sub>3</sub>	D <sub>2</sub>	D <sub>1</sub>	D <sub>0</sub>					
0	0	0	1	1	46.610	49.670	38.975	23.3050
0	0	1	0	2	46.630	49.845	39.150	23.3150
0	0	1	1	3	46.670	49.860	39.165	23.3350
0	1	0	0	4	46.710	49.770	39.075	23.3550
0	1	0	1	5	46.730	49.875	39.180	23.3650
0	1	1	0	6	46.770	49.830	39.135	23.3850
0	1	1	1	7	46.830	49.890	39.195	23.4150
1	0	0	0	8	46.870	49.930	39.235	23.4350
1	0	0	1	9	46.930	49.990	39.295	23.4650
1	0	1	0	10	46.970	49.970	39.275	23.4850

(注) ベース・セット (モード=1 の場合)



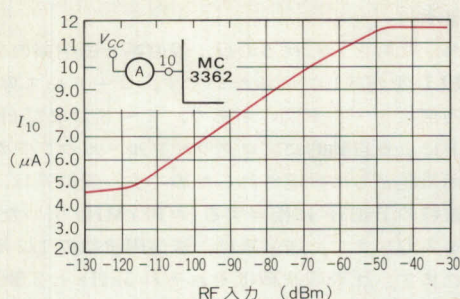
〈図 35〉<sup>(1)</sup> 出力電圧対 $\Delta f$



必要があり、この値は数  $k\Omega$  くらいがよいでしょう。位相比較出力はこの例ではパッシブ 2 段でフィルタします。周波数変化範囲が小さいので、特にアクティブ・フィルタにする必要はないでしょう。ただし、**VCO の PLL 入力のスプリアスとレベルは注意**する必要があります。

本回路で測定したデータを図 34～図 35 に示しま

〈図 36〉<sup>(1)</sup> S メータ特性



す。 $S/N=20\text{dB}$  において入力は約  $2\mu\text{V}$ 、 $S/N$  は  $40\text{dB}$  以上が得られています。図 35、図 36 に検波段の出力特性と、**S メータ端子のシンク電流特性**を示します。

〈菅原昭治〉

◆参考文献◆

(1) モトローラ、MC3362、MC145160 データシート。

(トランジスタ技術 1987 年 10 月号)

MC3361P を用いたダイレクト・コンバージョン方式

## 50MHz 狭帯域 FM 受信回路

### MC3361P

図 37 は本来ダブル・コンバージョン FM IF 用 IC **MC3361** (モトローラ) を用いて、RF から直接第 2IF 周波数 ( $455\text{kHz}$ ) に周波数を変換する**ダイレクト・コンバージョン方式の受信機**です。従来、2 チップ+ディスクリート素子で構成されていたものが、わずか 1 チップで実現できます。

ローカル・オシレータ (1-2 ピン) は、**コルピッツ型**の 3 次オーバートーンで使っています。 $L_3$  の同調は、発振周波数に対してやや容量性、つまり低めの周波数になるように調整します。発振しにくいとき、または周波数を微調整したいときは、クリスタルに直列に、**0.数  $\mu\text{H}$  ぐらいのインダクタ**と、**数  $10\text{pF}$  のトリマ**を入れるとよいでしょう (前者は、クリスタルの共振時のインピーダンスを下げる意味で効果があり、後者は、いわゆる VXO)。

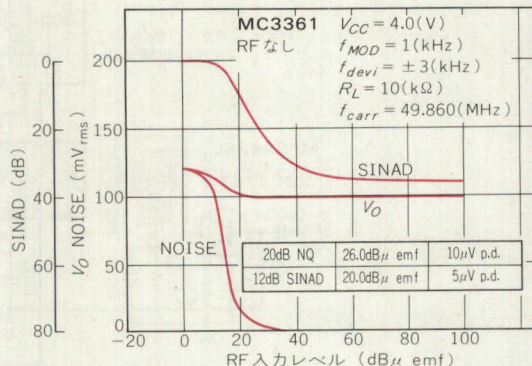
発振レベルは、ディスクレートの従来のものにくらべて相当低くなっています。

$L_4$  は**クワッドラチャア検波用のコイル**です。ひずみが少なく、出力の大きい点にセットすればよいでしょう。スケルチは、通常の使用ではこの回路で十分だと思います。

そのほかについては、図 37 を参照してください。

図 37 の回路で得られた特性を図 38 に示します。ただし、これは RF アンプなしのときのデータです。RF アンプをつけると、**20dB NQ** (Noise Quieting, ノイズ抑圧感度) は、**0dB  $\mu\text{emf}$**  ( $0.5\mu\text{V p.d.}$ )、

〈図 38〉 MC3361 入出力特性



**12dB SINAD 感度** (Signal Noise and DistorSion) は、**-5dB  $\mu\text{emf}$**  ( $0.28\mu\text{V p.d.}$ ) が得られました。

図 37 の回路は、簡易型であるため、イメージ比は期待できません (実用上は、イメージとなる周波数が使われていないので問題ない)。

基本的にこの問題を解決するには、ダブル・コンバージョン化が得策でしょう。このときは、ローカル・オシレータに図 39 の回路を使うとよいでしょう。

参考までに、図 40 に送信部の構成例を掲げておきます。

〈針倉好男〉

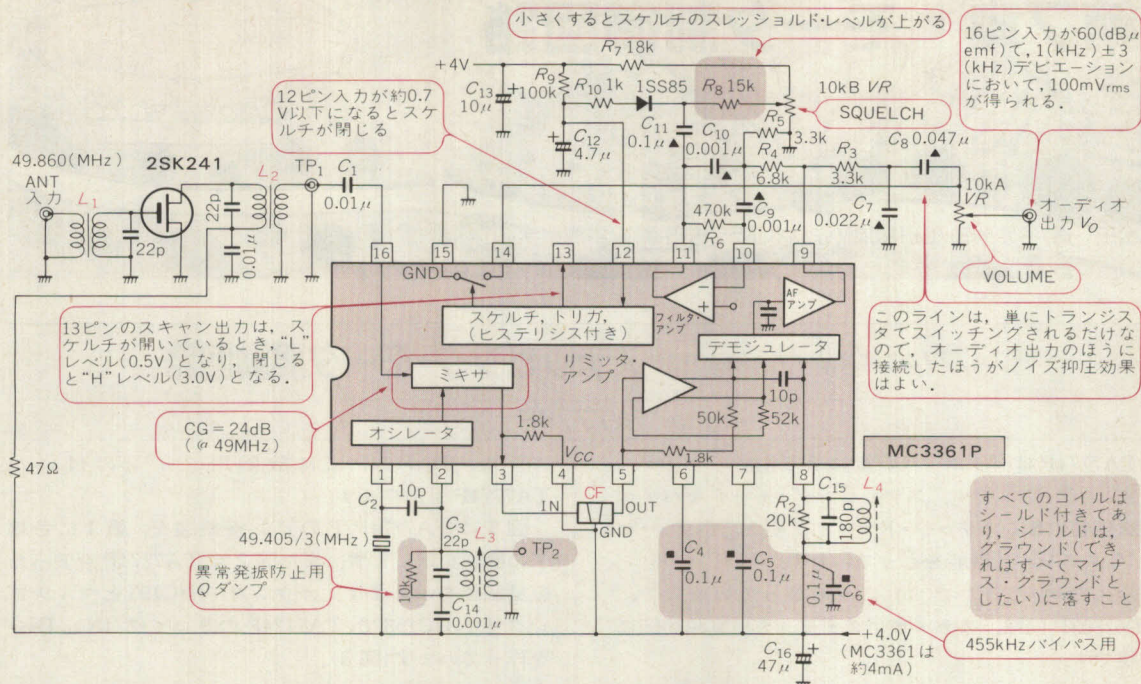
◆参考文献◆


(1) モトローラ、MC3361 データシート。

(トランジスタ技術 1985 年 2 月号)

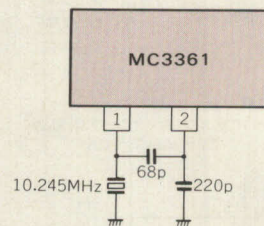


〈図 37〉 シンプルな FM 受信機

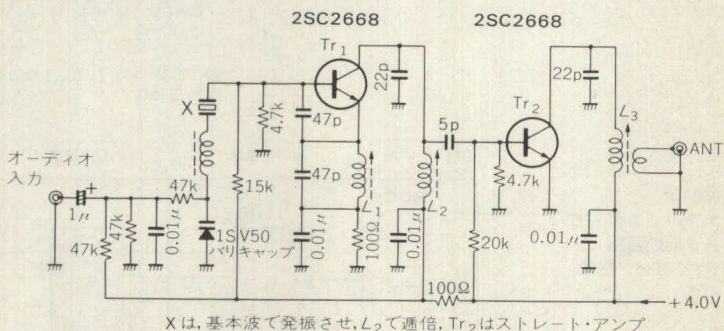


<p><math>L_1, L_2, L_3</math></p> <p>22pFで49MHzに同調させる。 (例) 7Kボビンに、0.3φポリウレタン線 2-2-2 T, リング側2T</p> <p><math>L_4</math></p> <p>180pFで455kHzに同調させる。 (例) 7Kボビンに0.07φポリウレタン線 146Tで<math>Q_U \approx 70</math>, コア色黄、455kHzに共振用とする。</p> <p>CF</p> <p>セラミック・フィルム・CFU455D2 (村田製作所) - 6dB帯域幅±10kHz以上、-27dB帯域幅±20kHz以下、入出力インピーダンス1.5kΩ</p>	 <p>GND</p> <p>IN</p> <p>OUT</p> <p>底面図</p>	<p>■印のC</p> <p>455kHz バイパス用なので、積層コンデンサなどが形状、周波数特性からいって好適。</p>
		<p>▲印のC</p> <p>オーディオ・ステージなので、マイラ・フィルム、ポリエステル・フィルム・コンデンサが好適。</p> <p>ケミコンを除くそのほかのC</p> <p>高周波用なので、セラミック・コンデンサが適当</p>

〈図 39〉 10.7MHz → 455kHz  
のダブル・コンバージョン  
用局発回路例



〈図 40〉 送信部の構成例







## TA7774を用いたバイポーラ駆動方式 ステッピング・モータ駆動回路

### TA7774P

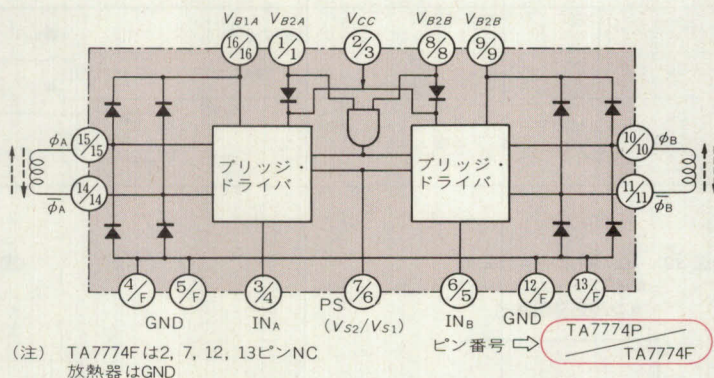
TA7774P はバイポーラ駆動による **2相ステッピング・モータ用 IC** です。ステッピング・モータをバイポーラ駆動できるブリッジ・ドライバ2組と、パワー・セーブ/スタンバイ機能をもっています。

全入力が **TTL コンパチブル** になっているので、TD62803P 同様、ステッピング・モータ用電源が別に必要です。

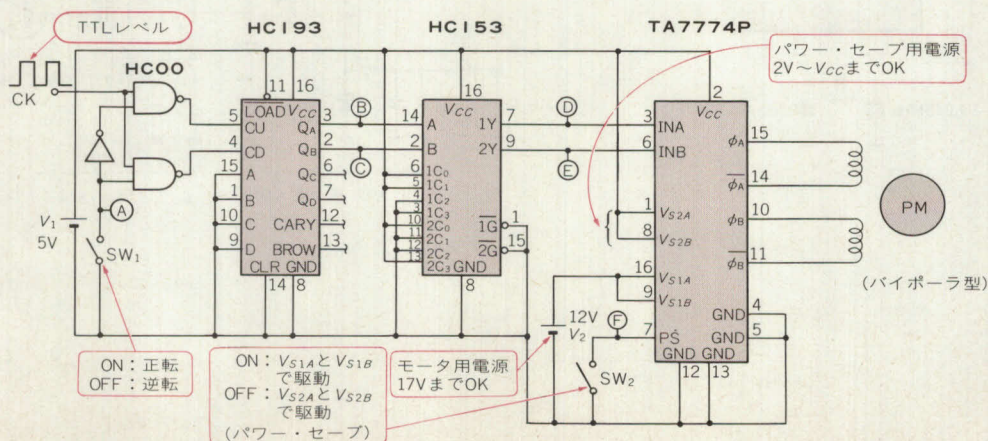
また、TA7774P には放熱用フィンの付いた TA7774F もあります。

図1に TA7774P/F のピン接続図を、表1に各端子の機能を示します。また図2に TA7774P を使った駆動回路を示します。カウンタ 74HC193 とマルチプレクサ 74HC153 で、TA7774P のクロック (IN<sub>A1</sub>, IN<sub>B</sub>) を作っています (図3)。

〈図1〉<sup>(1)</sup> TA7774P/F のピン接続図



〈図2〉  
ステッピング・モータ駆動回路  
(バイポーラ駆動方式)

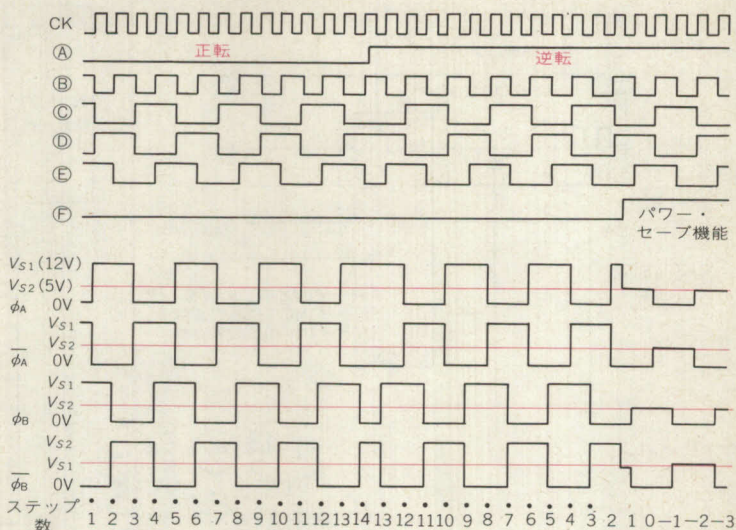




〈表 1〉 各端子の説明

ピンNo.	記号	端子の説明
1/1	$V_{S2A}$	$\phi_A$ 側のパワー・セーブ電源
2/3	$V_{CC}$	$V_{CC}$ (5V)
4/F	GND	GND
5/F	GND	GND
6/5	$IN_B$	$\phi_B$ 側のクロック入力
7/6	PS	パワー・セーブ端子
8/8	$V_{S2B}$	$\phi_B$ 側のパワー・セーブ電源
9/9	$V_{S1B}$	$\phi_B$ 側のメイン電源
10/10	$\phi_B$	$\phi_B$
11/11	$\overline{\phi_B}$	$\overline{\phi_B}$
12/F	GND	GND
13/F	GND	GND
14/14	$\overline{\phi_A}$	$\overline{\phi_A}$
15/15	$\phi_A$	$\phi_A$
16/16	$V_{S1A}$	$\phi_A$ 側のメイン電源

〈図 3〉 図 2 のタイムチャート



SW<sub>1</sub>はモータの回転方向を決めるスイッチで、ON することにより 74HC193 の CU 端子にクロックが入力され、OFF にすると CD 端子に入力されます。

SW<sub>2</sub>はこの IC の特徴のひとつである**パワー・セーブ機能**のスイッチです。このスイッチを OFF にすることにより、 $V_{S1}$  (12V) から  $V_{S2}$  (5V) の電源が選択されます。この機能は**静止**(ホールディング) **トルク**をあま

り必要としない場合に使用され、消費電力を小さくすることができます。

さらに**残留トルク**で十分な場合は、 $V_{S2A}$ と  $V_{S2B}$ を 2V に接続してもかまいません。

〈松田 透〉

◆参考文献◆

(1) 東芝, TA7774 データシート。

(トランジスタ技術 1987 年 3 月号)

## TD62803 を用いた 1-2 相励磁方式 ステッピング・モータ駆動回路

### TD62803P

TD62803 は 3 相、4 相いずれのステッピング・モータにも使用でき、しかも**正/逆転切り替え**や、**各種の励磁モード**(1 相, 2 相, 1-2 相励磁)をもっています。

全入力が TTL コンパチブルのため、パルス発生部やコントロール部が TTL で構成される回路に直結できます。しかし、その反面**IC 用電源**(+5V)と**ステッ**

**ピング・モータ用電源**が別々に必要です。

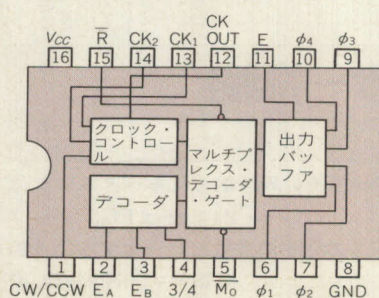
図 4 に TD62803P のピン接続図を示します。

①番端子: CW/CCW

正/逆転切り替え端子です。真理値表を表 2 に示します。

②～④番端子:  $E_A$ ,  $E_B$ , 3/4

〈図 4〉<sup>(1)</sup> TD62803P のピン接続図



〈表 2〉<sup>(1)</sup> 各端子の真理値表

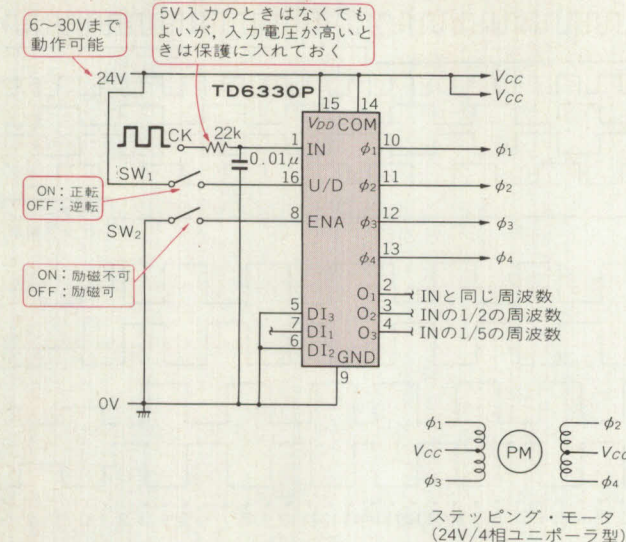
CK <sub>1</sub>	CK <sub>2</sub>	CW/CCW	機 能	$E_A$	$E_B$	3/4	機 能
	H	L	CW	L	L	L	4 相 1 励磁駆動
	L	L	Inhibit	H	L	L	4 相 2 励磁駆動
H		L	CCW	L	H	L	4 相 1-2 励磁駆動
L		L	Inhibit	H	H	L	Test Mode 全出力 ON
	H	H	CCW	L	L	H	3 相 1 励磁駆動
	L	H	Inhibit	H	L	H	3 相 2 励磁駆動
H		H	CW	L	H	H	3 相 1-2 励磁駆動
L		H	Inhibit	H	H	H	Test Mode 全出力 ON

(注) 励磁モード、3 相 4 相を切り替える場合、かならずリセット・パルスを印加して、リセット・モードにした後にする。

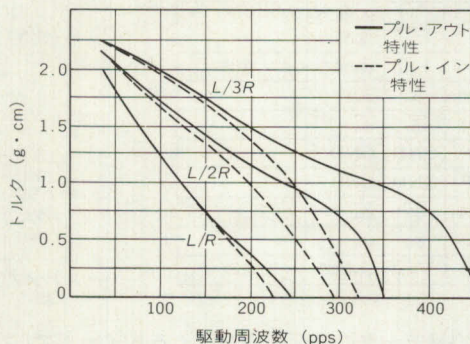


〈図5〉 ステッピング・モータ駆動回路(1-2 相励磁方式)

〈図6〉 直列抵抗による高速動作の改善



時定数	L/R	L/2R	L/3R
具体的 駆動回路	12V 20Ω 35mH	24V 20Ω 35mH	36V 40Ω 35mH



励磁モードおよび3相/4相切り替え入力端子です。真値表を表2に示します。

⑤番端子： $\overline{M_0}$

イニシャル状態検出出力です。イニシャル状態のとき“L”レベルです。

⑥, ⑦, ⑨, ⑩番端子： $\phi_1, \phi_2, \phi_3, \phi_4$

励磁出力端子です。保護回路が付いていないのでダイオードなどによる保護回路が必要です。

⑧, ⑬番端子：GND,  $V_{CC}$

電源端子です。

⑪番端子：E

出力イネーブル端子です。“H”のとき励磁出力 $\phi_1 \sim \phi_4$ がイネーブルになります。

⑫番端子：CK OUT

クロック出力です。

⑬, ⑭番端子：CK1, CK2

クロック入力です。真値表を表2に示します。

⑮番端子： $\overline{R}$

リセット入力です。“L”でリセットとなります。

図5に4相ステッピング・モータを用いた1-2相励磁の駆動回路を示します。

電源はIC用の+5Vと、ステッピング・モータ用の電源(たとえば24V)が必要です。4相ステッピング・モータで1-2相励磁ですから、表2より $E_A = “L”$ ,  $E_B = “H”$ ,  $3/4 = “L”$ レベルにします。

SW<sub>1</sub>はON(CW/CCW = “L”)で逆転, OFF(CW/CCW = “H”)で正転となります。

SW<sub>2</sub>はONで励磁不可, OFFで励磁可となります。ところで、ステッピング・モータは周波数を上げていくとコイル電流が流れにくくなるため、トルクが減少します。したがって、高速動作領域で特性を改善するためには、電流を速く立ち上がらせる必要があります。そのため、図6のようにコイルに直列に抵抗を入れ駆動電圧を上げることで、電流の立ち上がりを改善することができます。

〈松田 透〉

参考文献

(1) 東芝, モータ用ICデータブック。

(トランジスタ技術 1987年3月号)

PLLサーボ・コントロールIC M51728Lを用いた

## PLLサーボ回路

### M51728L

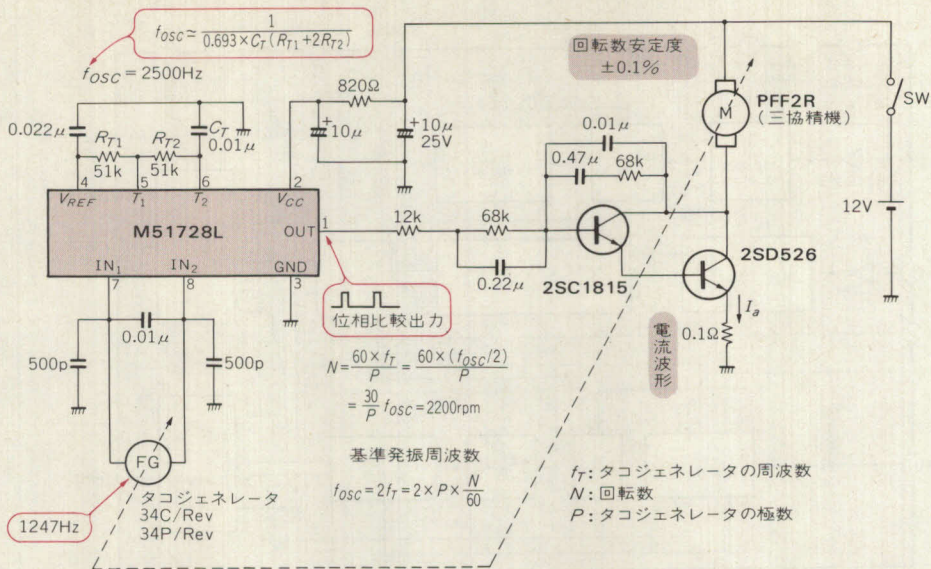
PLL(Phase Locked Loop)は、基準とする周波数の位相と、比較しようとする周波数の位相を一致させるように動作する制御系のことです。

二つのたがいの位相を一致させるということは、必然的にその周波数も同期(一致)していることを意味します。したがって、PLL制御を応用したモータの回

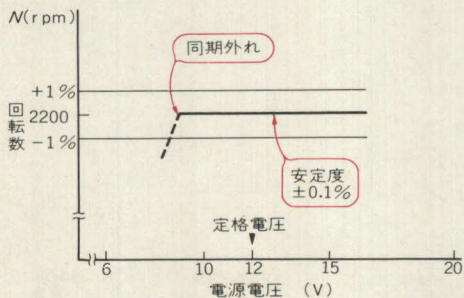
転数制御は、基準発振器の周波数と、モータに取り付けられたACタコジェネレータ(またはFG, シャフト・エンコーダなど)の発生周波数とが一致するよう動作するものです。このことは、基準とする発振器の周波数が安定であれば、モータの回転数もこれに応じて安定することを意味します。



&lt;図 7&gt; M51728L による PLL サーボの回路構成



〈図 8〉 電源電圧変動特性



〈図 9〉  
負荷トルク  
変動特性

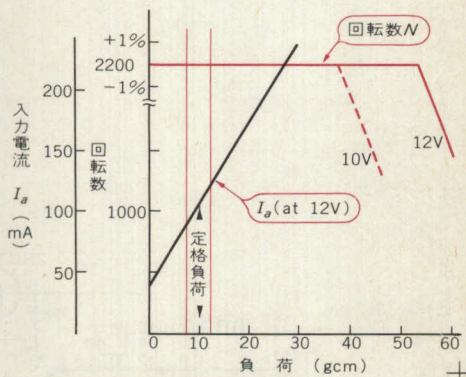


図7はPLLサーボ用IC M51728Lを用いたPLLサーボ回路です。

この回路の特性は、**回転数の安定度が $\pm 0.1\%$ くらい**で、使用温度範囲を  $0\sim 50^{\circ}\text{C}$  とした場合は  $\pm 1\%$  程度です。これは基準発振回路が  $CR$  回路で構成され、周波数安定度が温度に対してあまりよくないためです。

温度特性以外は非常に良好です。図8に電源電圧変動特性、図9に負荷トルクに対する変動特性を示します。

M51728L は、**FG サーボ機能**はもっていませんが、FG 周波数  $f_T$  と基準周波数  $f_S$  とが常に交互に入ること  
を検知するロジックをもっており、2 倍の周波数での  
誤同期を防ぐように工夫してあります。 <谷腰欣司>

### 参考文献

- (1) 三菱電機, M51728L データシート。
- (2) 谷腰欣司, DC モータの制御回路設計, CQ 出版社。

(トランジスタ技術 1984年11月号)

TC9142Pを用いてFGサーボも共用した **PLLサーボ回路**

## TC9142P

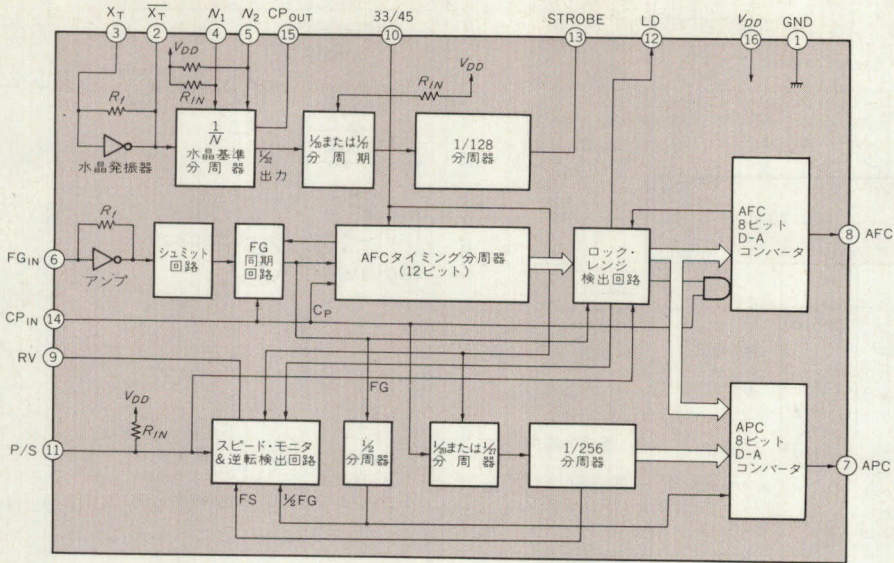
モータの PLL 制御は、ほかの制御方式にくらべて飛躍的に安定性が向上しますが、一つだけ大きな欠点があります。それは、モータの起動時から安定な回転数になるまでに時間(引き込み時間)がかかり、さらに

は誤同期してしまう可能性があることです。

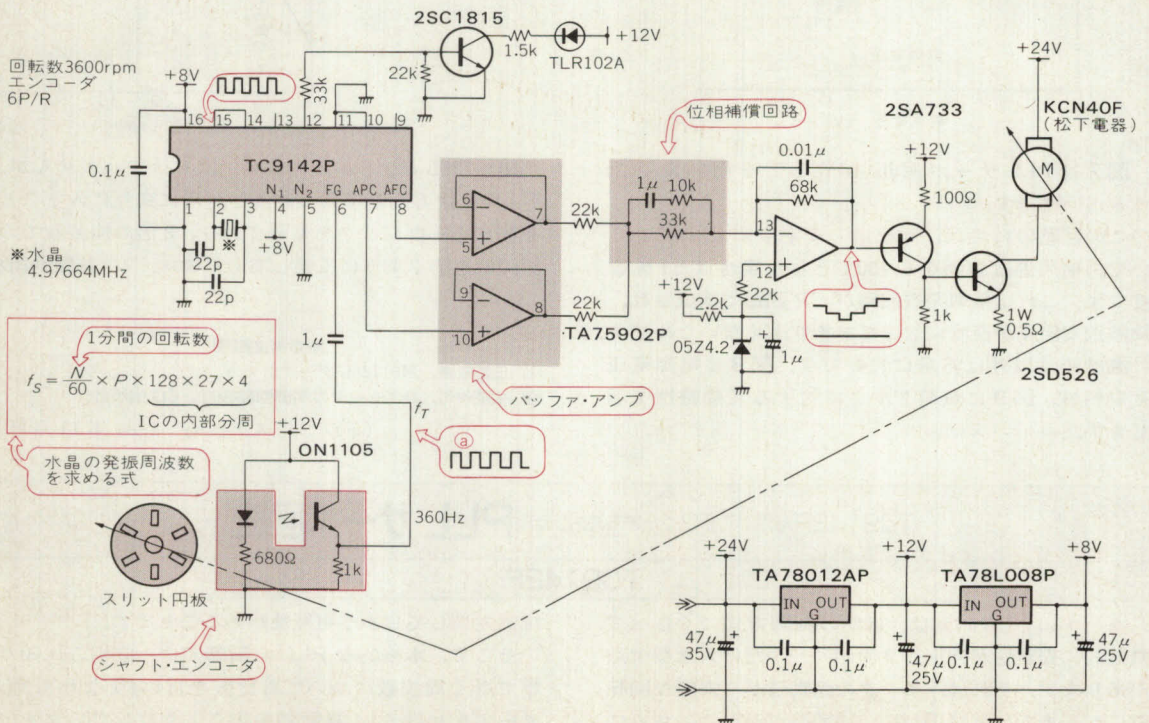
そこで、本格的な PLL の制御では、位相の比較だけでなく周波数についても比較を行い(すなわち FG サーボをかける)、誤同期を防ぐようにしています。



〈図 11〉 クォーツ PLL モータ制御用 IC TC9142P の概要(東芝)

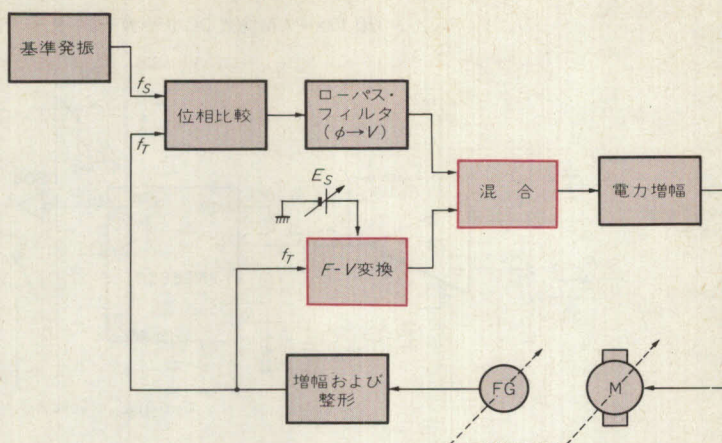


〈図 12〉 PLL 制御回路





〈図 10〉  
PLL (位相比較) と FG サーボを共用した制御系



この場合の構成が図 10 です。

FG サーボを組み入れたものとしては、TC9142P が代表的な IC です。TC9142P は基準発振に水晶発振子を用いたクォーツ・ロック PLL 制御用 IC で、高精度の制御ができます。

図 11 に TC9142P のブロック図を示します。この IC は、基準発振周波数  $f_s$  と比較入力周波数  $f_r$  とを位相、および周波数に対して比較したあと、内部で D-A コンバータ (8 ビット) によって比較パルス幅を直流

電圧に変換していますので、サーボ系としての位相補償がやりやすくなっています。

図 12 が実際の PLL 制御回路です。

このモータ制御回路で、安定度を測定してみると ±0.02 % 以内に収まっています。

〈谷腰欣司〉

◆参考文献◆

- (1) 東芝, TC9142P データシート。
- (2) 谷腰欣司, DC モータの制御回路設計, CQ 出版社。

(トランジスタ技術 1984 年 11 月号)

## NE55560 を用いた効率の良い PWM 方式 DC サーボ・モータ・ドライブ回路

### NE55560

図 13 に PWM 方式の回路を示します。この方式だとドライバはスイッチング動作となりますので、リニア方式にくらべて出力トランジスタの電力消費が小さくなります。したがって、発熱が低く抑えられ、電源の利用効率も上昇します。

サーボ・モータのコントロール・システムは、ほとんどがマイクロコンピュータによって制御されています。モータの位置情報や速度情報は、パルス・エンコーダやタコジェネレータによってコントローラにフィードバックされます。コンピュータは、これらの情報をも

## 改訂 電力制御回路設計ノウハウ

メカトロニクスに欠かせないパワー・デバイス

在田保信／森敏／由宇義珍 共著 A5 判 230 頁 定価 2,000 円

本書は、既刊「電力制御回路設計ノウハウ」を大幅に見直し、最新の技術動向と応用分野でのニーズを考慮し、誌面の刷新を図った改訂版です。パワー・デバイスは、家電製品はもとより、電子機器の制御、駆動などに欠くことのできない重要な位置をしめています。ベテラン技術者のノウハウを活用してください。

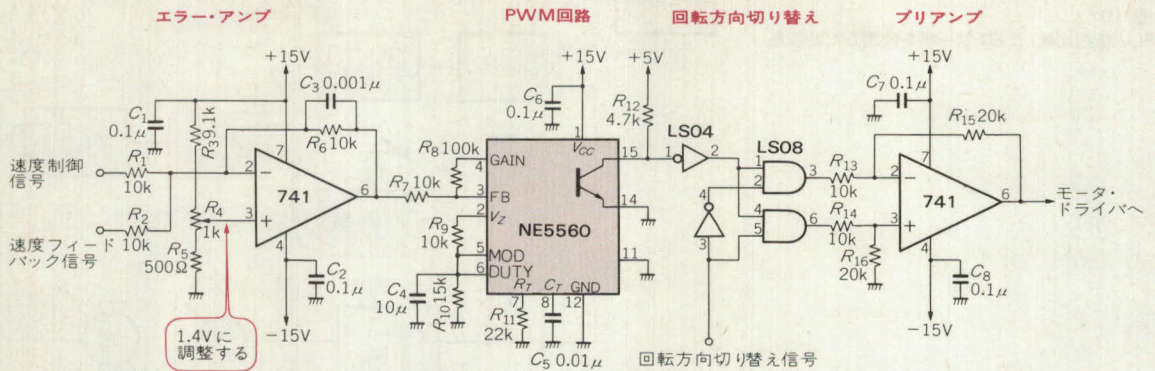
〈内容〉 第 1 章：電力制御用デバイス 第 2 章：各種デバイスの駆動回路 第 3 章：電熱制御回路 第 4 章：照明制御回路 第 5 章：モータ制御回路 第 6 章：電源回路

CQ 出版社

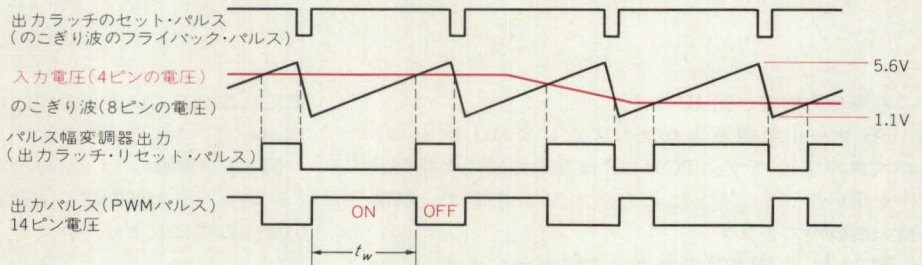




〈図 13〉 PWM 方式 DC サーボ・モータ・ドライブ回路

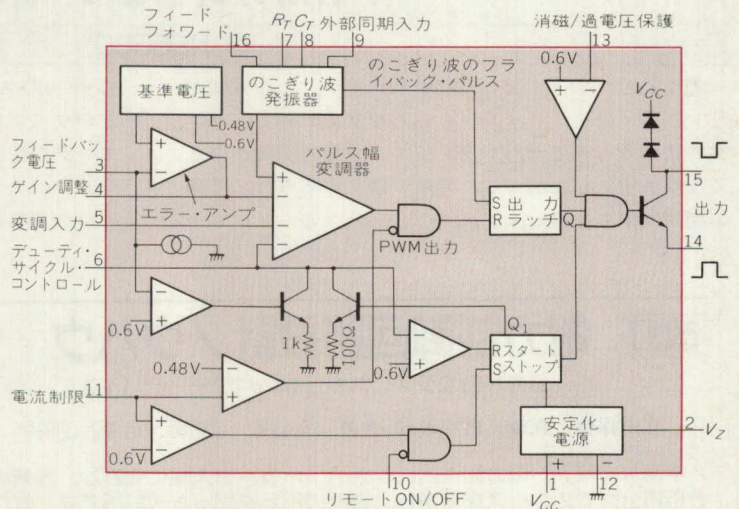


〈図 14〉 PWM 回路の動作



- (1) 内部のエラー・アンプは、3ピンの入力電圧を反転増幅し、4ピンに出力する
- (2) パルス幅変調器は、のこぎり波発振器の出力(のこぎり波)と4ピンの入力電圧を比較し、入力電圧に比例したパルス幅のパルスを出す
- (3) 出力ラッチは、のこぎり波のフライバック・パルスの立ち上がりでセットされ、パルス幅変調器出力パルスの立ち上がりでリセットされる
- (4) ラッチ出力は出力ドライブ・トランジスタの14ピンおよび15ピンにPWMパルスとして出力される
- (5) 4ピンの電圧は、5,6ピンの電圧で制限される。したがって、5,6ピンの電圧で出力パルスの最大デューティ・サイクルを調整することができる

〈図 15〉 パルス幅変調(PWM)用IC NE5560



とに現在位置および速度を計算し、適切なコントロールを行います。

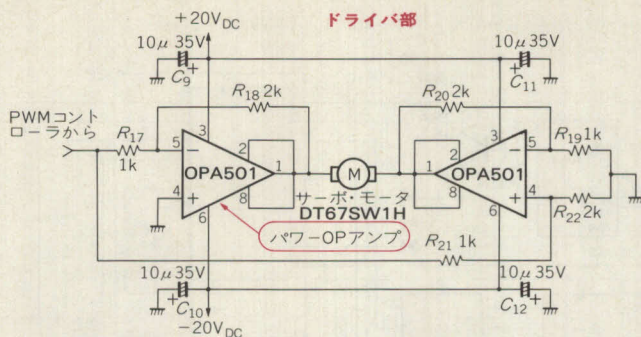
ところで位置フィードバック信号と位置制御信号の差は、D-A コンバータに入力され、アナログの速度制御信号に変換されます。この信号は、速度エラー・

アンプに入力され、速度フィードバック信号と比較されます。

エラー・アンプの出力は、図 14 に示すように PWM 回路ののこぎり波の振幅が 1.1V から 5.6V なので、エラー・アンプ入力为零のとき、出力パルス



〈図 13〉 PWM 方式 DC サーボ・モータ・ドライブ回路(つづき)



が停止するように  $R_4$  のポテンショメータで調整します。

**PWM 回路**はエラー・アンプの出力を増幅し、エラー量に比例した幅のパルスを出します。出力パルスのデューティ・サイクルは 0 から 80 % までで、最大デューティは  $R_9$  と  $R_{10}$  で制御されています。そして、PWM 出力は位置フィードバック信号から作り出された**方向切り替え信号**によって、2 系統のパルスを出する回転方向切り替え回路に入ります。

ブリアンプは、プラス側に入力された信号は正極性、マイナス側に入力された信号は負極性の**両極性パルス**を出します。

ブリアンプの出力は、二つの**電力用 OP アンプ**でブリッジ構成されたモータ・ドライブ回路に入力されます。このドライバは、負荷電力がピークで 10A まで流せて、ピーク負荷電力は 260W まで取り出せます。この電力用 OP アンプは **TO3** のパッケージに封入さ

れていて、ケースは内部回路と電氣的に完全に絶縁されていますので、絶縁材を使わずに**直接放熱器に取り付けられる**とともに、個別のトランジスタで電力回路を構成するより取り扱いが非常に簡単になります。

図 15 に本回路に用いた PWM 用 IC **NE5560**(フィリップス・シグネティックス)のブロック図を示します。

ももとはスイッチング・レギュレータの制御用 IC、のこぎり波発生回路を内蔵し、**0~95 % デューティの PWM**が行えます。

スイッチング・レギュレータ用として使用する場合には、各種**保護回路**(過電圧、消磁、過電流、ソフト・スタート)の恩恵が受けられ、**プッシュプル方式レギュレータ**などに効果があります。

〈山川初雄〉

#### 参考文献

- (1) フィリップス、シグネティックス、NE5560 データシート。  
(トランジスタ技術 1985 年 2 月号)

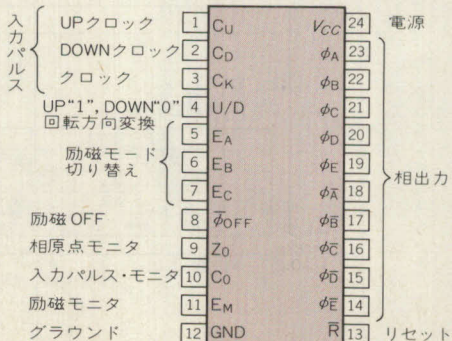
## SI7200M を用いた 5 相モータ駆動回路

### SI7200M, PMM8714, ULN2003

**5 相モータ**は、2 相モータにくらべて**トルク・リップ**が小さいという特徴があります。これは、励磁電流の方向を選定し、ステップごとの各トルクの総和を等し

く設定できるためです。また、構造上**ステップ角**を小く**とる**ことができ、回転時の振動を小さく、騒音も低くできて、しかも高速回転が得られます。

〈図 16〉  
PMM8714 の機能表



(a) ピン配置

励磁方式	入 力				出 力 $\phi_A \sim \phi_E$
	$E_A$	$E_B$	$E_C$	$\phi_{OFF}$	
2 励磁	0	1	1	0 (1)	すべての出力は "L"レベル (各相へ分配動作)
2-3 励磁	0	0	1		
3 励磁	1	0	1		
4 励磁	0	1	0		
4-5 励磁	0	0	0		
5 励磁	1	0	0		

(b) 機能表



## ● インターフェース回路

5相モータ専用のインターフェース回路として、PMM8714(山洋電気)の機能を図16に示します。

PMM8714は、マイコンから入力される基準クロックを各相の信号に分配する機能を持ち、2相励磁から5相励磁まで代表的な励磁方式が容易に得られるCMOS ICです。

## ● SI7200Mによる5相励磁回路

図17にSI7200Mを用いた5相励磁回路を示します。この図は、各コイルごとにブリッジ回路を設け、電流方向を個別に切り替えるスタンダード結線を構成しています。

5相モータの定電流チョッピングは、電流リプルによる磁界の変動が他相に形成された磁界へ干渉してしまい、発振周期が不安定になる問題があります。SI7200Mを用いた場合、発振回路を1回路にまとめられ、各相のチョップ周波数の同期がとれることから、相間の磁界の相互干渉を減少し、安定した発振が得られます。

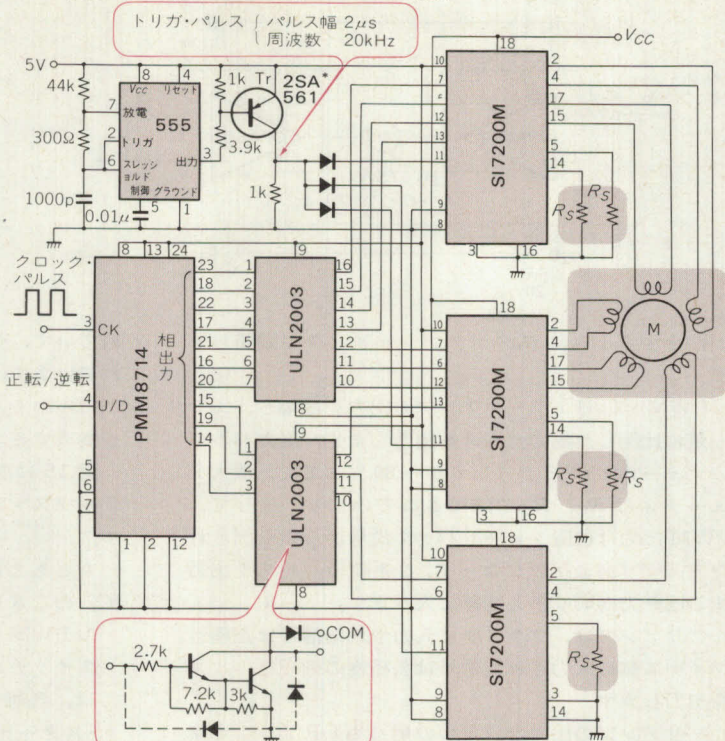
図18にSI7200MとPMM8714を用いた5相モータのトルク特性例を示します。  
〈佐々木正宏〉

### 参考文献

- (1) 山洋電気, PMM-8713 データシート。
  - (2) サンケン電気, SI7200M データシート。
- (トランジスタ技術 1986年2月号)

〈図17〉 SI7200Mを用いた5相モータ・ドライブ回路

\*  $V_{CBO} = 50V$ ,  $I_C = 150mA$ ,  $h_{FE} = 70 \sim 400$  ( $V_{CE1} = 1V$ ,  $I_C = 20mA$ 時)

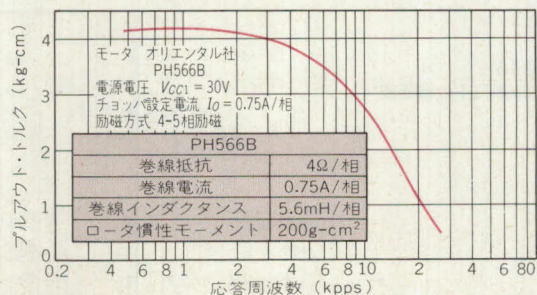


項目	“H”レベル		“L”レベル	
	規格	条件	規格	条件
クロック・パルス	$I_{IH} \geq 15\mu A$	$V_{IN} = 4.5V$	$-10\mu A \leq I_{IL} \leq +10\mu A$	$V_{IN} = 0V$
正転/逆転	$I_{IH} \leq 100\mu A$	$V_{IN} = 4.5V$	$I_{IH} \leq 0.4mA$	$V_{IN} = 0V$

$R_S$ の求め方〔電流設定抵抗  $R_S \approx 1V/I_O$  (2W)〕PH566Bを例にとった場合

- ① PH566Bの定格電流は0.75A/相
- ② 1相当たり0.75Aにドライバを設定
- ③ チョッピング時に巻線に流れる電流のピーク値を $I_{OH}$ とする
- ④ 定格(平均)電流の約40mA増しが $I_{OH}$ となる。
- ⑤  $I_{OH}$ の計算式は次式となる。  
 $I_{OH(max)} = (0.247 \times V_{CC2} - 0.03) / R_S$  (A)  
 $I_{OH(min)} = (0.225 V_{CC2} - 0.03) / R_S$  (A)
- ⑥  $V_{CC2} = 5V$ として、上式より $I_{OH} = 0.75A + 0.04A$ を代入すると、  
 $1.4\Omega \leq R_S \leq 1.5\Omega$  となる。

〈図18〉<sup>(2)</sup> SI7200Mによる5相モータ・トルク特性





# TA7745を使った ブラシレス・モータ駆動回路

## TA7745F

ブラシレス・モータは、整流子(ブラシ)の代わりに半導体のスイッチを使って駆動コイルの電流を切り替えます。

この電流の切り替えを正確に行うためには、回転子の現在位置を知る必要があります。通常のブラシレス・モータでは、位置検出用にホール素子を使っています。

図19はブラシレス・モータ制御用のIC TA7745Fの内部ブロック図です。ホール素子信号の増幅回路、タイミング制御のロジック、コイル駆動回路が一つのICパッケージの中に収められています。

TA7745Fは小さいモータであればダイレクトに駆動することも可能です。

図20はTA7745Fを使った、ブラシレス・モータ駆動回路です。駆動素子として、先に紹介したパワーFETを使いましたので、100Wクラスのモータ駆動が可能です。

オン抵抗の小さいPチャネルFETが入手できないため、正電圧側の駆動にも、同じFETを使っています。

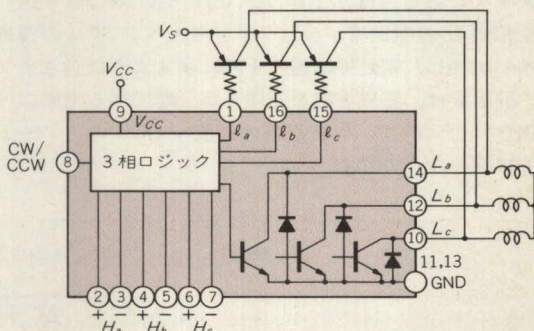
〈吉田幸作〉

### 参考文献

(1) 東芝, TA7745F データシート。

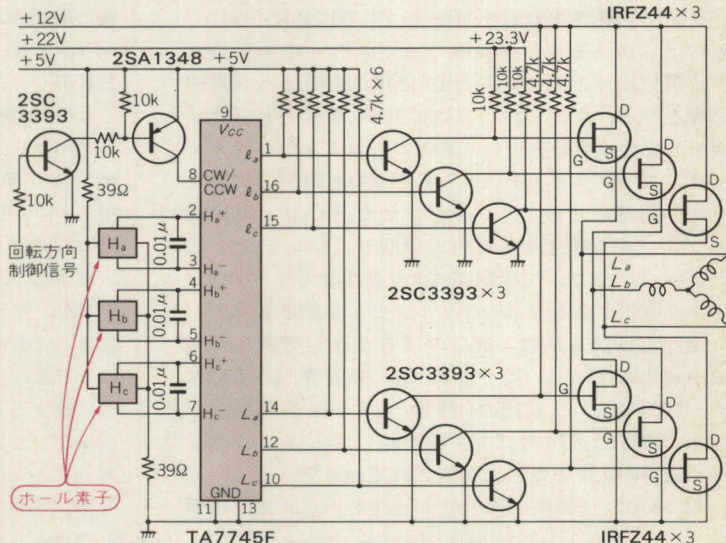
(トランジスタ技術 1992年1月号)

〈図19〉 ブラシレス・モータ制御IC TA7745Fとブロック図



〈図20〉

TA7745Fによるブラシレス・モータ駆動回路



## SCRを用いたユニバーサル・モータの 帰還型速度制御回路

### 2P4M

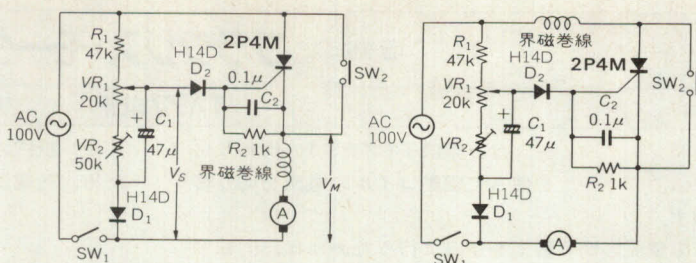
図21は、ユニバーサル・モータの帰還型半波制御回路です。図(a)は、界磁巻線と電機子が分離できない電動機(ユニバーサルモータ)の速度制御回路です。電動機の逆起電圧帰還により、定速回転を行うようになっています。

コンデンサ  $C_1$  は正の半波ごとに抵抗  $R_1$ , ダイオード  $D_1$  を通して充電されます。そして、可変抵抗  $VR_1$

による分割電圧  $V_s$  がダイオード  $D_2$  を通して SCR ゲートに加わってトリガをかけ、電動機を回転させます。電動機は、回転速度に比例した残留逆電圧  $V_M$  が端子間に発生します。したがって、各サイクルごとに  $V_s$  が  $V_M$  より大きくなったとき  $D_2$  の順方向に電流が流れ、その位相で SCR が導通します。



〈図 21〉  
ユニバーサル・モータの帰還型速度制御回路



(a) 界磁巻線と電機子が分離できないもの (b) 界磁巻線と電機子が分離できるもの

したがって、 $V_M$ が一定であれば、SCRのトリガ位相も一定で、定速状態を維持します。電動機の負荷が大きくなって速度が下がり、 $V_M$ が小さくなると速い位相で $D_2$ の順電流が流れます。そして、SCRの導通角が増加し、電動機を速度を元に戻すように働きます。

同図(b)は、界磁巻線と電機子が分離できる**電動機**の**速度制御回路**で、界磁巻線の位置をSCRのアノード側に移したものです。

このほうが、逆起電圧が純粋に電機子の回転数だけで決定されるようになり、図(a)より安定な制御性能が得られます。回路中の半固定抵抗 $VR_2$ はSCRの**トリガ感度**や $C_1$ のばらつきを**補正**するためのものです。またSCRと並列のスイッチは $VR_1$ と連動して、必要に応じてSCRを短絡し、電動機を全速にする場合に用います。

〈中郷 学/山本 博〉

(トランジスタ技術 1986年10月号付録)

## TRIACとDIACを用いた電気掃除機/扇風機**速度制御回路**

### N413, AC12DGM, AC03DGM

モータの速度制御の一例として、図22に**TRIAC**と**DIAC**による**電気掃除機**の**速度制御回路**を示します。電気掃除機には、毎分約18,000回転という高速回転をする、単相交流の**直巻電動機**(整流子とブラシをもっている電動機という意味で、コミュテータ・モータ、またブラシ・モータとも呼ぶ)が使用されます。

この回路において、コンデンサ $C_1 \sim C_3$ は、電動機のブラシから発生する**雑音**を吸収し、コンデンサ $C_4$ とチョーク $L$ は、位相制御により発生する**ラジオ・ノイズ**を減少させるためのフィルタとして働きます。

半固定抵抗 $VR_1$ は、部品のばらつきを考慮した**調整用**のものです。コンデンサ $C_7$ 、抵抗 $R_4$ は、**CRスナバ**回路であり、前述の $(dV/dt)_c$ による誤点弧防止、およびDIACの出力パルス幅が狭いことによるラッチ不能を防止するために挿入されています。

図23に、**扇風機**の**速度制御回路**を示します。扇風

機に使用される電動機は、**単相誘導電動機**(インダクション・モータ)であり、これはユニバーサル・モータとは異なり、カーボン・ブラシのような消耗部品もなく、構造が簡単で値段も安く、保守取り扱いも容易です。

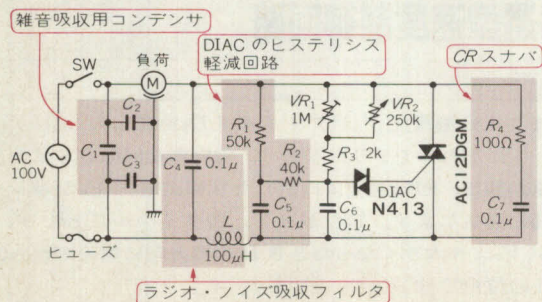
ダイオード $D_1 \sim D_4$ 、コンデンサ $C_5$ 、 $C_6$ 、抵抗 $R_2$ 、 $R_4$ およびDIAC $2$ は、低速度から起動させるとき、摩擦トルクが回転トルクより大きく起動しにくい場合の**補償回路**です。

電源投入時は、コンデンサ $C_6$ の充電電流によりTRIACをトリガし、コンデンサ $C_6$ がある程度充電されるとDIAC $1$ により所定の位相でトリガされるようになります。またこれは、起動補償とともに所定回転数に達するまでの時間短縮としても働きます。

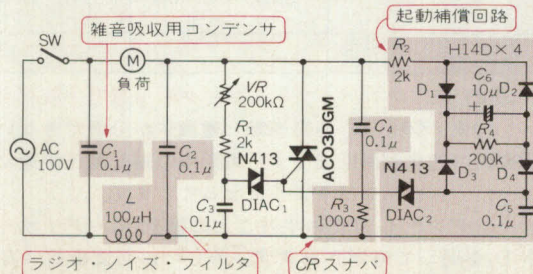
また**マイコン制御**の扇風機の場合、モータの巻線にタップを切りそれぞれにTRIACを使用し、そのゲートをマイコン制御しています。〈中郷 学/山本 博〉

(トランジスタ技術 1986年10月号付録)

〈図 22〉 電気掃除機**速度制御回路**



〈図 23〉 扇風機**速度制御回路**





## 第8章 電源回路

船住 孝/更科 一/長橋芳行/市川 達/佐藤守男/戸川治朗/菅原康夫/松井邦彦/鹿島伊知郎/黒野広三/  
田前正博/名取 茂/池田猛志/野田龍三/村田 悟/藤村賢秀

### 温度補償型定電圧ダイオードを用いた 基準電圧回路

#### LM385

図1(a)はツェナ・ダイオードの基本的な使い方、抵抗で電流を供給して定電圧を発生させています。

この回路では、バンドギャップ型の定電圧 IC (ボルテージ・リファレンス) LM385 を用いて、1.2V の出力を得ています。

LM385 は通過電流が  $10\mu\text{A}$  から動作が保証されていますが、温度ドリフトを最小にするためには使う素子のデータシートをよく読み、とくに温度係数 (Temperature Coefficient) の項の測定条件に示してある電流で動作させるのがよいようです。LM385 の場合は  $I_Z = 100\mu\text{A}$  となっています。このとき、温度係数は最大で  $150\text{ppm}/^\circ\text{C}$  であり、グレードによっては  $30\text{ppm}/^\circ\text{C}$  (max),  $50\text{ppm}/^\circ\text{C}$  (max) のものもあります。

いっぽう普通のツェナ・ダイオード・タイプの場合、

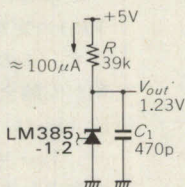
ツェナ・ダイオードに流す電流の変化による出力電圧の変動が大きいのと、温度係数が動作電流により大きく影響されるという欠点があります。そのため温度ドリフトが問題になるような使い方をする場合は、温度補償型ツェナを使用しうえて、図(b)の回路のように定電流回路を付加して、ツェナに流す電流が電源の電圧変動に影響されないように使います。

この定電流回路の電流値は、 $DZ_1$  のツェナ電圧 (5.6V) を  $R_2$  で割った値になり、電源電圧には依存しません。また 1SZ57 は  $I_Z = 10\text{mA}$  のとき、 $V_Z = 6.5\text{V}$ 、温度係数  $0.01\text{ }^\circ\text{C}$  となっています。〈船住 孝〉

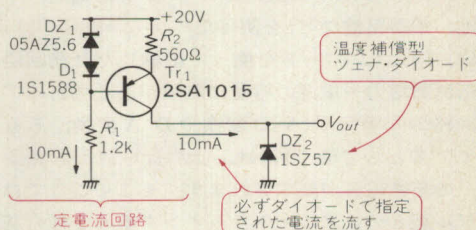
#### 参考文献

- (1) ナショナル・セミコンダクター、リニア IC データブック。  
(トランジスタ技術 1990 年 10 月号)

〈図1〉 定電圧ダイオードの基本的な使い方



(a) 定電圧ダイオードの基本的な使い方



(b) 定電圧ダイオードを定電流で動かす

### 高精度が得られる 10V 基準電圧回路

#### LM329B, LT1004-2.5

図2(a)はIC化された定電圧ダイオードの出力に非反転アンプを付加し、 $10.00\text{V}$  を出力する回路です。基準電圧発生用に用いた LM329B は、ツェナ電圧  $6.9\text{V}$ 、温度係数  $15\text{ppm}/^\circ\text{C}$  ( $I_Z = 1\text{mA}$ ) という特性を持っています。OP アンプのゲインを決定する抵抗は温度ドリフトの小さい金属皮膜抵抗を使い、OP アンプも

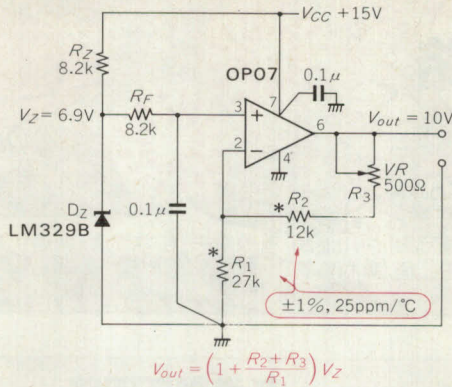
温度ドリフトの小さなものを用います。

出力電圧を微調整するにはサーメット・トリマを用いますが、 $100\text{ppm}/^\circ\text{C}$  程度の温度係数があるので、なるべく可変範囲を狭くしてドリフトの影響を少なくします。

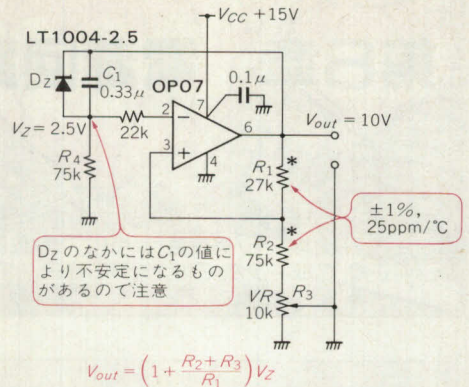
いっぽうバンドギャップ・リファレンス型の定電圧



〈図2〉  
定電圧ダイオードと  
アンプの組み合わせ



(a) 定電圧ダイオード・非反転アンプ



(b) 定電圧ダイオードで帰還をかける

ダイオードで数Vくらいの低い電圧出力の場合、OPアンプへの入力が高すぎて正しく作動しない場合があります。図(b)は、 $V_Z = 2.5\text{V}$ 、温度係数  $20\text{ppm}/^\circ\text{C}$  ( $I_Z = 12\mu\text{A} \sim 20\text{mA}$ )の基準電圧IC **LT1004-2.5**を用いた10V基準電圧回路です。このように定電圧ダイオードを帰還回路に入れるようにすれば正しく動作させることができます。

出力から  $\text{IN}^+$  端子に正帰還がかかっており、**リニアな動作**をするかどうか疑問をもつ方もいるかもしれませんが、 $D_Z$ により  $\text{IN}^-$  端子に負帰還がかかっており、

負帰還量の方が多いため、出力電圧は図中にあるような式で与えられることになります。なお、**バンドギャップ・リファレンス IC**のなかには、並列に入れたコンデンサ  $C_1$ の値により不安定になるものがあるので、並列に入れる  $C_1$ 値には注意が必要です。

〈船住 孝/更科 一〉

●参考文献●

- (1) ナショナル・セミコンダクター、リニア・データブック。
- (2) リニア・テクノロジー、リニアデータブック。

(トランジスタ技術 1990年10月号)

ロー・パワー基準電圧IC  
LM385を用いた

## +10/-10/±2V ロー・パワー基準電圧回路

### LM385-2.5

**電池**(マンガン乾電池、アルカリ乾電池、ニカド電池、鉛蓄電池など)を使った**バッテリー動作の計測回路**、DC-DCコンバータを使って絶縁した計測回路など、低消費電力や電源の容量に制限がある場合のアナログ回路の**基準電源**(A-D変換やD-A変換、あるいはバイアスとして使う)には、**低消費電流**、**低温度ドリフト**の基準電源が要求されます。そこでここでは、シングル型とデュアル・トラッキング型の2種の基準電源を紹介することにします。

#### ● +10.0V 基準電源

図3は、**低消費電流**、**低温度ドリフト**の**+10.0V基準電源**です。回路の構成としては、ロー・パワー基準電圧用ICの**LM385-1.2**とロー・パワー・チョップ安定化OPアンプの**TSC7650**を使い、LM385-1.2をフローティングにして動作させます。

OPアンプの反転入力と出力間に一定のバイアス電圧  $V_Z$ をかけ、非反転入力と出力間に抵抗  $R_2$ をつなぐと、 $R_2$ には  $V_Z/R_2$ なる**定電流**が流れます。したがって、 $(R_1 + VR_1)$ がない状態では、この回路は**ソース(吐き出し)型の定電流回路**として動作します。

この場合は  $(R_1 + VR_1)$ がありますので、この  $(R_1 + VR_1)$ に定電流が流れ、安定した一定の電圧が発生します。この  $(R_1 + VR_1)$ に発生した電圧降下と  $V_Z$ との和が回路全体の出力電圧となります。つまり、出力電圧  $V_{REF}$ は、

$$V_{REF} = [1 + (R_1 + VR_1)/R_2] V_Z$$

で表されます。

$V_Z = 1.235\text{V}$ (typ)ですので、 $R_2$ に流す定電流を  $20\mu\text{A}$  とすると、 $R_2 \approx 62\text{k}\Omega$  となります。 $V_{REF} = 10.0\text{V}$  とするためには、 $(R_1 + VR_1) \approx 564\text{k}\Omega$  とする必要があります。ここでは、 $V_Z$ や  $R_2$ 、 $R_1$ のばらつきを考慮して、 $R_1 = 536\text{k}\Omega$ 、 $VR_1 = 50\text{k}\Omega$  とします。

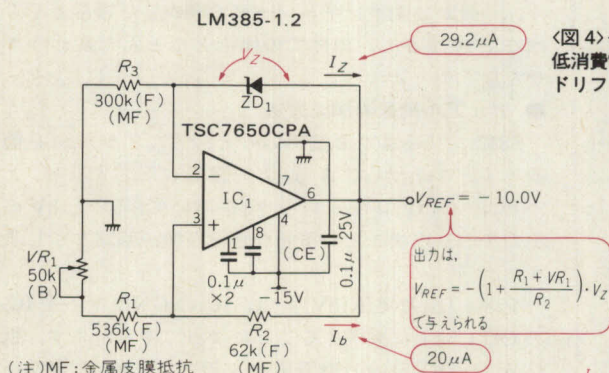
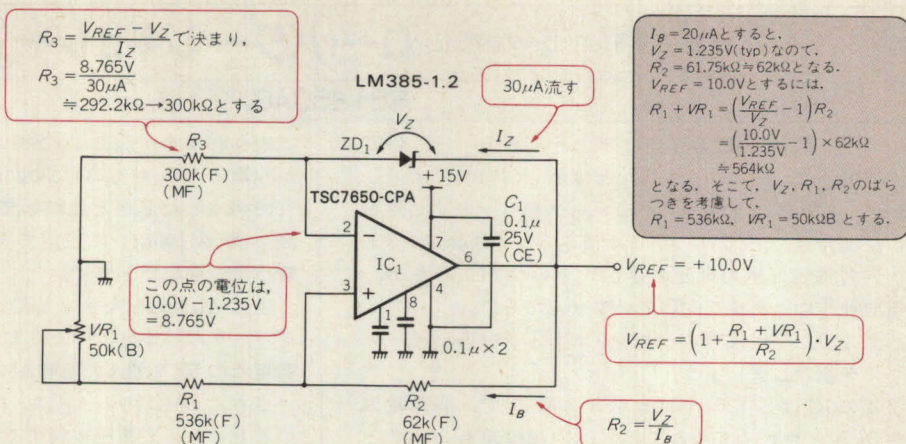
$V_{REF}$ 出力をきちんと+10.0Vに設定するのは、 $VR_1$ を調整して行います。 $R_1$ や  $R_2$ に温度係数が  $25\text{ppm}/^\circ\text{C}$ とか  $10\text{ppm}/^\circ\text{C}$ 程度のものを使えば、 $V_{REF}$ の温度係数を  $30\text{ppm}/^\circ\text{C}$ (typ)程度にはできるでしょう。また、この回路の利点は、**供給電源を単一電源にできる**ことです。

#### ● -10.0V 基準電源

図4は**低消費電流**、**低温度ドリフト**の**-10.0V基準**

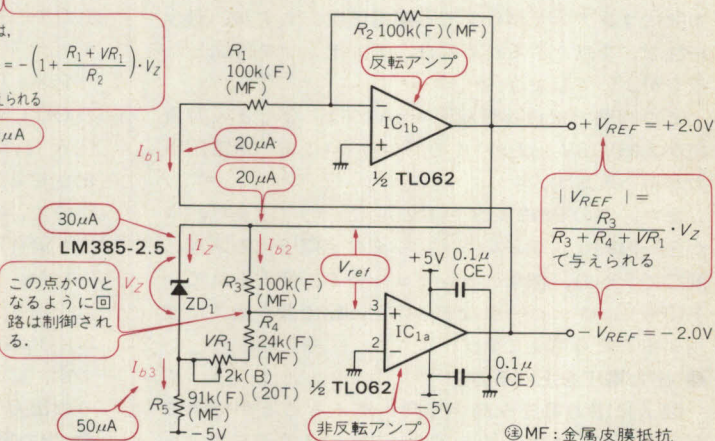


〈図3〉  
低消費電流、低温ドリフトの+10.0V基準電源



〈図4〉  
低消費電流、低温ドリフト-10.0V基準電源

〈図5〉  
低消費電流、トラッキング型  
 $\pm 2.0V$ 基準電源



電源です。図3の回路に対して、供給電源を負電源にし、ZD<sub>1</sub>のアノードとカソードの接続をひっくり返すだけで、-10.0V基準電源が実現できます。

### ● $\pm 2.0V$ 基準電源

図5はトラッキング型の $\pm 2.0V$ 基準電源です。OPアンプにはロー・パワーでデュアルのTL062を使用し、基準電圧用ICにはロー・パワーで2.5VタイプのLM385-2.5を使用しています。LM385-2.5はフローティングにして使用しています。

$V_Z$ の電圧が2.5V (typ) なので、ちょうど2.0Vとするため、 $V_Z$ を抵抗で分圧して使用しています。この回路の出力 $|V_{REF}|$ は、

$|V_{REF}| = \left[ \frac{R_3}{R_3 + R_4 + VR_1} \right] V_Z$   
 で与られます。

IC<sub>1a</sub>は非反転アンプとして、また、IC<sub>1b</sub>は反転アンプとして動作し、IC<sub>1a</sub>の非反転入力 $V_{ref}$ が0Vとなるように回路全体が制御されています。

抵抗 $R_1$ 、 $R_2$ 、 $R_3$ 、 $R_4$ の温度係数を25ppm/°C程度以下にすると、 $\pm V_{REF}$ の温度係数を35ppm/°C (typ) 程度にはできるでしょう。

〈長橋芳行〉

### 参考文献

- (1) ナショナル・セミコンダクター、リニアICデータブック。
- (2) アナログIC活用ハンドブック、CQ出版社。

(トランジスタ技術 1985年2月号)



# CMOS 3端子レギュレータを用いた ロー・パワー・レギュレータ回路

## S81250AG

現在、電源用 IC としては **3端子レギュレータ** が広く使用され、**78L シリーズ** などとはくに有名です。しかし、これらの 3端子レギュレータをバッテリーで使用した場合は、**IC 自体の消費電流が多く** (約 4mA)、また入力電圧と出力電圧の差が大きい (約 1.7V) ため、電池動作にはあまり向いていませんでした。

そこで、**自己消費の少ない CMOS 3端子レギュレータ** を紹介しましょう。

この IC は **S81250AG** (セイコー電子) で、消費電流が  $3\mu\text{A}$  ときわめて少なく、入出力電位差も 30mV と非常に小さくなっています。特性的には、出力電圧温度係数  $6.25\text{mV}/^\circ\text{C}$ 、ライン・レギュレーション 0.1%/V、ロード・レギュレーション 40mV ( $I_{\text{OUT}}=1\text{mA} \rightarrow 40\text{mA}$ ) で、出力電流は 50mA となっています。

### ● 基本的な回路

図 6 に S81250AG を使用した、**基本的な 5V 出力定電圧電源回路** を示します。S812 シリーズは、入力間にコンデンサがなくても定電圧化しますが、過渡特性などを良くするためには、コンデンサを付加したほうがよいでしょう。

この回路では負荷電流が 1mA では、なんと入力電圧が 5.05V (5V 出力時) まで下がっても、5V 定電圧出力が得られます。

また、この S812 シリーズの**定電圧化の原理**は、ほかの一般的な 3端子レギュレータの定電圧化の原理と同じですから、標準的なレギュレータで使用されている**定電流レギュレータ**などの応用回路で置き換えて使用することも可能です。

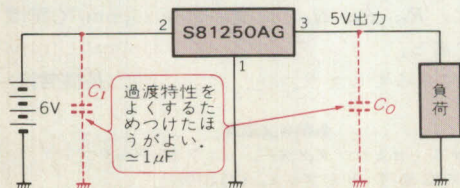
### ● 出力電圧を上げる方法

図 7 に出力電圧を高い方向へ変えることができる回路例を示します。この回路はほかの 3端子レギュレータでもよく使用されているポピュラな回路ですが、この S812 シリーズを使用することにより低消費電流で**入力変動率の小さい定電圧電源回路**が構成できます。

出力電圧は、

$$V_{\text{OUT}} = V_{\text{REG}}(1 + R_2/R_1) + I_{\text{SS}}R_2 \quad \cdots \cdots (1)$$

〈図 6〉 3端子レギュレータの基本回路



で表されます。ここで、S812 シリーズの消費電流  $I_{\text{SS}}$  が非常に小さい ( $3\mu\text{A}$ ) ため、ほかの 3端子レギュレータで構成したときと比較して、 $R_1$  および  $R_2$  を非常に高い値 (数 100k $\Omega$ ) に設定でき、回路自体として低消費電流で構成できます。

逆に  $R_1$ ,  $R_2$  を大きくして、この**経路に流れる電流**をできるだけ小さく抑えておかないと、せっかく低消費電流の IC を使った意味がなくなってしまいます。

さらに S812 シリーズは、内部が定電流で動作しているため、入力電圧に対する消費電流の依存性が小さく、一般の 3端子レギュレータで構成した場合とくらべて 1/10 小さく、単体での場合とほとんど変わりません。

### ● デュアル電源の構成方法

S812 シリーズを 2 個用いると、**デュアル電源**を構成することができます。図 8 に **S81250AG** と **S81230AG** (3V レギュレータ) を用いて、5V と 8V の出力を取り出すことが可能な定電圧電源回路を示します。

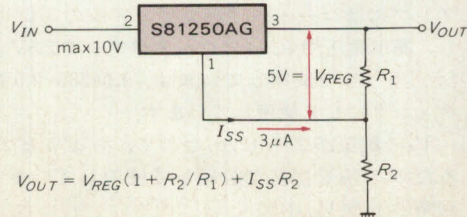
$V_{\text{OUT2}}$  [出力電圧 (8V)] は、IC<sub>1</sub> の GND 端子を IC<sub>2</sub> の OUT 端子に接続することによって得られます。抵抗  $R$  は、IC<sub>1</sub> 自体の消費電流を流して、IC<sub>1</sub> を定電圧化させるものですが、S812 シリーズは超低消費電流なので、 $R$  を高い抵抗値に設定でき、システムとしても消費電流を抑えることができます。

なお、 $V_{\text{OUT2}}$  の最小負荷電流が、IC<sub>1</sub> 自体の消費電流以上流すときは  **$R$  は不要** となります。ダイオード D は、 $V_{\text{OUT1}} > V_{\text{OUT2}}$  となったときに IC<sub>1</sub> を**保護**するものです。このようにすれば、組み合わせによっていろいろな出力電圧を取り出すことができます。

### ● 出力電流の増大方法

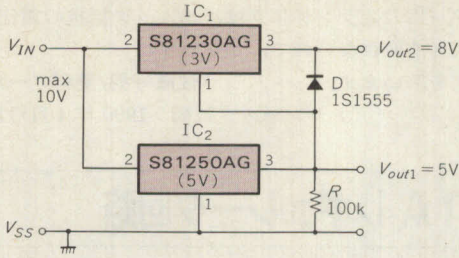
つぎに 50mA 以上の出力電流を取りたい場合の**電流ブースト回路**を図 9 に示します。S81250AG は約 50mA 程度の負荷電流を取り出すことができますが、図 9 のような電流ブースト回路を構成すれば、約 400mA まで取り出すことができます。

〈図 7〉 5V より高い電圧を取り出したいとき





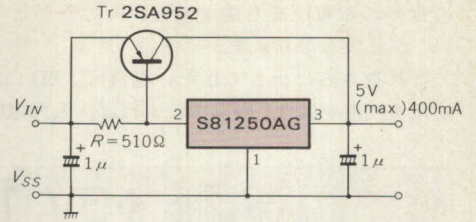
〈図8〉デュアル電源回路



この電流ブースト回路も一般のレギュレータでよく用いられていますが、S812シリーズを用いれば、低消費電流で高出力電流の定電圧電源回路が構成でき、とくにスタンバイ時(出力電流を少ししかとらないでその間は低消費電流にしたい)がある**高出力電流定電圧回路**に最適です。

なお、このS812シリーズのレギュレータは、一般

〈図9〉高出力電流レギュレータ



の3端子レギュレータ(78シリーズ)とピン配置が異なり、さらに**短絡保護回路が内蔵されていません**ので、使い方には十分な注意が必要です。 〈市川 達〉

参考文献

- (1) セイコー電子工業, CMOS データブック.
- (2) アナログ IC 活用ハンドブック, CQ 出版社.

(トランジスタ技術 1985年2月号)

## 入出力間電圧が小さく損失の小さい **+5V 0.5Aレギュレータ回路**

**2SA1349, 2SB744, 2SC2710, 2SK118**

制御用トランジスタにエミッタ出力タイプを採用した一般的な**シリーズ・レギュレータ**では、入出力に最低でも  $V_{BE}$  の電圧が必要です。実際にはさらに B-C 間のバイアス抵抗の電圧降下やダーリントン接続したりして、2~3V 以上必要であることがほとんどです。

これに対して本回路(図10)のように、制御用トランジスタ( $Tr_1$ )にコレクタ出力タイプを採用すると、入出力間電位差は原理的には  $Tr_1$  の  $V_{CE(sat)}$  まで小さくすることができます。

この回路では、 $Tr_3$  と  $Z_1$  が**基準電圧**を作り、 $Tr_2$  と  $D_1$  と  $R_2$  がエラー・アンプを構成しています。出力電圧を  $V_O$ 、基準電圧を  $V_Z$ 、 $D_1$  の順方向ドロップ電圧を  $V_F$ 、 $Tr_2$  のベース-エミッタ間電圧を  $V_{BE}$  とすると、それらは次の関係式で結ばれます。

$$V_O - V_F = V_Z - V_{BE} \quad \text{.....(1)}$$

すなわち、 $V_O$  は、

$$V_O = V_Z - (V_{BE} - V_F) \approx V_Z \quad \text{.....(2)}$$

となつてほぼ定電圧が得られます。

この式で  $V_{BE} - V_F$  を無視しましたが、実際には  $V_{BE}$  は  $Tr_2$  のコレクタ電流 ( $Tr_1$  のベース電流) によって変化します。出力電流が増加すると  $Tr_1$  のベース電流が比例して増加し、 $V_{BE}$  が大きくなり、出力電圧が下がります。そのため、負荷の変動に対するレギュレーション(安定性)がそれほどよくありません。実用的な出力電流は図10の回路の場合 0.5A くらいでしょう。

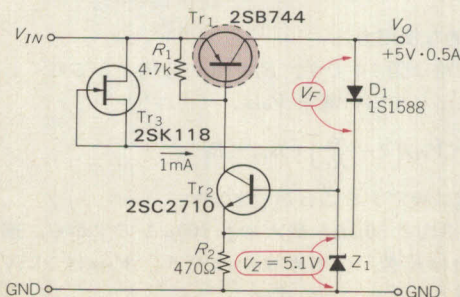
$R_2$  に流れる電流は、

$$\frac{V_Z - V_{BE}}{R_2} \quad \text{.....(3)}$$

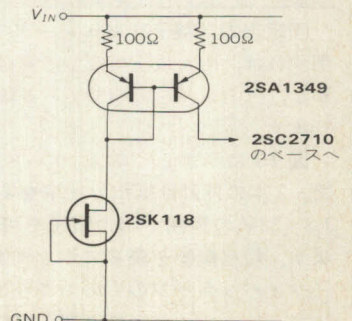
であり、定電流となるため過負荷時の出力電流は、**垂下し保護特性**が得られます。

また、 $Z_1$  として 5.1V のツェナ・ダイオードを使っているので、温度特性も一応満足できます。ただし、こ

〈図10〉簡単な低損失リニア・レギュレータ



〈図11〉  
入力電圧を下げる  
回路





のツェナ・ダイオードに定電流を流す働きをする FET に食われる電圧を考慮すると、**入力電圧として 6.0V 以上が必要**となります。

これをさらに小さくしたい場合は、ZD に流し込む定電流回路を図 11 のようにすれば、入力電圧は、5.5

V 程度まで下げることが可能です。ここに使うカレント・ミラー用のトランジスタは、エミッタ抵抗の電圧降下を大きく取れないので、かならず**デュアル・トランジスタ**を用います。

〈佐藤守男/更科 一〉  
(トランジスタ技術 1990 年 4 月号)

LT1020 を用いて  
低消費電力を実現した

## +5V 1A/-5V 0.1A レギュレータ回路

### LT1020

リニア・テクノロジー社から、スタンバイ電流が 40 $\mu$ A と小さい **LT1020** というレギュレータ IC が発売されています。この IC は 14 ピンの DIP 型ですが、完全に独立したコンパレータが別に内蔵されていますので、2 回路の安定化電源を構成することができます。

出力電流 125mA 時の入出力間電圧差が 0.4V と低損失です。基準電圧  $V_{REF}$  も 2.5V $\pm$ 0.04V とたいへん精度がよく、ボリュームを使わずに**固定抵抗だけで、高精度の電源を作ることができます。**

例として、 $\pm$ 5V 出力の応用例を示しますが、せっかく低損失型の IC を用いるのですから、電流をブーストする +5V 出力の外付けトランジスタは **PNP 型** として低損失を図ります。これと同様に **-5V 出力側には、NPN トランジスタ**を用いています。〈戸川治朗〉

#### 引用\*文献

- (1) リニア・テクノロジー、リニア・データブック。
- (2) 実用電源回路設計ハンドブック、CQ 出版社。

(トランジスタ技術 1987 年 3 月号)

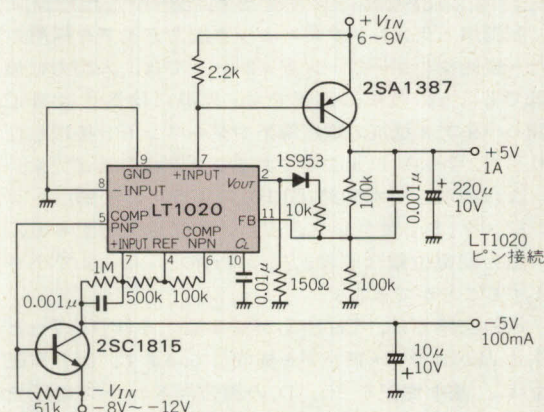
〈表 1〉\*  
LT1020 の定格特性

項目	記号	規格	単位
電源電圧	$V_{IN}$	36	V
基準電圧	$V_{REF}$	2.46~2.54	V
入力安定度	$\delta_{IN}$	0.01	%
負荷安定度	$\delta_{OUT}$	0.2	%
出力短絡電流	$I_{OS}$	250	mA
出力電流	$I_O$	125	mA
入出力電圧差	$V_{DROP}$	0.2	V
動作温度	$T_{op}$	0~100	$^{\circ}$ C

〈写真 1〉 LT1020



〈図 12〉 LT1020 による  $\pm$ 5V 電源



出力電圧可変型 3 端子レギュレータ  
LM317 を用いた

## 出力電圧可変型レギュレータ回路

### LM317

固定出力 3 端子レギュレータでも、OP アンプを使用すれば、**出力電圧可変型の電源**が構成できます。しかし、**出力電圧を可変できる 3 端子レギュレータ**もあります。

図 13 に示す **LM317 シリーズ**はその代表的なもので、2 本の外付け抵抗の比率を変えることによって、1.2~32V の範囲で出力電圧を可変することができ、規格概要を表 2 に示します。デュアル・インライン・パッケージのものもありますが、3 端子構成なので **TO92 タイプ**のほうが、実装スペースが少なくて

済みます

#### ● 基本的な使用方法

基本回路は図 14 です。  $R_2$  を可変抵抗にしておくと、この値に応じて出力電圧  $V_O$  は、

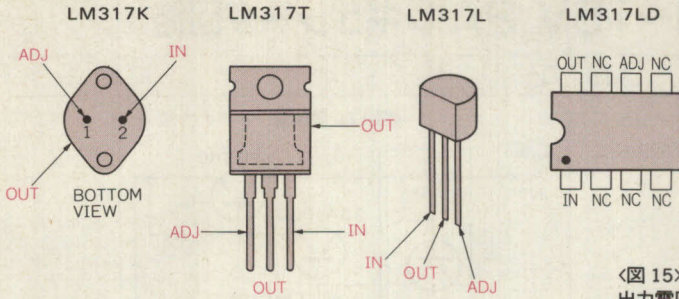
$$V_O = V_{REF} \left[ 1 + \frac{R_2}{R_1} \right] + I_{ADJ} \cdot R_2$$

と、任意に設定することができます。

$I_{ADJ}$  は平均で 50 $\mu$ A、最大でも 100 $\mu$ A ですから、通常の場合は無視してもかまいません。  $V_{REF}$  は 1.25V が標準値ですから、上の式は、



〈図 13〉<sup>(2)</sup> LM317 シリーズの端子接続図



〈表 2〉<sup>(1)</sup> LM317 シリーズの定格特性

項 目	記号	規 格			単位
		LM317L	LM317T	LM317K	
電源電圧	$V_{IN}$	40	40	40	V
出力電流	$I_O$	0.1	1.5	1.5	A
最大損失	$P_D$	0.625	15	20	W
動作温度	$T_{OP}$	-40~125	0~125	0~125	°C
入力電圧変動	$\delta_{IN}$	0.01	0.01	0.01	%
負荷変動	$\delta_{OUT}$	0.1	0.1	0.1	%
基準電圧	$V_{REF}$	1.25	1.25	1.25	V
出力短絡電流	$I_{SC}$	0.2	2.2	2.2	A
リプル減衰率	$V_{F(REF)}$	65	65	65	dB
ジャンクション-ケース間熱抵抗	$\theta_{j-c}$	—	4	2.3	°C/W
型状	—	TO92	TO220	TO3	—

$$V_O = 1.25 \times \left(1 + \frac{R_2}{R_1}\right)$$

と簡略化できます。

このレギュレータ IC は、出力電流を少なくとも 1.5 mA 以上流してないと、本来の動作をしませんから、 $R_1$  と  $R_2$  の抵抗の絶対値を大きくしたいときには、**出力間に抵抗を接続しなければなりません**。これを、**ブリーダ抵抗**と呼んでいます。ただし、 $R_1$  と  $R_2$  を大きくすると、 $I_{ADJ}$  が無視できなくなってくるので、本来このような使い方はすべきではありません。

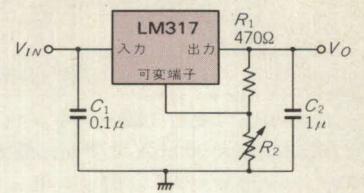
さて、この 3 端子レギュレータでは、 $R_2=0$  すなわち短絡しても、出力電圧を  $V_{REF}$  以下にすることはできません。そこで図 15 のように**負電源を用意し**、 $R_2$  を  $R_3$  を介してこれに接続すれば、出力電圧を 0V まで可変することができます。

このときは  $R_2$  の接続先が GND ではなく  $-1.3V (= 2V_F)$  につながっているので、出力電圧は、

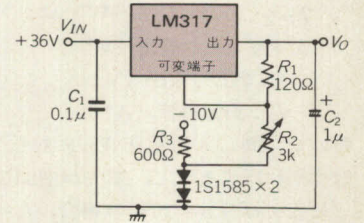
$$V_O = 1.25 \times \left(1 + \frac{R_2}{R_1}\right) - 1.3 \text{ [V]}$$

となります。この式では、 $R_2=0$  でちょうど  $V_O=0$  となるわけではありませんが、 $R_2=0$  で正確に  $V_O=0$  と

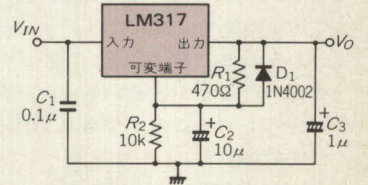
〈図 14〉 LM317 の使い方



〈図 15〉  
出力電圧を 0V から  
可変できる回路



〈図 16〉  
リプル低減方法



したい場合は、 $R_3$  を調節すればできます。

### ● リプルをさらに減らす工夫

この LM317 は、**それ自体で 60dB 以上の入力リプル圧縮度**をもっていますが、さらにリプルを低減し、きれいな直流電圧を得られるようにしたのが図 16 です。ADJ(可変)端子とグラウンド間に  $C_2$  を接続するとこれによって**リプルを低減**することができます。

$C_2$  の容量は  $10\mu F$  前後ですが、これでリプルの圧縮比が 20dB 上昇しますから、約 1/10 にできます。ただし、 $V_O$  を小さくするために  $R_2$  を小さくすると、この値も小さくなってしまいます。

ADJ(可変)端子と出力間に挿入されたダイオード  $D_1$  は、出力が短絡したときに、**内部の素子に逆バイアスがかかるのを防止**するためのものです。出力短絡のとき  $C_3$  はすぐに放電されますが、 $C_2$  は  $D_1$  がないと  $R_1$  との時定数でしか放電できませんので、OUT 端子 0V に対し、ADJ 端子に + 電圧が残るのを防ぐわけです。

〈戸川治朗/更科 一〉

### ● 引用文献

- (1) ナショナル・セミコンダクター、リニア IC データブック。
- (2) モトローラ、リニア・アンド・インターフェース IC。
- (3) 実用電源回路設計ハンドブック、CQ 出版社。

(トランジスタ技術 1987 年 3 月号)



# 出力電圧可変型 3 端子レギュレータ LT317を用いた 3~15V 2A レギュレータ回路

## LM317L

出力電圧可変型 3 端子レギュレータ **LM317L** の出力電流は最大 200mA ですが、最大許容損失は 625mW しかありません。3 端子レギュレータでの **増失  $P_D$**  は、

$$P_D = (V_{IN} - V_O) I_O \text{ [W]}$$

$V_{IN}$  : 入力電圧 [V]

$V_O$  : 出力電圧 [V]

$I_O$  : 出力電流 [A]

なので、同じ入力電圧  $V_{IN}$  に対して、出力電圧  $V_O$  を低くすればするほど、損失が増加します。

たとえば  $V_{IN}=20V$  の場合、 $I_O=40mA$  では  $V_{O(min)} \approx 4.4V$  ですが、 $I_O=100mA$  では  $V_{O(min)} \approx 13.7V$  となってしまいます。実際にはディレーティングも行う必要があるので、 $V_{O(min)}$  はこの値よりも高くなります。

そこで、固定 3 端子レギュレータ同様に、出力電流をブーストすることができます。それが図 17 です。この例では、**2A とかなり大きな出力電流**ですから、さらに NPN 型トランジスタを **インバーテッド・ダーリントン接続** にし、合計での電流増幅率を大きく稼いでいます。

このときの  $I_{Reg}$  は、

$$I_{Reg} = \frac{I_O}{h_{FE1} \times h_{FE2}}$$

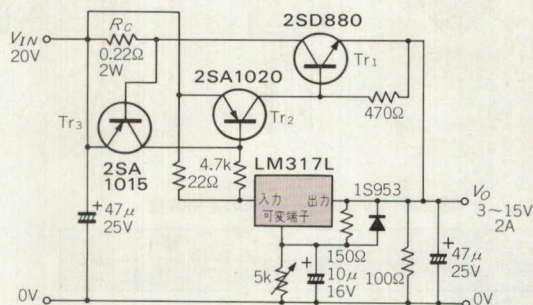
ですからたいへん小さな値となり、3 端子レギュレータの内部損失は、ほとんど無視することができるようになります。

ちなみに最低の出力電圧  $V_{O(min)}=3V$  時の  $Tr_1$  の損失は、

$$P_{C1} = (V_{IN} - V_{O(min)}) \times I_O \\ = (20 - 3) \times 1.5 = 34W$$

で、この電流増幅率  $h_{FE1}=80$  とすると、 $Tr_2$  の損失は、

〈図 17〉 電流ブーストの方法



$$P_{C2} = \{V_{IN} - (V_{O(min)} + V_{BE1})\} \times \frac{I_O}{h_{FE1}}$$

$$= 20 - (3 + 0.7) \times \frac{1.5}{80} = 0.4W$$

となります。

過電流保護回路は、入力側に電流検出抵抗  $R_C$  と、PNP トランジスタ  $Tr_3$  によって構成することができます。出力電流と同じ大きさの電流が  $R_C$  に流れますが、この  $R_C$  の電圧降下が  $V_{BE(ON)}$  以上になると、 $Tr_3$  が ON して  $Tr_2$  のベース電位を上げて、 $Tr_2$  の電流を制限します。したがって**出力電流も制限**されることになります。

出力電流  $I_O$  の最大値  $I_{O(max)}$  は、

$$I_{O(max)} = \frac{V_{BE(ON)}}{R_C}$$

で与えられるので、 $V_{BE(ON)}=0.6V$ 、 $R_C=0.22\Omega$  とすると、 $I_{O(max)}$  は約 2.7A となります。

〈戸川治朗/更科 一〉

(トランジスタ技術 1987 年 3 月号)

# 制限電流が自由に設定できる 0~25V/0~1.5A 電流リミッタ付きレギュレータ回路

## LM317K

回路実験をするときに用いる電源としては、電圧を自由に設定できると同時に、図 18 のように**制限電流も自由に設定**できると非常に便利です。実験している回路にミスなどがあり、異常電流が流れて素子が破壊されるのを防いでくれます。また、**定電圧源**としてだけでなく、**定電流源**としても使うこともできます。メーカーから出ている電源はほとんどの場合、このような機能が備わっています。

このような電源を、出力電圧可変の 3 端子レギュレ

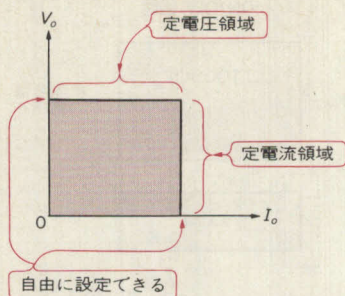
ータ **LM317** を 2 個シリーズに接続することによって実現することができます。LM317 には表 3 に示すように、後に続く文字によって、多くの種類があります。ここでは **TO3** パッケージで 1.5A まで出力電流が取り出せる **LM317K** を使い、出力電流 0~25V、出力電流 0~1.5A を得ています。

回路図を図 19 に示します。IC<sub>1</sub>が**制限電流設定用**、IC<sub>2</sub>が**出力電圧設定用**です。

まず電流制限動作について説明しましょう。Tr<sub>1</sub>は



〈図 18〉 出力電圧-出力電流特性



〈表 3〉 おもな LM317 ファミリ

型 名	最大出力 電流 [A]	出力電圧 [V]	許容損失 [W]	外周器	備 考
LM317LD	0.1	1.2~37	—	SO8	面実装用 (LM317L)
LM317LZ	0.1	1.2~37	0.625	TO92	
LM317LH	0.1	1.2~37	2.0	TO39	
LM317M	0.2	1.2~37	7.5	TO202	
LM317	0.5	1.2~37	2.0	TO39	(LM317H)
LM317T	1.5	1.2~37	20	TO220	
LM317K	1.5	1.2~37	20	TO3	
LM317HVH	0.5	1.2~45	2.0	TO39	高出力電圧
LM317HVK	1.5	1.2~45	20	TO3	高出力電圧

FET のゲート-ソース間が短絡されているので定電流源として働いており、ダイオード  $D_1$ ,  $D_2$  に  $V_F$  を発生させます。このためダイオードの両端には  $2V_F$  が発生しますが、この電圧を抵抗で分圧して  $IC_1$  の可変端子に接続しています。

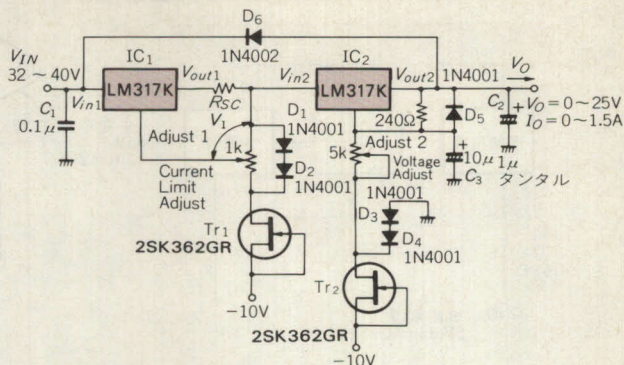
LM317K は、可変端子と出力端子の電位差が、1.25V となるように出力端子を制御するので、可変端子と  $D_1$  のアノード側の電位差を  $V_1$  とすると、制限電流  $I_{limit}$  は、

$$I_{limit} = \frac{1.25 - V_1}{R_{sc}} = \frac{1.25 - V_1}{0.68} \text{ [A]}$$

となります。  $V_1$  の範囲は  $0 \sim 2V_F (\approx 1.25V)$  なので、  $I_{limit}$  は  $0 \sim 1.8A$  まで自由に設定できます。

つぎに出力電圧設定部ですが、これは通常の使い方なので、さほど詳しい説明はいらないでしょう。  $Tr_2$

〈図 19〉 電流リミッタ付きレギュレータ回路



は、  $Tr_1$  で同様に定電流源で、  $D_3$ ,  $D_4$  に  $V_F$  を発生させます。これにより出力電圧  $V_o$  は、

$$V_o = 1.25 \times \left(1 + \frac{VR}{240\Omega}\right) - 2V_F \text{ [V]}$$

$VR$  は  $5k\Omega$  可変抵抗器の抵抗値  $[\Omega]$

と表されます。これにより、  $V_o$  は  $0 \sim 26V$  程度まで可変できることがわかります。

$D_5$  は出力短絡時に  $C_2$  の、また  $D_6$  は電源 OFF 時に  $C_3$  の電荷を放電して、  $IC_2$  が壊れるのを防ぐためのものです。

なお、ダイオードは海外製のものを使っていますが、  $D_1 \sim D_4$  は汎用の小信号ダイオードで良く、  $D_5$  と  $D_6$  は  $V_A$  が  $50V$  以上あり、  $I_F(\max)$  が  $100mA$  以上のものならばなんでもかまいません。また  $Tr_1$  と  $Tr_2$  については、  $D_1$  と  $D_2$ 、および  $D_3$  と  $D_4$  の両端に  $1.25V$  程度が発生するような  $I_{DSS}$  の  $N$  チャネル FET ならばなんでもかまいません。なお  $Tr_1$  と  $Tr_2$  では、  $Tr_1$  の電流は  $D_1$ ,  $D_2$  とバラに入っている  $1k\Omega$   $VR$  に電流が分流されるので、  $Tr_1$  の  $I_{DSS}$  のほうが大きなものがが必要です。

〈宇仁茂義/更科 一〉

#### 参考文献

- (1) ナショナル・セミコンダクター、リニア IC データブック。
- (2) 実用電源回路設計ハンドブック、CQ 出版社。

(トランジスタ技術 1987 年 3 月号)

## イネーブル端子を備えたレギュレータ IC LT1005 の応用

### LT1005CT

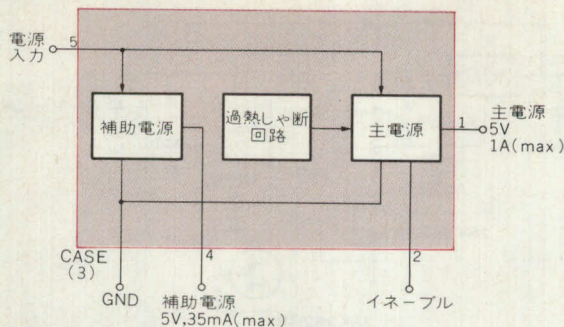
LT1005 は  $5V1A$  のボルテージ・レギュレータ IC ですが、通常の 3 端子レギュレータと異なり、イネーブル端子を備えており、これで出力の ON/OFF が行えます。また、イネーブル信号とは無関係の  $5V35mA$  の予備出力をもっています。この二つの特徴から、3 端子レギュレータでは実現できない種々の回路に応用することができます。これをいくつか紹介していきま

しょう。図 20 に内部ブロック図と外形図を示します。

レギュレータとしての特性は、出力電圧  $5V \pm 0.2V$ 、ロード・レギュレーション  $0.5\%$ 、ライン・レギュレーション  $0.3mV/V$ 、リプル抑圧比  $66dB$  となっています。これだけでも 3 端子レギュレータに勝るとも劣らない特性をもっています。また過電流保護回路、温度保護回路も内蔵しています。



〈図 20〉 LT1005 の内部ブロック図と外形図



イネーブル信号が“L” → “H” になってから出力電圧が 90 % 立ち上がるまでの時間は **1.5μs 程度**，“H” → “L” になってから 10 % まで低下するのは **1.0 μ ~ 1.5μs 程度**です。

図 21 はディレイ・タイプ・フリップフロップの 7474 と組み合わせて、キーボード・ボタンによって主電源を ON/OFF させる回路です。7474 の電源は予備出力から得ているので、これは常に ON になっており、キーボード・ボタンを押すごとにクロックが入るので、7474 の Q 出力は“H” / “L” を交互に繰り返します。これにより LT1005 のイネーブル端子も“H” / “L” を繰り返すことになり、キーボード・ボタンを押すごとに主電源の 5V 出力は ON/OFF を繰り返すことがわかります。

なお、7474 の代わりに CMOS IC を用いてもかまいません。また実際の回路では、キーボード・ボタンのチャタリング防止回路も入れる必要があります。

図 22 は電源の**スロー・スタータ回路**です。パワー ON 時は 10μF には電荷がないので、イネーブル端子は“L”であり、出力は出ません。予備出力はすぐに立ち上がるので、39kΩ を介して 10μF を充電していき、イネーブル端子電圧がスレッシュホールド電圧を超えると、出力に 5V が出てきます。スレッシュホールド電圧は 1.6V (typ) なので、本回路の定数ではパワー ON 後出力が現れるまでの時間  $t$  は、

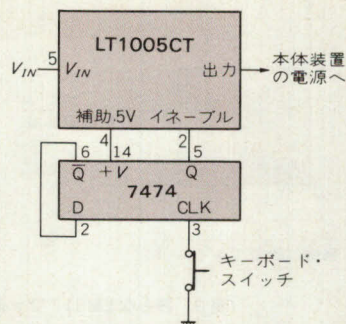
$$t = -CR \ln \left[ 1 - \frac{V_{th}}{V_{cc}} \right]$$

$$= -10\mu \times 39k \times \ln \left[ 1 - \frac{1.6}{5} \right] \approx 150 \text{ [ms]}$$

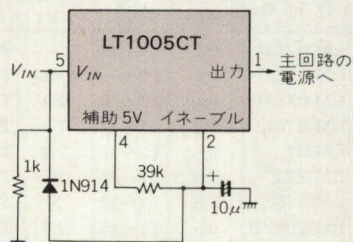
となります。ダイオードと 1kΩ の抵抗は、電源 OFF 時すみやかに 10μF の電荷を放電させます。

図 23 は**過電流保護回路**にラッチ機能をもたせたも

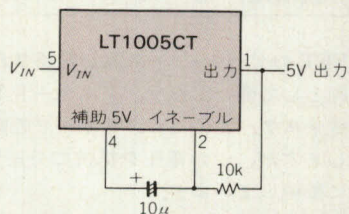
〈図 21〉 キーボード・ボタンによる ON/OFF 回路



〈図 22〉  
パワー ON  
スロー・スタータ回路



〈図 23〉  
ラッチ機能をもった  
過電流保護回路



ので、過電流状態から抜け出しても一度電源を OFF しない限り出力は現れません。電源 ON 時 10μF に電荷がないとすると、イネーブル端子は予備出力により瞬時に 5V となり出力には 5V が現れ、これによりイネーブル端子は 5V に保たれます。

ところが過電流が流れると、LT1005 の内部にある**過電流保護回路**の働きにより、出力は 0V になってしまい、これによりイネーブル端子は 10μF と 10kΩ の時定数で低下し、これがスレッシュホールド電圧以下になると、過電流保護回路によるものとは別に出力を 0V にしてしまいます。これによって過電流が流れなくなっても出力は 0V のままで、一度電源を切って再投入しない限り出力は現れません。

〈更科 一〉

#### 参考文献

(1) リニアテクノロジー、アナログ・データブック。

(トランジスタ技術 1988 年 1 月号付録)



# 入力電圧が低下すると出力がOFFする 5V 1Aレギュレータ回路

## LT1005CT

図24は電源の入力電圧がなんらかの理由で低下した際に、レギュレータの電圧を自動的にOFFする回路です。この回路はいろいろな応用が考えられますが、マイコン・システムのパワー・ダウン時におけるデータのストア・シーケンスへの応用が面白いと思います。

本回路では、電源電圧が一定レベルを下まわると、MAIN出力(1A)がまずOFFとなります。しかし、この時点ではAUX出力はまだ出力を保っており、この電圧を利用して必要なデータをメモリへストア(待避)することが可能となるわけです。

### ● 入力電圧低下の検出

電圧コンパレータを利用して、入力電圧がレギュレータを安定に動作させるために必要な電圧であるかをチェックします。入力電圧が十分な値となった時点で、イネーブル端子を“H”としてMAIN出力をONにします。ここで、もし入力電圧が必要なレベル以下になってしまうと、コンパレータはイネーブル端子を“L”として出力をOFFとします。

コンパレータの比較基準電圧は、AUX出力を抵抗分割して作ります。本回路では2.7kΩと2.2kΩで分割しています。

したがって、基準電圧は、

$$5[V] \times \frac{2.2k}{(2.2+2.7)k} \approx 2.25V$$

となります。

ただし、これはAUX出力電圧が5Vのときです。入力電圧が低い期間は当然AUX出力も5Vを出力しません。しかし、この期間はほぼ入力電圧と等しい電圧を保ちますので、抵抗比の比率からいって、コン

パレータの出力は“L”のままです。

コンパレータのオフセット電圧は無視して考えることとし、この2.25Vを上まわるために要する入力電圧は、

$$X[V] \times \frac{2.2k}{(2.2+5.1)k} = 2.25V$$

$$X[V] = \frac{7.3k}{2.2k} \times 2.25V = 7.47V$$

LT1005の最小入力電圧は7.4Vですから、出力を維持するためには妥当な値となります。もちろん、設計時にはこの逆の計算を行っているわけです。

実際の回路における入出力波形を写真2に示します。

出力に付加されているダイオードと抵抗は、出力のターンオフを円滑に行わせるためのもので、コンパレータの応答にヒステリシスをもたせています。前述の最小入力電圧は、本回路におけるMAIN出力を維持するために必要なものです。

電圧投入時には、このダイオードがONになっていますので、4.7kΩが2.2kΩに並列接続されており、回路を動作させるためには、10.5V以上の入力が必要ですが(ただし、MAIN出力がOFFとなっているときのみ)。このことは写真2からもわかります。MAIN出力がONとなる入力電圧とOFFとなる時の入力電圧に3Vくらいの差が認められます。R<sub>1</sub>の値を変えることにより、ON時の入力電圧値を変えることができます。

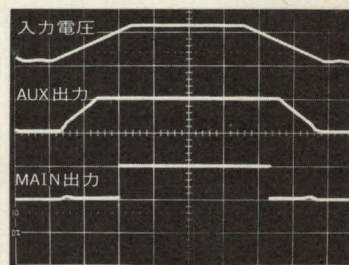
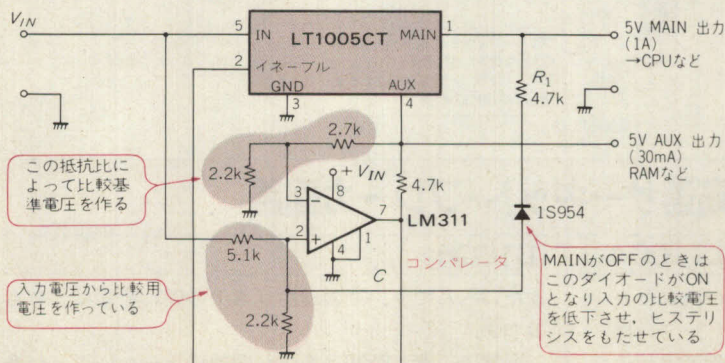
〈菅原康夫〉

### ●参考文献●

- (1) リニアテクノロジー、アナログ・データブック。
- (2) アナログIC活用ハンドブック、CQ出版社。

(トランジスタ技術 1985年2月)

〈図24〉 入力電圧低下による出力OFF回路をもった5V電源



〈写真2〉 図24の回路の出力波形  
[上: 10V/div, 中, 下: 5V/div, 0.2ms/div]



図 25 に示す回路は、出力電流が 1A を超えるような負荷が接続されたときに、出力電圧を電氣的にカットするような、5V1A レギュレータ回路です。回路は電氣的に過電流を検出し、保護動作を行いますので、高速動作が可能となり、負荷回路の 2 次的な破壊を防止することができます。

また、電源の再投入により簡単に復帰させることができますから、取り扱いがたいへん便利になっています。

本回路は、出力イネーブル端子と AUX(補助)電源出力をもつ 5 端子レギュレータ LT1005CT を使用しています。このレギュレータは、元来、出力短絡時の熱保護回路をもっているのですが、これはレギュレータ自身を保護するものであり、オーバロード時においても負荷回路には電流が流れ続けます。このため、負荷異常の場合には、致命的なトラブルを起こしてしまうことが考えられます。

そこで、本回路では過電流を検出し、イネーブル端子を駆動することによって、電圧出力を完全に OFF してしまうように働きます。

#### ● 過電流の検出方法

過電流の検出は、電圧入力部の  $R_1(1\Omega)$  の両端に発生する電圧を利用します。この両端の電圧が 1V となったとき、トランジスタ  $Tr_1$  が ON となります。 $Tr_1$  が ON となるとコレクタ電流が流れ、LT1005 のイネー

ブル端子駆動用 MOS FET, VN2222( $Tr_2$ ) のゲートに対して、 $1k\Omega$  と  $2.2k\Omega$  によって分割された電圧が印加されます。そして、 $Tr_2$  のゲート電圧が約 2V を超えると、 $Tr_2$  が ON となって LT1005 のイネーブル端子をプルダウンします。この結果出力が OFF となるわけです。

AUX 出力は、 $3.3\mu F$  と  $1k\Omega$  との組み合わせにより、電源投入時におけるイネーブル端子のプルアップとして働きます。 $3.3\mu F$  のコンデンサは、電源投入時のみイネーブル端子を駆動します。いったん MAIN 電圧が出力されると、その後は  $10k\Omega$  を介してイネーブル端子のプルアップを継続します。

$100pF$  は、 $Tr_2$  の立ち上がりを改善するためのスピードアップ・コンデンサです。

とくに高速応答を必要としない場合は、図 25 の中の破線に示すようにコンデンサを付加し、 $100pF$  を取り除くことによって、安定した動作を行わせることができます。また、過電流検出用抵抗  $R_1$  の値を変えることによって、ブレーカを働かせる電流値を変更することができます。

本回路の応答時間は約  $1\mu s$  です。

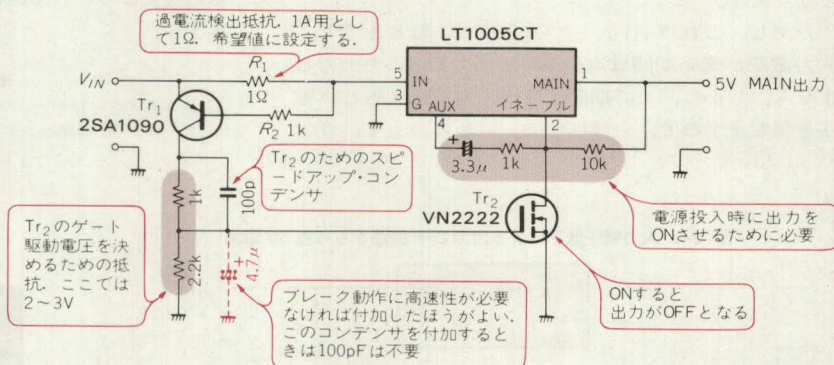
〈菅原康夫〉

#### ●参考文献●

- (1) リニア・テクノロジー、アナログ・データブック。
- (2) アナログ IC 活用ハンドブック、CQ 出版社。

(トランジスタ技術 1985 年 2 月号)

〈図 25〉  
過電流ブレーカをもった  
5V 電源



## 遅れ時間 12ns の 高速サーキット・ブレーカ回路

LT1004, LT1016CH

負荷に流れる電流を検出して、過大電流が流れたときに回路をしゃ断するようなサーキット・ブレーカは種々ありますが、これを高速で行おうとするとつこ

うたいへんです。その理由は素子の遅れ時間によるものです。

通常この遅れ時間はあまり問題にならないことが多



いのですが、用途によってはこれを極力小さくしたいときもあります。そこでここでは、高速コンパレータ IC **LT1016** を使った高速サーキット・ブレーカ回路を紹介します。

**LT1016** は遅れ時間 **10ns**(typ) という超高速のコンパレータで、しかも入力オフセット電圧が **1mV**(typ) と小さく、電源電圧は  $\pm 5V$  ですが  $+5V$  単電源でも使え **TTL 直結可能** です。出力は差動で出ており、またラッチ・イネーブル端子があり、この端子が“H”になっていると出力はラッチされています。

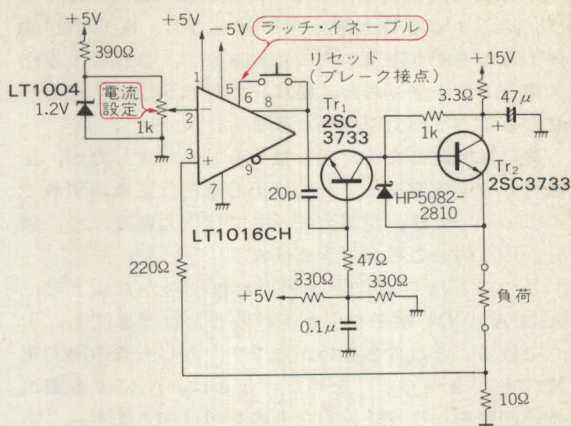
図 26 が本回路図で、負荷に流れる電流が設定値(最大 **120mA**)を超すと負荷に電圧がかからなくなります。このときの遅れ時間は **12ns**(typ) を実現しており、リセット・スイッチを押すまでしゃ断状態が続きます。

通常状態では、負荷と直列に入る **10 $\Omega$**  の電圧降下が小さいので、IN<sup>-</sup>端子のほうが IN<sup>+</sup>端子より高電位なので、OUT<sup>+</sup>端子は“L”、OUT<sup>-</sup>端子は“H”となっています。なおこのとき、リセット・スイッチは通常閉じているので、ラッチ・イネーブル(LE)端子も“L”で、出力はラッチ状態にはなっていません。これにより、Tr<sub>1</sub>は OFF しているので Tr<sub>2</sub>は ON して、負荷には電圧がかかります。

ところが過電流により **10 $\Omega$**  の電圧降下が大きくなると、IN<sup>+</sup>端子のほうが IN<sup>-</sup>端子よりも高電位になり、出力は反転します。そうすると Tr<sub>1</sub>のエミッタ電位が引き下げられるので、Tr<sub>1</sub>は ON して Tr<sub>2</sub>のベース電位を引き下げ、結果として負荷にかかる電圧を引き下げます(ただし完全に 0 電位にはならず、1V 程度残る)。

また、LE 端子は“H”になるため出力はラッチ状態となり、過電流がなくなってもしゃ断された状態が

〈図 26〉遅れ時間 12ns のサーキット・ブレーカ回路



続きます。これを解除するにはリセット・スイッチを押して、**20pF** の電荷により一瞬 LE 端子を“L”にします。

過電流検出の設定値は、IN<sup>-</sup>端子の電位と **10 $\Omega$**  の抵抗で決まるので、ここには温度係数の小さなものを用います。基準電圧を作っている **LT1004** の温度係数は **20ppm/ $^{\circ}C$**  です。

また、**LT1016** のように高速で動作するコンパレータの場合、かならず電源とグラウンド間に **0.01 $\mu F$**  程度のパスコンを入れ、極力ピンの近くに配置するようにします。さらに、IC ソケットを使う場合には十分な配慮が必要で、グラウンドは全面アースとします。

〈更科 一〉

#### ●参考文献●

(1) リニアテクノロジー、アナログ・データ。

(トランジスタ技術 1988 年 1 月号付録)

## 交流信号も扱える 電圧・電流レギュレータ回路

### LT1010

**電圧・電流レギュレータ**とは、出力に負荷を接続したとき、そこに流れる電流が設定値以下のときは設定した電圧出力が得られ、それ以上ではその設定した電流になるといえるものです。いいかえると、負荷に発生する電圧が設定値以上のときは設定した電流が流れ、それ以下では設定した電圧が得られるといえるものです。こういうとわかりにくいかもしれませんが、**カレント・リミッタの付いた定電圧回路**などはこれに含まれます。

本回路では、この設定する電圧・電流値を外部入力電圧で制御してやろうというもので、直流電圧はもちろん交流電圧にも対応できるものです。図 27 がその

回路図で、出力電流が  $V_i$  で設定される電流値よりも小さいときは、A<sub>3</sub>の IN<sup>+</sup>端子のほうが IN<sup>-</sup>端子よりも低くなっており、このため A<sub>3</sub>の出力は“H”となります。

したがって D<sub>1</sub>は逆バイアスされ、A<sub>3</sub>の出力は A<sub>1</sub>の IN<sup>+</sup>端子より切り離され、A<sub>1</sub>、A<sub>2</sub>による電圧バッファはそのまま入力電圧  $V_i$  を出力に伝えます。A<sub>2</sub>はたんなる電流ブースタで、OP アンプと組み合わせて出力電流を増加させるものです。D<sub>2</sub>は A<sub>3</sub>の出力をクランプして出力段を飽和させないようにしているもので、高速動作させるために入れています。

いっぽう出力電流が設定値に達すると、A<sub>3</sub>の IN<sup>+</sup>



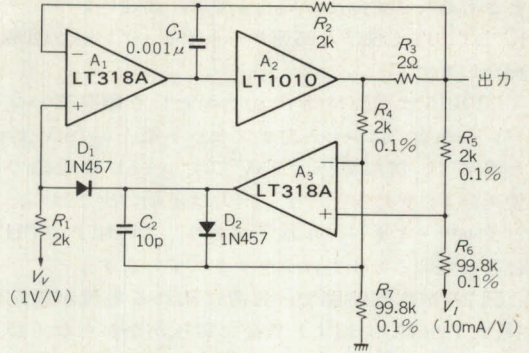
端子はIN<sup>-</sup>端子より低くなり、出力は“L”となります。そうするとD<sub>1</sub>は順バイアスとなり、A<sub>1</sub>のIN<sup>+</sup>端子の電位を引き下げる方向に働きます。これにより出力電圧も引き下げられ、結局出力電流が**設定値**どおりになるような出力電圧となります。

先に本回路は交流電圧も扱えるといいましたが、正確にいうと定電圧モードでは出力電圧は正負いずれでもよいのですが、定電流モードでは出力電流は**正の値**しか取り得ることができません。

このことはD<sub>1</sub>の向きを考えれば明らかのように、A<sub>3</sub>はA<sub>1</sub>のIN<sup>+</sup>端子を引き下げることはできても、引き上げることはできないからです。もしも負の出力電流でも**定電流モード**を得たいときは、A<sub>3</sub>による電流検出回路を**極性を逆に**したものを付け加えます。

本回路の大きな特徴はその**高速性**にあり、出力に0.01μFのコンデンサが付いても、**バンド幅2MHz**、**スルーレート15V/μs**という値が得られます。出力にコンデンサを付けなくても出力インピーダンスは十分

〈図27〉 電圧、電流レギュレータ



に低く、このときはバンド幅は10MHzになります。

〈更科 一〉

参考文献

- (1) ナショナル・セミコンダクター、リニア IC データブック。  
(トランジスタ技術 1988年1月号付録)

## ディスクリート素子で構成した 5V 0.5A チョッパ型レギュレータ回路

2SB744A, 2SK118

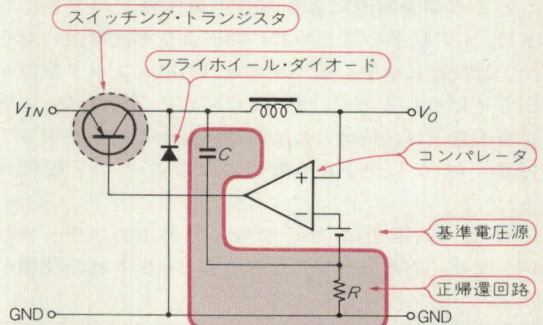
### ● 5V・0.5A 簡易チョッパ回路(1)

図28に回路を、原理図を図29に示します。

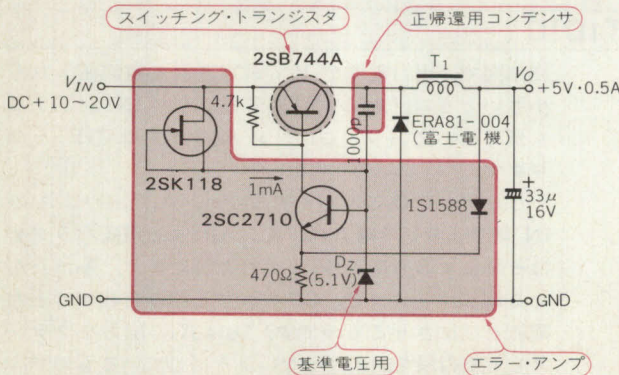
コンパレータのゲインが小さい場合は、系の遅れだけを利用して発振させることが難しくなります。そこで、スイッチング・トランジスタのコレクタからCとRを使って**正帰還回路**を組みます。発振周波数はCとRによって変化します。図28の実際の回路においてはCとして**1000pF**を用いており、Rとしては**ツェナ・ダイオードの動作抵抗**を利用しています。

図28の回路において、2SC2710のエミッタに接続されている抵抗470Ωは過電流に対して**垂下型の保護**の働きをしますが、入力電圧がリニア・レギュレータ

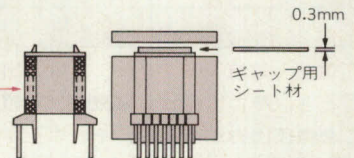
〈図29〉 図28の回路とCとRによる正帰還の説明



〈図28〉 5V・0.5A 簡易チョッパ回路(1)とトランス



ボビンの幅いっばいに密着巻きをする。

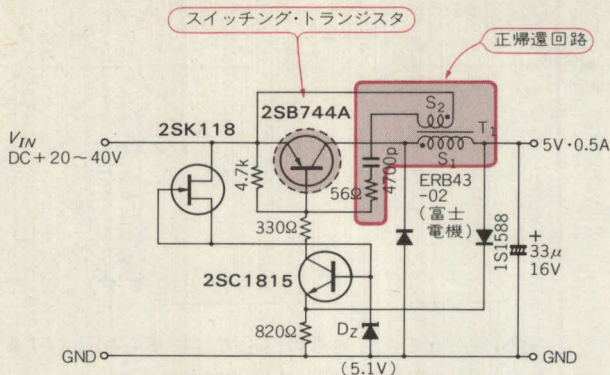


トランスT<sub>1</sub>の作り方  
EI22型コアに0.45mmφのワレタン線を44回巻く。  
コア材:TDK PC30(1BH7C1)材など  
ギャップ:0.3mm  
インダクタンス:245μH

スイッチング・トランジスタのヒート・シンクは20mm×20mm、厚さ1mmのアルミ板

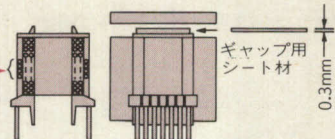


〈図 30〉 5V・0.5A 簡易チョップ回路(2)とトランス



スイッチング・トランジスタのヒート・シンクは 20mm×20mm、厚さ1mmのアルミ板

S<sub>1</sub>を巻いた上に、S<sub>2</sub>をボビン中央に密着巻きする。S<sub>1</sub>の上にテープを巻くとS<sub>2</sub>が巻きやすい。S<sub>2</sub>の上にはテープを巻いて固定する



トランスT<sub>1</sub>の作り方

EI22型コアにS<sub>1</sub>として0.45mmφのウレタン線を44回、S<sub>2</sub>として0.3mmφのウレタン線を5回巻く  
コア材:TDK PC30(1BH7C1)材など  
ギャップ:0.3mm  
S<sub>1</sub>のインダクタンス:245μH

にくらべ高いため、過負荷や短絡が続くとスイッチング・トランジスタが急激に発熱します。この回路の保護は瞬時短絡に対してだけ有効と考えてください。

#### ● 5V・0.5A 簡易チョップ回路(2)

図 30 に回路を示します。図 28 の回路では C と R により正帰還回路を構成しましたが、ここではトランスに帰還巻線 S<sub>2</sub>を設けて発振させています。

帰還巻線によってスイッチング・トランジスタが OFF 時に逆バイアスされるため、スイッチング・ロスが図 28 の回路にくらべ小さくなります。逆バイアス

がない場合は、入力電圧が高くなるにしたがってスイッチング・ロスが増加し効率が落ちますが、この回路ではその点が改善されています。

ただし、入力電圧が高いときには負荷が瞬時短絡してもスイッチング・トランジスタが ASO (安全動作領域) 破壊することがあります。

〈佐藤守男〉

#### ●参考文献●

(1) トランジスタ技術 SPECIAL No.28, 特集 最新電源回路設計技術のすべて

(トランジスタ技術 1990 年 4 月号)

TL499A を用いて自動的に  
バッテリー・バックアップが行える

## 9V スイッチング・レギュレータ回路

### TL499A

TL499A は内部にスイッチング・レギュレータとシリーズ・レギュレータの両方を内蔵した IC で、それぞれ単独で使うことができます。また、シリーズ・レギュレータの入力電圧が低くなると自動的にスイッチング・レギュレータに切り替わるという特徴もあり、バッテリー・バックアップを行うのに便利です。

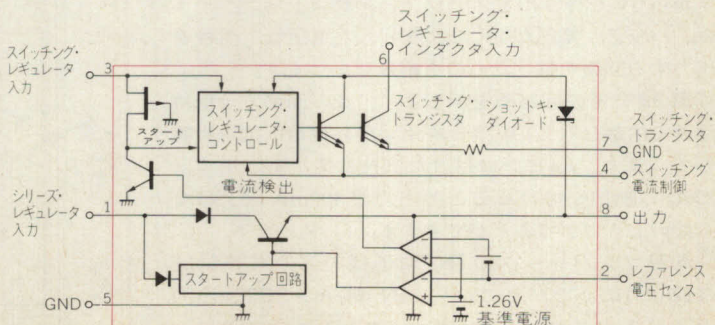
入力電圧は 1.1~10V、出力電圧は 2.9~30V となっています。なお出力短絡保護回路が内蔵されていない

ので、絶対に出力短絡が生じないような使い方をする必要があります。図 31 に内部接続図を示します。

図 32 は通常時はシリーズ・レギュレータとして働いており、AC が OFF となりシリーズ・レギュレータ入力なくなると、自動的にバッテリーからのスイッチング・レギュレータに切り替わる電源回路です。

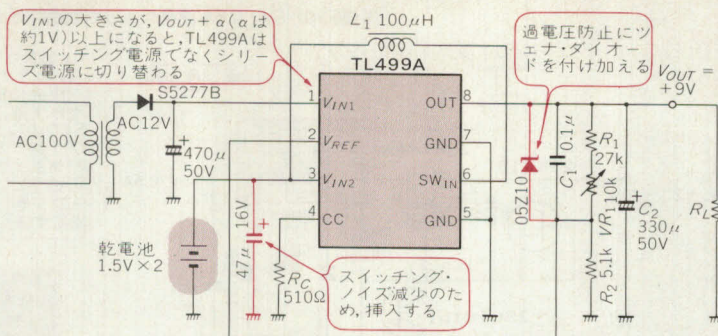
入力端子 V<sub>IN1</sub>(1 ピン)に直流電圧を加えると、9V の電圧が得られます。もちろん、この 9V はシリ-

〈図 31〉 TL499A の内部接続図





〈図32〉 バッテリー・バックアップ回路



ズ・レギュレータの出力ですから、ノイズはスイッチング・レギュレータの場合にくらべるとずっと少なくなります。ここで TL499A がシリーズ・レギュレータとして動作するためには、**入力電圧  $V_{IN1}$  が、 $V_{OUT} + \alpha$  ( $\alpha$  は約 1V) 以上の電圧であることが条件です。**

図 32 の回路では、 $V_{IN1}$  が 10V 以上であれば、この回路は AC100V を電源とするシリーズ・レギュレータとして動作をし、10V 以下であれば**乾電池**を電源とするスイッチング・レギュレータとして動作をします。

したがって、停電になっても乾電池がバックアップしてくれますので、**停電になったら困るような回路**に使用すれば非常に便利です。

もちろん、シリーズ・レギュレータとスイッチング・レギュレータの切り替えは IC が自動的に行います。このときの出力電圧の変動が問題ですが、**2%**

(typ) 程度なので、通常の用途ではまず心配はありません。 $V_{IN1}$  には最大 32V まで入力できます。

TL499A は**最大 30V** までの電圧を出力できますので、抵抗  $R_1$  か  $V_{R1}$  がなにかの原因で断線すると、出力電圧はたちまち 30V になってしまいます。

この対策として図 32 のように、抵抗  $(R_1 + V_{R1})$  と並列に**ツェナ・ダイオード**を接続すれば、抵抗が断線しても出力電圧は**ツェナ電圧 + 1.26V** に抑えられますので大丈夫です。ただし、出力設定の際は、ツェナ・ダイオードの内部抵抗を考慮してください。

〈松井邦彦〉

#### 参考文献

- (1) テキサス・インスツルメンツ、リニアデータブック。
- (2) アナログ IC 活用ハンドブック、CQ 出版社。

(トランジスタ技術 1985 年 2 月号)

LT1073 を用いて  
入力電圧低下出力をもった

## 9V → 5V ステップ・ダウン・コンバータ

### LT1073-5

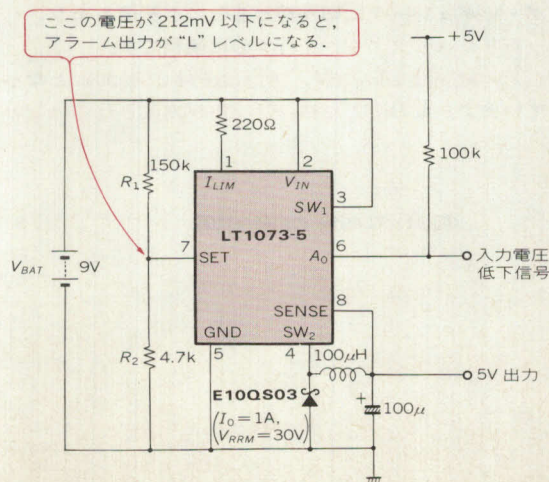
LT1073 は最小入力電圧が 1V から動作する DC-DC コンバータということで、**ステップ・アップ・コンバータ**としての使用がすぐに頭に浮かんできますが、**ステップ・ダウン・コンバータ**としても使えます。

また、内部に基準電圧と汎用コンパレータをもっていることから、これを利用すると**電池電圧低下アラーム**などが簡単に構成できます。ここでは 9V のバッテリーから 5V を作り出す**ステップ・ダウン・コンバータ**に、バッテリー電圧が 7V になると**入力電圧低下信号**を出力する回路を付けたものを紹介しましょう。

図 33 にその回路図を示します。この回路では抵抗回路を内蔵した **LT1073-5** を用いて外付け抵抗を省略しています。 $I_{LM}$  ピンに付けた抵抗は**電流制限用**で、220Ω の抵抗を付けることで出力が 400mA 以上にならないようにすることができます。

汎用コンパレータの  $IN^-$  端子は**内部の基準電圧** (212mV) につながっており、 $IN^+$  端子が SET、出力端子が  $A_0$  につながっています。これより、SET ピン

〈図33〉 電圧低下アラーム付き  
9V → 5V ステップ・ダウン・コンバータ





と 212mV の大小を比較して、A<sub>0</sub>ピンに出力されるわけ  
です。判別のスレッシュホールド電圧  $V_{th}$ は、

$$V_{th} = \left( \frac{R_1}{R_2} + 1 \right) \times 212\text{mV}$$

となります。R<sub>1</sub>=150kΩ、R<sub>2</sub>=4.7kΩでは  $V_{th}=7\text{V}$   
になるので、 $V_{BAT}>7\text{V}$ でA<sub>0</sub>は“H”レベル、  
 $V_{BAT}<7\text{V}$ でA<sub>0</sub>は“L”レベルとなります。

なお、ここではバッテリー電圧  $V_{BAT}$ を9Vとしてい

ますが、この電圧は最大 30V まで可能です(ただし  $P_D$   
オーバーについてはその限りではない)。また R<sub>1</sub>の接  
続先を  $V_{BAT}$ 以外のところに接続すれば、その電圧  
を検出するのはいうまでもありません。

＜鹿島伊知郎/更科 一＞

#### ●参考文献

(1) リニアテクノロジー、アナログ・データブック。

(トランジスタ技術 1991年12月号)

## LT1073を用いた 1.5V → 9V ステップ・アップ・コンバータ

### LT1073

LT1073は最小入力電圧が1Vから動作するDC-  
DCコンバータです。このため乾電池1本から動作さ  
せることができ、また静的電流が95μA(typ)と非常  
に小さいところからも、乾電池動作に適しているとい  
えます。

#### ● LT1073の動作

図34にLT1073のブロック図を示します。内部構  
造はシンプルですが外付け部品をなるべく少なくす  
るように考慮されています。

図34のオシレータは約19kHzで発振しており、Q<sub>1</sub>  
のON時間が38μs、OFF時間が15μsになるように  
すでにIC内に作り込まれています。これは1.5V入  
力、5V出力という条件のとき、最適となる値となっ  
ています。もちろん他の条件の場合でも若干効率は下  
がりますが、さほど問題にならないでしょう。

A<sub>2</sub>は汎用のコンパレータで、電池電圧低下アラ  
ーム出力など使い方はいろいろです。

では、このICの動作を説明しましょう。コンパ  
レータA<sub>1</sub>の入力FBピンが基準電圧212mV以下にな  
ったとき、コンパレータは19kHzのオシレータをON  
させます。オシレータはドライバ回路を通してトラ  
ンジスタQ<sub>1</sub>をドライブします。この動作により出力電  
圧が高くなり、FBピンの電圧も高くなって基準電圧  
の212mVを超えるとコンパレータは反転し、オシレ  
ータ回路をOFFします。このように発振が停止した

状態では、ICは静止電流93μAとなつてきわめて少  
ない動作電流となります。

$I_{LIM}$ ピンは出力トランジスタQ<sub>1</sub>を過電流から保護す  
るために用います。Q<sub>1</sub>には最大1.5Aまで流せますが、  
もしそれ以上Q<sub>1</sub>に電流が流れる恐れがある場合は、  
入力と $I_{LIM}$ ピンの間に抵抗を挿入してQ<sub>1</sub>の電流を制  
限し、ICの破壊を防ぎます。

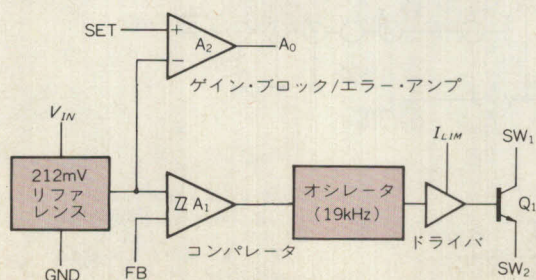
#### ● LT1073を用いた電源回路

図35はLT1073を用いた1.5V → 9V ステップ・ア  
ップ(ブースト)回路です。

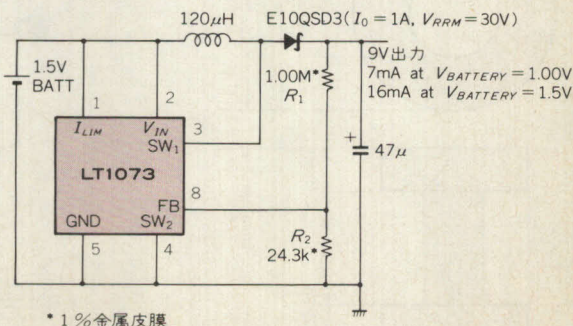
この回路の動作ですが、出力電圧は抵抗R<sub>1</sub>、R<sub>2</sub>  
により分圧され、ICのFBピンに入力してあります。  
もし、出力電圧が9Vより低くなると、それにした  
がってFBピンの電圧も下がります。このとき、IC内  
部の基準電圧より電圧が低くなって、図34で示した  
コンパレータA<sub>1</sub>がONし、内部の発振回路が動作を  
開始します。

この発振回路によりトランジスタQ<sub>1</sub>とコイルのペ  
アで出力電圧を9Vまで上昇させます。出力電圧が  
9Vよりさらに高くなるとFBピンの電圧が基準電圧  
より高くなり、コンパレータA<sub>1</sub>がOFFとなって発振  
を停止します(このとき、このシステムはもっともロ  
ー・パワーとなる)。このようにこのICによる電源回  
路は発振を断続させることにより、余分な電力を消費

＜図34＞ LT1073のブロック・ダイアグラム



＜図35＞ 1.5V → 9V ステップアップ・コンバータ



\* 1%金属皮膜



しないように考慮された設計になっています。発振が停止すると出力電圧は9Vに下がります。このように出力は一定の電圧で安定するのですが、この回路において出力電圧  $V_o$  は、

$$V_o = \left(1 + \frac{R_2}{R_1}\right) \times 212\text{mV}$$

という関係で表される値になります。9V以外の出力電圧を得るには、 $R_1$  と  $R_2$  の比を変えればよいことがわかります。

なお、出力電圧が5V、12Vの場合にはすでに  $R_1$ 、 $R_2$  をIC内部に作り込んだLT1073-5、LT1073-12というICが用意されています。こちらを使えば外付け抵抗2本が省略できるため、このDC-DCコンバータはわずか3個の外付け部品だけで完成します。

DC-DCコンバータに共通することですが、周辺の

部品には十分気をつけないと、効率が悪くなったり思いどおりの性能が出なかったり、最悪の場合は動作しなかったりします。コイル、ダイオード、コンデンサはこの回路の性能を左右するキー・コンポーネントですので十分考慮して設計してください。

ステップ・アップ・コンバータの回路構成の場合、入力IC内部を通らず直接出力に通じているため、もし出力がショートしたら入力側もそのまま影響を受けてしまいます。リチウム電池などが入力に接続されていると短絡時に危険な場合がありますので、別に保護回路を追加することも頭に入れておいてください。

〈鹿島伊知郎/更科 一〉

#### 参考文献

(1) リニアテクノロジー、アナログ・データブック。

(トランジスタ技術 1991年12月号)

MB3776Aを用いて  
電池電圧低下検出インジケータをもたせた

## 3V → 6V 500mA ステップ・アップ・コンバータ

### MB3776A

#### ● 電池電圧昇圧回路の設計

入出力の条件はつぎの仕様に設定しました。

$$V_{IN} = 3\text{V}$$

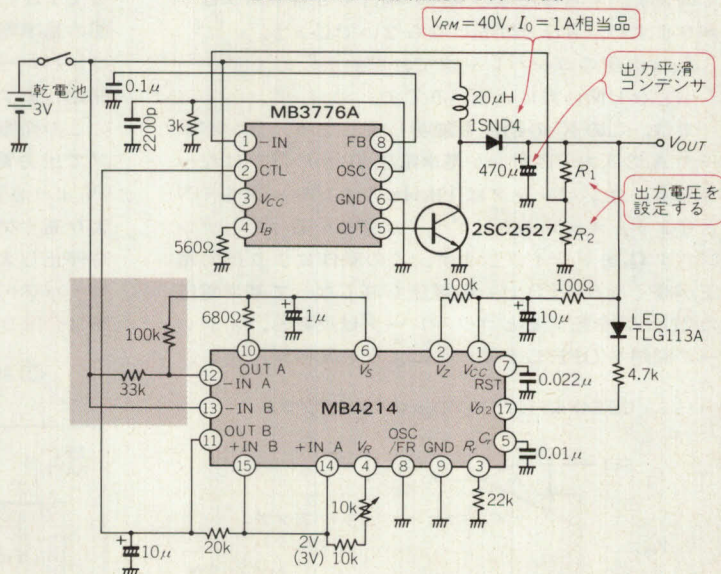
$$V_{OUT} = 6\text{V}$$

$$I_{OUT} = 500\text{mA (最大)}$$

$$f_{osc} = 100\text{kHz}$$

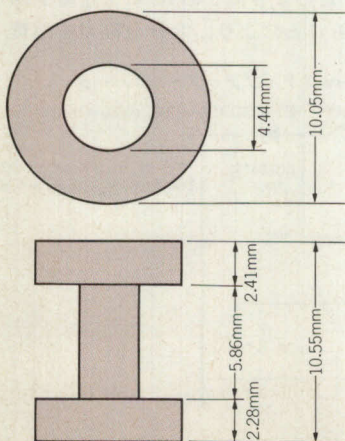
これは電池2本を想定したもので、最大出力能力(3W)は単一乾電池ではほぼ限界に近いと思われます。部品の定数は、ICの最大デューティ比や効率なども加味する必要があるが今回の試作ではつぎの値を用い

〈図37〉 電池電圧の低下検出機能付き昇圧回路



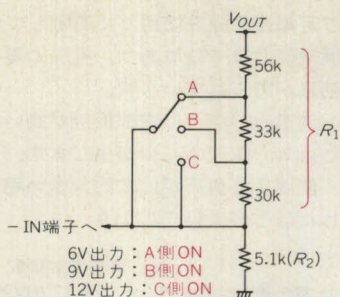
\*MB4214の  $V_{O1}$  端子はオープン  
( )内の抵抗値は電池を3本使用した場合の値。  
また、電池3本で使用する場合は12ピン、13ピンの入力を左のように変更する。

〈図36〉 DR型コアの寸法図

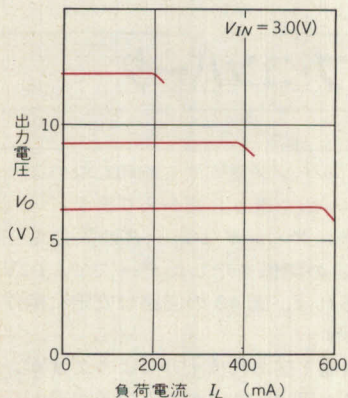




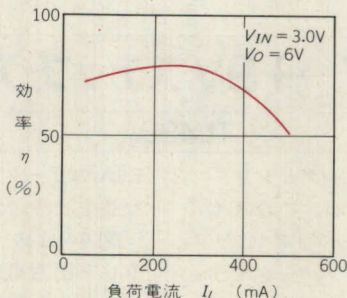
〈図 38〉  
多出力電圧  
設定方法



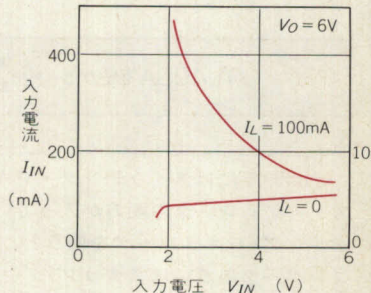
〈図 40〉 負荷特性



〈図 41〉 効率



〈図 42〉 入力電圧特性



ました。

$$L = 20\mu\text{H}$$

$$I_{LP} \approx 3\text{A}$$

ここで、インダクタンスの値はスイッチング電流で変化するため、小電流時の値で示しています。

一般にコアを使用したコイルのインダクタンスは、いわゆる  $B-H$  特性の傾斜から直流を重畳すると透磁率が低下し、インダクタンスの値が低下します。

今回使用したコアは **DR 型** と称されるもので、寸法は図 36 のとおりです。

このコアに **0.6φ のエナメル線** を **22 ターン** 巻いて作りました。

出力平滑容量の値は、リップル値などの兼ね合いで **470μF** としています。

今回製作した回路を図 37 に示します。昇圧回路のほかに、つぎに説明する **電池電圧のモニタ回路** も含んでいます。

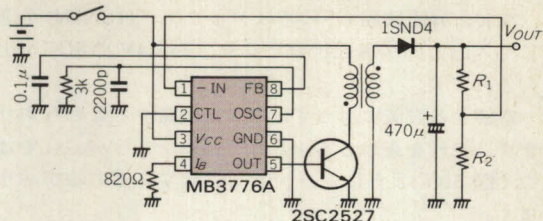
出力電圧の設定は図 37 の  $R_1$ 、 $R_2$  により決まり、内部基準電圧 0.5V から次式で求めます。

$$V_{OUT} = 0.5 \times \frac{R_1 + R_2}{R_2}$$

$R_2$  の値としては **4.7k~5.1kΩ** 程度が適当です。一例として、**6V**、**9V**、**12V** を簡単に切り替える回路例を図 38 に示します。

#### ● 電池電圧低下検出機能を付ける

〈図 39〉 トランス方式の回路例



基準電圧回路とコンパレータを内蔵した、タイマ用 IC **MB4214** を使用して電池電圧の低下を検出し、**MB3776A** の動作 ON、OFF を制御します。回路の動作概念はつぎのとおりです。

- ① 電池に十分な供給能力がある状態では、**LED** は速い周期で点滅。
- ② 電池が 50 % 程度以上消耗し、電圧が低下すると **LED** の点滅周期は長くなる。
- ③ 電池電圧がさらに低下して 2.0V になると、**MB3776A** の CTL 端子をオープン状態にして昇圧回路を停止させる。

②は **MB4214** の内蔵コンパレータのひとつをアンプとして使用し、電池電圧の低下を基準電圧と比較増幅してタイマ IC の発振周期を制御します。これにより電池の減り具合を、**LED** の点滅周期の変化でモニタできるようにしました。

この回路では検出電圧に大きめのヒステリシス幅をもたせていますので、一度停止した昇圧回路は、電池電圧が回復して少々入力電圧が上昇しても、このままでは再スタートしません。再スタートは電源スイッチの再投入で行います。

**LED** の点滅周期は **2.0V 直前で約 2 秒周期** になるように設定しています。周期の変更は 5 ピンの容量値あるいは 3 ピンの抵抗値を変えることで行います。

また、昇圧停止電圧 2.0V の調整は 4 ピンに接続された **半固定抵抗** で調整します。

点滅周期が変化しはじめる電圧値は **2.5V 程度** に設定していますが、12 ピンに接続している **33kΩ** を変



えることにより変更できます。

なお、昇圧回路 OFF 時はダイオード (1SND4) を通して入出力間が導通状態になり、約 2.4V の電圧が出力されます。

接続する装置によっては電流を消費することもあります。これを避ける方法としては、チョップ方式ではなく図 39 のようにトランス方式に変える方法があります。

最後に、得られた負荷特性、効率、入力電流などの特性データを図 40～図 42 に示します。

図 40～図 42 のデータは、いずれも入力電源とし

て定電圧電源を使用して測定しています。このため、供給能力は十分にあり、実際の電池使用よりは有効な結果が得られています。

乾電池の場合は内部抵抗が高いため、大電流負荷時には入力電圧の減少が生じます。

使用する負荷が比較的大きい場合は電池 3 本で使用したほうがよいでしょう。

〈黒野広三〉

#### 参考文献

(1) 富士通、半導体デバイス DATABOOK, ASSP/汎用リニア IC.

(トランジスタ技術 1989 年 9 月号)

## TL499A を使った +3V → +9V ステップ・アップ・コンバータ

### TL499A

TL499A にはスイッチング・レギュレータとシリーズ・レギュレータの両方が入っていますが、このスイッチング・レギュレータを使うと、ステップ・アップ・コンバータあるいはステップ・ダウン・コンバータを作ることができます。ここでは乾電池 2 本 (3V) から +9V を作り出す回路を紹介しましょう。

図 43 が電池入力によるスイッチング・レギュレータの回路図です。

入力端子  $V_{IN2}$  (TL499A の 3 ピン) に乾電池を接続すると、出力端子 (8 ピン) には次式で表される電圧が出力されます。

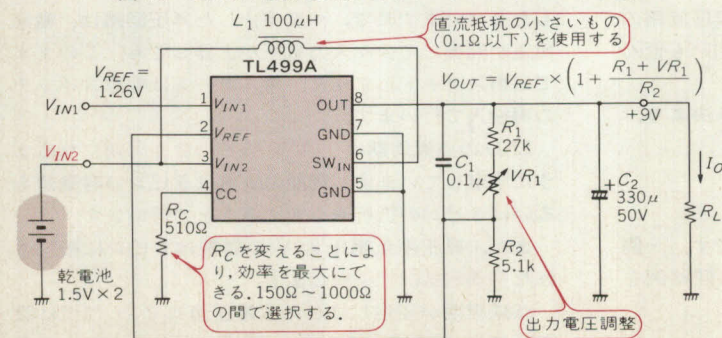
$$V_{OUT} = V_{REF} \times \left(1 + \frac{R_1 + VR_1}{R_2}\right) \dots \dots \dots (1)$$

ただし、 $V_{REF}$  は TL499A の内部基準電圧で約 1.26 V です。

したがって、 $R_2$  を 5.1k $\Omega$ 、( $R_1 + VR_1$ ) を 31.3k $\Omega$  にすると、出力電圧は 9V になります。

図 43 の回路ではとくに難しいところはありませんが、注意を要することがあります。それはコイル  $L_1$  の選定で、効率をよくするには  $Q$  の高い (内部抵抗の小さい、0.1 $\Omega$  以下) ものを選ぶ必要があります。また、

〈図 43〉 TL499A を使用したスイッチング・レギュレータ回路



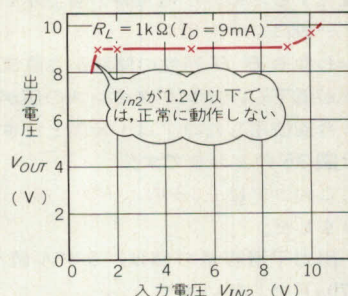
1.0A のピーク・スイッチング電流でも飽和しないような高周波特性のよいものを選ぶ必要があります。

図 44 はスイッチング・レギュレータの入力電圧  $V_{IN2}$  と出力電圧  $V_{OUT}$  の関係を示したデータで、1.2V 以上の入力電圧があれば、図 43 の回路は安定に動作することがわかります。

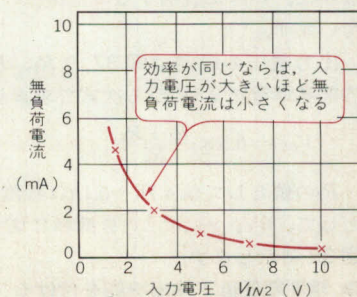
したがって、乾電池 1 個あれば十分なのですが、入力電圧を低くすると図 45 に示すようにその分無負荷電流が大きくなります。

また、入力電圧が 10V を超えると、出力電圧は定電圧領域を超えて上昇しますので、 $V_{IN2}$  には 10V 以

〈図 44〉  $V_{IN2}$  と  $V_{OUT}$  の関係



〈図 45〉  $V_{IN2}$  無負荷電流の関係





上の電圧は加えないようにしてください。

＜松井邦彦/更科 一＞

#### 参考文献

- (1) テキサスインスツルメンツ、リニアデータブック
- (2) アナログ IC 活用ハンドブック、CQ 出版社。

(トランジスタ技術 1985 年 2 月号)

MAX630 を用いて  
入力電圧低下出力をもった

## +5V → +15V ステップ・アップ・コンバータ

### MAX630

**MAX630 シリーズ** (MAX630～633) を用いると、入力電圧よりも高い出力電圧を得ることができます。出力電圧は MAX630 が **外部抵抗による可変タイプ**、MAX631/632/633 が **5/12/15V** となっています。

また入力電圧は、2V 程度から 16～18V 程度まで使えます。たとえば **乾電池 2 本 (3V) から +15V** を作り出すことも可能です。MAX630 シリーズの定格特性を表 4 に示します。

ここでは MAX630 を用いて **+5V から +15V** を作り出すステップ・アップ・コンバータを取り上げます。

この回路の発振周波数は、2 番ピンに接続するコンデンサによって決定されます。ここでは、**47pF を外付けし約 40kHz** の周波数とします。このときのデューティを  $t_{on}/T=0.5$  として、コイルに必要なインダクタンスを求めます。

スイッチング用 MOS FET の電圧降下  $V_{DS(ON)}$  がカタログに明記されていませんので、約 0.5V として計算します。

$$L_1 = \frac{(V_{IN} - 0.5)^2 \cdot t_{on}^2}{2 \cdot V_O \cdot I_O} \cdot f$$
$$= \frac{(5 - 0.5)^2 \cdot (12.5 \times 10^{-6})^2}{2 \times 15 \times 0.02} \times 40 \times 10^3 = 210 \mu H$$

となります。

このときに流れる、コイルの電流  $i_L$  の最大値は、

$$i_{LP} = \frac{V_{IN}}{L_1} \cdot t_{on} = \frac{4.5}{210 \times 10^{-6}} \times 12.5 \times 10^{-6}$$
$$= 270 \text{mA}$$

となります。

この IC の最大スイッチング電流は 375mA ですか

ら、実際の使用条件もこの程度が限界となってしまいます。

$L_1$  は太陽誘電 (株) のインダクタを使います。

整流用コンデンサは、**出力リップル電圧を低く抑える**ために、極力内部インピーダンスの低いものを用います。ここでは、リップル電圧  $\Delta v_r \leq 50 \text{mV}$  とするために、

$$Z_C \leq \frac{\Delta v_r}{i_{LP}} = \frac{0.05}{0.27} = 0.18 \Omega$$

でなければならず、表 4 に示す松下製 HF シリーズの 25V470 $\mu$ F を用いることとします。

整流ダイオードは、高速のものが必要で、耐圧的に **ショットキ・バリヤ・ダイオード** が使用できますので、**S1S4M** を用いています。

出力電圧  $V_O$  の設定は、内蔵の基準電圧  $V_{REF}=1.3V$  ですから、

$$V_O = V_{REF} \cdot \left[ 1 + \frac{R_2}{R_1} \right]$$

から、 $R_2/R_1=10.5$  となります。したがって、 $R_1=3k\Omega$ 、 $R_2=33k\Omega$  とします。

なお、出力と検出点の 7 番ピンに接続したコンデンサは、**異常発振**を起こすのを防止するものです。

MAX630 には、**外部信号で動作を停止する機能**があります。6 番ピンを、出力電圧に接続すると正常に動作し、グラウンドに落とすと動作を停止することができます。

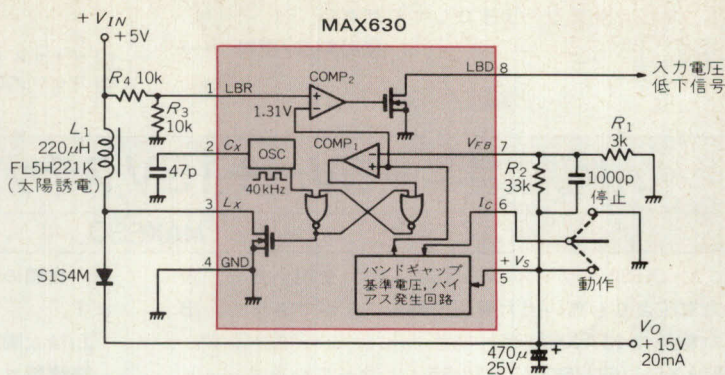
また、8 番ピンの LBD 出力は、入力電圧が低下したことを検出し、信号を出すためのものです。内部のコンパレータに接続された基準電圧  $V_{REF}$  は、やはり 1.3V ですから、入力電圧  $V_{IN}$  が、

＜表 4＞<sup>(1)</sup> MAX630 シリーズの定格特性

項目	記号	規格				単位
		MAX630	MAX631	MAX632	MAX633	
電源電圧	$V_{IN}$	2.2～16.5	～18	～18	～18	V
最大損失	$P_D$	468	625	625	625	mW
ピーク出力電流	$I_O$	375	325	325	325	mA
スイッチ電流	$I_{SW}$	150	325	325	325	mA
効率	$\eta$	85	80	80	80	%
基準電圧	$V_{REF}$	1.25～1.37	—	—	—	V
入力安定度	$\delta_{IN}$	0.5	0.08	0.08	0.08	%
負荷安定度	$\delta_{OUT}$	0.5	0.2	0.2	0.2	%
動作温度	$T_{OP}$	0～70	0～70	0～70	0～70	°C
出力電圧	$V_O$	可変型	5	12	15	V



〈図 46〉  
MAX630 による  
ステップ・アップ・コンバータ



$$V_{IN}' \leq \left(1 + \frac{R_4}{R_3}\right) \cdot V_{REF}$$

になるとLBD出力が“L”となります。この端子の最大流し込み電流は50mAです。〈戸川治朗/更科 一〉

●参考文献●

- (1) マキシム・ジャパン, アナログデータ。
- (2) 実用電源回路設計ハンドブック, CQ出版社。

(トランジスタ技術 1987年3月号)

MAX634を用いて  
入力電圧低下出力をもった

## +15V → -5V 極性反転レギュレータ

### MAX634

MAX634 シリーズ(MAX634~637)を用いると、正の電源から負の電源を作り出すことができます。出力電圧はMAX634が可変である以外は、MAX635/636/637は-5/-12/-15Vです。

また入力電圧が+2V程度から+16V程度まで使えるというのも大きな特徴です。MAX634シリーズの定格特性を表5に示します。

ここではMAX634を用いて、+15Vから-5Vを得る極性反転レギュレータを例にとって説明します。

図47に示す回路例で数値計算を行います。MAX634の最大入力電圧は18Vですので、VINの変動があっても、これを超えないようにしなければなりません。ここでは、VIN=15Vとして計算します。出力電圧VO=-5V、出力電流IO=-500mAです。

発振周波数は3番ピンの外付けのコンデンサで決定でき、Cx=47pFで40kHzとします。周期T=25μs

で、デューティD=0.5とすると、トランジスタのON期間ton=12.5μsとなります。

まずコイルに必要なインダクタンスは、

$$L_1 = \frac{V_{IN}^2 \cdot t_{on}^2}{2 \cdot V_O \cdot I_O \cdot f} = \frac{15^2 \cdot (12.5 \times 10^{-6})^2}{2 \times 5 \times 0.5 \cdot 40 \times 10^3} = 281 \mu H$$

となります。つぎに、スイッチング電流の最大値iIPを計算します。

$$i_{IP} = \frac{V_{IN}}{L_1} \cdot t_{on} = \frac{15}{281 \times 10^{-6}} \times 12.5 \times 10^{-6} = 0.667 A$$

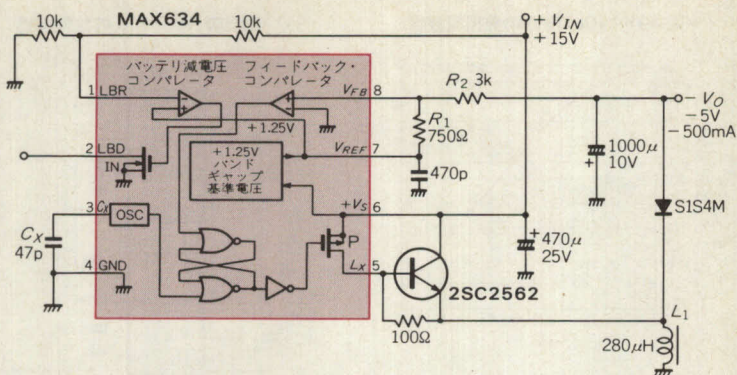
となります。MAX634の最大スイッチング電流は、375mAですから、最大定格をオーバーしてしまいます。そこで、電流ブーストするために、外部にトランジス

〈表 5〉<sup>(1)</sup> MAX634 シリーズの定格

項 目	記 号	規 格				単 位
		MAX634	MAX635	MAX636	MAX637	
電源電圧	V <sub>IN</sub>	2.2~16.5	2~16	2~16	2~16	V
最大損失	P <sub>D</sub>	625	625	625	625	mW
出力電流	I <sub>O</sub>	375 ピーク	375 ピーク	375 ピーク	375 ピーク	mA
スイッチ電流	I <sub>SW</sub>	150	—	—	—	mA
効率	η	80	85	85	85	%
基準電圧	V <sub>REF</sub>	1.18~1.32	—	—	—	V
入力安定度	δ <sub>IN</sub>	2	0.5	0.5	0.5	%
負荷安定度	δ <sub>OUT</sub>	0.4	0.2	0.2	0.2	%
動作温度	T <sub>OP</sub>	0~70	0~70	0~70	0~70	°C
出力電圧	V <sub>O</sub>	可変型	-5	-12	-15	V



〈図 47〉 MAX634 による極性反転型レギュレータ



タを追加します。

トランジスタとしては、バイポーラの NPN 型 2SC2562 とします。このトランジスタは、 $V_{CE}=50V$ 、 $I_C=5A$  のものです。耐圧の低いこの程度の定格のものは、普通相当スイッチング特性のよいものが多いので、それほど気にせずに素子の選択ができますが、2SD タイプは低周波用で特性が悪いため、使用しないほうが無難です。

このトランジスタの、ベース・エミッタ間に接続した抵抗は、この間のインピーダンスを下げ、少しでもスイッチング速度を速めるためのものです。抵抗値は低いほうが速度が上がりますが、これを通してベースへの駆動電流が分流してしまいますので、むやみに小さくはできません。

MAX634 の内部のコンパレータの一端子は、グラウンドに接続されています。したがって、+端子へは負の出力電圧と 1.25V の内蔵の基準電圧とから、それぞれに抵抗を接続します。つまり、抵抗値の比率と  $-V_O \cdot V_{REF}$  とで合成した電圧が、0V になるように定電圧制御をします。ですから、出力電圧と  $R_1$ 、 $R_2$  と

の関係は、

$$V_O \cdot R_1 - V_{REF} \cdot R_2 = 0$$

ですから、 $R_2/R_1=4$  となります。ここでは、 $R_1=750\Omega$ 、 $R_2=3k\Omega$  とします。なお、7 番ピンの  $V_{REF}$  とグラウンドに接続されたコンデンサはスイッチング動作によって発生する雑音の影響を避けるためのものです。

出力整流用コンデンサを決定しますが、出力リプル電圧  $\Delta V_O \leq 20mV$  にするには、内部インピーダンス  $Z_C$  は、

$$Z_C \leq \frac{\Delta V_O}{I_{2P}} = \frac{0.02}{0.667} = 30m\Omega$$

となります。ここでは松下の HF シリーズ 10V1000μF のものを用います。

LBD 出力は、 $V_{IN}$  が 2.5V 以下になると ON (= “L” レベル) します。

〈戸川治朗/更科 一〉

#### 参考文献

- (1) マキシム・ジャパン、アナログ・データ。
- (2) 実用電源回路設計ハンドブック、CQ 出版社。

(トランジスタ技術 1987 年 3 月号)

## ICL7660 を用いた +5/+10V → -5V 極性反転コンバータ

### ICL7660

#### ● 基本的な使い方

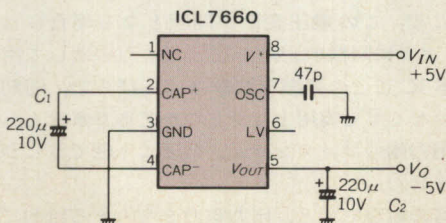
ICL7660 を使うと、図 48 に示す正入力電源から負出力電源を作ることができます。ただし、出力電圧は入力電圧を極性反転した値が出てくるので、入力電圧が変動すれば当然出力電圧もそれに応じて変化します。

発振周波数は 7 番ピンにコンデンサを外付けし設定できます。このコンデンサを付加しないときには、約 10kHz で動作しますが、内部損失が増加し電力変換効率が低下しますので、図 49 から 47pF のコンデンサを外付けして約 2kHz にて動作させることにします。

電力の受け渡しをする外付けコンデンサ  $C_1$  と  $C_2$  は、動作周波数が低いためにかなり大きなリプル電圧を

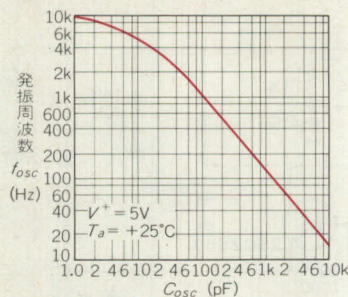
生じます。 $V_{IN}$  の入力側からエネルギーが供給されるのは半周期だけで、残りの半周期は負荷へ電荷を放出するだけだからです。

〈図 48〉 ICL7660 の基本回路





〈図 49〉<sup>(1)</sup> ICL7660 の発振周波数



また、コンデンサにはかならず**内部インピーダンス**があり、それによる**電圧降下**が発生するために、 $C_1$ へ充電された電荷が100%， $C_2$ へは移行されません。それぞれのコンデンサの端子電圧を、 $V_1$ 、 $V_2$ とすると電荷移動の過程で、

$$P = \frac{1}{2} C_1 \cdot V_1^2 - \frac{1}{2} C_2 \cdot V_2^2$$

の**エネルギー損失**が発生してしまいます。ですから、ここに用いるコンデンサは、動作周波数が低いからとはいえ、**高周波用の低インピーダンス品**を用いるようにしなければなりません。

もちろん、出力リップル電圧の面からは、容量が大きければ大きいほどよい特性となります。ここでは、極性反転レギュレータでも用いた、**松下製低インピーダンス品 HF シリーズ**の10V220 $\mu$ Fを使用します。

### ● 出力電力の増加方法

さて、このICL7660の出力インピーダンスは約70 $\Omega$ あります。これは、入力電圧 $V_{IN}$ が一定であっても、出力電流 $I_O$ によってIC内部で電圧降下が発生し、出力電圧 $V_O$ が変化してしまうことを意味しています。つまり、ICの出力インピーダンスを $Z_O$ とすると、コンデンサ $C_1$ 、 $C_2$ の電圧降下を無視して、出力電圧 $V_O$ は、

$$V_O = -V_{IN} + I_O \cdot Z_O$$

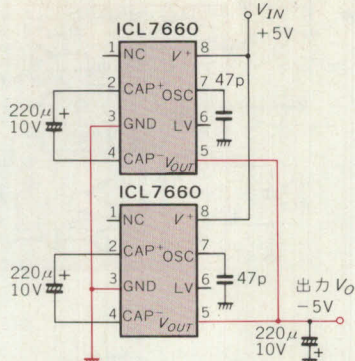
となります。

入力電圧 $V_{IN}=5V$ ですから、20mAの出力電流を取ると、 $V_O=-3.6V$ にまで変動してしまいます。もともとこのIC自体は、**電圧変換するだけの機能**のもので、出力電圧を安定化する作用はもっていません。

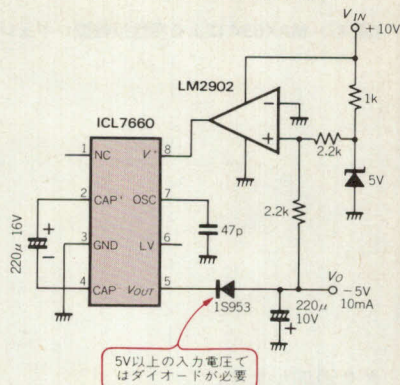
そこで、この電圧変動が問題となる場合には、図50のように同様の回路を**複数個並列接続**して用います。各ICごとの発振周波数はばらばらで、同期がとれていなくても実用上はさしつかえありません。このとき出力側のコンデンサは、共通に1個でさしつかえありません。

通常の電源ですと、出力電力を増大する目的で同一

〈図 50〉 ICL7660 の並列接続



〈図 51〉 出力電圧の安定化方法



のユニット電源を並列接続すると、それぞれのユニットの出力電流の分担が平均化されません。それは、どれか出力電圧の高いユニットが、まずすべての電流を流そうとするからです。

しかし、この場合には出力インピーダンスが高いために、電流が流れようとすると出力電圧が低下し、自然にあるところで、**各ICの出力電流のバランスがとれる**わけです。したがって、図50のように2個のICを並列に接続すると、1個当たりの分担は10mAですから、電圧降下は約0.7Vで済み、出力電圧も**4.3V**となります。さらに、並列個数を増やせば、当然そのぶん電圧変動も少なくなります。

また、なんとか出力電圧の安定度を向上させたいというときには、図51のように入力電源 $V_{IN}$ 側に**シリーズ・レギュレータ**を付加する方法があります。OPアンプの $IN^-$ 端子はGNDであり、いっぽう $IN^+$ 端子は+5Vのツェナ電圧と出力電圧 $V_O$ の midpoint になっているので、この midpoint がちょうど0Vになるように帰還が働き、 $V_O=-5V$ とします。たとえば、 $V_O$ が負荷電流により-5Vよりも低下する(絶対値)と、OPアンプの $IN^+$ 端子電圧上昇→OPアンプの出力電圧上昇→ICL7660の8ピン電圧上昇→5ピン電圧マイナス側に上昇→ $V_O$ もマイナス側に上昇、というプロセスで $V_O$ は元の-5Vに戻ります。

なお、このときの入力電圧は、IC内部の電圧降下 $V_{DROP}$ を考慮して、

$$V_{IN} \geq |V_O| + V_{DROP}$$

でなくてはなりません。

〈戸川治朗/更科 一〉

### ●参考文献●

- (1) ハリス社 RCA, データブック。
- (2) 実用電源回路設計ハンドブック, CQ 出版社。

(トランジスタ技術 1987年3月号)



# TL1451 1個でできる +5V1A/-5V0.5A 正負電圧スイッチング・レギュレータ

## TL1451C

テキサス・インスツルメンツの TL1451C は、汎用のスイッチング・レギュレータ用コントロール IC です。規格を表 6 に示します。

16 ピン DIP のパッケージに、まったく単独に機能できる二つの制御回路が内蔵されています。もちろん、基準電圧や発振回路は 2 回路共用できるようになっています。したがって、1 個の IC で二つの出力を定電圧制御できますから、複数の出力を必要とする電源には、たいへん都合のよい IC です。電源電圧が、3.6 ~ 40V と広い範囲で動作できますし、スイッチング周波数も 500kHz まで対応できます。

ここでは、+12V を入力電圧とする、±5V 出力の 2 回路定電圧型スイッチング・レギュレータを設計します。

### ● 基本的な使い方

回路を図 52 に示します。

回路構成的には +5V は降圧型コンバータ、-5V は極性反転型コンバータとしてあります。出力電流は、+1A と -0.5A ですが、この IC の出力電流は 20mA しか保証されていませんので、それぞれに電流ブースト用外付けトランジスタが必要となります。ここでは両方とも PNP 型の 2SA1388 を使用します。このトランジスタの定格は  $V_{CE0}=80V$ 、 $I_C=5A$  のものですが、スイッチング速度も速く、外形が完全に樹脂で覆われていて、放熱器への取り付けが容易にできるという利点があります。

発振周波数は、1 番ピンの  $C_T$  と 2 番ピンの  $R_T$  によって決まり、ここでは 50kHz としますので、図 53 より  $C_T=1500pF$ 、 $R_T=10k\Omega$  とします。

まず、+5V 回路のデューティ  $D$  を求めると、

$$D = \frac{V_O}{V_{IN} - V_{CE(sat)1}} = \frac{5}{12 - 0.5} = 0.44$$

となります。 $L_1$  のリプル電流  $\Delta I_{O1}$  は p-p 値で  $I_{O1}$  の 30 % とすると 0.3A ですから、 $L_1$  のインダクタンスは、

$$L_1 = \frac{e_{L1}}{\Delta I_{O1}} \cdot t_{on} = \frac{V_{IN} - (V_{O1} + V_{CE(sat)1})}{\Delta I_{O1}} \cdot T \cdot D$$

$$= \frac{12 - (5 + 0.5)}{0.3} \times 20 \times 10^{-6} \times 0.44 = 190 \mu H$$

と決まります。

つぎに -5V 回路のデューティを 0.5 とすると、トランジスタの ON 期間  $t_{on}=10\mu s$  なので、 $L_2$  のインダクタンスは、

$$L_2 = \frac{(V_{IN} - V_{CE(sat)2})^2 \cdot t_{on}^2}{2 \cdot V_O \cdot I_O} \cdot f$$

$$= \frac{(12 - 0.5)^2 \times (10 \times 10^{-6})^2}{2 \times 5 \times 0.5} \times 50 \times 10^3 = 132 \mu H$$

となります。

プラス側のフライホイール・ダイオード  $D_1$  の平均電流は、

$$I_F = (1 - D) \cdot I_O = (1 - 0.44) \times 1 = 0.56A$$

で、SBD を用い順方向電圧降下  $V_F=0.5V$  とすると、損失  $P_D$  は、

$$P_D = I_F \times V_F = 0.56 \times 0.5 = 0.28W$$

ですから、1A のリード・タイプで十分です。当然  $D_2$  はこれより少なくなりますので、同じタイプの S1S4M を用います。

+5V 出力電圧検出用抵抗  $R_3$  と  $R_4$  は基準電圧  $V_{ref}$  が 2.5V ですから、単純に  $V_{O1}/2$  となればよく、 $R_3=R_4=1k\Omega$  とします。-5V 側は差動入力端子  $V_{IN(-)}$  を 1.25V とすると、 $V_{IN(+)}$  を同電圧とするための抵抗  $R_8$ 、 $R_9$  は、

$$R_9 \times (|V_{O2}| - 1.25) = R_8 \times (V_{ref} + 1.25)$$

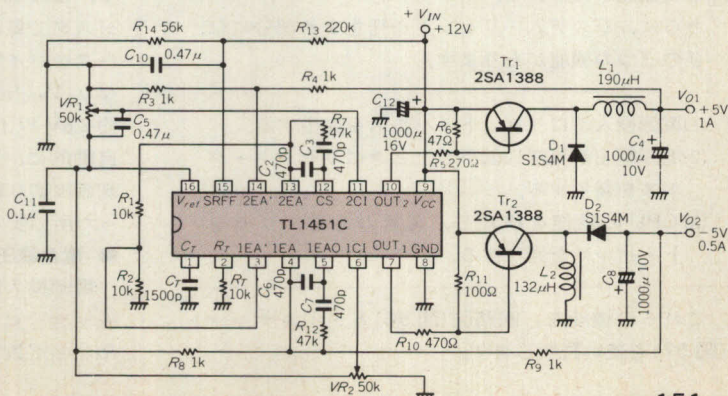
から、 $R_8=R_9$  となり、これも 1k $\Omega$  とします。

### ● デッド・タイム・コントロールについて

〈表 6〉<sup>(1)</sup> TL1451 の特性

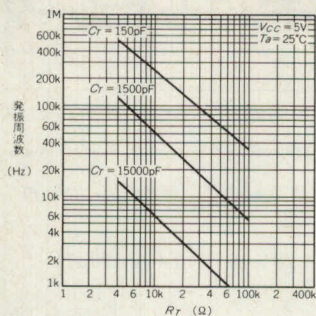
項目	記号	min	max	単位
電源電圧	$V_{CC}$	3.6	40	V
誤差増幅器入力電圧	$V_I$	1.05	1.45	V
コレクタ出力電圧 TL1451	$V_O$		40	V
コレクタ出力電流 TL1451	$I_O$		20	mA
フィードバック端子電流	$I_{FT}$		45	$\mu A$
フィードバック抵抗	$R_{NF}$	100		k $\Omega$
タイミング容量	$C_T$	150	15000	pF
タイミング抵抗	$R_T$	5.1	100	k $\Omega$
発振器周波数	$f_{osc}$	1	500	kHz
動作温度範囲	$T_{op}$	-20	85	$^{\circ}C$
基準電圧	$V_{REF}$	2.40	2.60	V

〈図 52〉 正負出力安定化電源





〈図 53〉<sup>(1)</sup> タイミング抵抗対発振周波数



〈図 54〉  
デッド・タイム・  
コントロール

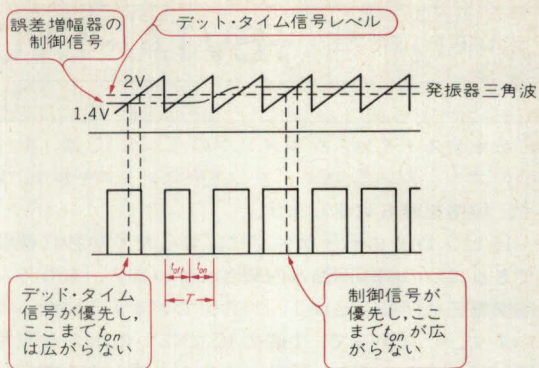
11 番ピンはデッド・タイム・コントロール端子とい  
い、図 54 のようにパルス幅の最大値をある時間以上  
にならないようにするためのものです。11 番端子の  
電圧が、約 2V 以上で出力が全期間 OFF し、1.4V 以  
下で全期間 ON します。ここでは最大 60 % まで ON  
できるようにするため、

$$V_{DEAD} = 1.2 + (2 - 1.4) \times 0.6 = 1.56V$$

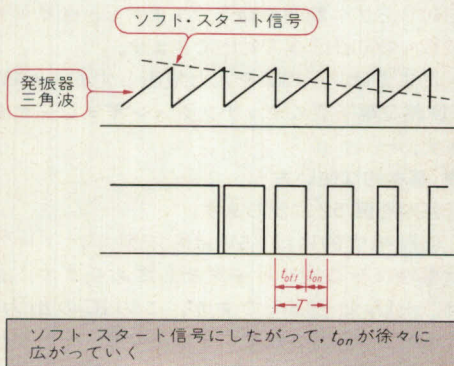
となるようにします。設定が微妙になりますので可変  
抵抗とします。

また、16 番ピンとの間に接続されたコンデンサ  $C_6$   
は、入力電源投入時に 11 番端子を  $V_{REF}$  から  $C_6$  の充電  
時定数にそって低下させ、図 55 のように ON 幅を狭  
いところから徐々に広げていく、ソフト・スタート用  
のものです。これを付加すると、出力電圧  $V_O$  の立ち  
上がりがなめらかになり、オーバーシュートの発生を防  
止できます。

〈戸川治朗〉



〈図 55〉 ソフト・スタート回路



#### ●参考文献●

- (1) テキサス・インスツルメンツ、リニア IC データブック。
- (2) 実用電源回路設計ハンドブック、CQ 出版社。

(トランジスタ技術 1987 年 3 月号)

## TA7900S を用いた +5V ウォッチ・ドグ・タイマ

### TA7900S

#### ● 回路の動作説明

この回路の機能は、システムに必要な 5V の安定化  
電源の供給と、システム・リセットを発生するという  
二つの機能があります。

さらに、システム・リセットを発生する部分には、  
つぎの三つの機能があります。

- (1) 電源投入時にリセット・パルスを発生する。
- (2) 電源電圧が異常に低下したときにリセット・パ  
ルスが発生する。
- (3) CPU の動作を検知し、異常のときにリセッ  
ト・パルスが発生する。

これらの機能を、回路図(図 56)とタイムチャート  
(図 57)を使い説明します。

#### ● 5V 安定化電源

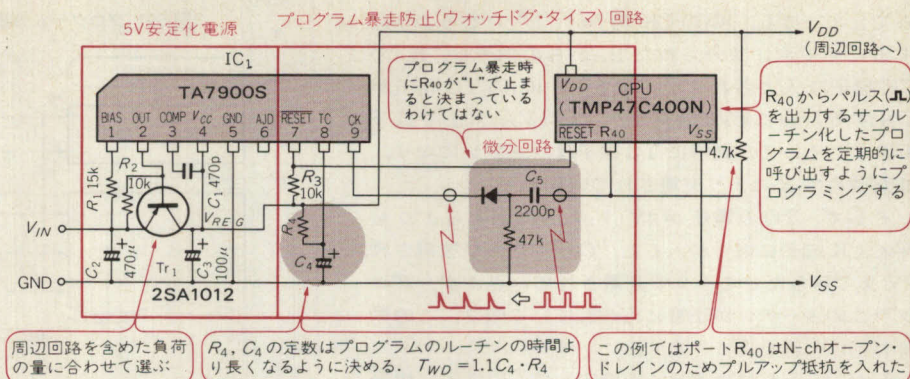
図 56 の IC<sub>1</sub>(TA7900S)において、1~6 ピンが 5V  
安定化電源です。1 ピンは電源を起動するための端子  
で、この端子に流れ込んだ電流は、IC 内部のトラン  
ジスタで電流増幅され、2 ピンに接続された Tr<sub>1</sub> のベ  
ースをバイアスします。このため、Tr<sub>1</sub> は ON 状態と  
なり  $V_{REG}$  出力は上昇していきます。この  $V_{REG}$  出力は、  
約 2.6V 以上になると IC 内部回路が動作し始めて、  
自動的に、1 ピンの起動回路により IC 内部回路へと  
制御は切り替わります。そして、 $V_{REG}$  出力が 5V にな  
った所で安定化します。

#### ● 電源電圧の監視

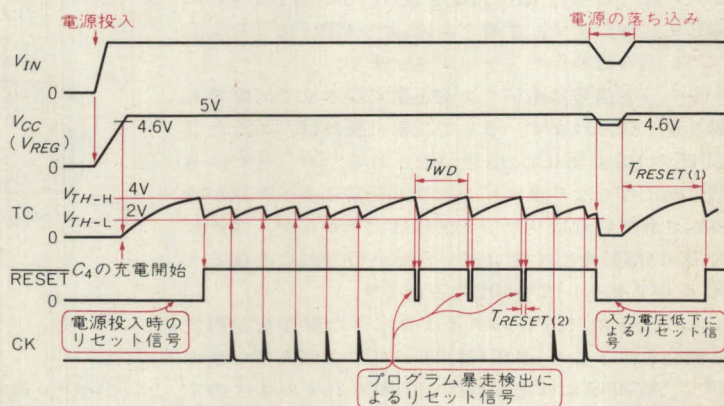
電源投入時に  $V_{REG}$  が 4.6V を超えると、IC<sub>1</sub> の電圧  
監視機能により、TC 端子 8 ピンに接続された  $C_4$  が  
 $R_4$  との定数で充電を開始します。この間リセット信号



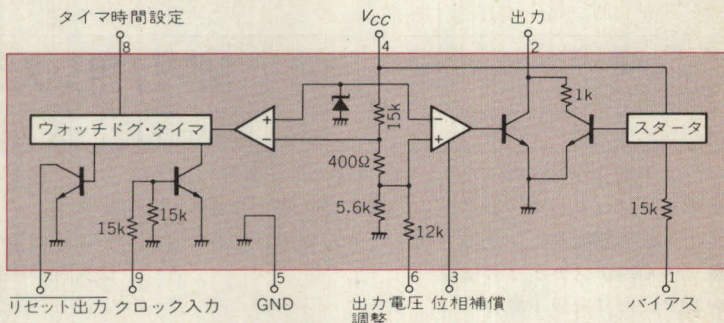
〈図 56〉  
ウォッチ・ドグ・タイ  
マをもった+5V 電源



〈図 57〉 タイムチャート



〈図 58〉 TA7900S の内部ブロック図



は“L”レベルで、CPUにリセットをかけ続けますが、 $C_4$ に充電された電圧が4V(IC内で定められた電圧  $V_{TH-H}$ )に達すると、TC端子がONするために  $C_4$ は放電され、この電位は2V(IC内で定められた電圧  $V_{TH-L}$ )まで落ち込みます。リセット信号は、このとき初めて“H”レベルになり、CPUのリセットが解除され動作を開始します。

もし、システムが正常に動作しているときに電源の入力電圧  $V_{IN}$ が落ち込むと、当然  $V_{REG}$ も下がります。しかし  $V_{REG}$ が4.6Vを下まわると、CPUの正常動作電圧範囲の下限と、ICの電圧監視機能によりリセット信号は“L”レベルとなり、CPUにリセットをかけ誤

動作を防止します。そして  $V_{IN}$ が上昇すると、電源投入時と同じ動作を行います。

つまり、電源電圧が4.6Vを下まわるとCPUにリセットがかかり、逆に4.6Vを超えると  $C_4$ と  $R_4$ で定められた時間  $T_{RESET(1)}$ 後に、リセットは解除されます。

### ● プログラムの暴走防止回路

まずCPU(この図の場合はワンチップ・マイコン TMP47C400N)のI/Oポート  $R_{40}$ からプログラムのルーチンがひとつ終わるごとに信号が出力されます(図 59)。

この信号は、途中微分回路を通りますが、これはプログラムが暴走した際に  $R_{40}$ が“H”か“L”のどち



らで止まっても、IC<sub>1</sub>のCK端子が“L”になるようにするためです。微分されたR<sub>40</sub>からの信号は、IC<sub>1</sub>のCK端子に入力されます。すると、IC<sub>1</sub>のTC端子がONするためにC<sub>4</sub>は放電され、2V(V<sub>TH-L</sub>)まで低下します。そして、同時にTC端子はオープンになり、また改めてR<sub>4</sub>により充電されていきます。

そして、TCの電圧が4V(V<sub>TH-H</sub>)に達するよりも早くCK端子に信号が入ると、C<sub>4</sub>はふたたび放電され、2Vまで落ちたところまで充電されていきます。プログラムのルーチンが正常に行われている限り、この動作は**何度も繰り返されます**。

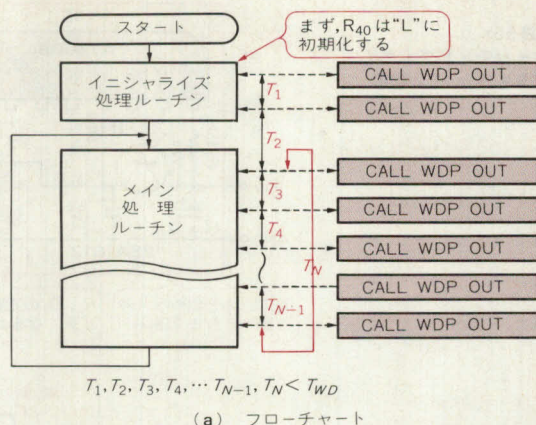
しかし、もしプログラムが暴走してCK端子に信号が入らなくなるとC<sub>4</sub>は充電を続け、TC端子が4Vに達してしまいます。すると、IC<sub>1</sub>よりCPUに**リセット信号**が送られ**暴走をストップ**させます。

リセット信号はルーチンが正常に戻るまで何度でも繰り返し送られます。そして正常に戻れば、ふたたびCPUのR<sub>40</sub>よりIC<sub>1</sub>に信号が送られるため、リセット信号が出なくなります。つまり、正常にルーチンが繰り返されていればリセット信号は出ませんが、暴走してR<sub>40</sub>に信号を出すプログラムが実行されなくなると、ICよりリセット信号が出力されます。

このように、CPUのダイナミックな動作を監視する機能を**ウォッチ・ドグ(番犬)・タイマ**と呼んでいます。TA7900Sにはその機能が内蔵されていますのでたいへん便利です。

〈田前正博〉

〈図59〉プログラムの暴走監視ルーチン



WDP OUT: SET %OP04,0(R<sub>40</sub>に“H”出力)  
CLR %OP04,0(R<sub>40</sub>に“L”出力)  
RET

(注) 上記サブルーチン呼び出すCALL命令の周期(R<sub>40</sub>から出力されるパルス周期)は、T<sub>WD</sub>より短ければ何回使ってもよい。

(b) サブルーチン WDP OUT

●参考文献●

(1) アナログIC活用ハンドブック, CQ出版社。

(トランジスタ技術 1985年2月号)

## MAX690 シリーズを用いた MPU 用システム電源回路

### MAX690 シリーズ

ここで紹介する**MAX690 ファミリ**(マキシム社)は、マイクロプロセッサ・システムの構成に必要なシステム統括機能をワンチップ化したものです。

#### ● MAX690 ファミリの機能

##### ▶ MPUのリセット動作

パワー・アップ、パワー・ダウンおよび**電源異常時**にMPUにリセットするものです。

この場合、MPUをリセットするには、通常**数クロック分の時間**が必要です。このためリセット・パルスは、ある一定時間リセット状態を保持する必要があります。

##### ▶ ウォッチ・ドグ・タイマ

この機能は、外部からマイクロコンピュータをモニタして、ソフトウェアおよびハードウェアが**正しく動作していることを監視**します。

つまり、ハードウェアの故障により、規定したソフトウェアが実行しなくなった場合や、ソフトウェアが単一ループに入り込んで抜け出さなくなった場合など

に、これらの異常状態を検知して、**MPUをリセット**します。

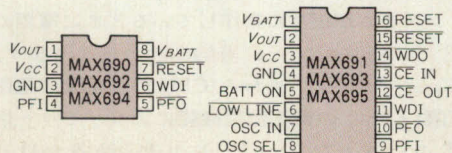
これにより、MPUは**イニシャル・リセット・モード**に実行が移行し、異常状態から抜け出すことができます。

##### ▶ バックアップ用バッテリー切り替え制御

CMOSのMPU、CMOSのRAMなどによって構成されたシステムに対して、バックアップ用バッテリーを使用する場合に、それと**商用電源ラインとの切り替え**をします。

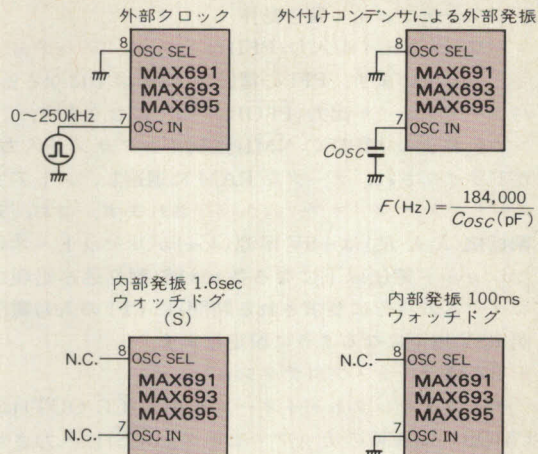
##### ▶ パワー・フェイル警告制御

〈図60〉<sup>(1)</sup> ピン配置図





〈図 62〉<sup>(1)</sup> 発振回路の選択



また、ウォッチ・ドグ・タイマをディセーブル(使用



禁止)する場合には WDI 端子を開放にします。

#### ▶ パワー・フェイル警告動作

パワー・フェイル入力(PFI)は内部の 1.3V 基準電圧と比較しています。PFI の電圧が 1.3V 以下になると、パワー・フェイル出力(PFO)が“L”になります。

これにより MPU の NMI(強制インタラプト入力)がドライブされ、データを RAM に退避し、ストアする割り込み処理プログラムが実行されます。なお、分割抵抗( $R_1$  と  $R_2$ )は+5V 電源( $V_{CC}$ )がリセット・スレッシュホールド電圧以下になる数 ms 前(割り込み処理プログラムの実行に要求される時間)に PFI の入力電圧が 1.3V 以下になるように設定します。

#### ▶ RAM ライト・プロテクション

チップ・セレクト・イネーブル出力( $\overline{CE}$  OUT)は、CMOS の RAM のチップ・セレクト( $\overline{CS}$ )に入力されます。もし、 $V_{CC}$ がリセット・レベル以上(非リセット・モード時)であれば、 $\overline{CE}$  OUT の出力論理は  $\overline{CE}$  IN の入力論理に追従します。

もし  $V_{CC}$ がリセット・レベル以下(リセット・モード時)であれば、 $\overline{CE}$  OUT の出力論理は  $\overline{CE}$  IN の入力論理に関係なく“H”になり、CMOS の RAM の選択が禁止されます。

このように、MPU がリセットされたときは、アドレス・デコードによって選択された CMOS の RAM へのデータの書き込みが禁止されます(691, 693, 695 のみ)。

#### ▶ ステータス出力動作

ウォッチ・ドグ出力( $\overline{WDO}$ )はウォッチ・ドグ入力(WDI)がタイム・アウト期間内にトグル駆動されないと、論理出力が“L”になります。

BATT ON 出力は電源モードがバックアップ用バッテリーに切り替わった場合に、論理出力が“H”になります。

LOW LINE は、 $V_{CC}$ がリセット・レベル以下になると、論理出力が“L”になります(691, 693, 695 のみ)。

以上のように、MAX690 ファミリを使用することにより、マイクロプロセッサ・システムの構築に必要なシステム統括機能を、わずかな外付け部品により実現することができます。

〈名取 茂〉

#### ●引用文献●

(1) マキシム, 1990 New Releases Data Book.

(トランジスタ技術 1991 年 1 月号)

## ACラインから直接DCが得られる AC100V → DC+5V レギュレータ

### MAX610

MAXIM(マキシム)社の MAX610 はたいへんユニークな IC です。内蔵された電圧安定化回路は、通常のシリーズ・レギュレータです。ところが、入力電圧として、AC100V ラインをそのまま接続することができます。

つまり、入力側に整流ダイオードが内蔵されていて、コンデンサを外付けすれば、整流した直流電圧が得られるようになっていきます。整流回路は、MAX610/612 がブリッジ構成の両波整流、MAX611 は半波整流となっています。

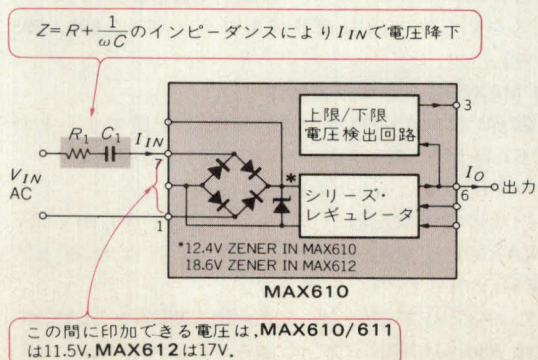
もちろん、トランスを内蔵するわけにはいきませんので、AC 入力ラインと、DC 出力ライン間は絶縁さ

れていません。ですから、直流出力側を手で触れる可能性のあるような場合は、感電の危険性がありますから、使用を避けるべきです。

#### ● 基本的な使い方

内部はモノリシック IC 構造で、AC100V を印加できるほど耐圧が高くありません。そこで、図 63 のように入力ラインに電圧降下用の素子を挿入します。これは、たんなる抵抗だけでもよいのですが、損失が大きくなっていますから、さらにコンデンサを直列にし

〈図 63〉<sup>(1)</sup> 入力ラインの電圧降下素子

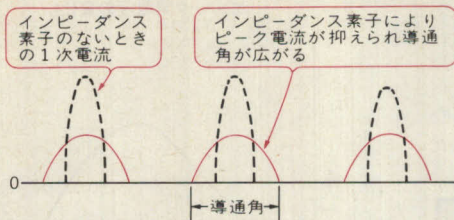


〈表 7〉<sup>(1)</sup> MAX610 シリーズの定格特性

項目	記号	規格			単位
		MAX610	MAX611	MAX612	
交流入力電圧	$V_{IN(AC)}$	11.5	11.5	17	V
整流方式		ブリッジ	半波	ブリッジ	
ツェナ電圧	$V_Z$	12.4	12.4	18.6	V
出力電圧	$V_O$	4.8~5.2	4.8~5.2	4.8~5.2	V
出力電流	$I_O$	150	150	150	mA
最大損失	$P_D$	0.75	0.75	0.75	W
動作温度	$T_{op}$	0~50	0~50	0~50	℃



〈図 64〉1 次電流波形



て用います。

このコンデンサには交流が流れますので、**有極性の電解コンデンサは使用できません**。また耐圧は 200V 以上が必要です。抵抗  $R_1$  は電源投入時にコンデンサ  $C_1$  を流れる突入電流を制限するために必要です。

IC の入力端子に印加できる電圧の最大値は、MAX610/611 で **11.5V** ですから、

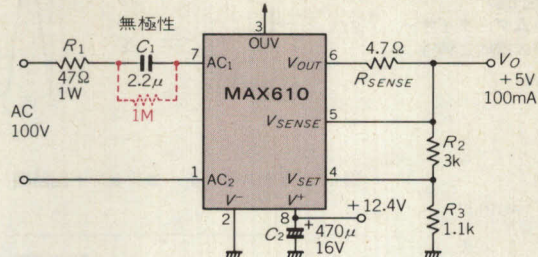
$$V_{IN} - I_{IN} \left[ R_1 + \frac{1}{\omega C_1} \right] \geq 11.5V$$

でなければなりません。整流回路は**コンデンサ・インプット型**となりますが、図 64 のようにこの  $R_1$  と  $C_1$  のインピーダンスが作用して、電流の導通角はかなり広がります。また、実際には内部損失の関係から、入力電圧をかなり低目に設定しなければならず、ここでは、 $R_1 = 47\Omega$ 、 $C_1 = 2.2\mu F$  とします。

さて図 65 において出力電流  $I_o$  は、最大で 150mA まで取れますが、これが減少したときは、 $R_1$  と  $C_1$  による電圧降下も減少し、 $AC_1$ 、 $AC_2$  の電圧が上昇します。ところが、整流後の  $+$ / $-$ 間に**定電圧ダイオード**が接続されており、今度はこれが導通して、それ以上の電圧に上昇するのを防止することができます。この定電圧ダイオードの電圧は、MAX610/611 は **12.4V**、MAX612 は **18.6V** ですから、整流用コンデンサ  $C_2$  は、それ以上の耐圧のものを用いなければなりません。

これは、8 番ピンの  $V^+$  端子となっています。非安定な電圧でよければ、この  $V^+$  の出力も **約 12V か 18V の電源**として利用することができます。

〈図 65〉 AC100V 入力、+5V 電源



## ● MAX610 による +5V 0.1A 電源

出力電圧  $V_o$  を、固定の 5V とする場合には、 $V_{SET}$  端子をグラウンドとし、 $V_{SENSE}$  を  $V_o$  に接続します(図 65)。また、出力電圧を 1.3~15V の間で可変できますから、そのときには、分割抵抗  $R_2$ 、 $R_3$  を  $V_{SET}$  に接続します。内部の基準電圧  $V_{REF}$  は 1.3V ですから、このときの出力電圧は、

$$V_o = V_{REF} \left[ 1 + \frac{R_2}{R_3} \right] = 1.3 \left[ 1 + \frac{R_2}{R_3} \right]$$

となります。

なお、点線で書いた  $C_1$  と並列に接続された  $1M\Omega$  の抵抗は、入力側スイッチを OFF したときの  $C_1$  の**蓄積電荷放電用**のものです。

また、 $R_{SENSE}$  は電流検出用の抵抗で、過電流保護の動作点を下式にて設定することができます。

$$I_{O(LIMIT)} = \frac{0.6}{R_{SENSE}}$$

この MAX610 シリーズのレギュレータ IC は、AC100V 入力だけでなく、 $R_1$ 、 $C_1$  の値を変えることにより AC200V 系入力でも使用できます。

〈戸川治朗〉

## ●参考文献●

- (1) マキシム・ジャパン、データブック。
- (2) 実用電源回路設計ハンドブック、CQ 出版社。

(トランジスタ技術 1987 年 3 月号)

# ラムダ・ダイオード MA522 を用いた オート AC コンセント

## MA522

ラムダ・ダイオードは順方向電流特性に負性抵抗域をもつ 2 端子半導体です。この名称は**特性曲線がギリシャ文字の  $\Delta$  (ラムダ) の形に似ている**ところ由来しています。

その構造は図 66 のように P チャネルと N チャネルの接合型 FET を組み合わせた形になっており、特性はそれらの  $I_{DSS}$  とピンチオフ電圧で決定されます。よって素子を選択して組み合わせることで、いろいろ

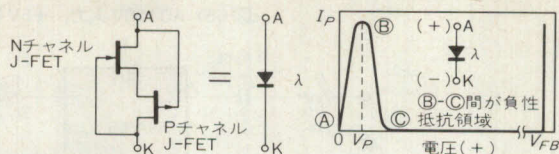
な特性のラムダ・ダイオードを手軽に作り出すことができます。また半導体メーカーからもワンチップ化したものが発売されています。

図 67 はラムダ・ダイオードの負性抵抗域を使って、トランジスタ回路では複雑になるシャープなスイッチング回路に応用したものです。

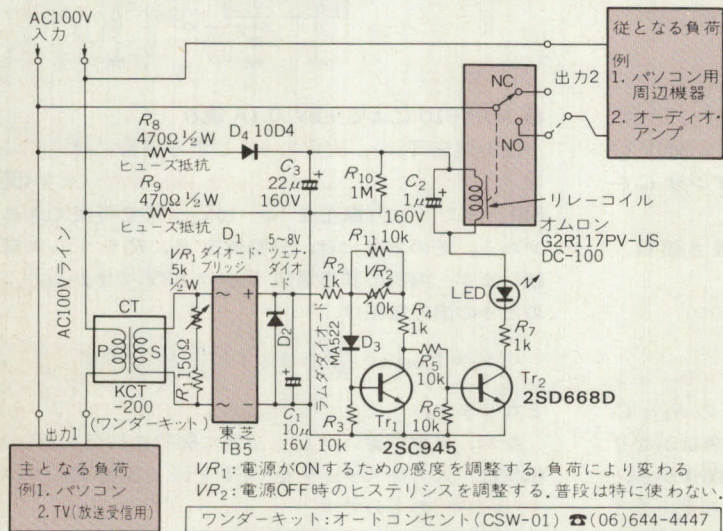
この回路によりアウトレットのない **AC100V 機器**でも、スイッチ ON によって他の装置を連動コント



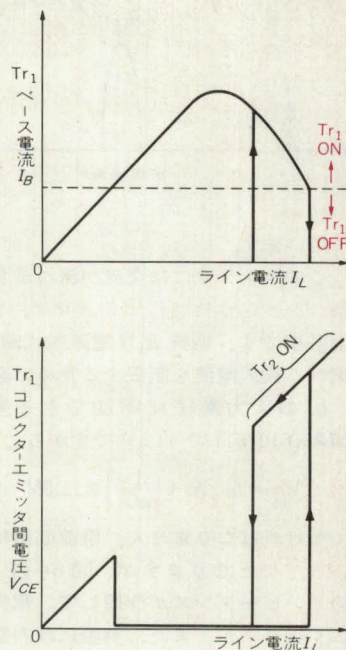
〈図 66〉<sup>(1)</sup>  
ラムダ・ダイオード  
の構成と特性



〈図 67〉 自動スイッチ・コンセント回路図



〈図 68〉  $Tr_1$  ベース電流とコレクタ・エミッタ間電圧の変化



ロールできるようになります。また消費電流を検出していますので、テレビ・ビデオなどの常時バックアップ電流の流れる機器でもうまく動作します。

図 67 の回路において、AC100V ラインに流れる電流はカレント・トランス CT と  $VR_1$ ,  $R_1$  によって比例した電圧に変換され、整流されたものがコンデンサ  $C_1$  の両端に現れます。これが  $R_2$  とラムダ・ダイオード  $D_3$  を通ってトランジスタ  $Tr_1$  のベース電流となり、トランジスタを ON 状態にします。

しかし、ライン電流が増加するにしたがってダイオード両端の電圧も上昇し、ある点を境に負性抵抗域に入ることで逆にベース電流は減少していきます。する

と  $Tr_1$  は OFF 状態になり、 $Tr_2$  に接続されたリレーが動作します。またこのときダイオードの印可電圧が変化しますので、結局図 68 のようなヒステリシスをもったスイッチング特性が得られます。

この回路は入力信号をそのまま動作電源としても使っているため、シュミット回路を構成した場合に必要な別電源が不要で、リレーが動作していないときの消費電力をほとんど 0 にできます。〈池田猛志〉

#### 引用文献

(1) 松下電子工業，ナショナル半導体ハンドブック，ディスクリート半導体編'83，pp.1145～1146。

(トランジスタ技術 1989 年 8 月号)

## GTL センサを使った AC ライン電流検出回路

### LM2904

この回路は、AC ライン系で動作する装置を ON/OFF 制御する装置で、実際に電力が供給されているかの検出を行う必要から設計したものです。

#### ● 本器の構成

回路図を図 69 に示します。5V 単一電源で動作しますから、ロジック系との組み合わせが容易です。

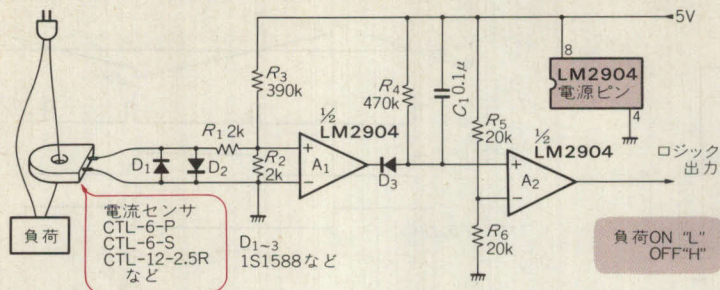
センサは、1 次 AC 電流を AC 電圧に変換する(株)ユー・アール・ディーの CTL センサを使用しています。

CTL センサの外形例を写真 3 に示します。中央に空いている穴に、検出したい AC ライン系の配線を通すことで、流れている電流に比例した電圧が 2 次側に発生します。原理的にはトランスです。CTL センサは 1 次電流、2 次出力電圧規格の違いで多種の型名に分かれています。ここでは、図 70 に示す貫通電流-出力電圧特性をもった CTL-6 型タイプを使用しました。

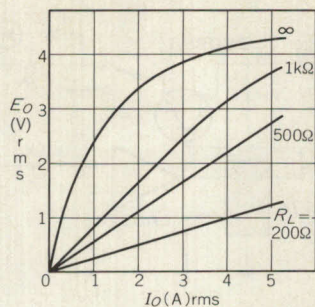
ここでは電流が流れているかどうかの検出が目的で



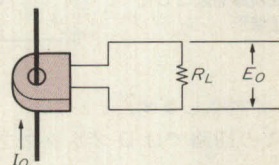
〈図 69〉 AC パワー検出回路



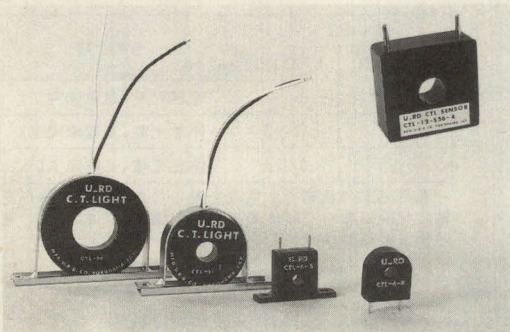
〈図 70〉 CTL センサの特性



(a) CTL-6-P(S) 貫通電流  $I_O$  対出力電圧  $E_O$  特性



(b) 測定回路



〈写真 3〉  
CTL センサの外観

で、負荷に電流が流れている間、 $A_2$ の出力は“L”になります。

この回路で検出可能な電力範囲は **AC100V で 10W ~5kW** です。

出力をオープン・コレクタ型にしたい場合は、 $D_3$ をショートし、LM2904 を同一ピン配置のデュアル・コンパレータ LM2903 に置き換えてください。

なお、同様の電流センサとして東北金属工業の CT シリーズがあります。

〈野田龍三〉

(トランジスタ技術 1985 年 9 月号)

## LED インジケータの付いた NiCd 電池充電回路

### LM324N

**ニカド電池**は機器により使用する電池の本数が異なります、また使用する状態によってもその消耗度が違います。そこで充電するたびごとに 1 個ずつそれらを確かめ、**何番目の電池は何時間で充電すると充電が完了するかを調べて、それぞれをまとめて 1 回の充電で処理できるように管理できれば便利です。**

カタログなどでは **300 回ぐらいの充放電が可能**ということですが、実際は電池を管理する煩わしさから、つい適当に扱ってしまい、電池の寿命を縮めてしまいます。

こうした点から本回路の設計にあたってはつぎのような特徴を考えました。

① 約 300 回という充放電の寿命をより長もちさせるこ

と。

② 充電状態のまま停電とかコンセントが抜けるようなことがあっても、余分な放電がないこと。

③ 個々の電池の消耗度が違っていても、個々に充電処理ができること。

④ 過充電にならないこと。

⑤ 充電の完了を各電池ごとに知らせること。

⑥ 単 3 型ニカド電池を 6 本まで任意の本数で充電すること。

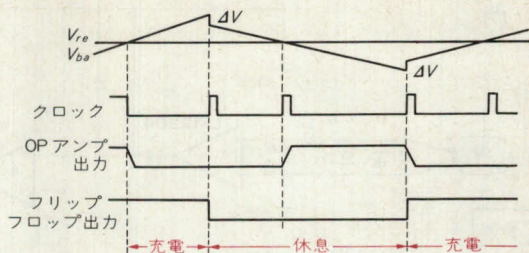
⑦ 負荷電流を調整することによって、単 2 型や単 1 型のニカド電池の充電も可能なこと。

#### ● 動作原理

以上の特徴を満足させるための充電制御回路を、図



〈図 72〉充電と休息を繰り返す各部の電圧波形



〈表 8〉 LED 点灯による充電状態の識別

デュ-ティ比		充電状態
LED 点灯	LED 消灯	
連 続	-----	連続充電(充電未完了)
1	1~2	休息充電(充電未完了)
1	3 以上	休息充電(充電完了)

この回路では D フリップフロップを入れて、2Hz くらいのクロックにより、スイッチング動作をさせています。抵抗  $R$  は制御トランジスタが ON のときの電流  $I$  の制限用で、モニタ回路として LED を使用しています。この回路の動作はつぎのようになります。

より回路は **OFF の状態** になります。電流がストップすると LED も消灯し、電池は休息期間に入ったことになります。

このとき電池からは、OP アンプの入力抵抗+10k $\Omega$ の抵抗を通しての**放電**(逆流)があることになりますが、OP アンプの入力抵抗は非常に大きいために、**リーク電流程度**しか流れません。つまり電池端子はフロート状態となり、再度**電流の再配分**が始まります。そのため、端子電圧は徐々に下がりはじめ、その結果、 $V_{ba}$



が  $V_{re}$  を下回った値になったつぎのクロック・パルスで、ふたたび回路が ON し、充電期間に入ります。

図 72 にこのときの各部の電圧波形を示します。図で示したように、充電と休息の切り替え時には電池の内部抵抗による電圧降下と上昇 ( $\Delta V$ ) があります。クロック・パルスでも ON/OFF を制御することによって、時間的なヒステリシスをもたせ、この電圧変化分だけによって回路が 1 クロックごとに反転を繰り返すことを防ぎます。反転を繰り返したときの  $V_{ba}$  の状態を示したものが図 73 です。

クロックを 2Hz ぐらいにしておいても、電池が古かったり、使い切ったりしているとその現象が起こり

ます。電池の内部抵抗が高くなっているときには、実効的な充電電流を普通の半分に処理することになり、2 倍の時間を必要としますが、これは内部抵抗が高い電池では抵抗による熱損失が多くなるので、そのためのいたわりです。このような状態であっても、充電のデューティが 1/3 以下になる状態がきますので、そのときをもって充電完了と判断できます (表 8)。

そして、実際に回路として設計したものが図 74 です。  
 〈村田 悟〉

#### ●引用文献●

(1) CQ ham radio 1986, 1 月, p.332.

(トランジスタ技術 1989 年 7 月号付録)

## 専用 IC TA8532P/F を使った 鉛蓄電池充電回路

### TA8532P/F

鉛蓄電池はセル数により種々の電圧を取り出すことが可能ですが、ここでは鉛蓄電池充電用 IC TA8532 (東芝) を用いた充電回路を紹介しましょう。

回路図を図 75 に示します。

#### ▶まずセル数を選択

回路図で  $SW_2$  でセル数を選択し、1 セルの場合だけ  $SW_3$  をオープンにします (実際に充電器を組む場合、セル数を固定とするので、スイッチにする必要はない)。また  $R_1$ ,  $R_2$  の値を、表 9 より選びます。セル数を決めると基準電圧部により基準電圧が  $2.275V \times \text{セル数}$  に設定されます。

#### ▶つぎに、基準電圧の調整を行う

鉛電池を接続しない状態で、SENSE 端子の電圧を

測定し、各セル数の収束電圧値 (表 9) になるように  $VR_1$  を可変させ、調整します。以上の調整を終え、充電に入ります。

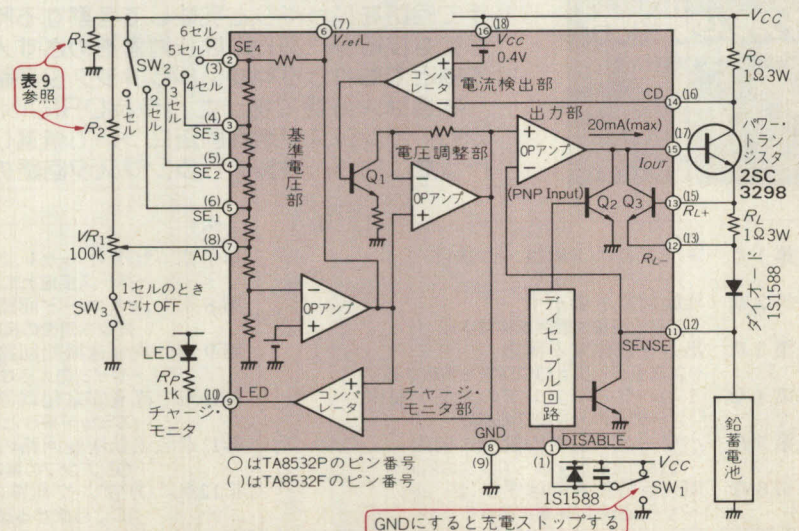
#### ▶充電を開始する

充電を開始すると、チャージ工程 (図 76 ①) で示すように、定電流充電を始めます。このときの電池電流は、内部のトランジスタ  $Q_3$  で制限しているので、充電最大電流は  $I_L = 0.7/R_L$  で決まります。

#### ▶定電圧充電までの過程

図 76 ①の定電流充電が行われている間は、電池電圧が上昇し続けます。このとき、電流検出部と電圧調整部によって出力部の基準電圧を各セルの充電電圧に合わせられるので、電池電圧が各セルの充電電圧に達

〈図 75〉  
TA8532P/F を用いた  
鉛蓄電池充電回路





〈表 9〉各セルの推奨抵抗値および基準電圧調整一覧

セル数	推奨抵抗値(Ω)			基準電圧(V)	
	$R_1$	$R_2$	$VR_1$ (可変抵抗)	収束電圧	充電電圧
1セル	2.4k	0(なし)	100k	$2.275 \pm 0.025$	$2.45 \pm 0.07$
2セル	5.1k	22k	100k	$4.550 \pm 0.050$	$4.90 \pm 0.14$
3セル	9.1k	82k	100k	$6.825 \pm 0.075$	$7.35 \pm 0.21$
4セル	13k	150k	100k	$9.100 \pm 0.100$	$9.80 \pm 0.28$
5セル	20k	220k	100k	$11.375 \pm 0.125$	$12.25 \pm 0.35$
6セル	30k	220k	100k	$13.650 \pm 0.150$	$14.70 \pm 0.42$

すると、図 76 ②の定電圧充電に切り替わります。

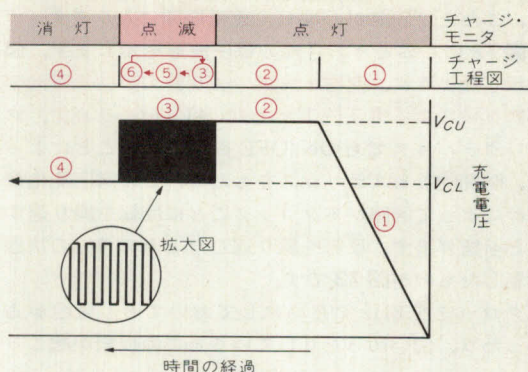
#### ▶ 定電圧充電

定電圧充電中は、電池電流は減少していき、 $I_{CV}$ の点からは、図 76 ③のように電池電圧も減少していきます。これは、電池電流の減少に伴い、電流検出部と電圧調整部が出力部の基準電圧を下げているためです。

この電池電圧の減少は、各セルの収束電圧になるまで減少を続け、**収束電圧に達して充電完了**となり、チャージ・モニタを消灯します。

しかし、実際には電池の特性により、電池電圧が  $V_{CV}$  まで上昇し、⑤のカーブで帰還され、⑤→②→③→⑤…のループ・モードに入ります。なお、このとき

〈図 77〉充電電圧変化



チャージ・モニタは点滅状態になります。

#### ▶ チャージ・モニタ LED の点滅

ループ・モードでのチャージ・モニタの点滅は、最初のうちは間隔が広く、徐々に間隔が短くなっていきます。さらに進むと、点灯している時間は短くなっていき、消灯している時間は逆に多くなっていきます。さらに進むと、やがてループ・モードから抜け出して、消灯します。

なお、この点滅間隔の変化は、③の傾きの設定によ

## 待望の書 好評発売中！



# 定本 トランジスタ回路の設計

— 増幅回路技術を実験を通してやさしく解析 —

鈴木 雅臣 著 A5判, 324頁,

定価2,200円

今、ハードウェア技術者に不足していること……それは自分の手で回路をじっくりと実験して考察する時間です。本書はそんな多忙な技術者、あるいは技術者をめざす人のために用意した、とてもとてもわかりやすいトランジスタ回路の本です。

本書は大好評であったトラ技ORIGINAL No.1とNo.5の中からトランジスタ増幅回路について精選し、さらに大幅に加筆を行った、たぶん最後のトランジスタ回路の解説書です。

### 目 次

第1章 トランジスタ回路への誘い

第2章 増幅回路を動かす

…エミッタ接地回路を実験する

第3章 出力を強化する回路

…エミッタ・フォロワ回路を実験する

第4章 ミニパワー・アンプの設計・製作

…オーディオ・アンプの試み

第5章 パワー・アンプの設計・製作

…本格的オーディオ・アンプの試み

第6章 周波数特性をのばすには

…ベース接地回路を実験する

第7章 ビデオ・セレクタの設計・製作

…ベース接地とエミッタ・フォロワ回路の試み

第8章 カスコード回路の設計

…周波数特性の良い本格回路を実験する

第9章 負帰還増幅回路の設計

…ゲインの大きな2段直結回路を実験する

第10章 直流安定化電源の設計・製作

…エミッタ接地とエミッタ・フォロワ回路の試み

第11章 差動増幅回路の設計

…OPアンプの基本技術を実験する

第12章 OPアンプ回路の設計・製作

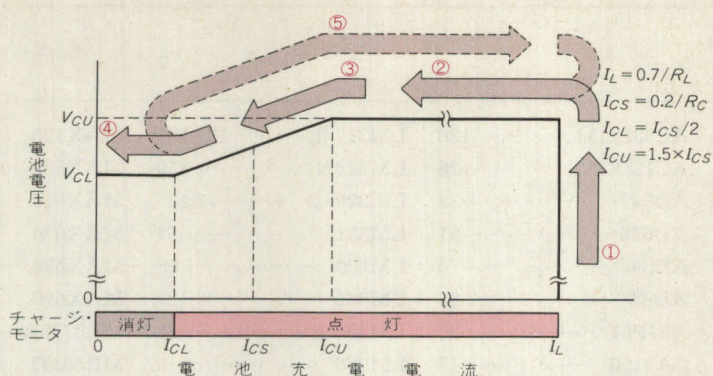
…ICに匹敵する回路の実現への試み

CQ出版社

〒170 東京都豊島区巣鴨1-14-2 販売部 ☎(03)5395-2141 振替 00100-7-10665



〈図 76〉 充電工程



$I_L$	外付け抵抗 $R_L$ で決定する。
$I_{CS}$	外付け抵抗 $R_C$ で決定する。
$I_{CL}$	ほぼ $I_{CS}$ と0mAの中点値。
$I_{CU}$	ほぼ $I_{CL}$ の3倍。
$V_{CU}$	充電電圧。蓄電池のセル数によって違うので、基準電圧一覧表を参照。
$V_{CL}$	収束電圧。蓄電池のセル数によって違うので基準電圧一覧表を参照。

っては若干異なることがあります。

#### ▶ 完全充電まで

チャージ・モニタが消灯すると、④の定電圧充電に入り、徐々に電池充電電流が減少していき、**完全充電**に近づいていきます。

$I_{CL}$ の設定を少なくすると、より完全充電に近い状態で、チャージ・モニタが消灯しますが、充電中のループ・モード(チャージ・モニタ点滅時)の時間が長くなります。逆に $I_{CL}$ の設定を多くすると、ループ・モードの時間は短くなり、チャージ・モニタ消灯後の電池充電電流が多くなるので、用途に合わせて $I_{CL}$ を設定する必要があります。

#### ▶ 充電電圧変化

充電電圧の変化は、基本的に図 77 のようになります。

ただし、実際には電池の放電状態や充電電流の設定によって、①にはらずに、充電開始後すぐに②になることがあります。また、②で定電圧充電を行いますが、電池内部のインピーダンスの変化により若干の変動があります。

#### ▶ $R_L$ の設定

$R_L$ を設定することで、最大充電電流  $I_L$  を設定する

ことができます。当然  $R_L$  を小さくすると充電時間は短くなりますが、 $R_C$ 、 $R_L$ 、パワー・トランジスタ、ダイオードについては、電流を多く流すことによる**発熱**が増加するので、許容損失を考慮し部品を選定する必要があります。

#### ▶ $R_C$ の設定

$R_C$ の設定値によって図 76 ③の傾きやチャージ・モニタ消灯時の充電電流  $I_{CL}$  を変えることができます。 $R_C$ を小さくしたほうが、充電時間(チャージ・モニタが消灯するまでの時間)が短くなりますが、この場合は  $I_{CL}$  が大きく設定されているため、チャージ・モニタ消灯後も充電電流が多く流れます。

逆に、 $R_C$  を大きくすると充電時間は長くなりますが、チャージ・モニタ消灯後の充電電流を少なくすることができるので、**用途に合わせて  $R_C$  を認定する必要があります** [ $I_{CL}$  が大きく認定されていても、時間とともに充電電流は徐々に下がっていく(図 76 ④)]。

〈藤村賢秀〉

#### ●参考文献●

(1) 東芝, TA8532 データシート。

(トランジスタ技術 1989年9月号)



## Device Index

AC03DGM .....126	LM317/L .....132,134	MAX420 .....18	PM7541 .....25
AC12DGM .....126	LM324N .....159	MAX522 .....157	PMM8714 .....123
AD542.....38	LM329/B .....77,127	MAX610 .....156	S81250AG .....130
AD636.....51	LM331 .....54	MAX630 .....147	SI7200M .....123
AD580.....70	LM339 .....65	MAX634 .....148	SN76874 .....90
AD834.....52	LM385.....50,127	MAX690 シリーズ.....154	SSI32F8011 .....36
AMP01 .....20	LM385-2.5 .....128	MB3776A.....144	TA7358P .....111
CA3100 .....13	LM386 .....9	MB88371 .....61	TA7641BP .....109
ICL7660 .....149	LM2904 .....158	MC1494 .....67	TA7745F .....125
ICL8038 .....73	LMF60CIN100 .....45	MC3361P .....114	TA7747P .....111
IH5341 .....89	LT1001 .....16,17	MC3362 .....112	TA7774P .....116
INA105 .....24	LT1004 .....79,138	MC145160 .....112	TA7900S .....152
LA1137.....108	LT1004-2.5 .....127	MSM6207RS.....92	TA8532P/F.....161
LA1145.....106	LT1005CT.....135,137,138	N413 .....126	TC9142P .....119
LA1175.....104	LT1008 .....31	NE527N.....60	TD62803P .....117
LA2110.....106	LT1010 .....11,139	NE555.....56	TL061CP .....71
LA3430.....106	LT1011 .....59	NE592.....14	TL071/CP .....19,30,46,47
LCA110 .....31	LT1016CH .....138	NE5532 .....8,42,43	48,49,50,71
LF353 .....70	LT1020.....132	NE5560.....121	TL072 .....34,67
LF356 .....58,73	LT1043 .....22,23	NJM2068 .....7	TL074.....67
LF356H .....71	LT1056.....59,77,78	NJM2207 .....92	TL080CP .....71
LF411 .....19	LT1073.....143	NJM2208 .....91	TL084/CN .....66,81
LH0032 .....12	LT1073-5.....142	OP07 .....17,48,49,50,75,76	TL499A.....141,146
LH0033A .....90	LTC1043.....58,60,78,79	OP08 .....19	TL1451C .....151
LH0042C .....56	LTC1060 .....36	OP37.....6	TLP521-2 .....26
LM35 .....77	LTC1062 .....32,35	OP77 .....25	TLP552 .....26
LM311 .....56	M51321P .....97	OP260.....13	ULN2003 .....123
LM317K .....134	M51728L .....118	OPA128 .....20	$\mu$ PC1663.....15

## トランジスタ技術 SPECIAL

No.32

©CQ出版社 1992

1992年3月1日 初版発行  
1996年2月1日 第7版発行

発行人 蒲生良治

編集人

発行所 CQ出版株式会社 〒170 東京都豊島区巣鴨1-14-2

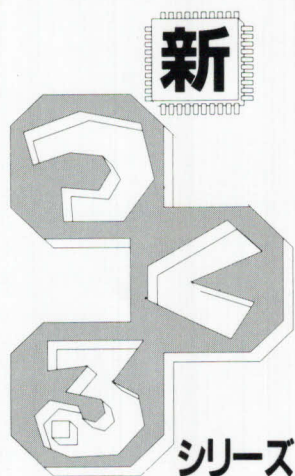
電話 03-5395-2123(出版部), 03-5395-2141(販売部)

振替 00100-7-10665

(定価は表四に表示してあります)

印刷・製本 三晃印刷株式会社





エレクトロニクスのわかりやすい入門書が欲しいという声をよく耳にします。しかし、万人に対してわかりやすいというテーマを実現することは簡単ではありません。

「わかりやすい」ということを実現することはたいへんなのですが、エレクトロニクスについては「こうやって学べばよいのではないか」という答えがあります。それは、「自分の手で作ってみる」ということです。天才は閃きで物事を解明していくことができるかもしれませんが、凡人にとっては人真似から入るのも合理的です。

ということで用意したのが、この3冊の「新つくるシリーズ」です。いずれも『トランジスタ技術』誌、および『トラ技ORIGINAL』誌で掲載され、好評を博した記事のなかから、つくりたくなる記事、つくることを擬似体験できる記事をジャンルごとに再構成しました。真似をして体験することが最高の学習になると思いますが、読んでいただけでも利用できそうなアイデアをふんだんにカバーしています。

トランジスタ技術編集部 編 B5判 160頁 各定価1,500円

## No.1 つくるツール&測定器

主な内容

- 第1章 実験用可変電源の製作
- 第2章 定電圧・定電流電源の製作
- 第3章 3 $\frac{1}{2}$ 桁デジタル電圧計の製作
- 第4章 実験用パルス・ジェネレータの製作 2題
- 第5章 ロジック・チェッカの製作 4題
- 第6章 オシロスコープ・マルチ化アダプタ
- 第7章 カーブ・トレーサの製作

- 第8章 ファンクション・ジェネレータの製作
- 第9章 低ひずみ正弦波発振器の製作
- 第10章 AC電圧測定ユニットの製作
- 第11章 コンデンサ・メータの製作
- 第12章 インダクタンス・メータの製作
- 第13章 LQメータの製作



## No.2 つくるオーディオ&ビデオ

主な内容

### オーディオ編

自動起動型オーディオ・パワー・アンプの製作／ミキシング機能付きミニFM放送局の製作／AMステレオ・レシーバの製作／ダイナミック・サウンド・プロセッサの製作／ヘッドホン・ステレオ用音質調整回路の設計 他

### ビデオ編

ビデオ・セレクトの製作／AVセレクト／分配器の製作／高速画像メモリの設計法／画像コントロール・ボードの製作／RGBコンバータの製作／ビデオ・インサータの製作／シネマスコープ・アダプタの製作



## No.3 つくるオリジナル・グッズ

主な内容

- 第1章 ホーム・グッズ編…RFリモコン装置の製作／キッチンタイマの製作 他
- 第2章 ホビー&ゲーム・グッズ編…小型直流アーク溶接機の製作／赤外線ロボットの製作 他
- 第3章 PHOTOグッズ編…大型ストロボ用電源の製作／連続ストップ・モーション撮影用マルチ・フラッシュ

- 第4章 スポーツ・グッズ編…スピード測定機能付きボール通過位置判定装置／ボール通過位置判定装置の製作 他
- 第5章 乗物グッズ編…超音波近接センサの製作／自転車用スピード・メータの製作
- 第6章 電池&電源グッズ編…独立型ソーラ発電システムの試作・実験／単3乾電池サイズのDC-DCコンバータの製作 他





